

PL-01 PRÍPRAVA INŽINIERA CHÉMIE vs. POTREBY PRAXE

LUDOVÍT JELEMENSKÝ

*Fakulta chemickej a potravinárskej technológie, STU v Bratislave, Radlinského 9, 812 37 Bratislava, Slovensko
ludovit.jelemensky@stuba.sk*

Fakulta chemickej a potravinárskej technológie (FCHPT) ako jediná fakulta svojho druhu v Slovenskej republike má špecifické postavenie vo vzťahu k celej šírke spektra chemického, potravinárskeho, farmaceutického a spotrebného priemyslu a v ekológii. Fakulta vychováva kvalitných odborníkov pre celé spektrum chemického, potravinárskeho, farmaceutického a kozmetického priemyslu, ako aj v mnohých oblastiach záchrany objektov kultúrneho dedičstva a životného prostredia.

O kvalite a potrebe našich absolventov svedčí aj minimálna nezamestnanosť, pretože absolventi všetkých študijných programov v bakalárskom a hlavne v inžinierskom stupni sú schopní spojiť silný všeobecný prírodovedný základ s inžinierskym pohľadom a s poznatkami o chemických a biologických materiáloch, prírodných a syntetických polyméroch, čo im zabezpečuje veľkú univerzálnosť pri uplatnení sa vo vedeckej a priemyselnej praxi. Aby schopnosť absolventov aplikovať prírodovedné a inžinierske poznatky v praxi bola efektívnejšie, novo akreditované inžinierske študijné programy obsahujú predmety, v ktorých sa študentom dáva priestor na realizáciu aplikovať ich poznatky na riešenie reálnych úloh z praxe a zároveň aj sa učiť pracovať v tíme. Kľúčové predmety sú technologické projekty, letná odborná prax a aj diplomové práce, pričom ťažiskovým predmetom je letná prax, ktorú každý študent musí absolvovať v prvom ročníku inžinierskeho štúdia v minimálnej dĺžke 3 týždne a výsledky praxe prezentovať pred odbornou komisiou na fakulte a ak je možnosť aj v samotnom podniku. Zavedenie týchto predmetov do študijných program vyžaduje kvalitnú spoluprácu fakulty s podnikmi. Z toho dôvodu FCHPT zriadila Priemyselnú radu, v ktorej sú zastúpení významní odborníci z podnikov, výskumu a firiem v oblasti chémie, chemickej technológie a potravinárstva. Zámerom priemyselnej rady je užšie prepojiť akademický výskum a vzdelávanie s potrebami odberteľov našich absolventov. Jej hlavným cieľom je vytvorenie kvalitnejšej spolupráce FCHPT s priemyslom za účelom skvalitnenia výchovy absolventa do praxe.

PL-02 MOLEKULÁRNÍ GASTRONOMIE – PRÍVĚTIVÁ TVÁŘ CHEMIE

MIROSLAV RAAB

*ďříve: Ústav makromolekulární chemie AV ČR, v.v.i.,
Heyrovského nám. 2, 162 06 Praha 6
raab@imc.cas.cz*

Vědecký pokrok nastává často v těch oblastech, kde se jednotlivé vědecké disciplíny stýkají nebo – ještě lépe – překrývají. Příkladem takové nové interdisciplinární vědy je

molekulární gastronomie. Vznikla v osmdesátých letech dvacátého století ve Francii. Společně ji založil chemik Hervé This a fyzik Nicholas Kurti. Tito badatelé si uvědomili, že mezi klasickou potravinářskou chemií na jedné straně a tradičním uměním kuchařským na straně druhé existuje „území nikoho“. Umístili do chemické laboratoře moderní kuchyňskou linku a začali analyticky zkoumat chemické přeměny při tepelné nebo mechanické úpravě potravin. Podrobili kritické analýze mnoho kuchařským pravidel, která se empiricky předávají z generace na generaci, jak mezi profesionálními kuchaři, tak i mezi zkušenými hospodyněmi. Nicholas Kurti jednou prohlásil: „Je paradoxní, že známe přesně teplotu uprostřed vzdálených planet, ale nevíme, jaká je teplota uprostřed nákypu, který se peče v troubě. A jaký by správně měl být teplotní gradient, aby se nákyp podařil.“ Molekulární gastronomie pak na základě teoretických představ postupně navrhla netradiční kuchařské postupy a metody přípravy zcela nových pokrmů s neobvyklou konzistencí nebo kombinací barev, chutí a vůní.

Bylo pak už jen otázkou času, kdy se o spolupráci v nové oblasti vědy přihlásí špičkoví šéfkuchaři v Paříži, Londýně a dokonce i v Praze. Odvážní kuchaři nyní nabízejí „zážitkovou gastronomii“ založenou na molekulárním vaření. Přípravují nezvyklá jídla pomocí kapalného dusíku, tuhého oxidu uhličitého, oxidu dusného a gelů z mořských řas. Nabízejí třeba zmrzlinu z olivového oleje a čokolády připravenou v kapalném dusíku nebo překvapivou kombinaci čokolády s feferonkou. Zde se vlastně gastronomie stýká také s psychologií.

V poslední době jsou už v běžném prodeji kompletní sady pro domácí molekulární vaření. Obsahují základní chemické nádoby, potřebné chemikálie a ovšem i názornou příručku o chemických jevech v kuchyni. Pod dohledem dospělých si tak mohou i děti od osmi let vyzkoušet přípravu neobvyklých jídel a překvapit své spolužáky a rodiče. Přitom si jakoby mimochodem uvědomí, že chemie může být velmi zajímavá, atraktivní, chutná a voňavá věda.

Molekulární gastronomie tak má nyní dvě tváře: Tu teoretickou, která popisuje kuchyňskou chemii pomocí rovnic a vzorců a tu praktickou, jejíž výsledky se objeví přímo na talíři. Vědeckou úroveň molekulární gastronomie ostatně prokazuje rozsáhlý přehledný článek, který už před časem zveřejnil Peter Barham se spolupracovníky v prestižním mezinárodním časopise *Chemical Review*.

Cílem této přednášky je ukázat východiska molekulární gastronomie a také, jak pomáhá zlepšovat obraz chemie před veřejností. Bude doplněna praktickou ukázkou a ochutnávkou.

LITERATURA

1. Raab M.: *Molekulární gastronomie aneb molekuly, které vaříme, jíme a pijeme*. Dauphin, v tisku.
2. Mikeš V.: *Proč se klepou řízký. Chemie v kuchyni*. Dokořán, Praha 2008.
3. Barham P. a kol.: *Chem. Rev. 2010*, 2313.
4. This H.: *Les secrets de la casserole*. Berin, Paris 1993.

PL-03
VÝVOJ CHEMIE A TECHNOLOGIE
VE XX. STOLETÍ; PŘÍPAD OTTO WICHTERLE

KAMIL WICHTERLE

*VŠB- Technická univerzita Ostrava, 17. listopadu 15, 708 33 Ostrava Poruba.
 kamil.wichterle@vsb.cz*

V roce 2013, kdy by se Otto Wichterle mohl dožít 100 let, se jeho osobě věnovala poměrně značná pozornost. Obvyklé, poněkud zjednodušené tvrzení, že jeho hlavní zásluhou je vynález kontaktních čoček, není ani pravdivé ani přesné. Vynalezl však v tomto směru zajímavou třídu biokompatibilních polymerů¹, přišel s originálním a s velkou nedůvěrou přijímaným nápadem, zkonstruovat z pružného materiálu optickou čočku, vypracoval několik původních technik její výroby, a zasloužil se výrazně o její klinické testování a následnou komercializaci. Řada oslavných článků se zaměřila na peripetie jeho života politických postojů za měnících se politických systémů. Nebyla zapomenuta ani jeho krátkodobá, avšak hluboce inovativní pedagogická činnost. O všech těchto skutečnostech se dá najít spousta faktů v memoárech², které naklepal v editoru T602 jako důchodce ve volných chvílích osmdesátých let. Mírná ironie, se kterou se tam vyjadřoval o různých prominentech režimu, mu stačila k tomu, že na starší verzi textu ani po převratu již ničeho neměnil. Napsal ty paměti s fenomenální přesností, přestože nikdy neshromažďoval papíry. Nějak si svou činnost ale vždy dokumentoval, podobně jako v laboratoři, jednoduchými zápisy a kartičkami rozměru A7, ve kterých se obdivuhodně vyznal natolik, že nikdy nemusel totéž dělat zbytečně vícekrát. Memoáry jsou dobře čtivé i pro laika, protože se o své hlavní činnosti chemika Otto Wichterle vyjadřuje jen zlehka.

Referát se bude obracet k chemickému publiku, takže se bude snažit chemickou stránku životopisu OW akcentovat, ukázat na tom zásadní vývoj, kterým chemie a technologie v průběhu významné části XX. století prošla, a na druhé straně předvést, jaký vliv měl tento vývoj na vnímavého jedince.

Dobré jazykové a všeobecné vzdělání byly základem pro volnější výběr vysoké školy, na rozdíl od starších dědičů rodné firmy, kterým byla vybrána strojařina a komerční inženýrství. Volba chemie na pražské ČVUT se ukázala jako velmi šťastná, zejména proto, že se OW brzy dostal do inspiračního prostředí laboratoří renesanční osobnosti významného profesora Emila Votočka. Tam si osvojil laboratorní dovednosti a po absolvování studia zde nastoupil jako asistent. Ve věku 24 let obhájil doktorskou práci a ve 27 letech podal žádost o habilitaci. Tuto kariéru však přerušila německá okupace a uzavření vysokých škol. Jako několik podobných následujících zlomů v profesním životě, vedl k novým inspiracím ve výzkumu a vědě. Po praxi s chemií cukrů a později s vinylovými sloučeninami³, zaměstnání ve zlínském Výzkumném ústavu firmy Baťa vzbudilo jeho zájem o zvolna se rozvíjející obor polymerací. Z pobytu u Baťů OW ještě vytěžil nutnost doučit se (jako šestý cizí jazyk) angličtinu, a ovládnout patentování. Se zkušeností salónního organického chemika, který dovedl připravit kvalitní surovinu, podařilo se mu zakrátko vyvinout vlákno (winop, později silon) na bázi kaprolaktamu (ačkoliv sám autor nylonu Carothers takovou

možnost vyloučil). Tento materiál byl českým vedením tajen, paradoxně podobně jako analogický německý perlon. Postupně byl vybudován poloprovod a po skončení války se rychle začala budovat průmyslová výroba laktamu, polymerace i následující spřádání. Československo se tak záhy dostalo ke světové špičce polymerní chemie. Poválečná léta patřila k hektickému období OW, kdy paralelně učil chemii na pražské i brněnské technice i univerzitě, vydal učebnice anorganické i organické chemie a současně byl výrazně angažován v projekci a záběhu průmyslových výrob. Ty učebnice doporučují přečíst. Jsou sice postaveny na aplikaci jednoduchých elektrických sil mezi atomy, avšak dodnes tento model vede k žádným výrazně chybným závěrům, a zůstává elegantně pochopitelným ve srovnání s těžkopádností modernějších koncepcí. Vzácným je propojení zajímavých vztahů chemie s technologiemi a s chemií fyzikální.

Laboratorní výzkum posléze věnoval převážně problémům polymerů. Prosadil důraz na tuto problematiku na VŠCHT, v roce 1958 však byl z důvodů nesouhlasu vedení s jeho věcným přístupem k výuce, neberoucím v úvahu politické aspekty a sovětské „zkušenosti“, ze školy vypuzen. Výhodu však shledal v tom, že se pak mohl plně věnovat výzkumu modifikací polyamidů a metod jejich přípravy na půdě Akademie. Markantním výsledkem byla technologie alkalické polymerace objemných tvarovaných výrobků ve formách, díky čemuž bylo rozhodnuto zřídit Ústav makromolekulární chemie. V té době inicioval také hledání biokompatibilních vodou bobtnajících polymerů, kde klasickým produktem byla poly-HEMA (2-hydroxyethyl-methakrylát), se širokým použitím v medicíně. Transparentní verze byla následně použita jako materiál kontaktních čoček.

Další období jeho práce poněkud uhnulo k technologiím výroby kontaktních čoček, intraokulárních čoček a dalších lékařských přípravků. Byla radost vidět jeho všestrannou fenomenální manuální zručnost. Mnoho úsilí věnoval i čistě strojnímu vývoji potřebných zařízení a přípravků, a také komercializaci technologií. K chemii se vracel hlavně tehdy, když šlo o možné modifikace příslušných materiálů a technologie jejich výroby. Nicméně, až do svých těsně nedožitých 85 let života byl (i po několika infarktech a mozkové příhodě) stále schopen si okamžitě vybavit klasická chemická fakta a zařazovat k nim nové poznatky. A díky své hravosti a kombináční schopnosti na tomto základě také dovedl s vysokou pravděpodobností předpovídat i chování značně neobvyklých systémů. Otto Wichterle představoval typ široce rozkročeného průkopníka, jakých ve XX. století, kdy se věda a výzkum stávaly doménou velkých týmů, postupně ubývalo.

Dovednosti chemiků, ceněné v XXI. století, jsou poněkud užze specializované – a je to trochu na škodu.

LITERATURA

1. Wichterle O., Lím D.: *Nature* 185, 117 (1960).
2. Wichterle O.: *Vzpomínky*. 4. vyd., Academia, Praha 2007.
3. Hudlický M.: *Coll. Czech. Chem. Commun.* 58, 2229 (1993).

1L-01 NUCLEOPHILIC AND ELECTROPHILIC SUBSTITUTIONS IN DICHLORINE-CONTAINING IRON(II) CLATHROCHELATE

**RASTISLAV ŠÍPOŠ^{a,*}, ALEKSEI B. BURDUKOV^b,
MIKHAIL A. VERSHININ^b, NATALIE
V. PERVUKHINA^b, ILIA V. ELTSOV^c**

^a Dept. of Inorganic Chemistry, FCHPT STU, Radlinského 9, 812 37 Bratislava, Slovakia, ^b Nikolaev Institute of Inorganic Chemistry SB RAS, 3 Lavrent'ev Av., 630090 Novosibirsk, Russia, ^c Novosibirsk state university, Pirogova St. 2, 630090 Novosibirsk, Russia
sipos.rastislav@stuba.sk

Several different clathrochelates were prepared by nucleophilic substitution and electrophilic addition in boron-capped tris-dioximate iron(II) clathrochelates. Clathrochelate **III** was prepared i) by electrophilic addition of PhC(O)H to the diaminoglyoximate bis- α -benzildioximate iron(II) clathrochelate **I** (insert); ii) by nucleophilic substitution of chlorine with PhC(NH)NH₂ in the dichloroglyoximate analog **II**. Some other clathrochelates were derived from **II**; the products were characterized by UV-VIS, NMR spectra and X-ray crystallography.

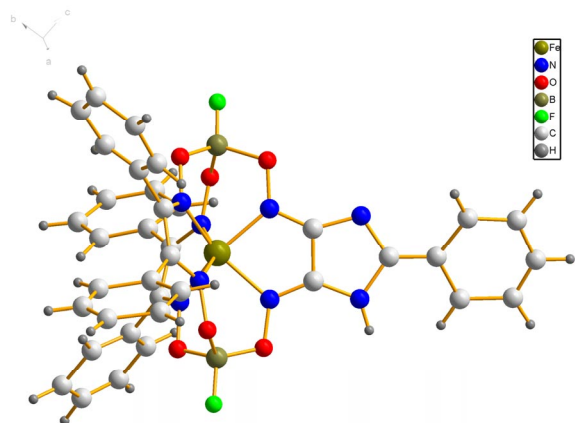


Fig. 1. Molecular structure of the prepared clathrochelate **III**

The authors gratefully acknowledge support of the VEGA Agency project 1/0985/12 and RFBR grants 13-03-90907, 13-03-00702.

1L-02 NEHYDRODROLYTICKÉ SYNTÉZY ALUMINOFOSFÁTŮ Z ORGANOSLOUČENIN FOSFORU A HLINÍKU

**JÁN PODHORSKÝ^{a,b,*}, ZDENĚK MORAVEC^a, JIŘÍ
PINKAS^{a,b}**

^a Ústav chemie Přírodovědecká fakulta, Masarykova univerzita, Kotlářská 2, 611 37 Brno, ^b CEITEC MU, Kamenice 5, 625 00 Brno
327941@mail.muni.cz

Alumínofosfáty jsou skupinou sloučenin zahrnujících mnoho různých struktur, které se vyznačují Al-O-P vazebným motivem a jsou tvořeny zejména tetraedry AlO₄ a PO₄ (cit.¹). Pro tyto sloučeniny je charakteristické pravidelné vnitřné uspořádání a vysoký měrný povrch, což je předurčilo k tomu aby se uplatnily v katalýze²⁻⁴.

V naší práci jsme připravovali materiály na bázi aluminofosfátů reakcemi EtAlCl₂ s různými alkylfosfáty a alkylfosfity se snahou získat co nejlepší povrchové vlastnosti. Produkty byly charakterizovány dostupnými fyzikálně-chemickými metodami – NMR, IR, SEM, povrchovou a termickou analýzou.

Tato práce vznikla za podpory grantů CZ.1.05/1.1.00/02.0068, CZ.1.07/2.3.00/30.0037

LITERATURA

1. Yu J., Xu R.: Acc. Chem. Res. 36, 481 (2003).
2. Yuan H., Liu X., Ren J., Shen L.: Chinese J. Chem. Eng. 21, 627 (2013).
3. Lertjiamratn K., Praserttham P., Arai H., Panpranot J.: Appl. Catal. A 378, 119 (2010).
4. Sreenivasulu P., Nandan D., Kumar M., Viswanadham N.: J. Mater. Chem. A 1, 268 (2013).

1L-03 PROPERTIES CHARACTERIZATION OF MODIFIED HEMP HURDS

**NADEŽDA ŠTEVULOVÁ, IVANA SCHWARZOVÁ*,
EVA SINGOVSKÁ**

Ústav environmentálního inženýrství, Stavebná fakulta, Technická univerzita v Košiciach, Vysokoškolská 4, 042 00 Košice, Slovensko
ivana.schwarzova@tuke.sk

Nowadays, using renewable resources instead of non-renewable is very current topic in developed countries. The use of alternative and environmentally friendly materials like natural fibres was studied in many researches¹. This paper deals with the possibilities of using alternative materials into building construction. The great importance is attached to the industrial hemp, especially to the woody part of hemp plant called hemp hurds as a reinforcement for composite materials for the purpose of construction². Hemp hurds is a prospective building material because of its unique properties (exceptional

thermal insulation, antiseptic, acoustic and mechanical properties).

This article reviews the results of the properties characterization of chemically and physically modified hemp hurds by using FTIR. In this paper, the measurement results of important technical parameters of hemp fibres are presented.

Hemp fibres consist of mainly crystalline cellulose as well as hemicellulose, lignin and waxy substances. Despite of many advantages, natural fibres have also disadvantages as their high moisture sorption and their

heterogeneity, which leads to a weak interface between the fibres and the matrix and a poor transfer of the applied stress between the materials. Many research projects have been devoted to the enhancement of the adhesion at the fibres – matrix interface, using chemical modifications of the fibres surface, physical treatment or using coupling agents¹.

IR measurements of hemp fibres properties after several chemical and physical treatments indicate that each considered treatment has a direct action onto the fibre surface. Observing the spectra, we found that a partial removal of hemicellulose, lignin and removal of waxes and oil was performed.

The authors are grateful to the Slovak VEGA Grant Agency for financial support of the project 1/0231/12.

REFERENCES

1. Troedec M., Rachini A., Peyratout C., Rossignol S., Max E., Kaftan O., Fery A., Smith A.: *J. Colloid Interface Sci.* 356, 303 (2011).
2. Sedan D., Pagnoux C., Smith A., Chotard T.: *J. Eur. Ceram. Soc.* 28, 183 (2008).

1L-04

SUCCESSFUL OXIDATION OF R₂P-X LIGANDS BY ELEMENTAL TELLURIUM

LUKÁŠ JEREMIAS^{a,*}, MICHAL BABIAK^{a,b}, VÁCLAV KUBÁT^a, ZDENĚK TRÁVNÍČEK^c, JOSEF NOVOSAD^{a,c}

^a Department of Chemistry, Faculty of Science, Masaryk University, Kotlářská 2, 611 37 Brno, ^b Central European Institute of Technology, Masaryk University, Kamenice 5, 625 00 Brno, ^c Department of Inorganic Chemistry, Faculty of Science, Palacký University, 17. listopadu 12, 771 46 Olomouc ljeremi@mail.muni.cz

One of the possible pathways to prepare metal tellurides is decomposition of single source precursors, which are often coordination compounds of selected main group and transition metals containing [R₂P(Te)NP(Te)R₂] ligands¹. The oxidation of R₂PXPR₂ compounds (X = (CH₂)_n, NH, etc; R = alkyl, aryl) by elemental chalcogen leading to dichalcogeno R₂P(E)XP(E)R₂ species (E = O, S and Se) has been well known for a long time^{2,3}, while analogous reactions with elemental tellurium have been described first by our research group in this year⁴.

The successful syntheses of Ph₂P(Te)(CH₂)_nP(Te)Ph₂ (n = 2-6) as well as EtPh₂P(Te) and Et₂PhP(Te) ligands by direct oxidation of starting phosphorous compounds (Ph₂P(CH₂)

_nPPh₂, EtPh₂P and Et₂PhP, respectively) by elemental tellurium are reported. The reaction conditions, X-ray structures of the compounds, NMR spectra (³¹P and ¹²⁵Te) and comparison with lighter chalcogen derivatives will be discussed in detail.

Single Crystal X-ray Diffraction Core Facility of CEITEC – Central European Institute of Technology under CEITEC – open access project, ID number LM 2011020, funded by the Ministry of Education, Youth and Sports of the Czech Republic under the activity „Projects of major infrastructures for research, development and innovations”.

REFERENCES

1. Ritch J. S., Afzaal M., Chivers T., O'Brien P.: *Chem. Soc. Rev.* 36, 1622 (2007).
2. Dean P. A. W.: *Can. J. Chem.* 57, 754 (1979).
3. Bhattacharyya P., Novosad J., Phillips J., Slawin A. M. Z., Williams D. J., Woollins J. D.: *J. Chem. Soc. Dalton Trans.* 1995, 1607.
4. Jeremias L., Babiak M., Kubát V., Calhorda M. J., Trávníček Z., Novosad J.: *R. Soc. Chem. Adv.* 4, 15428 (2014).

1L-05

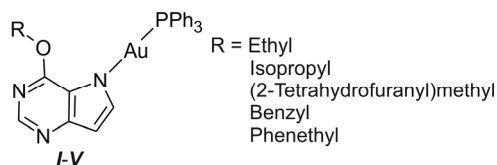
IN VITRO ANTICANCER ACTIVITY OF GOLD(I) COMPLEXES WITH 9-DEAZAHYPOXANTHINE DERIVATIVES

JANA GÁLIKOVÁ^a, ZDENĚK DVOŘÁK^b, ZDENĚK TRÁVNÍČEK^a

^a Department of Inorganic Chemistry, RCPTM, Faculty of Science, Palacký University, 17. listopadu 12, 771 46 Olomouc, ^b Department of Cell Biology and Genetics, RCPTM, Faculty of Science, Palacký University, Šlechtitelů 11, 783 71 Olomouc zdenek.travnicek@upol.cz

Negative side effects of commercially used anticancer platinum-containing drug *cisplatin*, *cis*-[Pt(NH₃)₂Cl₂], have led to intensive searching for other transition metal complexes, which could exhibit antitumor activity comparable, or better, to *cisplatin* and also avoid its negative side effects. Therefore, a full range of gold complexes is currently being investigated as a promising group of anticancer agents¹.

In this work, a series of gold(I) complexes with the general formula [Au(PPh₃)(L_n)] *I-V* (Scheme 1) involving O⁶-substituted derivatives of 9-deazahypoxanthine (L_n) and triphenylphosphine, fully characterized by various techniques, were tested for their *in vitro* cytotoxic activity against eight human cancer lines, *i.e.* breast carcinoma, osteosarcoma, lung



Scheme 1. Structural formula of [Au(PPh₃)(L_n)] *I-V*

carcinoma, malignant melanoma, cervix epitheloid carcinoma, ovarian carcinoma, ovarian carcinoma resistant to *cisplatin* and prostate carcinoma. The results showed that the prepared complexes exhibit significant *in vitro* cytotoxicity, in some cases even in submicromolar concentrations (e.g. $IC_{50} = 0.6 \mu\text{M}$).

We acknowledge the financial support from CZ.1.07/2.3.00/30.0004 and CZ.1.05/2.1.00/03.0058.

REFERENCE

1. Tiekink E. R. T.: Crit. Rev. Oncol. Hematol. 42, 225 (2002).

1L-06

PREPARATION OF NEW COORDINATION COMPOUNDS OF (1-AMINO-1-METHYL-ETHYL) PHOSPHONIC ACID WITH SOME d-METALS AND URANYL ION

IAROSLAV DOROSHENKO^{a,b}, MICHAL BABIAK^{a,b}, JIRI PINKAS^{*a,b}

^a Department of Chemistry, Masaryk University, Kotlarska 2, 611 37 Brno, ^b Central European Institute of Technology (CEITEC), Masaryk University, 625 00 Brno
jpinkas@chemi.muni.cz

Because of their different properties and structural varieties chemistry of phosphates is one of the central topics in material science for many years. Also related phosphonate materials are widely and rapidly studied and used in different fields and applications. They can be used as adsorbents, ionic exchangers, ionic conductors and in catalysis¹ etc. Possibility of existence of strong P–C bond in phosphonates makes us possible to diversify their structures, to introduce substituent groups with interesting properties or another coordination group that would allow us to use these compounds in crystal engineering.

In this work new coordination compounds of early known ² (1-amino-1-methyl-ethyl)phosphonic acid with Fe^{2+} , Fe^{3+} , Co^{2+} , Ni^{2+} , Cu^{2+} and UO_2^{2+} were synthesized. Usual metals salts (nitrates, chlorides and sulfates) were used in a role of precursors. Reactions were carried out in the water and methanol media. Obtained compounds were studied by IR-spectroscopy, TG/DSC analysis and nitrogen adsorption BET analysis of specific surface. Crystal structures of crystalline

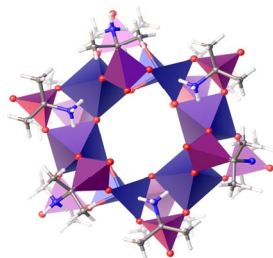


Fig. 1. X-ray crystal structure of six-nuclear complex of Fe^{3+} with (1-amino-1-methyl-ethyl)phosphonic acid

samples were measured by mono-crystal X-ray diffraction analysis.

This work was supported by CEITEC - Central European Institute of Technology (CZ.1.05/1.1.00/02.0068) and GACR P207/11/0555.

REFERENCES

1. Clearfield A., Demadis K. D.: *Metal Phosphonate Chemistry: From Synthesis to Applications*. RSC Publishing, Cambridge 2012.
2. Kratochvil J., Necas M., Petricek V., Pinkas J.: Inorg. Chem. 45, 6562 (2006).

1L-07

MULTISTEP RESONANCE ENERGY TRANSFER IN COMPLEX SYSTEMS BASED ON ORGANIC DYES AND LAYERED SILICATE

SILVIA BELUŠÁKOVÁ^a, JURAJ BUJDÁK^{a,b}

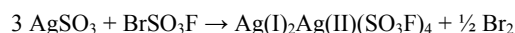
^a Comenius University in Bratislava, Faculty of Natural Sciences, Department of Physical and Theoretical Chemistry, Mlynská dolina, 842 15 Bratislava 4, ^b Institute of Inorganic Chemistry, Slovak Academy of Sciences, Dúbravská cesta 9, 845 36 Bratislava 45
belusakova@nic.fns.uniba.sk

Resonance energy transfer (RET) is a phenomenon occurring in a nanometer scale. It is a significant part of photosynthetic processes in plants. This work was focused on multistep, cascade RET occurring in complex systems based on inorganic carrier, synthetic saponite, and the mixture of adsorbed xantene, pyronine and oxazine dyes. RET was characterized by various methods of fluorescence spectroscopy. Selection of the dyes, their concentration and chemical modifications of the materials were designed in order to achieve significant RET yields. In preliminary experiments, hybrid materials based on colloidal systems were investigated. The results helped to design the preparation of the second group of samples, thin solid films. Efficient multistep RET between the molecules of up to six different laser dyes was achieved in the most of the prepared films. The effects of the concentration of dye molecules intercalated in the films on RET efficiency and the role of the alkylammonium (AA) cations to suppress dye molecular aggregation were investigated. The presence of AA cations brought about to the reduction of dye molecular aggregation in the colloids, which was reflected in the increase of overall fluorescence. Results from fluorescence anisotropy measurements and time-resolved fluorescence spectroscopy confirmed the presence of RET in the majority of studied systems. The multicomponent materials based on inorganic layered carrier, organic dyes and hydrophobic surfactants are cheap and suitable for excitation energy transfer and manipulation on molecular level. Such materials have potential to be applied as components in future solar cells.

This work was supported by the Slovak Research and Development Agency under the contract No. APVV-0291-11, Grant Agency VEGA (2/0107/13, 1/0943/13), and grant UK/16/2014.

1L-08**Ag₃(SO₃F)₄ - A RARE EXAMPLE OF A MIXED-VALENCE SALT OF Ag(I)/Ag(II)****TOMASZ MICHAŁOWSKI***Faculty of Chemistry, University of Warsaw, Pasteura 1, 02-093 Warsaw, Poland*

Ag^{II} is a rather rare cation – just about one hundred of its compounds were reported. Even more of a *terra incognita* is the chemistry of mixed-valence silver^I/silver^{II} species. Only five such compounds were prepared so far: [Ag^{II}(tmc)(BF₄)] [Ag^I₆(C₂(CF₃CO₂)₅(H₂O)]·H₂O (tmc=1,4,8,11-tetramethyl-1,4,8,11-tetraazacyclo-tetradecane)¹, ill-characterized Ag₉F₁₆² and three salts of superacids: Ag^I₂Ag^{II}(SO₃F)₄ - first reported in 1978 by Aubke³ and structurally characterized in 2011 (ref.⁴), Ag^I₂Ag^{II}(SbF₆)₄ (ref.⁵), and Ag^I₄Ag^{II}₅(PO₂F₂)₁₄ (ref.⁶). The most interesting one of those is the black Ag₃(SO₃F)₄ which exhibits 1D antiferromagnetism and its crystal structure is monoclinic: P2₁/c, a=5.33665(3) Å, b=12.94784(8) Å, c=19.59695(12) Å, β=100.6388(5)°, V=1330.95 Å³ (ref.^{3,4}). The product is most conveniently obtained using silver(I) fluorosulfate and bromine fluorosulfate⁴:



An alternative pathway involves slow spontaneous decomposition of Ag(II)(SO₃F)₂ in HSO₃F. The compound has been characterized by a number of methods including elemental (combustion) analysis for S & F content, chromate titration for Ag content, mid- and far-infrared (MIR, FIR) and Raman spectroscopy, simultaneous thermal analysis (thermogravimetric analysis coupled with differential scanning calorimetry and evolved gas analysis, TGA/DSC/EGA), powder X-ray diffraction, magnetometry and electron paramagnetic resonance.

REFERENCES

1. Wang Q. –M., Lee H. K., Mak T. C. W.: *New J. Chem.* 26, 513 (2002).
2. Bartlett N.: personal communication to W. Grochala (2001).
3. Leung P. C., Aubke F.: *Inorg. Chem.* 17, 1765 (1978).
4. Michałowski T., Malinowski P., Derzsi M., Mazej Z., Jagličić Z., Leszczyński P., Grochala W.: *Eur. J. Inorg. Chem.* 16, 2508 (2011).
5. Mazej Z., et al., manuscript in preparation (2014).
6. Malinowski P., Grochala W., manuscript in preparation (2014).
7. Grochala W., Hoffman R.: *Angew. Chem. Int. Ed.* 40, 2742 (2001).

1L-09**KOVALENTNÍ IMOBILIZACE NANOČÁSTIC STŘÍBRA NA TEXTILÍCH****MARTINA KARLÍKOVÁ^{*a}, JANA SOUKUPOVÁ^a, OLGA BALZEROVÁ, KLÁRA ŠAFÁŘOVÁ^b, LIBOR KVÍTEK^a**^a*Katedra fyzikální chemie, Přírodovědecká fakulta, Univerzita Palackého, tř. 17. listopadu 12, 771 46 Olomouc,*^b*Regionální centrum pokročilých technologií a materiálů, Katedra fyzikální chemie, Přírodovědecká fakulta, Univerzita Palackého, tř. 17. listopadu 12, 771 46 Olomouc*
martina.karlikova@upol.cz

Rezistence bakterií vůči antibiotikům se stává pro lidskou populaci stále větší hrozbou. Výzkum se tak obrací k hledání možných alternativ, nových materiálů, vykazujících jednak vysokou antibakteriální aktivitu a zároveň nízkou nebo prakticky žádnou rezistenci infikujících organismů vůči nim. Tyto dvě důležité podmínky splňují nanočástice stříbra^{1,2}.

Naše pozornost byla zaměřena na antibakteriální modifikaci textilních tkanin nanočásticemi stříbra s využitím různých větvených struktur polyethyleniminu (PEI), kovalentně kotvících nanočástice stříbra na povrchu dané textilie. Takto upravené materiály disponují velkým aplikačním potenciálem především ve zdravotnictví a jemu přidružených oborech, kde je kladen velký důraz na sterilitu prostředí.

Modifikovány byly tři druhy tkanin – bavlna, polypropylen a polyester. Byla provedena rozsáhlá studie podpořená řadou snímků ze skenovacího elektronového mikroskopu, sledující vliv reakčních podmínek na morfologii a vlastnosti imobilizovaných částic.

Tato práce byla podpořena projekty OP VaVpI reg. číslo CZ.1.05/2.1.00/03.0058, OPVK CZ.1.07/2.3.00/20.0056, TAČR TE01010218 a TE02000006, dále pak vnitřním grantem UP Olomouc PrF_2014032.

LITERATURA

1. Panáček A., Kvítek L., Pucek R., Kolář M., Večeřová R., Pizúrová N., Sharma V. K., Nevěčná T., Zbořil R.: *J. Phys. Chem. B* 110, 16248 (2006).
2. Jones C. M., Hoek E. M. V.: *J Nanopart Res.* 12, 1531 (2010).

1L-10**TERMODYNAMICKÁ PREDIKCE STABILITY GaN A InN ZAHRNUJÍCÍ POVRCHOVÉ EFEKTY****JINDŘICH LEITNER, DAVID SEDMIDUBSKÝ***Vysoká škola chemicko-technologická, Technická 5, 166 28 Praha 6*
leitnerj@vscht.cz

Při zahřívání nitridů prvků A^{III} (A^{III} = Al, Ga, In) dochází k jejich rozkladu dle rovnice A^{III}N(s) = A^{III}(l) + "N₂(g). Závislost rozkladné teploty T_d na tlaku dusíku v okolní atmosféře byla studována experimentálně i teoreticky s využitím termo-

dynamických dat zúčastněných látek. V případě GaN a InN jsou v literatuře uváděny velmi rozdílné hodnoty jejich slučovací entalpií, což při výpočtech vede k odlišným závislostem $T_d = f(p_{N_2})$.

Cílem našeho příspěvku je podrobná analýza vlastních¹⁻⁴ i z literatury převzatých termodynamických dat pro GaN a InN a výběr konzistentní sady hodnot, které byly dále využity pro stanovení věrohodných závislostí $T_d = f(p_{N_2})$. Příslušné výpočty byly provedeny jak pro makroskopické systémy, tak pro systémy nanostrukturované, u kterých byl zahrnut vliv všech povrchových/mezifázových efektů, které polohu rovnováhy významně ovlivňují. Při výpočtech byly uvažovány dvě různé prostorové konfigurace: (i) nanokapky taveniny na rovinném povrchu tenké vrstvy nitridů a (ii) nanokapky taveniny na nanovlákněch nitridů. Povrchové energie kapalných kovů byly převzaty z literatury, pro pevné nitridy byly odhadnuty pomocí empirické metody *broken-bond*. Hodnoty mezifázové energie na rozhraní (s)-(l) byly odhadnuty na základě měření kontaktních úhlů Ga(l) na GaN(s) a In(l) na InN(s).

Získané výsledky dokumentují zvýšení rozkladných teplot v případě první uvažované konfigurace a snížení pro druhé prostorové uspořádání ve srovnání se systémy makroskopickými.

Tato práce vznikla za podpory grantu GAČR 13-20507S.

LITERATURA

1. Leitner J., Strejc A., Sedmidubský D., Růžička K.: *Thermochim. Acta* 401, 169 (2003).
2. Leitner J., Maršík P., Sedmidubský D., Růžička K.: *J. Phys. Chem. Solids* 65, 1127 (2004).
3. Sedmidubský D., Leitner J.: *J. Cryst. Growth* 286, 66 (2006).
4. Sedmidubský D., Leitner J., Svoboda P., Sofer Z., Macháček J.: *J. Thermal. Anal. Calorimetry* 95, 403 (2009).

1L-11

RŮST KRYSALŮ V TENKÝCH VRSTVÁCH $(\text{GeS}_2)_x(\text{Sb}_2\text{S}_3)_{1-x}$

JAROSLAV BARTÁK^a, VERONIKA PODZEMNÁ^a, JIRÍ MÁLEK^a, BART J. KOOI^b

^a *Katedra fyzikální chemie, Fakulta chemicko-technologická, Univerzita Pardubice, Studentská 573, 532 10 Pardubice, ČR,*
^b *Fakulta matematiky a přírodních věd, Univerzita Groningen, Nijenborgh 4, 9747 AG Groningen, Nizozemí*
j-bartak@seznam.cz

Chalkogenidová skla jsou intenzivně studována díky svým jedinečným vlastnostem (vysoký index lomu, propustnost v infračervené oblasti, vysoká fotocitlivost,...). Díky svým významným vlastnostem mohou být objemové vzorky a tenké vrstvy chalkogenidových skel využity v široké řadě optických a optoelektronických systémů a přístrojů (čochy, optická vlákna, ...), v různých elektrických a paměťových spináčích, nebo například ve vysokokapacitních paměťových médiích (CD, DVD, Blue-Ray Disc)^{1,2}. Všechny tyto aplikace jsou různým způsobem spojeny s procesem krystalizace. Zna-

lost kinetiky krystalizace je důležitá jak pro přípravu skelného materiálu, tak pro jeho využití v praxi. Například v záznamových médiích je krystalizace základním procesem sloužícím k zápisu a uchování dat³.

Isotermní růst krystalů v tenkých vrstvách pseudobinárního systému $(\text{GeS}_2)_x(\text{Sb}_2\text{S}_3)_{1-x}$ byl studován pomocí optické mikroskopie s využitím vysokorychlostní kamery. Lineární závislost velikostí krystalů na době temperace ukazuje na růst řízený kinetikou růstu krystalů na rozhraní krystal-kapalina. Kombinací růstových dat s viskozitními⁴ bylo možné navrhnout vhodný růstový model⁵, který popisuje experimentální data.

Tato práce vznikla za podpory Grantové agentury ČR v rámci grantu P106/11/1152 a projektu CZ.1.07/2.3.00/20.0254 "ReAdMat - Research Team for Advanced Non-Crystalline Materials" spolufinancovaným Evropským sociálním fondem a státním rozpočtem České republiky.

LITERATURA

1. Raoux S., Welnic W., Ielmini D.: *Chem. Rev.* 110, 240 (2010).
2. Mehta N.: *J. Sci. Ind. Res.* 65, 777 (2006).
3. Wuttig M., Yamada N.: *Nature Mater.* 6, 824 (2007).
4. Shánělová J., Košťál P., Málek J.: *J. Non-Cryst. Solids* 352, 3952 (2006).
5. Jackson K.A., Uhlmann D.R., Hunt J.D.: *J. Cryst. Growth* 1, 1 (1967).

1L-12

NANOČÁSTICE STŘÍBRA (AgNPs) – SYNTÉZA, MODIFIKACE A JEJICH ANTIBAKTERIÁLNÍ AKTIVITA

MARTIN SIVERA, LIBOR KVÍTEK, ALEŠ PANÁČEK

Regionální centrum pokročilých technologií a materiálů, Katedra fyzikální chemie, Přírodovědecká fakulta Univerzity Palackého v Olomouci, 17. listopadu 12, 779 00 Olomouc
MartinSivera@seznam.cz

V současné době jsou příprava a aplikace nano-materiálů klíčovými tématy ve výzkumu a vývoji. Nanočástice stříbra (AgNPs) představují jeden z nejvíce komerčně zajímavých materiálů díky jejich výrazné antibakteriální aktivitě. Jsou využívány k povrchové úpravě zdravotnického materiálu (např. umělých srdečních chlopní, katetrů a endoprotéz)^{1,2}. Nanočástice stříbra se velmi hojně využívají v textilním průmyslu, kde jsou přidávány do textilií a stávají se součástí koncových produktů (např. triček, spodního prádla a ponožek). Dále nanočástice nalezneme ve filtračních materiálech, kde se podílí na zvýšení efektivity filtračního procesu^{2,3}.

Nanočástice stříbra jsou syntetizovány převážně pomocí metod založených na chemické redukci stříbrného prekurzoru vhodnou látkou. Výsledné vlastnosti připravených nanočástic je možné ovlivnit přidáním průmyslových případně přírodních látek.

Cílem této práce bylo studium vlivu vybraných látek na přípravu a vlastnosti nanočástic stříbra. Jako modifikátory/

stabilizátory byly použity např. želatina, hyaluronát sodný, dextran, sérový hovězí albumin, xantanová guma a kyselina polyakrylová. Řada z těchto látek má sama o sobě redukční účinky, případně byla použita v kombinaci s osvědčenými redukčními látkami (maltóza, tetrahydridoboritan sodný) nebo fyzikálními metodami (mikrovlnný ohřev, ultrazvuk).

Tato práce vznikla za podpory grantu OP VaVpl CZ.1.05/2.1.00/03.0058, OPVK CZ.1.07/2.3.00/20.0056, TAČR TA03010799 a vnitřního grantu UP Olomouc PrF_2014032.

LITERATURA

1. Kvítek L., Panáček A., Soukupová J., Kolář M., Večeřová R., Pucek R., Holecová M., Zbořil R.: *J. Phys. Chem. B*. 112 (2008).
2. Kvítek L., Pucek R., Panáček A., Novotný R., Hrbáč J., Zbořil R.: *J. Mat. Chem.* 15, (2005).
3. Wei D., Sun W., Qian W., Ye Y., Ma X.: *Carbohydr. Res.* 334 (2009).

1L-13

AgInSe₂-CONJUGATED POLYMER HYBRID SYSTEMS FOR ENERGY APPLICATIONS

DINESH PATHAK^{a,*}, TOMAS WAGNER^a, JEAN-MICHEL NUNZI^b

^a Department of General and Inorganic Chemistry, Faculty of Chemical Technology, University of Pardubice, Studentska 573, 532 10 Pardubice, Czech Republic, ^b Physics Department, Chemistry Department, Queen's University, Kingston, ON, Canada
dineshpathak80@gmail.com

Blends of MdPVV.PCBM.AIS were investigated for Photovoltaic applications. AgInSe₂ powder was synthesized by sealing and heating the stoichiometric constituents in evacuated quartz tube ampule. Fine grinded AIS powder was dispersed in MD-MOPVV and PCBM with and without surfactant. Different concentrations of these particles were suspended in the polymer solutions and spin casted onto ITO glass. Morphological studies have been performed by atomic force microscopy and optical microscopy. SEM images of these blends also suggest uniformly dispersed AIS in polymer matrix. The blend layers were also investigated by various techniques like XRD, UV-VIS optical spectroscopy, AFM, PL, after a series of various optimizations with polymers/concentration/deposition/ suspension/surfactants etc. XRD investigation of blend layers shows clear evidence of AIS dispersion in polymers. Diode behavior and cell parameters also revealed it.

Bulk heterojunction hybrid Photovoltaic device Ag/MoO₃/MdPVV.PCBM.AIS/ZnO/ITO were fabricated and tested with standard solar simulator and device characterization system. The best performance and photovoltaic parameters, we obtained was an open-circuit voltage of about V_{oc} 0.54 V and a photocurrent of I_{sc} 117 micro A and an efficiency of 0.2 percent using a white light illumination intensity of 23 mW/cm². Our results are encouraging for carrying further

the fourth generation inorganic organic hybrid bulk heterojunction photovoltaics research for energy. More optimization with spinning rate/Thickness/solvents/ depositions rates for active layers etc. are being carried out for improved photovoltaic response of these bulk heterojunction devices, which are believed to play an important role in future technology. Further efficiency enhancements are expected following optimization and a better fundamental understanding of the internal electron dynamics and corresponding interfacial engineering.

The Ministry of Education, Youth and Sports of the Czech Republic, Project CZ.1.07/2.3.00/30.0021 "Strengthening of Research and Development Teams at the University of Pardubice", financially supported this work. This article was written with support of Technology Agency of the Czech Republic, project TE 1010022, FLEXPRINT.

1L-14

OPTICKY INDUKOVANÁ DIFÚZE Ag DO TENKÝCH AMORFNÍCH VRSTEV SYSTÉMU Ge-Ga-S

SILVIYA VALKOVA^{a,*}, TOMÁŠ WÄGNER^a, MARTIN PAVLIŠTA^a, JAN PŘÍKRYL^a, MILAN VLČEK^b, LUDVÍK BENEŠ^c, MILOŠ KRBAL^a

^a Univerzita Pardubice; Fakulta chemicko-technologická, Katedra obecné a anorganické chemie, Studentská 95, 532 10 Pardubice, ^b Ústav makromolekulární chemie Akademie věd České republiky a Univerzity Pardubice; Studentská 85, 532 10 Pardubice, ^c Univerzita Pardubice; Fakulta chemicko-technologická; Společná laboratoř chemie pevných látek, Studentská 95, 532 10 Pardubice
silviedivalko@centrum.cz

Jedním z nejrýchleji se vyvíjejících odvětví nových informačních technologií, je výzkum moderních paměťových systémů.

CBRAM¹ (Conductive bridging random access memory) jsou paměti se spínáním přes vodivé můstky², které používají vysokou iontovou vodivost některých materiálů (Ag, Cu), vysoce rozpustných v pevných elektrolytech. Jedním z důležitých faktorů, které určují kvalitu paměti, je zde výběr vhodného elektrolytu. V této práci byly jako potenciální elektrolyty zkoumány tenké vrstvy skelného systému Ag/Ge-Ga-S.

Přímou syntézou z velmi čistých prvků byly připraveny objemové vzorky o složení Ge_{28-x}Ga_xS₇₂. Metodou PLD byly z daných objemových vzorků připraveny řady tenkých vrstev o různých tloušťkách a různém obsahu Ga. Připravené tenké vrstvy byly charakterizovány a následně podrobeny opticky indukované difúzi Ag³.

Studie změn ve struktuře a optických vlastnostech dopovaných Ag/Ge_{28-x}Ga_xS₇₂ tenkých vrstev ukazují maximální množství rozpuštěného Ag vzhledem k tloušťce vrstev a obsahu Ga ve skelné matici.

Autoři děkují Evropskému sociálnímu fondu a Ministerstvu školství mládeže a tělovýchovy České Republiky za finanční podporu projektu CZ.1.07/2.3.00/20.0254 ReAdMat - Výzkumný tým pro pokročilé nekrytalické materiály.

Děkují také MEYS CR KONTAKT II projektu číslo LH14059 a projektům AV0Z500505, P204/11/0832 a P106/11/0506 za finanční podporu.

LITERATURA

1. Kozicki M. N., Mitkova M.: *J. Non-Cryst. Solids* 352, 1986 (2006).
2. Abe K., Takebe H., Morinaga K.: *J. Non-Cryst. Solids* 212, 143 (1997).
3. Wágner T., Frumar M.: *Optically-induced diffusion and dissolution of metals in amorphous chalcogenides*, v: *Photoinduced metastability in amorphous semiconductors*, (A. Kolobov), str. 196–216. Wiley-VCH, Weinheim 2003.

1L-15

STAGES IN RESISTIVE SWITCHING OF MEMORY CELLS BASED ON CHALCOGENIDES AND NANOPOROUS AAO

BO ZHANG, JAKUB KOLÁŘ, JAN M. MACÁK, TOMÁŠ WÁGNER

*Department of General and Inorganic Chemistry, Faculty of Chemical Technology, University of Pardubice, Nam. Cs. Legii 565, 530 02 Pardubice
st44389@student.upce.cz*

Many metal-insulator-metal systems show electrically induced resistive switching effects and have therefore been proposed as the basis for future non-volatile memories¹. Its structure is relatively simple and electrical performances are promising. Two types of resistive switching memory cells are designed. One is based on an ionic conductor Ag_xAsS_2 supported by the Ag-filled porous AAO (Anodic Aluminum Oxide) membrane, which achieves differences of 6 orders of magnitude in the resistivities of the „on“ and „off“ memory state. The other is ionic conductor Ag_xAsS_2 supported by the silver layer on the glass substrate, which shows 2 orders differences, as demonstrated in our recent work².

Resistive switching was studied on the experimental setup consisting of optical microscope connected to a resistivity measurement unit. Dependences of resistivities of “on” and “off” states for both cell types on number of cycle were recorded. The resistive switching behavior varied with time. This evolution of resistive switching might be induced by diffusion or depletion of Ag ion within the region of electrode, as described in this work.

Grant project CZ.1.07/2.3.00/20/0254 “ReAdMat – Research Team for Advanced Non-Crystalline Materials” realized by ESF and Ministry of Education, Youth and Sports of The Czech Republic within ECOP for financial support and project MEYS Kontakt II-LH14059.

REFERENCES

1. Waser R., Aono M.: *Nature Mater.* 6, 833 (2007).
2. Kolar J., et al.: *J. Mater. Chem. C* 2, 349 (2014).

1P-01
HYPOXANTIN A JEHO DERIVÁTY JAKO LIGANDY
V KOMPLEXECH PLATINY

LUCIE HANOUSKOVÁ, RADKA KŘIKAVOVÁ,
ZDENĚK TRÁVNÍČEK

Katedra anorganické chemie, RCPTM, Přírodovědecká fakulta, Univerzita Palackého v Olomouci, 17. listopadu 12, 771 46 Olomouc
radka.krikavova@upol.cz

Komplexní sloučeniny platiny s označením *cisplatin*a a *oxaliplatin*a jsou celosvětově užívány v klinické praxi jako léčiva pro léčbu nádorových onemocnění. Použití těchto látek však přináší celou řadu nežádoucích vedlejších účinků¹. V rámci provedené práce byla syntetizována řada derivátů těchto léčiv obecného strukturního typu *cis*-[PtX₂(L)₂] a [Pt(ox)(L)₂] (X = Br, I; H₂ox = kyselina šťavelová) ve snaze připravit potenciálně biologicky aktivní látky. Použitými ligandy (L) byly různě substituované deriváty hypoxantinu, které mohou samy o sobě vystupovat jako inhibitory enzymů cyklin-dependentních kinas a O₆-guanin-DNA-alkyltransferas, které se účastní procesů buněčného dělení^{2,3}. Vybrané komplexy obecného složení *cis*-[PtX₂(L)₂] byly podrobeny testování *in vitro* cytotoxicity na lidských nádorových liniích prsního adenokarcinomu (MCF-7) a osteosarkomu (HOS).

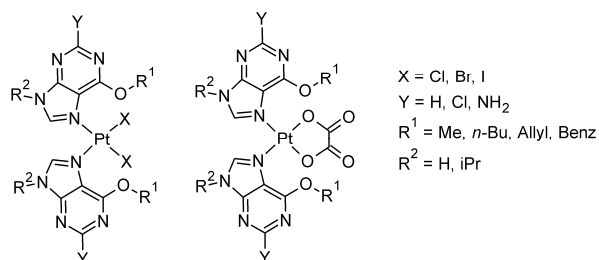


Schéma 1. Obecné vzorce připravených komplexních sloučenin

Tato práce vznikla za podpory projektů CZ.1.05/2.1.00/03.0058, PrF_2013_015; PrF_2014_009.

LITERATURA

1. Gielen M., Tiekink E. R. T.: *Metallotherapeutic Drugs and Metal-based Diagnostic Agents*, Wiley, 2005.
2. Furet P.: *Curr. Med. Chem. Anti-Cancer Agents* 3, 15 (2003).
3. Rabik C. A., Njoku M. C., Dolan M. E.: *Cancer Treat. Rev.* 32, 261 (2006).

1P-02
PRÍPRAVA A ŠTRUKTÚRA 4-AMINOBENZOÁTU
ZINČNATÉHO

KATARÍNA HOMZOVÁ^{a*}, KATARÍNA GYÖRYOVÁ^a,
MARIÁN KOMAN^b, ZUZANA VARGOVÁ^a

^a Ústav chemických vied, Univerzita P. J. Šafárika, Moyzesova 11, 041 54 Košice, ^b Oddelenie anorganickej chémie UACHaM FCHPT STU, Radlinského 9, 812 37 Bratislava
katarina.homzova@student.upjs.sk

Karboxyláty zinku sú objektom intenzívneho skúmania už niekoľko rokov. Ich dôležitosť sa odráža v syntéze nových koordinačných zlúčenín na báze aromatických karboxylátov s bioaktívnymi ligandami (napr. kofeín, teofylín atď.). Karboxylátový anión sa môže koordinovať monodentátnym alebo bidentátnym spôsobom¹. K najčastejším tvarom koordinačných polyédrov aromatických karboxylátov zinku patria tetraéder, trigonálna bipyrámda a oktaéder².

Reakciou vodnej suspenzie ZnCO₃ a etanolového roztoku kyseliny 4-aminobenzoovej sme pripravili [Zn(4-NH₂C₆H₄COO)₂]_n · 0,5 C₂H₅OH. Zlúčeninu sme identifikovali a charakterizovali IČ spektroskopicky a vyriešili sme jej štruktúru. Zlúčenina kryštalizuje v ortorombickej kryštálografickej sústave v priestorovej grupe P2₁2₁2₁ s chromoforom ZnO₃N₂. Koordinačný polyéder má tvar mierne deformovanej trigonálnej bipyrámdy. V ekvatoriálnej rovine sú na atóm zinku bidentátnym chelátovým spôsobom koordinované dva atómy kyslíka z karboxylátového aniónu a monodentátne koordinovaný atóm kyslíka z druhého karboxylátového aniónu. V axiálnej rovine sú na atóm zinku koordinované dva atómy dusíka z dvoch aminoskupín z benzoátového ligandu.

Táto práca vznikla z podpory projektu KVARĀ – Kvalita vzdelávania a rozvoj kompetencií doktorandov a postdoktorandov UPJŠ, č. 26110230084

LITERATÚRA

1. Krajníkova A., Gyepes R., Györyová K.: *J. Chem. Crystallogr.* 40, 650 (2010).
2. Melnik M., Györyová K., Skoršepa J., Holloway C. E.: *J. Coord. Chem.* 35, 179 (1995).

1P-03
STUDIUM JÍLOVÝCH ČÁSTIC S KOVY PRO
POLYMERNÍ NANOKOMPOZITY

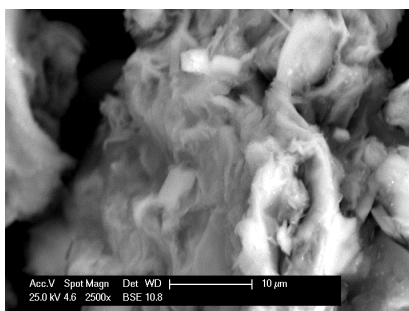
DOMINIK HONĚK^a, MARIANNA HUNDÁKOVÁ^{a,b},
LUCIA ROYUMOVÁ^{a,b}, GRAŽYNA SIMHA
MARTYNKOVÁ^{a,b}

^a Centrum nanotechnologií, ^b IT4 Innovations Centre of Excellence, VŠB-Technická univerzita Ostrava, 17. listopadu 15, 708 33 Ostrava
dominik.honek.st@vsb.cz

Přírodní jílové minerály jsou velmi dobře modifikovatelné a proto jsou vhodné jako fukční nanoplňniva pro různé druhy kompozitů. Polymerní nanokompozity s jílovými nanočástice-

mi modifikovány kovem skýtají možnost využití v aplikacích kde se požaduje vlastnosti příslušející jak kovům (vodivost elektrická a tepelná, magnetické vlastnosti) tak polymerům¹⁻⁴.

Tato studie se zaměřila na modifikaci jílových minerálů v nanorozměrech (silikátová vrstva jílu je tenká 0,98 nm) kovy a to mědi a kobaltu za účelem aplikace do polymerního nanokompozitu s dobrými vodivostními charakteristikami. Jako nosný jíl byl využit montmorillonit a vermikulit pro kovy. Metodou mokré cesty z roztoku byly kovy interkalovány do jílového mezivrsteví, což bylo potvrzeno metodou rentgenové difrakce. Z původní hodnoty mezirovinné vzdálenosti $d_{001} = 1,2$ nm monoionní Na formy vzrostla hodnota na 1,4nm kovové formy.



Obr. 1. Obrázek ze skenovacího elektronového mikroskopu částice montmorillonitu modifikované mědi

Šetrným pozvolným sušením vznikly v aktivních místech silikátového substrátu částice kovů velikosti pod 1 μm.

Kovové prekompozity montmorillonitu a vermikulitu byly následně modifikovány malými molekulami amoniových kationtů, pro lepší kompatibilitu s polymerní maticí. Jako polymerní matrice byl zvolen sulfonovaný tetrafluoroethylen.

Vliv nanoplniv na vlastnosti nanokompozitu byl studován metodami pro strukturní analýzu materiálů: rentgenovou práškovou difrakcí, a infračervenou spektroskopií s Fourierovou transformací. Doplňující metodou pro studium morfologie povrchu byla skenovací elektronové mikroskopie.

Částice silikátů byly shledány dobře dispergovány v tenké polymerní vrstvě a z difuzních píků záznamů z rentgenové difrakce konstatujeme, že došlo i delaminaci vrstevnatého materiálu, což umožní lépe využít vlastnosti interkalovaných a ukotvených kovových částic.

Tato práce vznikla za podpory projektu IT4 Innovations Centre of Excellence reg.č.cz. 1.05/1.1.00/02.0070.

LITERATURA

1. Simha Martynková G., Buchtík O., Plevová E., Barabaszová K., Holešová S., Valášková M.: J. Sci. Conf. Proc. 2, 42 (2010).
2. Simha Martynková G., Valášková M., Čapková P., Matějka V.: J. Colloid Interface Sci. 313, 281 (2007).
3. Valášková M., Simha Martynková G., Matějka V., Barabaszová K., Plevová E., Měřinská D.: Appl. Clay Sci. 43, 108 (2009).
4. Simha Martynková G., Valášková M.: *Modified Vermiculite and Kaolinite Precursors for Nanocomposites*,

in: Nanocomposites: Preparation, Properties and Performance, Nova Publishers, 225-239, ISBN: 978-1-60456-798-4 (2008).

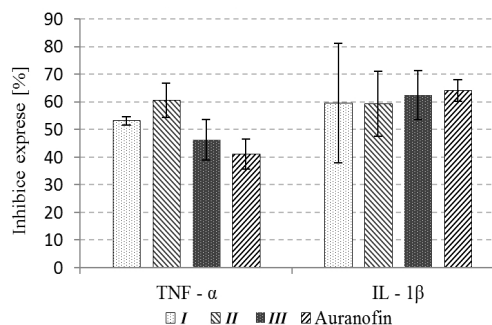
IP-04

ZLATNÉ KOMPLEXY OBSAHUJÍCÍ DERIVÁTY HYPOXANTINU S *IN VITRO* PROTIZÁNĚTLIVOU AKTIVITOU

JAKUB HUTYRA, RADKA KŘIKAVOVÁ, JAN HOŠEK, JÁN VANČO, ZDENĚK TRÁVNÍČEK

Katedra anorganické chemie, RCPTM, Přírodovědecká fakulta, Univerzita Palackého v Olomouci, 17. listopadu 12, 771 46 Olomouc
radka.krikavova@upol.cz

Významným lékem proti revmatoidní artritidě je komplexní sloučenina zlata *Auranofin*, $[\text{Au}(\text{AcTG})(\text{PET}_3)]$ (AcTG = acetylovaná thioglukosa)^{1,2}. V návaznosti na úspěch *Auranofinu* bylo připraveno 9 zlatných komplexů obecného složení $[\text{Au}(\text{L}_n)(\text{PPh}_3)]$, kde L_n představuje deprotonovaný derivát hypoxantinu. Je známo, že deriváty hypoxantinu jsou inhibitory cyklin-dependentních kináz² a jsou tedy vhodnými biologicky aktivními látkami pro použití jako ligandy v komplexních sloučeninách. U připravených Au(I) komplexů byla testována protizánětlivá aktivita sledováním exprese prozánětlivých cytokinů TNF- α a IL-1 β u lipopolysacharidem stimulované zánětlivé reakce leukemických buněk THP-1. Vybrané komplexy vykazují srovnatelné nebo lepší výsledky inhibice exprese TNF- α a IL-1 β než *Auranofin*. U komplexů je také studována jejich *in vitro* cytotoxicita vůči vybraným lidským nádorovým liniím. Výsledky budou diskutovány v rámci prezentace.



Obr. 1. Inhibice exprese cytokinů TNF- α a IL-1 β pro komplexy $[\text{Au}(\text{L}_{1-3})(\text{PPh}_3)]$, kde L_1 = O6-butylyhypoxantin (I), L_2 = O6-benzylhypoxantin (II) a L_3 = 2-chlor-O6-benzylhypoxantin (III)

Tato práce vznikla za podpory projektů CZ.1.05/2.1.00/03.0058, PrF_2013_015; PrF_2014_009.

LITERATURA

1. Sutton B. M.: Gold Bull. 19, 15 (1986).
2. Shaw III F. C.: Chem. Rev. 99, 2589 (1999).
3. Legravend M., Grierson D. S.: Bioorg. Med. Chem. 14, 3987 (2006).

1P-05**ZETA - POTENTIAL CHARACTERIZATION OF VERMICULITE NANOCOMPOSITES****KARLA ČECH BARABASZOVÁ*, PAVEL KALIVODA***Nanotechnology Centre, VŠB-Technical University of Ostrava, 17. listopadu 15/2172, 708 33 Ostrava-Poruba
karla.barabaszova@vsb.cz*

The vermiculite nanocomposites are particular materials with defined particle size and surface. Their unique properties are mainly determined their ability to aggregation or agglomeration. The surface charge is one of the most important characteristics not only particles, which are possible to study their behaviour at different environments, liquids especially¹.

The zeta potential is the most interesting and very important surface property, which give information about total surface charge and it's exploited to assessing of physical stability in liquid mediums². The particle system with large surface energy in liquid medium have tendency for decrease of this energy, which faces, that in case collision's between particles can be expect the agglomeration or aggregation process³. The rate of aggregation process is given especially by electric surface properties of particles (surface charge) and behaviour of Debye layer on the surface of vermiculite nanocomposite particles.

This work was supported by the project No. CZ.1.05/1.1.00/02.0070 – IT4 Innovations Centre of Excellence project and project No. SP2014/39 – Functional nanostructured materials.

REFERENCES

1. Hosokawa M., Nogi K., Naito M. Yokoyama T.: *Nanoparticle technology handbook*. 1st ed. 622 p. Elsevier, Netherlands 2007.
2. Kirby B. J., Hasselbrink E. F.: Zeta potential of microfluidic substrates: Theory, experimental techniques, and effect on separations. *Electrophoresis* 25 (2004).
3. Čech Barabaszová K., Valášková M.: Characterization of vermiculite particles after different milling techniques. *Powder Technology* 239 (2013).

1P-06**CHARAKTERIZACE NEKOVALENTNĚ FUNKCIONALIZOVANÝCH UHLÍKATÝCH NANOTRUBÍČEK****JIŘÍ KARAS, MARCEL MIKESKA, DANIELA PLACHÁ*, GRAŽYNA SIMHA MARTYNKOVÁ***Centrum nanotechnologií, Vysoká škola báňská-Technická Univerzita, Ostrava, 17. listopadu 15, 708 33 Ostrava-Poruba
daniela.placha@vsb.cz*

Uhlíkaté nanotrubičky mají, pro své unikátní vlastnosti, širokou oblast aplikací, např. v oblasti lékařských věd, sensorů, kompozitních materiálů, elektronických a optických zařízeních apod¹. Původní uhlíkaté nanotrubičky se vyznačují

hydrofobním povrchem, ve vodném prostředí tvoří shluky a jsou obtížně dispergovatelné. Některé z výše uvedených aplikací vyžadují úpravu hydrofobních povrchů nanotrubiček, tak aby byly umožněny jejich interakce s okolním prostředím, například v biomedicínských aplikacích s fyziologickým prostředím. Modifikace povrchů nanotrubiček se provádí pomocí kovalentních nebo nekovalentních funkcionalizací.

Nekovalentní funkcionalizace povrchu nanotrubiček je neinvazivním způsobem úpravy povrchu nanotrubiček, který na rozdíl od kovalentní funkcionalizace, nevede k narušení celistvé struktury nanotrubiček. K funkcionalizaci se používají surfaktanty a vybrané polymery, které na základě fyzikálních interakcí vytvoří na povrchu trubiček povlak.

Pro nekovalentní funkcionalizaci povrchu byly použity víceštěnné uhlíkaté nanotrubičky (Nanocyl NC 7000). Funkcionalizace byla provedena s využitím surfaktantů (hexadecyltrimethylammonium bromid, hexadecylpyridinium bromid, dodecylsulfát sodný) a polymerů (polyethylenglykol, chitosan, Tween). Vzniklé materiály byly charakterizovány s využitím metod elektronové mikroskopie, Ramanovy spektroskopie, FTIR a termické gravimetrie a následně porovnány z hlediska návrhu vhodnosti daného materiálu pro vybrané biologické a medicínské aplikace, s využitím metod molekulového modelování.

Tato práce vznikla za podpory projektu evropského regionálního rozvojového fondu IT4Innovations Centre of Excellence (CZ.1.05/1.1.00/02.0070) a SGS SP2014/93.

LITERATURA

1. Ali-Boucetta H., Kostarelos K.: *Adv. Drug. Deliv. Rev.* 65, (2013).

1P-07**KORÓZIA TiB₂ V TAVENINE KF-AIF₃ S PŘÍDAVKOM Al₂O₃****MARTIN KONTRÍK^{a,*}, FRANTIŠEK ŠIMKO^a, DAGMAR GALUSKOVÁ^b, DUŠAN GALUSEK^b***^aÚstav Anorganické chémie, SAV, Dúbravská cesta 9, 845 36 Bratislava 45, ^bVitrum Laugaricio - Centrum kompetencie skla, spoločné pracovisko ÚACH SAV, TnU AD a FChPT STU, Trenčín
martin.kontrik@savba.sk*

V súčasnosti sa výskum v oblasti výroby hliníka intenzívne zameriava na zefektívnenie procesu výroby, najmä v oblastiach znižovania spotreby elektrickej energie, zníženia produkcie odpadov a zvýšenia čistoty výsledného produktu¹. Trend vo vývoji smeruje k využitiu elektrolytu s nízkou teplotou topenia a nahradeniu konvenčných grafitových elektród, elektródami z inertných materiálov²⁻⁶.

Táto práca sa zaoberá skúmaním vplyvu zmesi KF-AIF₃-Al₂O₃, ako kandidáta na nízkotopiaci sa elektrolyt, na koróziu diboridu titánu. Použila sa zmes s kryolitovým pomerom CR=1,3 (CR = n_{KF}/n_{AIF_3}) a s prídavkom 4,5 hm.% Al₂O₃. Korózne experimenty boli vykonávané metódou statických testov pri teplote 680 °C.

Materiál vynikajúco odolával koróznemu prostrediu. Pri

vizuálním pozorování vzorky nevykazovali významné poškození, ani po 100 hodinovém experimente. Na vzorkách byla sledovaná změna hmotnosti před a po korózních testech. Pozoroval se nárůst hmotnosti při všech aplikovaných výdržích, který může být připisán reakci materiálu s taveninou za vzniku korózních produktů, usazených v pórech vzorky. Priemerný nárůst hmotností na všech vzorkách bol približne 4 %.

Povrch vzoriek sa analyzoval skenovacím elektrónovým mikroskopom s využitím EDX analýzy. Výraznejšie korózne napadnutie bolo pozorované až na vzorke po 100 hodinovej expozícii v časti vzorky ponorenej v tavenine. Korózia v tomto mieste mala škvrnitý charakter. Časti vzoriek v oblasti na rozhraní medzi hladinou taveniny a atmosférou, ako aj nad ňou neboli výraznejšie napadnuté. Výsledky pozorování metalografického výbrusu vzoriek potvrdzujú predcházející zistenia.

Táto práca bola podporovaná Agentúrou na podporu výskumu a vývoja na základe zmluvy č. APVV-0460-10, Slovenskou grantovou agentúrou VEGA na základe zmluvy č. VEGA 2/0116/14 a Centrom excelentnosti pre keramiku, sklo a silikátové materiály, ITMS kód 26220120056, na základe Operačného programu pre výskum a vývoj financovaný z Európskeho fondu regionálneho rozvoja.

LITERATÚRA

1. Grjotheim K., Welch B. J.: *Aluminium Smelter Technology – a Pure and Applied Approach*, Aluminium-Verlag, 2nd ed., 1988.
2. Qing-Yu L., Lie L., Jian-hong Y., Yan-qing L., Hong-qiang W., Yong-gang L.: *The Minerals, Metals and Materials Society and ASM International* (38A), 2358 (2007).
3. Qing-Yu L., Yan-qing L., Yong-gang L., Lie L., Jian-hong Y., Jing F., Ye-xiang L.: *Light Metals*, 327 (2004).
4. Yang J., Hryn J. N., Davis B. R., Roy A., Krumdick G. K., Pomykala J. A. Jr.: *Light Metals*, 321 (2004).
5. Pawlek R.: *Light Metals*, 377 (2010).
6. Jie L., Xiao-jun L., Yan-qing L., Qing-yu L., Ye-xiang L.: *J. Minerals Metals, Mater. Soc.* 60, 1543 (2008).

1P-08

SONOCHEMICKÁ A SOLVOTERMÁLNÍ PŘÍPRAVA FOSFOREČNANŮ KOVŮ

MICHAELA KUČAŘOVÁ^a, ALEŠ STÝSKALÍK^{a,b}, JIŘÍ PINKAS^{a,b*}

^a Ústav chemie, Přírodovědecká fakulta, Masarykova univerzita, Kotlářská 2, 611 37 Brno, ^b CEITEC MU, Masarykova univerzita, Kamenice 5, 625 00 Brno
jpinkas@chemi.muni.cz

V této práci jsme se zaměřili na přípravu fosforečnanů kovů sonochemickou a solvotermální metodou. Připravenými látkami byly konkrétně fosforečnany uranu, yttria a železa. Fosforečnany uranu mohou být potenciálně využity k přepracování a uložení radioaktivního odpadu^{1,2}. Fosforečnany yttritě jsou široce využívanými materiály zejména v optice³. Posledně jmenované fosforečnany železa, ve formě

směsných sloučenin, nacházejí využití v elektrotechnice v lithno-iontových bateriích⁴.

Pro jejich přípravu jsme jako prekurzory použili octany nebo acetylacetonátové komplexy zmíněných kovů. Jako rozpouštědla a zároveň reaktanty sloužily různé alkylfosfáty. Produkty byly charakterizovány vybranými fyzikálně-chemickými metodami: IR, PXRD, DLS, SEM, termickou a elementární analýzou.

S využitím uvedených metod přípravy, při nichž reakce probíhají za extrémních podmínek⁵, jsme získali produkty s částicemi o velikosti desítek až stovek nanometrů.

Tato práce vznikla za podpory grantu CEITEC (CZ.1.05/1.1.00/02.0068) a GAČR P207/11/0555.

LITERATURA

1. Doroshenko I.: *Diplomová práce*. Masarykova univerzita, Brno 2013.
2. Žůrková J.: *Diplomová práce*. Masarykova univerzita, Brno 2013.
3. Luo Q., Shen S., Lu G., Xiao X., Mao D., Wang Y.: *J. Mater. Chem.* 19, 8079 (2009).
4. Bilecka I., Hintennach A., Djerdj I., Novák P., Niederberger M.: *J. Mater. Chem.* 19, 5125 (2009).
5. Pinkas J., Reichlova V., Zboril R., Moravec Z., Bezdicka P., Matejkova J.: *Ultrason. Sonochem.* 15, 257 (2008).

1P-09

VLIV PŘÍPRAVY NA BAREVNÉ VLASTNOSTI PEROVSKITOVÉHO PIGMENTU

PETRA LUŇÁKOVÁ, KATEŘINA VILUŠINSKÁ, MIROSLAV TROJAN, JAKUB TROJAN

Univerzita Pardubice, Fakulta chemicko-technologická, Katedra anorganické technologie, Doubravice 41, 532 10 Pardubice

petra.lunakova@student.upce.cz

Mezi dosud nepoužívanější žluté, oranžové a červené pigmenty se řadí chromany olovnaté. Jsou proto hledány nové anorganické pigmenty, které eliminují použití těžkých kovů, a jenž by svojí barevností i ostatními pigmentovými vlastnostmi žluté a oranžové pigmenty nahradily. Za takové sloučeniny lze označit látky, jejichž podstatou je BaCO₃, u kterého lze vhodným dopováním docílit výrazné změny barevných vlastností a také zvýšené termické stability.

Perovskit CaTiO₃ je tmavě hnědý až černý, průsvitný až průhledný, kovově lesklý, nedokonale štěpný minerál s nerovným až lasturnatým lomem. Byl pojmenován po ruském mineralogovi Lvovi Aleksejeviči von Perovskim¹. Je to jedna z nejčastěji se vyskytujících struktur, se kterou se lze setkat u pevných látek anorganického charakteru. Kubická mřížka je ideální strukturou u perovskitových sloučenin, jejichž obecný vzorec je ABX₃, kde kationt A je výrazně větší a může mít oxidační číslo +1 až +3, zatímco kationt B je menší a má oxidační číslo +3 až +5. X označuje aniont, což bývá nejčastěji O²⁻, ale i karbony, nitridy nebo halogenidy².

Byly připraveny žluté a zelené pigmenty na základě směsi oxidu SnO₂ s BaCO₃ a BaSO₄. Pro syntézu pigmentů

byl do směsi přidán také Tb_4O_7 a SiO_2 . Pigmenty byly získány klasickým, dvoustupňovým způsobem a suspenzním mísením surovin. Barevné vlastnosti těchto pigmentů byly měřeny na spektrofotometru ColorQuest XE v barevném prostoru CIE $L^*a^*b^*$ ve viditelné oblasti světla. Byla proměřena velikost částic a pro charakterizaci byla použita rentgenová difrakční analýza.

Tato práce vznikla za podpory IGA Univerzity Pardubice SGSFChT_2014002.

LITERATURA

1. Twu J., Gallagher P. K.: *Properties and applications of perovskite-type oxides, Preparation of Bulk and Supported Perovskites*, kap. 1, s. 10. Marcel Dekker, INC., New York 1993.
2. Pena M. A., Fierro J. L. G.: *Chem. Rev.* 101, 2000 (2001).

1P-10

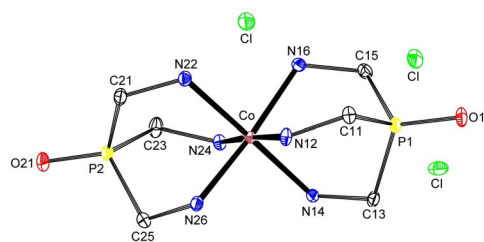
KOMPLEXY TRIS(AMINOMETHYL)FOSFIN-OXIDU JAKO TEMPLÁTY PRO SYNTÉZU KRYPTANDOVÝCH SYSTÉMŮ

MONIKA PAÚROVÁ, IVANA CÍSAŘOVÁ, JAN KOTEK, PETR HERMANN, IVAN LUKÉŠ

*Univerzita Karlova v Praze, Přírodovědecká fakulta, Katedra anorganické chemie, Hlavova 8, 128 43 Praha 2
monika.paurova@natur.cuni.cz*

Syntéza, studium a charakterizace nových kryptandových ligandů je poměrně zajímavou oblastí koordinační chemie. Makrobicyklické ligandy můstkované přes vhodné tripodální skupiny (fosfinoxidové, uhlíkové, dusíkaté) a lineární (symetrické, nesymetrické) spojky nabízejí širokou paletu laditelnosti vlastností vzniklých komplexů. Největší důraz je kladen zejména na velikost koordinační kavity, a termodynamickou stabilitu a kinetickou inertnost kryptandových systémů. Tyto látky pak mohou najít uplatnění např. na poli metallokatalýzy nebo v medicínských zobrazovacích technikách.

Mezi syntetické cesty jak připravit tyto makrobicyklické ligandy patří obvykle metoda velkého zředění (vyžadující práci s velkými objemy reakčních směsí) a nebo templátová syntéza s vhodnými acyklickými prekurzory. Druhý zmíněný přístup je obvykle synteticky příjemnější. Jako templátové prekurzory určené pro další syntézy byly připraveny a studovány komplexy tris(aminomethyl)fosfinoxidu (TAMPO) s ionty přechodných kovů. Ligand byl zkoumán zvláště z hlediska termodynamické stability svých komplexů metodou potenciometrické titrace. Byly získány hodnoty protonizačních konstant ligandu a konstant stability komplexních částic s ionty Cu^{II} , Zn^{II} , Ni^{II} a Co^{II} . Prostorové uspořádání tripodální skupiny pro případné navázání lineárních spojek bylo v některých případech potvrzeno pomocí rentgenostrukturní analýzy.



Obr. 1. Rentgenová struktura $[Co(TAMPO)_2]Cl_3$. Vodíkové atomy nejsou pro přehlednost zobrazeny

Tato práce vznikla za podpory grantu GA ČR P207/11/1437.

1P-11

SIMULÁCIA KORÓZNEHO CHOVANIA ZLIATINY INCOLOY 800H/HT VO FLUORIDOVOM PROSTREDÍ

VILIAM PAVLÍK, MARTIN KONTRÍK, FRANTIŠEK ŠIMKO, MIROSLAV BOČA

*Ústav anorganickej chémie, Slovenská akadémia vied, Dúbravská cesta 9, 845 36 Bratislava
viliam.pavlik@savba.sk*

Vo fluoridových taveninách sa zliatiny nedokážu pasívovať v dôsledku silnej reaktivity fluóru. Ich správanie v koróznom médiu sa prejavuje iným mechanizmom, tzv. prednostnou koróziou. V prípade niklových zliatin všeobecne korodujú prímiesy ako chróm, železo, molybdén, wolfrám, niób a podobne. Ak je tavenina-korózne médium priebežne nasýtená iónmi, ktoré sú za obyčajných podmienok hlavnou koróznou zložkou, je možné predpokladať, že rovnováha sa posunie na stranu reaktantov a korózný úbytok zliatiny bude v konečnom dôsledku nižší.

Cieľom práce bolo pozorovať chovanie zliatiny Incoloy 800 H/HT (48Fe-29Ni-20Cr) v simulovanom koróznom prostredí fluoridovej taveniny LiF-NaF-KF (46,5-11,5-42 mol.%). Testoval sa vplyv umelých prídavkov vybraných fluoridov kovov (CrF_3 , FeF_3 , FeF_2 , CoF_2 , NiF_2) vo fluoridovej tavenine. Teplota taveniny pod argónovou atmosférou bola $680\text{ }^{\circ}C$. Čas výdrže na danej teplote sa pohyboval okolo 8 hodín.

Na vyhodnotenie sa použila vážková analýza a metóda pozorovania povrchu SEM-EDX.

Zistilo sa, že so zvyšujúcim množstvom umelo prídavných fluoridov kovov sa úbytok zliatiny zvyšoval. V prípade prídavku 5 mol.% fluoridu chromitého sa váhový úbytok znížil v porovnaní s jeho prídavkami od 0,3 mol.% až po 3,4 mol.%. SEM-EDX analýzou sa zistilo, že prednostne sa zo zliatiny vylučoval chróm a železo, pričom v zliatine vznikla vrstva obohatená niklom. Zistila sa aj istá závislosť úbytku zliatiny od použitých umelých prídavkov fluoridov z pohľadu poradia prvkov v elektrochemickom rade napätia. Toto zistenie môže mať veľký technologický význam.

Táto práca vznikla za podpory Slovenskej grantovej agentúry VEGA č. 02/0095/12 a č. 02/0116/14.

1P-12

VLIV ANORGANICKÝCH NANOPLNIV NA BÁZI JÍLOVÝCH MINERÁLŮ A UHLÍKATÝCH MATERIÁLŮ NA TEPELNÉ VLASTNOSTI POLY(*N*-VINYLKAPROLAKTAMU)LENKA PAZOURKOVÁ^{a,b}, JANA ZDRÁLKOVÁ^{a,b}, GRAŽYNA SIMHA MARTYNKOVÁ^{a,b}

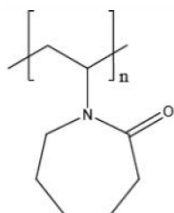
^a Centrum nanotechnologií, ^b IT4 Innovations Centre of Excellence, VŠB-Technická univerzita Ostrava, 17. listopadu 15, 708 33 Ostrava
lenka.pazourkova@vsb.cz

Poly(*N*-vinylnkaprolaktam)¹ je neionogenní, voděrozpuštěný, neadhezivní, termosenzitivní a biokompatibilní polymer, který patří do skupiny poly-*N*-vinylamidových polymerů². Termosenzitivní polymery jsou rozpustné ve studené vodě, ale kolabují a dochází ke srážení nad určitou teplotu. Při dosažení teploty fázového přechodu dochází k náhlé změně v konformaci, rozpustnosti a hydrofilně-hydrofobní rovnováze³. V průběhu tepelného zatěžování tohoto polymeru bylo prokázáno, že při 380 °C dochází k nepřiměřeně velkému úbytku hmotnosti. Maximální ztráta hmotnosti je okolo 430 °C (cit.¹). Abychom zabránili těmto nežádoucím jevům je vhodné polymer obohatit o plnivovou složku s lepšími tepelnými charakteristikami.

Jednou z možností je využití modifikovaných jílových minerálů v nanorozměrech (silikátová vrstva jílu je tenká 0,98 nm). Nejběžněji využívané jílové minerály jako plniva do polymerů jsou ze skupiny smektitů (montmorillonit), vermikulitů a kaolinu (halloysit). Tyto minerály ovlivňují především mechanické vlastnosti a tepelnou stabilitu polymerů⁴⁻⁶.

Další možností plniva jsou nanouhlíkaté materiály ovlivňující mechanické a tepelné vlastnosti polymerů. Vykazují především zlepšení tepelné stability a vylepšení pevnostně-mechanických parametrů výsledného polymerního nanokompozitu oproti čistým polymerním látkám^{7,8}.

Tato práce studuje vliv jílových minerálů a uhlíkatých materiálů na tepelnou stabilitu poly (*N*-vinylnkaprolaktamu). Pozitivní vliv nanoplíniv na vlastnosti nanokompozitu byl studován metodami pro strukturní analýzu materiálu: rentgenovou práškovou difrakcí, a infračervenou spektroskopií s Fourierovou transformací, hmotnostní změny za tepelného zatěžování se stanovily termogravimetrickou analýzou. Doplňující metodou pro studium morfologie povrchu byla skenovací elektronové mikroskopie.

Obr. 1. Poly(*N*-vinylnkaprolaktam)¹

Tato práce vznikla za podpory grantu MŠMT ČR SP2014/82 a projektu IT4 Innovations Centre of Excellence reg.č.cz. 1.05/1.1.00/02.0070.

LITERATURA

1. Kozanoğlu S., Özdemir T., Usanmaz A.: J. Macromol. Sci., Part A: Pure Appl. Chem. 48, 467 (2011).
2. Cheng S. C., Feng W., Pashikh I. I., Yuan L. H., Deng H. C., Zhou Y.: Radiat. Phys. Chem. 63, 517 (2002).
3. Schmaljohann D.: Adv. Drug Delivery Rev. 58, 1655 (2006).
4. Blumstein A.: J. Polym. Sci., A 3, 2665 (1965)
5. Wang L., Wang X., Chen Z., Ma P.: Appl. Clay Sci. 75–76, 74 (2013).
6. Mingxian L., Zhixin J., Demin J., Changren Z.: Prog. Polym. Sci., v tisku
7. Barreto C., Altskär A., Fredriksen S., Hansen E., Rychwalski R. W.: Eur. Polym. J. 49, 2149 (2013).
8. Kaczmarek H., Podgórski A.: Polym. Degrad. Stab. 92, 939 (2007).

1P-13

ZINC AND CADMIUM SULPHIDE NANOCOMPOSITES WITH MONTMORILLONITE: PREPARATION AND PHOTOCATALYTIC ACTIVITY

PETR PRAUS^a, PETR KOVÁŘ^b

^a Department of Chemistry, VŠB-Technical University of Ostrava, 17. listopadu 15, 708 33 Ostrava, ^b Department of Chemical Physics and Optics, Charles University in Prague, Faculty of Mathematics and Physics, Ke Karlovu 3, 121 16 Prague 2
petr.praus@vsb.cz

ZnS and CdS nanoparticles were precipitated by reactions of zinc and cadmium acetate with sodium sulphide in the presence of the cationic surfactant cetyltrimethylammonium bromide (CTAB). The nanoparticles with the radii of 2.0–2.2 nm were obtained. ZnS and CdS nanoparticles had the hexagonal and cubic structure, respectively. The dispersions of ZnS, CdS nanoparticles and CTAB were studied by laboratory and molecular modelling methods. Based on zeta potentials measurements and results of molecular simulations ZnS and CdS nanoparticles were found to be covered by CTAB arranged into bilayers forming positively charged micelles.

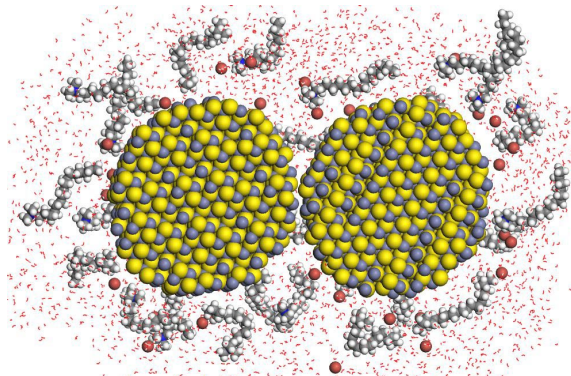


Fig. 1. Cross section of ZnS nanoparticles in water environment surrounded by CTAB

These micelles were immobilized on particles of the clay mineral montmorillonite (MMT). ZnS and CdS nanoparticles were mostly deposited in micro- and mesopores of MMT that were closed during drying. The resulting nanocomposites contained 4–7 wt. % of ZnS, resp. CdS. The MMT nanocomposites along with free ZnS and CdS nanoparticles were applied for the photocatalytic decomposition of phenol¹, nitrous oxide² and photocatalytic reduction of carbon dioxide^{3,4}. Using free nanoparticles as well as the nanocomposites the 90% efficiency of the phenol decomposition was achieved. For the reduction of CO₂ the nanocomposites were more suitable. They provided 5–6 fold higher efficiency than the commercial TiO₂ catalyst (Evonik P25) in production of hydrogen and methane. In case of the N₂O decomposition ZnS nanoparticles and the ZnS-MMT nanocomposite were also more efficient (80 %) than TiO₂ (57 %).

This work was financially supported by the Ministry of Education, Youth and Sports of the Czech Republic in the “National Feasibility Program I”, project LO1208 “TEWEP”.

REFERENCES

1. Praus P., Matys J., Kozák O.: J. Braz. Chem. Soc. 23, 1900 (2012).
2. Obalová L., Šihor M., Praus P., Reli M., Kočí K.: Catal. Today 230, 61 (2014).
3. Kozák O., Praus P., Kočí K., Klementová M.: J. Colloid Interface Sci. 352, 244 (2010).
4. Praus P., Kozák O., Kočí K., Panáček A., Dvorský R.: J. Colloid Interface Sci. 360, 574 (2011).

1P-14

PREPARATION OF Zn_xCd_{1-x}S NANOPARTICLES AND THEIR PHOTOCATALYTIC

LADISLAV SVOBODA, PETR PRAUS*

*Department of Chemistry, VŠB-Technical University of Ostrava, 17. listopadu 15, 708 33 Ostrava, Czech Republic
petr.praus@vsb.cz*

Semiconductor Zn_xCd_{1-x}S nanoparticles (NPs) were prepared by precipitation procedure at room temperatures. Mixtures of zinc and cadmium cations were precipitated by sodium sulphide in the presence of cetyltrimethylammonium bromide (CTAB) creating micelles into which nanoparticles were encapsulated and protected against agglomeration¹. The ratio of Zn: Cd composition in Zn_xCd_{1-x}S was changed in range from $x=0$ to $x=1$ with the step 0.1. Energy gaps were determined from measured UV-Vis spectra by the Tauc method². Radii of the nanoparticles were calculated using dependence of gap energy on radius of semiconductor quantum dots involving quantum confinement effect. Electron transmission microscopy was used to confirm calculated sizes of prepared nanoparticles (Fig. 1).

The photocatalytic activity of prepared Zn_xCd_{1-x}S nanoparticles has been tested by degradation of methylene blue solution under UV-light irradiation with maximum emission wavelength at 365 nm. The best results in photocatalytic activity was found for composition Zn_{0.6}Cd_{0.4}S in which band

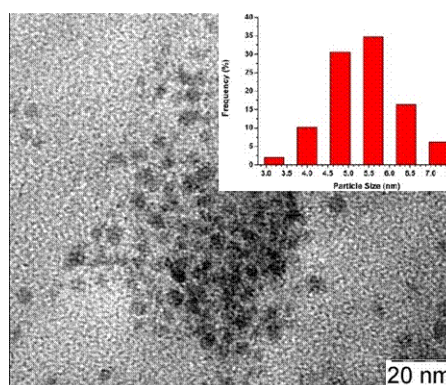


Fig. 1. TEM analysis of Zn_{0.3}Cd_{0.7}S nanoparticles with size distribution histogram

gap energy is close to energy of photons of light used for excitation in photocatalytic experiments.

This work was supported by the Czech Science Foundation (P107/11/1918), by the Regional Materials Science and Technology Centre (CZ.1.05/2.1.00/01.0040) in Ostrava and by VŠB-Technical University of Ostrava (student's grants SP2013/56).

REFERENCES

1. Praus P., Dvorský R., Horínková P., Pospíšil M., Kovář P.: J. Colloid Interface Sci. 377.1, 58 (2012).
2. Tauc J., Grigorovici R., Vancu A.: Physica Status Solidi (b) 15, 627 (1966).

1P-15

ŠTÚDIUM J-MAGNETOŠTRUKTÚRNYCH KORELÁČI

BEATA VRANOVIČOVÁ*, ROMAN BOČA, VIERA MRÁZOVÁ

*Katedra chémie, Fakulta prírodných vied Univerzita sv. Cyrila a Metoda v Trnave, nám. J. Herdu 2, 917 01 Trnava, Slovenská republika
beata.vranovicova@ucm.sk*

Vzťah medzi štruktúrou koordinačných zlúčenín a ich magnetickými vlastnosťami sa študuje už niekoľko dekád. Štruktúra sa na jednej strane charakterizuje niektorými významnými väzbovými vzdialenosťami alebo väzbovými uhlami. Na druhej strane sa pohľad na magnetické vlastnosti redukuje na hodnotu konštanty izotropnej interakcie (J alebo 2J podľa definície člena Hamiltoniánu). Predmetom nášho skúmania sú tradičné J-magnetoštruktúrne korelácie v komplexoch prechodných kovov (napr. medi, železa, kobaltu, chrómu a mangánu), týkajúce sa vzťahu $J = f(p)$, kde p je štruktúrny parameter¹.

Nové možnosti skúmania J-magnetoštruktúrnych korelácií poskytuje použitie chemometrie. Spracovaním zozbieraných štruktúrnych a magnetických údajov z literatúry, moder-

nými prostředky a využitím programu Statgraphics, sa dajú získať mnohopočetné korelačné vzťahy².

Veľkou motiváciou pre ďalšie štúdium korelácií najmä v dvojjadrových komplexoch Fe(III) sú aj ich prediktívne možnosti pri skúmaní vlastností proteínov ako sú feritin a hemosiderin³.

Tato práce vznikla za podpory grantu VEGA 1/0073/13.

LITERATÚRA

1. Kahn O.: *Molecular Magnetism*. VCH, Weinheim 1993.
2. Puterová-Tokárová Z., Mrázová V., Kožíšek J., Valentová J., Vranovičová B., Boča R.: *Polyhedron* 70, 52 (2014).
3. Gorun S. M., Lippard S. J.: *Inorg. Chem.* 30, 1625 (1991).

1P-16

MECHANOAKTIVACE CaSnSiO_5

MARCELA ZVONKOVÁ, JANA LUXOVÁ, JAKUB TROJAN, MIROSLAV TROJAN

*Univerzita Pardubice, Fakulta chemicko-technologická, Katedra anorganické technologie, Doubravice 41, 532 10 Pardubice
zvonkova.marcela@gmail.com*

Práce je zaměřena na přípravu pigmentů typu CaSnSiO_5 s dopujícími prvky vybraných lanthanoidů a chromem. Jedná se o malayaity cínité povahy s monoklinickou krystalovou strukturou^{1,2}. Jejich barevné chování závisí na použití daného typu keramické glazury³⁻⁵. Vzorky byly připraveny, zhomogenizovány a mlety po dobu pěti hodin s následnou kalcinací při teplotách 1200 až 1450 °C.

Zkoumané vzorky byly připraveny v různých koncentracích suchým způsobem přípravy reakcí v pevné fázi. Čistota použitých výchozích látek byla v rozmezí 96–99 %. Kalcinace reakční směsi v korundových kelímcích v elektrické peci trvala čtyři hodiny s rychlostí náběhu teploty v peci 10 °C/min. Mletí probíhalo v achátových miskách v jednopozicovém planetovém mlýnku "pulverisette 6" Fritsch (Fritsch GmbH, SRN) při rychlosti 200 otáček za minutu po dobu pěti hodin. Výsledný mlecí efekt byl dán pohybem koulí a mletého materiálu po vnitřní stěně mlecí nádoby a rázem koulí na mletý materiál a protilehlou vnitřní stěnu mlecí nádoby. Hermetické těsnění mezi mlecími nádobami a víkem zaručilo bezeztrátové mletí. Barevné vlastnosti testovaných vzorků byly sledovány při aplikaci do keramické glazury P07410 a nanesením na lesklý bílý fotografický papír ve formě tenkého filmu v organické matici. Hodnoty barevných souřadnic L, a*, b* byly změřeny pomocí ColorQuestu XE (HunterLab, USA). Velikost částic byla vyhodnocena v jejich práškové formě na Mastersizer 2000/MU (Malvern Instruments, VB).

Ze získaných laboratorních testů vyplývá, že mechanoaktivace výrazně ovlivňuje velikost zrn připravených pigmentů.

Tato práce vznikla za podpory projektu IGA Univerzity Pardubice, SGFChT 04.

LITERATURA

1. Alexander J. B., Flinter B. H.: *Mineral. Mag.* 32, 622 (1965).
2. Higgins J. B., Ribbe P. H.: *Am. Mineral.* 62, 7 (1977).
3. Eppler R. A.: *Am. Ceram. Soc. Bull.* 66, 1600 (1987).
4. Eppler R. A.: *Kirk-Othmer Encyclopedia of Chemical Technology* 6, 877-892 (1992)
5. Escardino L., Mestre S., Feliu C., Jodar P., Diaz L.: *Br. Ceram. Trans.* 101, 213 (2002).

2L-01

MODERNÍ METODY IZOLACE A PROFILOVÁNÍ ROSTLINNÝCH HORMONŮ CYTOKININŮ

PETR TARKOWSKI^a, ONDŘEJ NOVÁK^a, JAKUB KOŘISTKA^a, Lucie HELENKOVÁ^a, PAVEL JAWOREK^a, TIBOR BÉRES^a, YU-QI FENG^b, MIROSLAV STRNAD^a

^a Centrum Regionu Haná pro biotechnologický a zemědělský výzkum, Přírodovědecká fakulta, Univerzita Palackého, Šlechtitelů 11, 783 71 Olomouc, ^b Katedra analytické chemie, Univerzita Wuhan, 430072 Wuhan, Čína
petr.tarkowski@upol.cz

Rostlinné hormony cytokininy hrají klíčovou roli při regulaci mnoha vývojových procesů v rostlinách. Tyto signální molekuly regulují v koordinaci s dalšími hormony buněčné dělení, diferenciaci buněk, apikální dominanci, metabolickou aktivitu pletiv, stárnutí listů apod. Strukturálně se jedná o N6-substituované deriváty adeninu. V rostlinných pletivech se tyto látky vyskytují v několika formách (volné báze, ribosidy, glykosidy, nukleotidy), které se významně liší svojí biologickou aktivitou a tudíž i funkcí. Na rozdíl od produktů primárního metabolismu a naprosté většiny sekundárních metabolitů se rostlinné hormony vyskytují ve velmi nízkých koncentracích (fmol – pmol/g čerstvé hmoty). Rostlinné pletivo představuje komplexní směs látek, které mají často podobnou strukturu či fyzikálně chemické vlastnosti jako cytokininy. Dnes je známo více než padesát různých cytokininů, včetně *cis/trans* či polohových isomerů¹. Všechny výše uvedené skutečnosti vedou k potřebě používat dostatečně selektivní a mimořádně citlivé metody chemické analýzy cytokininů². Předmětem této prezentace je přehled moderních izolačních metod a metod koncové analýzy, které se v posledních letech uplatňují při profilování cytokininů přirozeně se vyskytujících v rostlinách a bakteriích. Jedná se zejména mikroextrakční metody (mikroextrakce na pevné fázi, mikroextrakce polymerním monolitem) a spojené techniky LC-MS/MS a CE-MS/MS či CE-LIF.

LITERATURA

1. Tarkowski P., Doležal K., Strnad M.: Chem. Listy 98, 834 (2004).
2. Tarkowski P., Ge L., Young J. W. H., Tan S. N.: Trends Anal. Chem. 28, 323 (2009).

2L-02

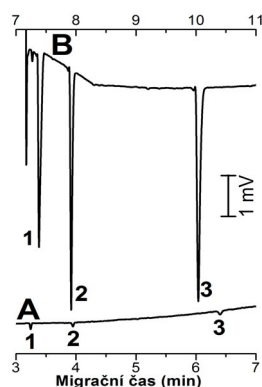
ON-LINE PREKONCENTRACE KLINICKÝCH VZORKŮ V KAPILÁRNÍ ELEKTROFORÉZE

PETR TŮMA

Ústav biochemie, molekulární a buněčné biologie, 3. lékařská fakulta Univerzity Karlovy v Praze, Ruská 87, 100 00 Praha 10
petr.tuma@lf3.cuni.cz

Mezi přednosti kapilární elektroforézy (CE) patří vysoká separační účinnost, krátká doba separace a snadná úprava

vzorků před instrumentální analýzou. V kombinaci s běžnými detektory, UV-Vis fotometrický nebo vodivostní, vykazují CE vysoké limity detekce na úrovni 10^{-5} mol/l, které do značné míry limitují její široké využití v klinické analýze. Tuto nevýhodu lze překonat použitím prekoncentračních technik, pomocí nichž se klinické vzorky zakoncentrují přímo v separační kapiláře. Krevní plasma, moč, mozkomíšni mok nebo mikrodialyzáty tkání jsou před CE analýzou ředěny vodou nebo přidavkem organického rozpouštědla z důvodu potlačení vysoké vodivosti klinických vzorků. Takto upravené vzorky lze dávkovat do kapiláry ve velkém množství a analyty zakoncentrovat elektrickým polem na rozhraní vzorek/separační elektrolyt. Touto metodikou byly stanoveny neurotransmitery (glycin, glutamát a GABA) v mikrodialyzátech mozku^{1,2} nebo antidiabetikum metformin v moči a krvi³ s limity detekce na úrovni 10^{-8} mol/l.



Obr. 1. Elektroferogram 10^{-5} mol/l směsi neurotransmiterů, GABA (1), glycin (2) a glutamát (3), rozpuštěných v 75% acetonitrilu s přidavkem 20 mM NaCl. Běžné dávkování vzorku do kapiláry – 1,4 % z délky kapiláry (A), vysoké dávkování – 98 % z délky kapiláry (B). Separační elektrolyt, 4 mol/l kyselina octová; kapilára, 60 μ m id, 43 cm délka, 28 cm k bezkontaktnímu vodivostnímu detektoru; 25 kV

Tato práce vznikla za podpory Univerzity Karlovy v Praze, projekty PRVOUK P31 a UNCE 204015/2012.

LITERATURA

1. Tůma P., Soukupová M., Samcová E., Štulík K.: Electrophoresis 30, 3436 (2009).
2. Tůma P., Šustková-Fišerová M., Opekar F., Pavlíček V., Málková K.: J. Chromatogr. A 16, 94 (2013).
3. Tůma P.: J. Chromatogr. A 1345, 207 (2014).

2L-03

VYUŽITIE ANALYTICKÝCH METÓD PRI ANALÝZE LIEČIV V POTRAVINÁCH

JOZEF SOKOL

Univerzita sv. Cyrila a Metóda, Fakulta prírodných vied v Trnave, J. Herdu 2, 917 01 Trnava
jozef.sokol@ucm.sk

Legislatívne nariadenia týkajúce sa problematiky rezíduí liečiv v potravinách živočíšneho pôvodu majú za úlohu chrániť

niť zdravie spotrebiteľa. Sú stále prísnejšie a náročnejšie z hľadiska tzv. maximálnych reziduálnych limitov (MRL). Preto aj nové metódy stanovenia reziduí liečiv sa musí sa realizovať na takých úrovniach, aby vedeli spoľahlivo detegovať a stanoviť hodnoty na úrovni MRL. Tento trend sa realizuje na viacerých úrovniach, a to znižovaním medze stanovitelnosti analytických metód pod hodnotu MRL na úrovni ppb až ppt, zdokonaľovaním a zavádzaním nových metód, vývojom kvalitnejšej prístrojovej techniky a využívaním predkoncentračných techník.

Medzi diagnostické metódy kontroly reziduí liečiv patria:

- mikrobiologické metódy (štvorplatňová metóda, Staar metóda, Delvo test, Premi test,
- imunochemické metódy (Charm test),
- chemické metódy (kvapalinová chromatografia, tenkovrstvová chromatografia, kapilárna elektroforéza a hmotnostná spektrometria v kombinácii so separačnými metódami.

Vyber správnej extrakčnej metódy a predkoncentračnej techniky má priamy dopad na výťažnosť metódy. Najviac využívanou prekoncentračnou technikou je extrakcia na tuhej fáze (SPE). Extrakcia za pomoci McIlvainovho tlmivého roztoku a techniky SPE na kolónkach s fázou C₁₈ sa používala pri stanovení tetracyklínov. Pri stanovovaní tylozínu sa extrakt acetonitrilu a vody zakoncentroval na kolónkach s fázou C₁₈, a taktiež pri stanovovaní penicilínov, kde sme zakoncentrovali vyextrahované penicilíny vo fosfátovom tlmivom roztoku. Na chromatografickú separáciu antibiotík sa najčastejšie používajú kolóny na baze reverzných fáz, ako sú C₁₈ a C₈. Ako mobilné fázy sa používajú tlmivé roztoky v kombinácii s acetonitrilom a metanolom. Pre tetracyklíny: acetonitril-metanol-0,01 M vodný roztok kyseliny šťaveľovej, acetonitril-0,01 M roztok kyseliny fosforečnej pre tylozín. Najviac používanými detekčnými technikami v kvapalinovej chromatografii reziduí antibiotík sú UV detekcia, fluorescenčná detekcia, hmotnostná spektrometria a prípadne elektrochemická detekcia. Najväčším prínosom v posledných rokoch je metóda kvapalinovej chromatografie a hmotnostnej spektrometrie, ktorá sa využíva za účelom konfirmácie reziduí liečiv, zároveň posúva detekčné limity k nižším hodnotám.

Príspevok vznikol za podpory grantu VEGA č. 1/0233/12.

LITERATÚRA

1. Sokol J., Matisová E.: J. Chromatogr. A 669, 75 (1994).
2. Dudrikova E., Sokol J., Nagy J.: J. AOAC Int. 82(6), 1 (1999).

2L-04

DETEKCE LIDSKÉHO IMUNOGLOBULINU G Z KAPKY KRVE POMOCÍ MAGNETICKÉHO NANOKOMPOZITU A PVRCHEM ZESÍLENÉ RAMANOVY SPEKTROSKOPIE

ANNA BALZEROVÁ, ARIANA FARGAŠOVÁ, ZDENKA MARKOVÁ, VÁCLAV RANC*, RADEK ZBOŘIL*

*Regionální centrum pokročilých technologií a materiálů, Katedra fyzikální chemie, Přírodovědecká fakulta, Univerzita Palackého v Olomouci, 17. listopadu 12, 771 46 Olomouc
anna.balzerova@upol.cz*

Imunoglobuliny jsou proteiny, které mají klíčovou úlohu při obraně organismu proti cizím objektům, jako jsou viry nebo bakterie. V lidském těle se vyskytuje pět tříd imunoglobulinů (A, G, M, E a D). Imunoglobulin G (IgG) má nejmenší poloměr a jako jediný ze všech tříd je schopen proniknout placentou k nenarozenému dítěti, a tím ho chránit¹. Koncentrace IgG v krvi zdravého dospělého člověka je přibližně 10 g l⁻¹, ale mění se v závislosti na zdravotním stavu. Běžně se k detekci IgG používají imunologické metody jako ELISA (Enzyme-Linked Immunosorbent Assay) a metody od ní odvozené nebo separační metody, jako je elektroforéza a kapalinová chromatografie v kombinaci s hmotnostní spektrometrií. Tyto metody mají mnoho výhod, jako je vysoká citlivost a robustnost, ale jsou časově a materiálově náročné². Z tohoto důvodu je stále vysoká poptávka po nových metodách nebo materiálech, které by byly schopny selektivně stanovit imunoglobuliny i při velmi nízkých koncentracích.

Jednou z metod potenciálně využitelných v této oblasti je povrchem zesílená Ramanova spektroskopie (SERS). Účinnou kombinací této techniky a účelně navrženého nanokompozitu obsahujícího magnetické jádro a nanočástice stříbra povrchově modifikované pomocí antiIgG byla vyvinuta procedura pro stanovení IgG ve vzorcích krve získaných tzv. „finger prick“ metodou. Přítomnost potenciální nespecifické interakce komponent vzorku s aktivním povrchem stříbra byla minimalizována úplnou blokadou tohoto povrchu pomocí ethylaminu. Díky magnetickým vlastnostem nanokompozitu je možné jednoduše zakoncentrovat a odseparovat cílovou látku (IgG) ze složité matrice (krev) a díky nanočásticím stříbra ji snadno stanovit pomocí SERS. V porovnání s metodami sendvičového typu je použití jediného nanokompozitu velmi jednoduché a při analýze nedochází k chybám způsobeným nespecifickými interakcemi.

Tato práce byla podpořena projekty OP VaVpI reg. číslo CZ.1.05/2.1.00/03.0058, OPVK CZ.1.07/2.3.00/20.0056, TAČR TA03011368 a vnitřním grantem UP Olomouc PrF_2014032.

LITERATURA

1. Shakib F., v knize: *The Human IgG subclasses: molecular analysis of structure, function, and regulation*, s. 316. Pergamon Press, Oxford 1990.
2. Dobson R., Topping J., Giovannoni G.: J. Medical Virology 85, 128 (2013).

2L-05**VLIV STÁRNUTÍ DISPERZE NANOČÁSTIC STŘÍBRA NA JEJICH POUŽITÍ V POVRCHEM ZESÍLENÉ RAMANOVÉ SPEKTROSKOPII****ARIANA FARGAŠOVÁ, ROBERT PRUCEK, ANNA BALZEROVÁ, MICHAELA SOPÚCHOVÁ, ALEŠ PANÁČEK, LIBOR KVÍTEK, RADEK ZBOŘIL**

Regionální centrum pokročilých technologií a materiálů,
Katedra fyzikální chemie, PřF UP, tř. 17. listopadu 12,
771 46 Olomouc
ariana.fargasova@upol.cz

V posledních několika desetiletích se nanočástice stříbra (AgNPs) staly běžnou součástí moderní civilizace díky jejich optickým, magnetickým, elektronickým a v neposlední řadě antibakteriálním vlastnostem. Na základě těchto unikátních vlastností se pak v nanosvětě objevují zcela nové fenomény a zcela nové formy hmoty, od kterých se pak odvíjí jejich využití pro mnohé aplikace. AgNPs našly mimo jiné zejména uplatnění jako substrát v povrchem zesílené Ramanové spektroskopii (SERS).

Jako nejběžnější substráty pro SERS jsou využívány AgNPs připravené redukcí citrátem sodným¹ nebo borohydridem sodným², které však díky hůře opakovatelnému postupu přípravy často poskytují nereprodukovatelné SERS výsledky.

Uvedená práce se proto zabývá sledováním dlouhodobé časové stability nanočástic stříbra, připravených redukcí amoniakálního komplexu stříbrných iontů D-maltosou. Experimenty byly prováděny na základě měření průměrné velikosti částic a zaznamenáváním UV/Vis spekter. Kromě těchto parametrů byla také sledována hodnota pH a hodnota vodivosti po dobu téměř jednoho roku. Současně, u takto připravených AgNPs, byla sledována efektivita zesílení signálu v rámci SERS měření.

Tato práce vznikla za podpory projektů OP VaVpl reg. číslo CZ.1.05/2.1.00/03.0058, OPVK CZ.1.07/2.3.00/20.0056, TAČR TA03011368 a vnitřního grantu UP Olomouc (PřF_2014_032).

LITERATURA

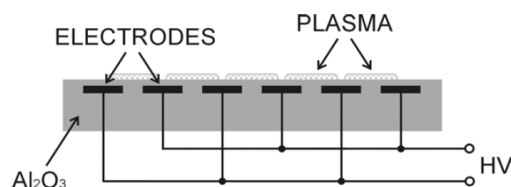
1. Lee P. C., Meisel D.: J. Phys. Chem. 86, 3391 (1982).
2. Greighton J. A., Blatchford C. G., Albrecht M. G.: J. Chem. Soc., Faraday Trans. 2 75, 790 (1979).

2L-06**STUDIUM PŘÍPRAVY VRSTEV NANOČÁSTIC STŘÍBRA ZA VYUŽITÍ STUDENÉ PLAZMY PRO POVRCHEM ZESÍLENOU RAMANOVU SPEKTROSKOPII (SERS)****JAKUB VLČEK, LUBOMÍR LAPČÍK, ALEŠ PANÁČEK***

Regionální centrum pokročilých technologií a materiálů,
Katedra fyzikální chemie, Přírodovědecká fakulta, Univerzita
Palackého v Olomouci, 17. listopadu 1192/12,
771 46 Olomouc
jakub.vlcek@upol.cz

Zejména pro své specifické optické vlastnosti jsou nanočástice stříbra využívány při tvorbě senzorů a také v posledních letech jako substrát pro povrchem zesílenou Ramanovu spektroskopii. Studená atmosférická plazma je v současnosti intenzivně studována, zejména pro její využití v povrchové chemii při čištění povrchů, aktivaci povrchů a depozici tenkých filmů^{1,2}.

Cílem naší práce bylo optimalizovat proces ošetření skleněného substrátu studenou atmosférickou plazmou generovanou pomocí difuzního koplánárního povrchového barierového výboje (DCSBD). Následně byly úspěšně připraveny tenké filmy nanočástic stříbra na skleněném substrátu. Depozice tenkých filmů byla prováděna metodou ponoření substrátu do disperze koloidního stříbra (deep coating) a také pomocí metody spin coating. Tyto vrstvy byly poté aplikovány jako substrát pro povrchem zesílenou Ramanovu spektroskopii (SERS).

Schéma 1. Elektroodový systém u DCSBD¹

Tato práce byla podpořena projekty OP VaVpl reg. číslo CZ.1.05/2.1.00/03.0058 a vnitřním grantem UP Olomouc PrF_2014032.

LITERATURA

1. Prucek R., Panáček A., Fargašová A., Ranc V., Mašek V., Kvítek L., Zbořil R.: CrystEngComm. 2242-2248, 13 (2011).
2. Černák M., Černáková L., Hudec I., Kováčik D., Zahoránová A.: Eur. Phys. J.: Appl. Phys. 22806, 47 (2009).

2L-07**INFLUENCE OF SILVER NANOPARTICLES ON RAMAN RESONANCE EFFECT IN LIQUID WATER****PAULINA FILIPCZAK, MARCIN KOZANECKI**

Department of Molecular Physics, Lodz University of Technology, Zeromskiego 116, 90-924 Lodz, Poland
Student Section of Polish Chemical Society
paulina.filipczak.nano@gmail.com

Resonance effect is a phenomenon that strongly enhance Raman signal from the sample and strictly depends on excitation wavelength. It occurs when an incident electromagnetic wave interacts not only with vibrational, but additionally with electronic states. This phenomenon was observed for various organic as well as inorganic compounds.

Raman resonance effect in liquid water was demonstrated by Pastorczak et al.¹. Polarized Raman spectroscopy showed that the intensity ratio of two main components with maxima around 3200 and 3400 cm⁻¹ (assigned to strongly and loosely hydrogen-bonded water molecules, respectively) de-

depends on the excitation wavelength in the visible range. It was also shown, that the Raman resonance effect in water directly corresponds to the supramolecular structure of liquid water.

Noble metal (gold, silver) nanoparticles have been successfully applied for Surface Enhanced Raman Spectroscopy (SERS). Significant increase in Raman signal found for many organic molecules adsorbed on expanded metal surface put attention on SERS as a very sensitive analytical technique allowing to study single molecules. Because of this fact, currently, SERS technique is more willingly used in interesting studies on the field of medicine, biology, biochemistry or crystallography².

In this work studies on Raman resonance effect in water solutions of silver nanoparticles (AgNPs) synthesized according to the formula proposed by Frank et al.³ will be presented. Investigations concern the impact of AgNPs for water vibrational spectra. Additionally influence of AgNPs size will be discussed.

This work was financially supported from grant no. 2013/09/B/ST4/03010.

REFERENCES

1. Pastorcak M., Kozanecki M., Ulański J.: J. Phys. Chem. A 112, 10705 (2008).
2. Le Ru E. C., Blackie E., Meyer M., Etchegoin P. G.: J. Phys. Chem. C 111, 13794 (2007).
3. Frank A. J., Cathcart N., Maly K. E., Kitaev V.: J. Chem. Educ. 87, 1098 (2010).

2L-08

CHRONOPOTENCIOMETRICKÉ STANOVENIE KYSELINY ASKORBOVEJ V BIOLOGICKÝCH MATERIÁLOCH

ESTERA RÁBAROVÁ, ERNEST BEINROHR

*Katedra chémie, Fakulta prírodných vied, Univerzita sv. Cyrila a Metoda v Trnave, Nám. J. Herdu 2, 917 01 Trnava
estera.rabarova@ucm.sk*

Kyselina askorbová (KA) je prírodný antioxidant chrániaci živé organizmy pred pôsobením voľných kyslíkových radikálov. Ich účinkom sa najskôr oxidujú hydroxylové skupiny na uhlíkoch v polohe 3 a 4 furánového kruhu za vzniku kyseliny dehydro-askorbovej¹. V ostatnom období je snaha vyvinúť nové metódy stanovenia KA v rôznych biologických vzorkách.

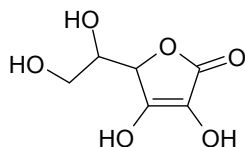


Schéma 1. Chemická štruktúra kyseliny askorbovej

Chronopotenciometria sleduje zmenu potenciálu pracovnej elektródy v čase pri nanútenom konštantnom prúde.

V našej práci sme použili prietokový systém obsahujúci elektrochemickú celu so zabudovaným trojelektrodovým systémom a s makropórovitou uhlíkovou elektródou na vývoj novej metódy stanovenia KA.

Táto práca vznikla za podpory grantu VEGA 1/0073/13.

LITERATÚRA

1. Deutsch J. C.: Anal. Biochem. 255, 1 (1998).
2. Beinrohr E.: *Prietokové elektroanalytické metódy v praxi*, kap. 6, s. 112. 2 THETA, Český Těšín 2013.

2L-09

VOLTAMETRICKÉ STANOVENÍ BROMAZEPAMU NA MENISKEM MODIFIKOVANÉ STRÍBRNÉ PEVNÉ AMALGÁMOVÉ ELEKTRODĚ

PETR SAMIEC*, ZUZANA NAVRÁTILOVÁ

*Ostravská univerzita v Ostravě, Přírodovědecká fakulta, Katedra chemie, 30. dubna 22, 701 03 Ostrava
p13171@student.osu.cz*

Bromazepam (BZ) se průmyslově vyrábí jako léčivo pod obchodním názvem Lexaurin. V lékařské praxi se BZ používá k léčbě úzkosti, tenze a insomnie^{1,2}. Ke stanovení této látky byla použita voltametrická technika DPV (diferenční pulzní voltametrie) v tříelektrodovém zapojení. Přítomnost azometinové funkční skupiny a její snadná redukovatelnost umožňuje použít pracovní elektrodu typu meniskem modifikované stříbrné pevné amalgámové elektródy (m-AgSAE)³. Mezi výhody použití pevných elektrod na bázi amalgámů patří jejich minimální toxicita, snadná manipulace a stabilita⁴.

Léčivo Lexaurin (BZ 3 mg) bylo použito pro výrobu zásobního roztoku BZ ($1 \cdot 10^{-3}$ mol l^{-1}) v methanolu. Jako optimální prostředí pro stanovení BZ bylo vybráno prostředí směsi Brittonova-Robinsonova pufru a methanolu (9:1) o hodnotě pH 2, ve kterém byly proměřovány koncentrační závislosti v rozmezí řádů 10^{-7} až 10^{-5} mol l^{-1} . Opakovaným měření BZ v optimálním prostředí byla dokázána stabilita proudové odezvy pracovní elektródy m-AgSAE. Takto připravený zásobní roztok BZ není stálý a voltametrické měření je zapotřebí provést ihned po přípravě roztoku.

Tato práce byla vypracována v rámci grantu SGS identifikační číslo SGS05/PřF/2014.

LITERATURA

1. Podilsky G., Berger-Gryllaki M., Testa B., Pannatier A.: J. Liq. Chromatogr. 34, 878 (2008).
2. www.sukl.cz/download/spc/SPC93736.doc, staženo 24.4.2014.
3. Correia dos Santos M. M., Famila V., Simões Gonçalves M. L.: Anal. Bioanal. Chem. 374, 1074 (2002).
4. Fischer J., Vaňourková L., Daňhel A., Vyskočil V., Čížek K., Berek J., Pecková K., Yousypchuk B., Navrátil T.: Int. J. Electrochem. Sci. 2, 226 (2007).

**2L-10
NEVŠEDNÍ ÚČINNOST ULTRAJEMNÝCH
SUPERPARAMAGNETICKÝCH NANOČÁSTIC
OXIDŮ ŽELEZA PŘI ODSTRAŇOVÁNÍ
ARSENIČNANOVÝCH IONTŮ Z VODNÉHO
PROSTŘEDÍ**

**MARTINA KILIANOVÁ, ROBERT PRUCEK,
JAN FILIP, JAN KOLAŘÍK, LIBOR KVÍTEK,
ALEŠ PANÁČEK, JIŘÍ TUČEK, RADEK ZBOŘIL**

*Regionální centrum pokročilých technologií a materiálů,
Šlechtitelů 11, 783 71 Olomouc
Martina.Kilianova@upol.cz*

Arseničnany, vyskytující se ve vodních zdrojích, představují nemalé riziko pro lidské zdraví. Za účelem jejich odstraňování byly objeveny rozličné technologie, z nichž jedna využívá široké nabídky vhodných sorpčních materiálů. Nanočástice oxidu železa, jako sorbenty, jsou hojně využívány díky jejich vysoké ploše povrchu a možnosti manipulace s nimi pomocí vnějšího magnetického pole^{1,2}. Pro odstraňování iontů arsenu z vodného prostředí byly v našem případě připraveny ultrajemné nanočástice oxidu železa s úzkou velikostní distribucí, a to za využití ekonomicky nenáročných a jednoduchých metod syntézy³. Adsorpční kapacita tohoto sorbentu byla zvýšena kvůli jeho mezoporézní povaze vznikající díky silným magnetickým interakcím, jež se vyvíjí mezi nanočásticemi.

Kompletního odstranění arseničnanů bylo dosaženo již při využití poměru Fe/As blízkého 20/1 a při pH v rozmezí od 5 do 7,6. Za těchto podmínek byly arseničnany kompletně odstraněny během prvních několika minut experimentu. Mezi sorpčními nanosystémy založenými na oxidech železa toto uspořádání vykazovalo nejvyšší Freundlichův adsorpční koeficient a rovnovážnou sorpční kapacitu za daných podmínek reakce.

S ohledem na jednoduchou a nízkonákladovou přípravu sorbentu, vysoký výnos reakce, téměř monodisperzní charakter, superparamagnetické chování při pokojové teplotě a silnou magnetickou odezvu při použití malých magnetických polí mohou být tyto syntetizované nanočástice oxidu železa považovány za slibného kandidáta k využití v oblasti odstraňování nežádoucích toxických polutantů z různých reálných vodních systémů^{4,5}.

Tato práce vznikla za podpory projektů OP VaVpl CZ.1.05/2.1.00/03.005, OPVK CZ.1.07/2.3.00/20.0056, AV ČR KAN115600801, GAČR GAP304/10/1316 a vnitřního grantu UP Olomouc PŘF_2013_031.

LITERATURA

1. Prucek R., Heřmánek M., Zbořil R.: *Appl. Catal.*, A 366, 325 (2009).
2. Prucek R., Tuček J., Kilianová M., Panáček A., Kvítek L., Filip J., Kolář M., Tománková K., Zbořil R.: *Biomaterials* 32, 4704 (2011).
3. Cho K. H., Sthiannopkao S., Pachepsky Y. A., Kim K. W., Kim J. H.: *Water Res.* 46, 5535 (2011).
4. Tuček J., Zbořil R., Petridis D.: *Nanotechnol.* 6, 962 (2006).

5. Kilianová M., Prucek R., Filip J., Kolařík J., Kvítek L., Panáček A., Tuček J., Zbořil R.: *Chemosphere* 93, 2690 (2013).

**2L-11
ODSTRANĚNÍ SLOUČENIN ARSENU POMOCÍ
MATERIÁLU NA BÁZI ŽELEZA**

**JAN KOLAŘÍK, ROBERT PRUCEK, ZDENĚK
MARUŠÁK, RADEK ZBOŘIL**

*Regionální centrum pokročilých technologií a materiálů,
Katedra fyzikální chemie, PŘF UP, tř. 17. listopadu 12,
771 46 Olomouc
jan.kolarik@upol.cz*

Arsenitany a arseničnany představují pro životní prostředí velkou hrozbu, především díky svým značným toxickým účinkům, které byly známy už v 5. st. př.Kr.¹ Antropogenní znečištění arsenem zasahuje do všech sfér životního prostředí. Největší rizika přináší znečištění vody (podzemní i povrchové). Arsen našel své využití v celé řadě oborů od zemědělství po farmakologii². Specie As(III) jsou více mobilní a hlavně toxickejší než arseničnany. Z toho důvodu je lepší oxidovat As(III) na méně toxický As(V).

Železan draselný K_2FeO_4 je šetrný k životnímu prostředí a má silné oxidační účinky. Fe(VI) spontánně reaguje s vodou a vytváří molekulární kyslík. V reakci s vodou je Fe(VI) rychle redukován na Fe(III). Další výhodou Fe(VI) je vznikající oxid železitý, který slouží jako dobrý adsorbent. Tyto oxidační a sorpční účinky Fe(VI) umožňují velmi efektivní čištění kontaminovaných vod³.

Cílem této práce bylo prozkoumat proces sorpce sloučenin arsenu pomocí Fe(VI). Zároveň byla porovnána účinnost sorpce sloučenin arsenu na sorbenty maghemitu, $KFeO_2$ a K_2FeO_4 . Cílem bylo také prozkoumat kinetiku sorpce, závislost sorpce na množství použitého sorbentu a závislost na pH. Pro Fe(VI) byla také zkoumána účinnost sorpce As(V) a As(III).

Tato práce vznikla za podpory projektů OP VaVpl reg. číslo CZ.1.05/2.1.00/03.0058, TAČR TE01020218 a vnitřního grantu UP Olomouc (PŘF_2014_032).

LITERATURA

1. Greenwood N. N., Earnshaw A.: *Chemistry of Elements*, (1989).
2. Smith E., Naidu R., Alston A. M.: *Advances in Agronomy*, 149–195, 64 (Academic Press, 1998).
3. Sharma V. K.: *Environ. Res.* 143–156, 6 (2002).

2L-12 STUDIUM TEXTURNÍCH A ADSORPČNÍCH PARAMETRŮ UHLÍKATÝCH ADSORBENTŮ

TOMÁŠ ZELENKA

*Katedra chemie, Přírodovědecká fakulta, Ostravská univerzita v Ostravě, 30. dubna 22, 701 03 Ostrava
tomas.zelenka@osu.cz*

Přírodní uhlí a uměle syntetizované uhlíkaté aerogely jsou předmětem mnoha studií, které uplatňují tyto materiály při odstranění polutantů z životního prostředí^{1,2}. Tento aplikační potenciál je však do značné míry určen texturními ukazateli daného adsorbentu, které je nezbytné kvantitativně posoudit vhodnými metodami³.

Adsorpční metody z plynné fáze (nejčastěji N₂, CO₂) představují nejrozšířenější způsob popisu texturních charakteristik, zejména pak stanovení specifického povrchu adsorbentů³. Byl zjištěn povrch mikropórů uhlíkatých materiálů v rozsahu 160–1320 m² g⁻¹ (ze sorpce CO₂), specifický povrch BET pak 5–860 m² g⁻¹ (ze sorpce N₂). Ukazatel hodnoty povrchu byl také stanoven NMR relaxační technikou, která představuje unikátní přístup k postihnutí porézního systému pevných látek bez aproximace tvaru částic či sušení vzorku, po kterém již materiál nereprezentuje svůj původní stav.

Cílem příspěvku je posoudit vzájemnou relaci mezi texturními charakteristikami uhlíkatých látek zjištěnými konvenčními sorpčními technikami a NMR metodou. Tyto parametry budou reflektovány na adsorpční chování olovnatých iontů z vodného prostředí.

Tento příspěvek byl podpořen z projektů CZ.1.05/2.1.00/03.0100, LO1208, SGS02/PřF/2014, 02508/2013/RRC.

LITERATURA

1. Pentari D., Perdikatsis V., Katsimicha D., Kanaki A.: J. Hazard. Mater. 168, 1017 (2009).
2. Kadirvelu K., Goel J., Rajagopal C.: J. Hazard. Mater. 153, 502 (2008).
3. Gil A., Gandía L.M.: Chem. Eng. Sci. 58, 3059 (2003).

2L-13 KŘÍDLATKA – ALTERNATIVA PRO ČIŠTĚNÍ VOD?

MAREK MUCHA^{a,b,*}, JIŘÍ KALINA^{a,b}

*^a Katedra chemie, ^b Environmentální centrum, Přírodovědecká fakulta Ostravské univerzity, 30. dubna 22, 701 03 Ostrava
marek.mucha@osu.cz*

Kontaminace povrchových vod léčiv¹ či těžkými kovy² je vážný environmentální problém. Řešením je adsorpce na různé typy sorbentů, například na aktivní uhlí³. Většina sorbentů vykazuje odpovídající sorpční vlastnosti, naproti tomu jsou poměrně drahé.

Účelem této práce bylo otestovat jeden z možných levných sorbentů – sušenou křídlatku, což je všudypřítomný plevel, takže její pořizovací náklady jsou nízké (náklady za

pokosení, usušení a případné podrcení).

Sorpční vlastnosti sušené drceené křídlatky byly testovány na kyselině acetylsalicylové (léčivo Aspirin) a Pb²⁺ iontech. Dosažené výsledky (sorpční kapacita 0,08 mmol/g, resp. 14,48 mg/g pro kyselinu acetylsalicylovou a 0,25 mmol/g, resp. 52,1 mg/g pro Pb²⁺ ionty) dokazují, že křídlatka díky svému poměru sorpční kapacita/cena je levným sorbentem využitelným při čištění vod.

Regenerace použitého sorbentu představuje další významný krok vedoucí k rychlému a levnému čištění vod. Určitou alternativu představuje také jeho likvidace či další využití.

Tato práce byla vypracována v rámci grantu sgs01/PřF/2014, projektu IET reg. č. CZ.1.05/2.1.00/03.0100 financovaného ze strukturálních fondů EU, projektem TEWEP id. č. LO1208 z Národního programu udržitelnosti NPU I a projektem Moravskoslezského kraje reg. č. 02508/2013/RRC.

LITERATURA

1. Bu Q., Wang B., Huang J., Deng S., Yu G.: J. Hazard. Mater. 262, 189 (2013).
2. Asberry H. B., Kuo Ch., Gung Ch., Conte E. D., Suen S.: Microchem. J. 113, 59 (2014).
3. Behera S. K., OH S. Y., Park H. S.: Int. J. Environ. Sci. Technol. 9, 85 (2012).

2L-14 EFFECT OF POLYDISPERSITY ON FLOW-INDUCED COALESCENCE IN MOLTEN POLYMER BLENDS

JOSEF JÚZA, IVAN FORTELNÝ*

*Institute of Macromolecular Chemistry ASCR, Heyrovského nám. 2, 162 06 Prague 6
fortelny@imc.cas.cz, juza@imc.cas.cz*

Properties of immiscible polymer blends are determined, among others, by their phase structure. Flow-induced coalescence is a special case of coalescence – one of processes running during the phase structure evolution, when the driving force is a difference in matrix flow velocities in various places. We have concentrated on description of the step when droplet approach is slowed down by resistance of the matrix film trapped between the droplets, which can deform. Influence of the matrix resistance is quantified by coalescence probability (efficiency), P_c , defined as a ratio of droplets collisions number in presence of the matrix resistance to their number when any interaction till the collision is absent.

Practically, the course of coalescence can only be described using larger or smaller approximations. It was studied by several authors. The most commonly used Janssen and Meijer¹ model implies droplets flattening due to matrix resistance; it provides a droplet-size dependence of P_c for a pair of equal droplets decreasing rapidly to zero above certain droplet size. This also applies to droplet pair in more precise model by Rother and Davis².

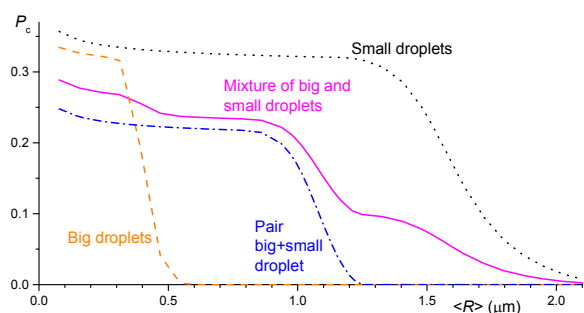


Fig. 1. Dependence of coalescence efficiency on average droplet size for equally sized droplets, a pair and mixture of droplets of 2 sizes

The calculation in our recent work³ has shown that mixtures containing droplets of different size exhibit broader range of P_c decrease from full value to zero, as shown in Fig. 1.

This work was supported by the grant GA ČR P106/11/1069.

REFERENCES

1. Janssen J. M. H., Meijer H. E. H.: *Polym. Eng. Sci.* 35, 1766 (1995).
2. Rother M. A., Davis R. H.: *Phys. Fluids* 13, 1187 (2013).
3. Fortelný I., Jůza J.: *Macromol. Mater. Eng.*, DOI: 10.1002/mame.201400050 (2014).

2L-15

COPPER COMPLEXES WITH BIOLOGICALLY ACTIVE NITROGEN LIGANDS – AN EPR STUDY IN FROZEN WATER/METHANOL SOLUTIONS

MILAN MAZÚR*, LUCIA HUSÁRIKOVÁ, MARIÁN VALKO

Faculty of Chemical and Food Technology, Slovak Technical University, Radlinského 9, 812 37, Bratislava, Slovakia
milan.mazur@stuba.sk

Seventy years ago, Prof. E. K. Zavoisky (Kazan, Russia) discovered the phenomenon of electron paramagnetic resonance (EPR). Since 1944, EPR spectroscopy represents a powerful technique used in the areas of chemistry, physics, material science, biology, pharmacy and medicine. The presented contribution deals with investigation of copper complexes with selected biologically active ligands in the frozen water/methanol solutions by an EPR spectroscopy.

The sets of copper complexes containing 3,5-di-, 4-, or 5-chlorosalicylic acids (X -ClSalH) and Cu(II) salts (copper acetate, $\text{Cu}(\text{ac})_2$ or copper sulphate, CuSO_4) and N -donor ligands (3-pyridylmethanol (ronicol), N,N' -diethylnicotinamide (denia), with varying concentration (ligand-to-metal ratio, x) [$\text{Cu}(\text{ac})_2(\text{aq})$ or $\text{CuSO}_4(\text{aq}) + 2(X\text{-ClSalH}(\text{solv})) + x(N\text{-donor ligand}(\text{solv}))$], where $X = 3,5\text{-di}, 4\text{-}, 5\text{-}$ and $x = 0, 1, 2, 4, 6, 8, 12, 16$, were prepared. The effects of two copper(II) salts

(containing anions of different basicity) and six N -donor ligands with varying ligand-to-metal ratio on the formation of resulting complexes were studied by EPR spectroscopy in the frozen water/methanol solutions at low temperature of 98 K.

In the case of copper complexes containing ronicol and denia, well-resolved ^{14}N superhyperfine splitting lines in the perpendicular part of the second- and third- derivative axially symmetric Cu(II) EPR spectra indicated that nitrogens could be coordinated to the central Cu(II) ions in the equatorial plane. The trend in g -values ($g_{\parallel} > g_{\perp} > 2.0023$) indicates that the unpaired electron is localized on the $d_{x^2-y^2}$ orbital on copper ion. Comparing ronicol- vs. denia-containing complexes, it is obvious that: (i) both g -factors (g_{\perp}, g_{\parallel}) are systematically higher and copper parallel hyperfine splittings (A_{\parallel}) are systematically lower in denia containing complexes for both copper(II) salts; (ii) the both g -factor (g_{\perp}, g_{\parallel} - more sensitive) values decrease (eventually remain constant at their minimal values) and copper parallel hyperfine splitting (A_{\parallel}) values increase (eventually remain constant at their maximal values) when ligand-to-metal ratio, increase; (iii) the resolution and signal intensity of the nitrogen perpendicular superhyperfine splitting lines in the Cu(II) EPR spectra increase (for ronicol more progressively) when ligand-to-metal ratio increase, being saturated at higher ligand concentrations. Such information cannot be obtained by EPR spectroscopy of powder samples of given copper complexes.

This work was supported by the Slovak Research and Development Agency under the contract Nos. (APVV-0202-10 and APVV-0339-10) and Scientific Grant Agency of the Slovak Republic (Projects VEGA 1/0765/14 and VEGA 1/0289/12).

2L-16

OPTIMIZATION OF PHENOLIC COMPOUNDS EXTRACTION FROM *Triticum spelta* L.

VIERA MRÁZOVÁ, MÁRIA MALIAROVÁ

Department of Chemistry, Faculty of Natural Sciences, University of SS. Cyril and Methodius, Nam. J. Herdu 2, 917 01 Trnava, Slovakia
viera.mrazova@ucm.sk

Spelt (*Triticum spelta* L.), one of the major feed and food grains in ancient Europe, is considered a low-input crop, suitable for growing without the use of pesticides, in harsh ecological conditions and in marginal areas of cultivation¹. Renewed interest in this crop has been developing in recent years because of the increasing demand for unconventional foods and low-input agriculture, its outstanding stress resistance, and quality performance². Spelt is an interesting genetic resource for the search of useful genes for plant breeding of modern wheat varieties³. Useful traits of spelt include resistance to diseases², high levels of grain protein and mineral nutrients⁴, early flooding tolerance and winter hardiness.

Response surface methodology (RSM) enables evaluation of the effects of several process variables and their interactions on response variables. RSM is based on the fit of empirical models to the experimental data obtained in relation to

experimental design. Toward this objective, linear or square polynomial functions are employed to describe the system studied and, consequently, to explore experimental conditions until its optimization⁵.

The optimum conditions for extraction of phenolic compounds from spelt using response surface methodology were determined. A three-factor and central composite design in three blocks consisting of 17 experimental runs was used to investigate the effects of three independent variables, namely solvent composition, extraction temperature and time on the antioxidant capacity and phenolic compounds content.

This work was supported by grant VEGA1/0073/13.

REFERENCES

1. Bonafaccia G., Galli V., Francisci R., Mair V., Skrabanja V., Kreft I.: *Food Chem.* 68, 437 (2000).
2. Campbell K. G.: *Plant Breeding Rev.* 15, 187 (1997).
3. Guzman C., Caballero L., Moral A., Alvarez J. B.: *Genet. Resour. Crop Evol.* 57, 721 (2010).
4. Gomez-Becerra H. F., Erdem H., Yazici A., Tutus Y., Torun B., Ozturk L., Cakmak I.: *J. Cereal Sci.* 52, 342 (2010).
5. Teofilo R. F., Ferreira M. M. C.: *Quim. Nova* 29, 338 (2006).

**2S-01
VOLTAMETRICKÉ STANOVENÍ ORGANICKÝCH
POLUTANTŮ NA NETRADIČNÍCH ELEKTRODÁCH
A VÝZKUM JEJICH INTERAKCE S DNA**

ANDREA HÁJKOVÁ

*Univerzita Karlova v Praze, Přírodovědecká fakulta, Univerzita výzkumné centrum UNCE „Supramolekulární chemie“, Katedra analytické chemie, UNESCO laboratoř elektrochemie životního prostředí, Hlavova 2030/8, 128 43 Praha 2
andrea.hajkova@natur.cuni.cz*

S rozvojem průmyslu se zvyšuje i znečištění životního prostředí toxickými látkami, pro jejichž sledování a stanovení je zapotřebí vyvinout citlivé analytické metody. Voltametrické techniky jsou pro tento účel více než vhodné, především pro svoji citlivost a finanční nenáročnost¹. V této studii byl jako modelový organický polutant vybrán 2-aminofluoren-9-on (2-AFN). Jedná se o biologicky aktivní látku vykazující genotoxické účinky².

Nanomolární koncentrace 2-AFN lze stanovit pomocí adsorpční rozpouštěcí voltametrie na visící rtuťové kapkové minielektrode (HMDmE). Pro stanovení pikomolárních koncentrací byla využita kombinace účinné prekoncentrační techniky a následného voltametrického stanovení³.

Vzhledem k neopodstatněným avšak existujícím obavám z toxicity kovové rtuťi věnujeme systematickou pozornost netoxickým rtuťovým amalgamovým elektrodám. Rtuťovým meniskem modifikovaná stříbrná pevná amalgamová elektroda (m-AgSAE) byla využita pro citlivé voltametrické stanovení 2-AFN (cit.²), při kterém bylo dosaženo srovnatelných mezi stanovitelností jako na HMDmE. Pro uspokojení rostoucí potřeby po miniaturizovaných měřicích zařízeních byl úspěšně vyvinut nový miniaturizovaný elektrodový systém s m-AgSAE jako pracovní elektrodou. Hlavními výhodami tohoto prototypu je možnost jednoduchého měření přímo v terénu a stanovení analytu v mikrotitrační destičce ve vzorcích o objemu 100 µl.

Jelikož přibývá genetických onemocnění způsobených nepatrnými změnami ve struktuře DNA po interakci s organickými polutanty, je nutné mít k dispozici i metody schopné toto poškození sledovat a zkoumat. Proto byl v této studii vyvinut nový elektrochemický DNA biosenzor založený na elektrodě ze skelného uhlíku, který se při výzkumu interakce 2-AFN s DNA osvědčil jako jednoduchý, rychlý a levný nástroj pro detekci poškození DNA *in vitro*.

Tato práce vznikla v rámci specifického vysokoškolského výzkumu (SVV 2014-260084) za finanční podpory Grantové agentury ČR (P206/12/G151) a Grantové agentury Univerzity Karlovy v Praze (GAUK 430214/2014/B-CH/PrF).

LITERATURA

1. Vyskočil V., Barek J.: *Curr. Org. Chem.* 15, 3059 (2011).
2. Hájková A., Hraníček J., Barek J., Vyskočil V.: *Electroanalysis* 25, 295 (2013).
3. Hájková A., Vyskočil V., Barek J.: *Chem. Listy* 107, 234 (2013).

**2S-02
STANOVENÍ SENZORICKY VÝZNAMNÝCH LÁTEK
DESTILÁTŮ PLYNOVOU CHROMATOGRAPHIÍ
S HMOTNOSTNÍ DETEKCIÍ**

MARTINA HRABALÍKOVÁ

*Centrum polymerních systémů, Univerzitní institut, Univerzita Tomáše Bati ve Zlíně, Nad Ovčírnou 3685, 760 01 Zlín
hrabalikova@ft.utb.cz*

Analýza senzory významných látek je jedním z nejdůležitějších kroků při hodnocení kvality alkoholických nápojů. Je známo, že běžné destiláty (jako je slivovice, rum, whisky a další) obsahují řadu takovýchto senzory významných sloučenin, kam patří například ethylestery, vyšší alkoholy, aldehydy a ketony, laktony, těkavé fenoly. Mnohé z těchto sloučenin jsou společné pro různé destiláty, avšak liší se analyticky, pokud jde o jejich relativní množství¹.

Tato práce se zabývá kvalitativním a kvantitativním stanovením senzory významných látek v ovocných destilátech. Za tímto účelem byla vyvinuta metoda stanovení senzory významných látek s použitím separace na plynovém chromatografu a následné detekce hmotnostním detektorem (Shimadzu GCMS-QP 2010 Ultra). Pro samotnou analýzu byl proveden nástřik kapalného vzorku studenou jehlou přímo na kolonu a nástřik plynné fáze vzorku odpařen nad jeho povrchem.

Výsledky ukazují, že použitá metoda stanovení senzory významných látek je velmi vhodná svou rychlostí, nepotřebou úpravy vzorku a tím snížení rizika ztráty stanovovaných látek, jako je tomu například u extrakčních technik.

Získaná data byla korelována s výsledky senzory analýzy destilátů za účelem návrhu optimalizace jejich výroby ve spolupráci s významným českým producentem alkoholických nápojů.

LITERATURA

1. Pino J. A., Fajardo M.: *Int. J. Food Sci. Technol.* 994, 46 (2011).

**2S-03
STANOVENÍ SELENU KOMBINOVANOU
TECHNIKOU UV-FOTOCHEMICKÉHO
GENEROVÁNÍ TĚKAVÝCH SLOUČENIN
A ATOMOVÉ ABSORPČNÍ SPEKTROMETRIE
S KŘEMENNÝM ATOMIZÁTOREM**

MARCELA RYBÍNOVÁ, VÁCLAV ČERVENÝ, PETR RYCHLOVSKÝ

*Univerzita Karlova v Praze, Přírodovědecká fakulta, Katedra analytické chemie, Hlavova 8/2030, 128 43 Praha 2
rybinova@natur.cuni.cz*

UV-fotchemické generování těkavých sloučenin představuje zajímavou alternativu k uživatelsky oblíbenému chemickému generování s borohydridem (nejčastěji s NaBH₄). Jedná se o dynamicky se rozvíjející techniku v oblasti analytické chemie, která může zaujmout nenáročností co se instru-

mentace a spotřeby chemikálií týče či dosaženými vysokými citlivostmi a nízkými detekčními limity. Oproti zmíněnému chemickému generování odpadají nesnáze spojené s redukčním činidlem a jeho nestabilitou i omezenou čistotou, zvyšuje se také odolnost vůči některým interferencím. Jak již název techniky napovídá, k přeměně specií vybraných prvků z roztoku na jejich těkavé formy dochází v důsledku působení UV záření na vzorek. Klíčovou roli přitom zastávají také nízkomolekulární organické kyseliny jako je např. kyselina mravenčí či octová¹.

V rámci studie bylo vytyčeno několik cílů. V první řadě bylo nutné sestavit aparaturu a optimalizovat experimentální podmínky pro generování. Pozornost byla věnována zejména hlavní součásti systému, generátoru těkavých sloučenin. Testováno bylo několik variant, kdy základ vždy tvořila rtuťová UV-lampa a k ní přichycená reakční trubice. Jako materiál reakční cívky byly zkoušeny tetrafluorové hadičky a křemenné kapiláry různých rozměrů. Zjištěny byly základní charakteristiky, validační studie pokračovala analýzou certifikovaného referenčního materiálu. V dalších krocích byla provedena interferenční studie, studována byla i účinnost přeměny analytu na těkavé produkty.

Za modelový analyt byl pro práci vybrán selen patřící mezi zástupce klasických hydridotvorných prvků. Současně je to i zajímavý prvek pro lidský organismus; v závislosti na přijímané koncentraci je buď esenciální či toxický, přičemž hranice rozlišující tyto dva stavy je poměrně úzká. Prakticky byl navrženou technikou stanovován obsah selenu v potravinových do-plncích a ve vzorcích pitných vod.

Práce vznikla za podpory projektů Univerzity Karlovy v Praze SVV 260084/2014, UNCE #42 a GAUK 228214.

LITERATURA

1. Guo X., Sturgeon R. E., Mester Z., Gardner G. J.: *Anal. Chem.* 75, 2092 (2003).

2S-04

STUDIUM KINETIKY A MECHANISMU ROZKLADU ORGANOFOSFOREČNÝCH PESTICIDŮ NA REAKTIVNÍCH SORBENTECH POMOCÍ MODERNÍCH ANALYTICKÝCH INSTRUMENTÁLNÍCH METOD

MARTIN ŠTĀSTNÝ

Fakulta životního prostředí, Univerzita J. E. Purkyně, Králova výšina 3132/7, 400 96 Ústí nad Labem

Pesticidy jsou velmi významnou skupinou látek znečišťujících životní prostředí.

Látky s pesticidními účinky mohou zahrnovat širokou skupinu chemických látek lišících se svým chemickým chováním v životním prostředí. Významnou skupinu pesticidů představují insekticidy ze skupiny organofosforečných látek, které tvoří rozsáhlou skupinu organických sloučenin fosforu¹.

Postupně byly identifikovány i negativní vlivy organofosforečných pesticidů na lidské zdraví spočívající v inhibici účinku enzymu acetylcholinesterázy (AChE)².

V poslední době se proto zvyšují požadavky na vývoj

technologií pro účinnou a řízenou likvidaci přebytků těchto látek. Postupně byly nalezeny unikátní povrchové vlastnosti materiálů na bázi nanokrystalických oxidů (TiO₂, ZnO, Fe₃O₄, CeO₂ aj.), které jsou schopné rozkládat extrémně nebezpečné chemické látky (např. soman nebo sarin) na netoxické nebo málo toxické sloučeniny³.

Mechanismy degradace pesticidů lze studovat pomocí nejrůznějších instrumentálních technik, jako jsou např. kapalinová chromatografie s UV-Vis detekcí (HPLC-UV, HPLC-DAD) nebo hmotnostně spektrometrickou detekcí (HPLC-MS), metodami GC-MS či metodami spektrometrickými (FTIR, Ramanova spektrometrie), nebo mikroskopickými (SEM, TEM, HRTEM apod.)^{4,5}.

Pro sledování a identifikaci organofosforečných pesticidů a jejich hlavních degradačních produktů byly použity dva systémy HPLC:

HPLC systém Merck/Hitachi (Tokio, Japonsko). Kapalinový chromatograf s vysokotlakým čerpadlem LaChrom L-7100 (Merck/Hitachi), smyčkovým dávkovačem Rheodyne 7125 se smyčkou 20 μl, vakuovým odplynovacím zařízením a UV detektorem LaChrom L-7400 (Merck/Hitachi) pracujícím při vlnové délce 230 nm. Měření bylo prováděno na koloně Luna (Phenomenex, Torrance, CA, USA) 150 × 4,6 mm, se stacionární fází PFP, 5 μm, průtok mobilní fáze 1 ml min⁻¹. Mobilní fázi tvořilo 80 % methanolu a 20 % vody.

HPLC systém DIONEX UltiMate 3000 s kolonou Hibar 125 × 4 mm plněnou stacionární fází Purosphere STAR, RP 18, 5 μm, endcapped (Merck). Teplota kolony během analýzy byla 30 °C. Mobilní fáze obsahovala 85 % methanolu a 15 % vodného roztoku kyseliny octové (1%), průtok byl 1 ml min⁻¹. Detektor DAD pracující při vlnové délce 296 nm.

Mechanismy degradace pesticidů lze výhodně studovat pomocí nejrůznějších instrumentálních technik, jako jsou např. kapalinová chromatografie s UV/VIS detekcí nebo hmotnostně spektrometrickou detekcí (HPLC-MS), metodami GC-MS či metodami spektrometrickými (FTIR, Ramanova spektrometrie).

Kromě stanovení vlastních pesticidů bylo žádoucí identifikovat a kvantifikovat potenciální degradační produkty, které mohou vykazovat řádově vyšší toxicitu pro vyšší organismy.

Jako nejvýhodnější se jevílo použití metod HPLC s UV/VIS detekcí. Sledování degradace pesticidů pomocí těchto metod je dostatečně rychlé, robustní a citlivé. Byly dosaženy limity detekce (LOD) řádově v rozsahu 1,4–5,7 mg dm⁻³. Meze stanovitelnosti (LOQ) se pro tyto metody pohybovaly v rozsahu 4,5–18,9 mg dm⁻³.

Předpokládá se, že převládajícím degradačním mechanismem je nukleofilní substituce S_N² na centrálním atomu fosforu, nicméně existence jiných mechanismů, byť minoritních, je více než pravděpodobná⁵.

Samostatné odborné práce studentů FŽP UJEP jsou podporovány v rámci projektu Modernizace výuky technických a přírodovědných oborů na UJEP se zaměřením na problematiku ochrany životního prostředí (ENVIMOD), který je podporován MŠMT v rámci programu OPVK, č. projektu CZ.1.07/2.2.00/28.0205.

LITERATURA

1. Allen D. W., Tebby J. C.: *Organophosphorus Chemistry*. Royal Society of Chem. 30 (2000).

- Mohebbi G. H. et al.: *Am.-Eurasian J. Toxicol. Sci.* 3, 3 (2011).
- Gleiter H.: *Nanostruct. Mater.* 6, 3 (1995).
- Dong M. W.: *Modern HPLC for Practicing Scientists*. Wiley, New York 2006.
- Janos P. et al.: *J. Rare Earths* 32, 4 (2014).

2S-05**NOVÝ PŘÍSTUP V KLINICKÉ DIAGNOSTICE KARCINOMU PANKREATU A KOLOREKTA: CHIROPTICKÁ SPEKTROSKOPIE KREVŇÍ PLASMY****MICHAL TATARKOVIČ^{*}, VLADIMÍR SETNIČKA***Ústav analytické chemie, VŠCHT Praha, Technická 5, 166 28 Praha 6**Michal.Tatarkovic@vscht.cz*

Onemocnění karcinomem pankreatu a kolorekta způsobují celosvětově jednu z nejvyšších mortalit na nádorová onemocnění^{1,2}. Její příčinou je fakt, že tato onemocnění bývají často diagnostikována až v pokročilém stádiu. Stávající diagnostické postupy jsou invazivní a pro raná stádia buď neexistují (karcinom pankreatu) nebo vykazují nízkou spolehlivost (kolorektální karcinom)².

V průběhu řady onemocnění (včetně nádorových) dochází k určitým změnám v sekundární a terciární struktuře proteinů. Právě na odhalení těchto změn mohou být využity chiroptické metody – elektronový cirkulární dichroismus (ECD) a Ramanova optická aktivita (ROA). Chiroptické metody, které jsou na tyto změny citlivé, tak přináší navíc další strukturální informace oproti metodám Ramanovy a infračervené spektroskopie testovaných v posledních letech. Tento uvedený přístup je zcela nový, a pokud je nám známo, chiroptické metody prozatím nebyly (mimo naší laboratoř) použity pro analýzu reálných biologických vzorků, jako je krevní plasma^{3,4}.

V naší práci jsme se zabývali analýzou krevní plasmy pacientů trpících karcinomem pankreatu a kolorekta. Spolu s pacienty byly analyzovány vzorky věkově odpovídajících kontrolních jedinců. Pro analýzu byly využity metody ECD a ROA doplněné o Ramanovu a infračervenou spektroskopii. Získaná data byla vyhodnocena za využití vícedimenzionálních statistických metod s cílem odlišit kontrolní jedince od jedinců nemocných. U karcinomu pankreatu bylo analyzováno více jak 50 vzorků, kde se podařilo dosáhnout sensitivity a specifity vyšší než 90 %. Podobných výsledků po analýze více jak 30 vzorků se podařilo dosáhnout i u kolorektálního karcinomu.

Již dosažené výsledky poukazují na vysoký potenciál chiroptických metod pro diagnostické účely. Uvedený přístup by v budoucnu mohl podpořit včasnou a minimálně invazivní diagnostiku těchto nádorových onemocnění.

Tato práce vznikla za podpory grantu MZ ČR č. NT13259-3, z účelové podpory na specifický vysokoškolský výzkum MŠMT č.20/2014 a GA ČR (P208/11/0105).

LITERATURA

- Siegel R., Ma J., Zou Z., Jemal A.: *Ca-Cancer J. Clin.* 64, 9 (2014).
- Petruželka L.: *Zdravotnické noviny – Postgraduální medicína*, číslo 6 (2009).
- Tatarkovič M., Fišar Z., Raboch J., Jiráček R., Setnička V.: *Chirality* 24, 951 (2012).
- Synytsya A., Judexová M., Hrubý T., Tatarkovič M., Mišková M., Petruželka L.: *Anal. Bioanal. Chem.* 405, 5441 (2013).

2S-06**VÝVOJ OFF-LINE SPOJENÍ KAPILÁRNÍ ELEKTROFORÉZY S MOLEKULOVOU A PRVKOVOU HMOTNOSTNÍ SPEKTROMETRIÍ****IVA TOMALOVÁ^a, PAVLA FOLTYNOVÁ^a, VIKTOR KANICKÝ^{a,b}, JAN PREISLER^{a,b*}***^a Ústav chemie, Přírodovědecká fakulta MU, ^b Středoevropský technologický institut, CEITEC MU
preisler@chemi.muni.cz*

Metaloproteiny, komplexy proteinů s ionty kovů, hrají důležitou roli v řadě biochemických procesů živých organismů; jsou např. přítomné v aktivních místech enzymů nebo zodpovědné za detoxifikaci. Nejen z tohoto důvodu je komplexní charakterizace těchto biomolekul důležitá pro jejich studium.

V této práci představujeme vývoj nového bioanalytického přístupu pro analýzu metalobiomolekul. Tento přístup je založen na tzv. off-line spojení jediného experimentu separace v kapalně fázi s dvěma komplementárními detekčními technikami: molekulovou hmotnostní spektrometrií (s laserovou desorpcí a ionizací za účasti matrice, MALDI MS) a prvkovou hmotnostní spektrometrií (s ionizací indukčně vázaným plazmatem s laserovou desorpcí za účasti substrátu, SALD ICP MS). MALDI jako měkká ionizační technika umožňuje detekci a identifikaci celých molekul a obvykle nespolečuje více než $\approx 3\%$ vzorku z jednotlivých frakcí, SALD ICP MS tak následně dovoluje ze stejných frakcí získat informaci o kvalitě a kvantitě přítomných kovů, a při znalosti stechiometrie i proteinů.

Vyvinutá metoda je představena na analýze směsi metalothioneinů z králíčích jater. Metaloproteiny byly separovány kapilární elektroforézou při neutrálním pH, frakce (2 s, 20 nL) byly nanášeny na speciálně vyvinutý PETG terčik pokrytý zlatou nanovrstvou a převrstveny roztokem matrice pro MALDI. Následná MALDI MS poskytla v závislosti na použité matici informaci o proteinových apoformách nebo komplexech proteinů s kovy. SALD ICP MS umožnilo kvantifikaci a identifikaci přítomných kovů.

Potenciál vyvinutého off-line spojení separace s oběma MS technikami spočívá především v oddělení jednotlivých kroků nejen v čase, ale i prostoru. Analýza jediného běhu separace současně brání chybám, které mohou vzniknout při opakování separačního kroku. Nanesení a archivace frakcí separace na vhodný nosič také dovoluje po-separační úpravy vzorku bez ovlivnění rozlišení separace.

Tato práce vznikla za podpory projektů CEITEC (CZ.1.05/1.1.00/02.0068), GA ČR (GAP206/12/0538) a programu „Zaměstnáním čerstvých absolventů doktorského studia k vědecké excelenci“ (CZ.1.07/2.3.00/30.0009).

LITERATURA

1. Tomalová I., Foltynová P., Kanický V., Preisler J.: Anal. Chem. 86, 647 (2014).

2S-07

STUDY OF ANTIMICROBIAL PEPTIDES BY CAPILLARY ELECTROMIGRATION METHODS

TEREZA TŮMOVÁ^{a,b}, LENKA MONINCOVÁ^a, VÁCLAV ČEŘOVSKÝ^a, VÁCLAV KAŠIČKA^a

^a Institute of Organic Chemistry and Biochemistry AS CR, v.v.i., Flemingovo sq. 2, 166 10 Prague 6, ^b Institute of Chemical Technology, Technická 5, 166 28 Prague 6
tumova@uochb.cas.cz

Antimicrobial peptides (AMPs) are broadly studied compounds with the potential to replace conventional antibiotics¹. AMPs have been isolated from various species, e.g. from insects, frogs or mammals. At our Institute, novel antimicrobial peptides from the bee *Halictus sexcinctus* were recently isolated and characterized. These peptides and their analogues, named halictines, are composed of 10 to 12 amino acid residues with frequent occurrence of basic amino acids (His, Lys, Arg); their secondary structure is alpha-helix². For their quantitative and qualitative analysis, separation and characterization, high-performance capillary electromigration methods (zone electrophoresis, affinity electrophoresis, isotachopheresis and micellar electrokinetic chromatography) have been applied. These methods possess a great potential for investigation of peptides³. In addition to purity control of synthetic or isolated AMPs, they have been employed also for determination of important physico-chemical parameters of halictines, such effective and ionic mobilities, effective charges, Stokes radii, isoelectric points, acid dissociation constants of their ionogenic groups and stability constants of their complexes with various ligands, e.g. glycopeptide antibiotics and boronic acids. For study of such complexes, physiological pH was chosen. In this case, the fused silica capillary was coated with polybrene to suppress sorption of basic peptides to the inner capillary wall⁴.

The work was supported by the Czech Science Foundation (projects nos. P206/12/0453, 13-17224S) and by the ASCR (Research Project RVO 61388963).

REFERENCES

1. Zasloff M.: Nature 415, 389 (2002).
2. Monincová L., Buděšínský M., Slaninová J., Hovorka O., Cvačka J., Voburka Z., Fučík V., Borovičková L., Bednářová L., Straka J., Čeřovský V.: Amino Acids 39, 763 (2010).
3. Kašička V.: Electrophoresis 35, 69 (2014).
4. Li M. X., Liu L., Wu J.-T., Lubman D. M.: Anal. Chem. 69, 2451 (1997).

2S-08

VYUŽITÍ PYROLÝZNÍ PLYNOVÉ CHROMATOGRAFIE S HMOTNOSTNÍ DETEKČÍ PŘI KVANTITATIVNÍ ANALÝZE POLYMERNÍCH PŘÍŠAD

MIROSLAVA URBÁNKOVÁ

Centrum polymerních systémů, Univerzitní institut, Univerzita Tomáše Bati ve Zlíně, Nad Ovčírnou 3685, 760 01 Zlín
urbankova@fi.utb.cz

Tato práce je zaměřena na kvantitativní analýzu biologicky aktivních látek esenciálních olejů (linalool, 4-allylanisol a trans-anethol), které byly termoplastickým způsobem zakonponovány do matrice nízkohustotního polyethylénu za účelem dosažení jeho antimikrobiálních vlastností.

V rámci této studie byly připravené polymerní kompozity kvantitativně analyzovány pomocí pyrolýzní plynové chromatografie s hmotnostní detekcí (Py/GC/MS). Pyrolýza (Multi-Shot Pyrolyzer EGA/PY-3030D) byla provedena při teplotě 300 °C a k separaci byla použita kolona Ultra ALLOY-PY2 (30 m × 0,25 mm × 0,5 μm). Detekce byla provedena pomocí MS s jednoduchým kvadrupólem. Celková doba analýzy činila 36 min.

Výsledky Py/GC/MS analýzy kompozitů vykazují dobrou korelaci s výsledky analýzy extraktů těchto kompozitů naměřených pomocí GC/MS, z čehož tedy vyplývá vhodnost této metody pro kvalitativní i kvantitativní analýzu přísad polymerů, neboť zde odpadá velká časová i materiální náročnost extrakce polymerních kompozitů pro následné stanovení jinou analytickou metodou např. vysoce účinnou kapalinovou chromatografií, plynovou chromatografií popř. UV/VIS spektroskopii.

2S-09

MOŽNOSTI VYUŽITÍ TERMICKÉ ANALÝZY PŘI STUDIU PYROLÝZY ORGANICKÝCH XEROGELŮ

PETRA VESELÁ*, VÁCLAV SLOVÁK

Ostravská univerzita v Ostravě, Přírodovědecká fakulta, Katedra chemie, 30. dubna 22, 701 03 Ostrava
petra.vesela@osu.cz

Uhlíkaté aerogely, xerogely a kryogely jsou nanostrukturální materiály, jejichž příprava se skládá ze tří kroků: polykondenzace organických prekurzorů, sušení a pyrolýzy. Cílem příspěvku je představit možnosti použití termické analýzy při studiu pyrolýzního kroku přípravy uhlíkatých xerogelů, které budou demonstrovány zejména na příkladech dusíkem dopovaných resorcinol-formaldehydových xerogelů.

TGA v propojení s MS umožňuje rozlišit jednotlivé kroky pyrolýzního procesu s ohledem na uvolňované plyny a objasnit tak mechanismus pyrolýzy. Pyrolýzní proces lze rozdělit do 3 kroků, přičemž první odpovídá vypařování rozpuštědla a nezreagovaného formaldehydu. Druhý krok lze charakterizovat vývinem těkavých látek, při posledním kroku lze detekovat uvolněné produkty karbonizačního procesu (CO₂, H₂). Na základě detekovaných *m/z* signálů lze odhad-

vat stupeň proregování výchozích složek i míru zabudování dusíkatého atomu do konečného materiálu.

Na základě termogravimetrických křivek měřených při různých rychlostech ohřevu lze objasnit kinetiku pyrolýzy. Pro dusíkem dopované vzorky byla pomocí isokonverzní Starinkovy metody zjištěna závislost zdánlivé aktivační energie na stupni přeměny. První dva kroky pyrolýzy (definované na základě studia mechanismu pyrolýzy) lze charakterizovat nižšími hodnotami zdánlivé aktivační energie, zatímco krok třetí hodnotami vyššími.

Získané poznatky z termoanalytických měření mohou být dány do souvislosti s výsledky z adsorpčních experimentů na uhlíkatých materiálech. Bylo zjištěno, že vyšší úbytek při pyrolýze souvisí s vyšší adsorpční schopností pro ionty těžkých kovů. Na základě MS dat lze odhadnout optimální teplotu pyrolýzy s ohledem na požadavek zabudování dusíkatého atomu, který je důležitý pro adsorpci iontů těžkých kovů.

TGA/DSC-MS analýzu lze použít i pro hodnocení uhlíkatých vzorků připravených pyrolýzou v prostředí amoniaku.

2S-10

VYUŽITÍ ORIENTUJÍCÍCH MEDIÍ VE STRUKTURNÍ ANALÝZE CALIX[4]ARENŮ

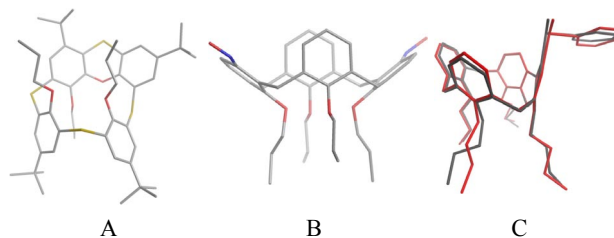
LUKÁŠ VRZAL, HANA DVOŘÁKOVÁ

*Laboratoř NMR spektroskopie, Vysoká škola chemicko-technologická v Praze, Technická 5, 166 28 Praha 6
lukas.vrzal@vscht.cz*

Tato práce je věnována využití metody měření reziduálních dipolárních interakcí (RDC) ke studiu konformace a dynamického chování nových inherentně chirálních derivátů calix[4]arenů. RDC je anizotropní přímá dipól-dipólová interakce, kterou nelze pozorovat v isotropním roztoku, protože je její vliv vyprůměrován vlivem rychlých molekulárních reorientací. Částečným zorientováním látky ve vnějším magnetickém poli lze vliv této interakce znovu zavést do NMR spekter jako příspěvek ke skalární interakční konstantě. Velikost této interakce je závislá na vzdálenosti interagujících jader a na jejich orientaci ve vnějším magnetickém poli, skrývá tedy v sobě informaci o vzájemném prostorovém uspořádání jednotlivých dvojic interagujících jader. Zatímco v oblasti strukturní biologie se tato metoda standardně využívá ke studiu prostorové struktury biomolekul v roztoku, u malých organických molekul rozpustných v organických rozpouštědlech je její využití zatím sporadické.

Nejdříve byla testována nedávno publikovaná kapalně krystalická orientující media na bázi polyglutamátů a polyacetylenů na modelovém dipropoxycalix[4]arenu s ohledem na snadnost přípravy vzorku a míru zavedené orientace, resp. malé rozšíření NMR signálů. Vhodná media byla poté využita k určení nebo upřesnění prostorové struktury tří typů nových inherentně chirálních derivátů calix[4]arenů. Ve všech případech se jednalo o struktury, které se nepodařilo určit dosud dostupnými metodami NMR (NOE, *J*-interakce).

Metodou měření RDC byla jednoznačně určena 1,2-střídavá konformace fenoxanthiinového derivátu thiacalix[4]arenu (obr. 1A). V případě dinitroso- substituovaného calix[4]arenu bylo zjištěno, že se látka vyskytuje v jedné ze



Obr. 1. **Struktury tří typů nových inherentně chirálních derivátů calix[4]arenu získané metodou měření RDC.** Na obr. 1C je pro srovnání šedě vyobrazena struktura z X-RAY analýzy

dvou možných zploštělých kónických konformací – s nitroso skupinami na odkloněných aromatických kruzích¹ (obr. 1B). Analýzou RDC byla také upřesněna rentgenová struktura 2-pyridylsulfoxidového calix[4]arenu s intramolekulárním přemostěním *meta* pozic² (obr. 1C).

Tato práce vznikla za podpory grantu P207/12/2027.

LITERATURA

1. Vrzal L., Flidrová K., Tobrman T., Dvořáková H., Lhoták P.: Chem. Commun., v tisku.
2. Holub J., Eigner V., Vrzal L., Dvořáková H., Lhoták P.: Chem. Commun. 49, 2798 (2013).

2P-01 STUDIUM SORPCE KOVŮ NA STRUSKÁCH

LENKA BLÁHOVÁ^a, VERONIKA MALÁ

*Ostravská univerzita v Ostravě, Přírodovědecká fakulta,
KCH, 30. dubna 22, 702 00 Ostrava
lenka.blahova23@gmail.com veronika.mala7@seznam.cz*

Struska je anorganický, vícesložkový materiál získaný jako sekundární produkt metalurgických procesů. Chemické i fázové složení jednotlivých strusek se liší, převážně jsou strusky tvořeny CaO, SiO₂, Al₂O₃ a MgO (cit.¹⁻³).

Práce se zabývá sorpcí kationtů mědi, zinku, olova a kadmia z vodného roztoku v závislosti na úpravě pH sorpčního prostředí a změny struktury (výpalem) samotné strusky. Byly využity dva typy vysokopecních strusek, struska granulovaná a pemzová a jejich vypálené ekvivalenty. Výpál strusky byl proveden v muflové peci při 1000 °C po dobu 3 h a následně chlazení probíhalo v exsíkátoru. Původní i vypálené strusky byly charakterizovány pomocí IR, RTG.

Sorpce byla prováděna z vodných roztoků kationtů kovů při laboratorní teplotě, v poměru 1 : 100 (struska : sorpční roztok). Doba sorpce byla 6 h v případě Zn a Cu a 8 h pro Cd a Pb, kdy již došlo k ustavení sorpční rovnováhy. pH sorpčního prostředí bylo upravováno na hodnotu 4 pomocí 0,1 M roztoků HNO₃ a NaOH. Suspenze byly filtrovány a koncentrace kovů v roztoku po sorpci byly stanoveny metodou atomové absorpční spektrometrie. Typ sorpční isotermy byl určen pomocí linearizovaných forem Langmuirovy a Freundlichovy isotermy a byla určena sorpční kapacita strusek.

Porovnáním sorpčních vlastností strusek za různých podmínek na dodaných typech strusky a jejich vypálených ekvivalentech lze říci, že na sorpční vlastnosti strusky má především vliv její typ, výpál a pH roztoku kovu.

LITERATURA

1. Das B., Prakash S., Reddy P. S. R., Mirsra V. N.: *Resour., Conserv. Recycl.* 50, 40 (2007).
2. Pláček V., v knize: *Možnosti zpracování odpadů po důlní a metalurgické činnosti*, s. 113, VŠB-TU, Ostrava 2005.
3. Hübner A., Chvátal V.: *Hutnické Aktuality* 29, 3 (1988).

2P-02 SURFACE ACTIVATION OF MESOPOROUS ORDERED SILICA MATERIALS BY ALUMINUM AND RHODIUM, THEIR CHARACTERIZATION AND CATALYTIC ACTIVITY FOR N₂O DECOMPOSITION

LENKA KUBOŇOVÁ^a, LUCIE OBALOVÁ^{a*}, DAGMAR FRIDRICHOVÁ^a, PEGIE COOL^b

*^a VSB-TU Ostrava, Centre of Environmental Technology, 17. listopadu 15, Ostrava, Czech Republic, ^b University of Antwerp, Laboratory of Adsorption and Catalysis, Department of Chemistry, Universiteitsplein 1, B-2610 Wilrijk, Belgium
lucie.obalova@vsb.cz*

Three different mesoporous ordered silica materials such as MCM-41, MCM-41 with aluminum and SBA-15 were

prepared. Samples with aluminum (2–3 wt.%) grafted on the surface by molecular designed dispersion method (MDD) and aluminum (2–5 wt.%) incorporated into MCM-41 were synthesized. In further step, rhodium (1.3–2.9 wt.%) was used as an active metal for the catalytic reaction of N₂O decomposition. The possible interaction of rhodium acetylacetonate complexes as precursors with the surface of supports by hydrogen bonding versus ligand exchange mechanism were tested by infrared spectroscopy and thermogravimetric analysis. Prepared catalysts were characterized by nitrogen sorption, electron-probe microanalysis, energy dispersive X-ray analysis, temperature programmed reduction of hydrogen, temperature programmed desorption of ammonia and UV-vis-diffuse reflectance (DR) spectroscopy.

The activity of catalysts was in the order Al (incorporated)-MCM-41+Rh > MCM-41+Al(grafted)+Rh > SBA-15+Rh ≈ MCM-41+Rh. The role of different supports influencing the properties of active sites created by rhodium ions is discussed.

This work was financially supported by Grant Agency of the Czech Republic (project no. P106/14-13750S) and by Ministry of Education, Youth and Sports of the Czech Republic in the “National Feasibility Program I”, project LO1208 “Theoretical Aspects of Energetic Treatment of Waste and Environment Protection against Negative Impacts” and by the project of specific research SP2014/88, VSB–TU Ostrava.

2P-03 KATALYZÁTORY NA BÁZE CNTs PRE PYROLÝZNU KONVERZIU METÁNU NA VODÍK

B. ERDELYI^{*a}, R. ORIŇÁKOVÁ^a, A. ORIŇÁK^a, D. VELIČ^b

*^a Katedra fyzikálnej chémie, PF UPJŠ v Košiciach, Moyzesova 11, 041 54 Košice, ^b Katedra fyzikálnej a teoretickej chémie, UK v Bratislave, Mlynská dolina, 842 15 Bratislava 4
branisla.verdeli1@gmail.com*

Uhlíkové nanorúrky (CNTs) so svojimi vlastnosťami spĺňajú kritéria ako nosič kovových častíc v katalytických procesoch. Hlavnou výhodou je schopnosť homogénneho rozmiestnenia častíc na povrchu a zachovanie nanorozmeru, čo zvyšuje hodnotu merného povrchu¹. Preto sme porovnávali katalytickú aktivitu tzv. kov-CNTs katalyzátorov v priamom rozklade metánu v neoxidačnej atmosfére.

Mokrou impregnačnou metódou je možné pripraviť tento typ katalyzátora, kde soli kovov slúžia ako prekursori kovových častíc. Po aktivácii a prečistení CNTs v roztoku silných kyselín HNO₃ a H₂SO₄ (pomer 3:1)² s prídavkom etanolu (pridávame z dôvodu zníženia hydrofóbnosti CNTs, len po kvapkách, lebo prebieha búrlivá reakcia), nasleduje samotné naviazanie kovov v alkalickom prostredí s etanolom a formaldehydom, ako redukčným činidlom. Práve tieto pomery reagentií ovplyvňujú výslednú štruktúru a veľkosť častíc naviazaných na CNTs (cit.³).

CuCNTs a ZnCNTs katalyzátory mali aktivitu podobnú samotným CNTs, najviac do dvadsať cyklov (vo všetkých prípadoch: 1,5 ml CH₄ na cyklus, návažok katalyzátora

v pyrolýznom reaktore 1 mg, teplota 900 °C, tlak 101,3 kPa). Maximálny výťažok v prípade CuCNTs bol 14 %, ZnCNTs mal 19,5 % a CNTs len 12,7 %. V prípade ZnCuCNTs katalyzátora bola výťažnosť najlepšia (49 %), čo bolo dvojnásobne lepšie ako u troch spomínaných katalyzátoroch. Práve kombinácia dvoch kovov predĺžila životnosť katalyzátora na viac ako 110 cyklov. Vo všetkých prípadoch bola pozorovaná nevyhnutná deaktivácia, spôsobená blokováním aktívnych miest, ktorej priebeh popisuje mocninová klesajúca funkcia.

Tato práca vznikla za podpory grantu VEGA 1/0211/12.

LITERATÚRA

1. Tavasoli A., Taghavi S.: *J. Energy Chem.* 22, 747 (2013).
2. Su S. H., Chiang W. T., Lin C. C., Yokoyama M.: *Physica E* 40, 2322 (2008)
3. Yang H., Liao PH.: *Appl. Catal., A* 317, 226 (2007).

2P-04

ODBÚRAVANIE CHOLESTEROLU NA POVRCHU TiO₂: SIMS - ŠTÚDIA

MICHAL PROCHÁZKA^{*a}, DUŠAN VELIČ^{a,b}

^a *Univerzita Komenského, Prírodovedecká fakulta, KFTCh, Mlynská dolina, 842 15 Bratislava,* ^b *Medzinárodné laserové centrum, Ilkovičova 3, 812 19 Bratislava*
prochazkam@fns.uniba.sk

Nanokryštalický oxid titaničitý (nc-TiO₂) je polovodičový fotokatalyzátor. Na jeho povrchu vznikajú vplyvom UV žiarenia veľmi reaktívne častice, ktoré môžu následne rozkladať iné látky nachádzajúce sa na povrchu nc-TiO₂. Aby tento proces prebiehal efektívne, musí na povrch nc-TiO₂ dopadať UV svetlo s dostatočnou intenzitou. Cieľom tejto práce bolo sledovanie degradácie cholesterolu, ako modelového príkladu organického znečistenia povrchu, na povrchu nc-TiO₂. Tenké filmy z nc-TiO₂ boli pripravené sedimentáciou nanoprášku na kremenné sklo. Tento typ skla bol vybraný z dôvodu, že prepúšťa svetlo aj v UV oblasti s dostatočnou intenzitou. Preto bolo možné systém cholesterol/nc-TiO₂/sklo ožarovať z hornej strany (zo strany cholesterolu) a aj zo spodnej strany (zo strany skla) a tieto výsledky porovnávať. V práci boli vzorky analyzované hmotnostnou spektrometriou sekundárnych iónov (SIMS) po ožarovaní UV LED diódou s vlnovou dĺžkou 365 nm každých 15 minút po dobu 2 hodín.

V hmotnostných spektrách je dobre stanovená závislosť znižovania intenzity píkov zodpovedajúcim fragmentom cholesterolu [M–OH]⁺, [M–H]⁺ a [M–CH₃]⁺, v závislosti od dĺžky ožarovania vzoriek UV svetlom. Porovnaním intenzít píkovej pri ožarovaní z hornej strany a zo spodnej strany je zrejme, že pri ožarovaní zo spodnej strany je pokles o niečo menší, čo môže byť spôsobené znížením intenzity svetla prechodom cez vrstvu kremenného skla a tiež vrstvu nc-TiO₂. Avšak toto zníženie nie je veľmi veľké, a preto možno aj tento spôsob využívať na efektívnu degradáciu organických nečistôt na povrchu. Tento spôsob má výhodu v tom, že pri ožarovaní zo spodnej strany sa vylúči vplyv UV žiarenia na degradáciu niektorých látok na povrchu.

Tato práca vznikla za podpory grantov ERDF OP R&D, Project 'meta-QUTE- Centrum excelentnosti kvantových technológií', APVV-0491-07 a UK/66/2012.

LITERATÚRA

1. Prochazka M., Stupavska M., Jerigova M., Velic D.: *Surf. Interface Anal.* 45, 22 (2013).

2P-05

VPLYV POLARITY NANOPOVRCHU NA ADHÉZIU ŽIVÝCH BUNKOVÝCH LÍNIÍ

**J. MACKO^{*,a}, R. ORIŇÁKOVÁ^b, A. ORIŇÁK^b,
A. VALEŇČÁKOVÁ^c, D. HARVANOVÁ^d,
J. RADOŇÁK^e**

^a *Katedra fyzikálnej a teoretickej chémie, Mlynská dolina, 842 15 Bratislava 4,* ^b *Katedra fyzikálnej chémie, PF UPJŠ v Košiciach, Moyzesova 11, 041 54 Košice,* ^c *Katedra biológie a genetiky, UVLF v Košiciach, Komenského 73, 041 81 Košice,* ^d *Združená tkanivová banka UPJŠ a UNLP, Tr. SNP 1, 040 11 Košice,* ^e *I. chirurgická klinika UPJŠ LF a UNLP, Tr. SNP 1, 040 11 Košice*
jmacko10@gmail.sk

Cieľom práce bolo unifikovať postupy štúdia adhézie bunkových línií na nanoobjektových substrátoch pokrytých vrstvou polyméru rôznej polarít. Substráty boli pripravené na kruhových terčikoch z chirurgickej nekorodujúcej ocele 316L.

V literatúre sa stretávame s faktom, že pozorovanie javu adhézie bunkových línií na nanoštrukturovaných substrátoch má potenciál pri skoršej diagnostike kancerogénnych ochorení¹.

V prvom kroku bola na všetkých terčikoch chronoamprometricky vylúčená vrstva niklu. Povrch niklovej vrstvy má štruktúru mnohostenných nanoobjektov s veľkosťou cca. 150 nm. Na nanorozmerný povrch niklu bola nanosená druhá vrstva polydimetylsiloxánu (PDMS) metódou spincoatingu tak, aby vytvorila monovrstvu a kopirovanla nanotopografiu substrátov². Výsledkom boli dva typy povrchov s totožnou nanotopografiou, ale rôznou polaritou. Medzi mierou adhézie jednotlivých bunkových línií a hydrofobicitou boli pozorované výrazné rozdiely. Dermálne fibroblasty na niklovom nanoštrukturovanom povrchu adherovali dokonale, bolo pozorované symetrické rozťahovanie buniek. Na PDMS nanoštrukturovanom povrchu bola adhézia fibroblastov slabá, kolónie buniek boli takmer sférické. Bunky adenokarcinómu (HT-29) sa adhéziou značne líšili. Rozťahovanie bolo výraznejšie a nepravidelné. Aj v prípade PDMS povrchu boli bunky HT-29 adherované silnejšie ako fibroblasty a mali nepravidelný tvar. Experiment ukázal výrazne rozdiely v adhézii kancerogénnych a zdravých buniek na nanoobjektových substrátoch.

Pozorovanie adhézie buniek, vytváranie a unifikovanie postupov na štúdium adhézie buniek na nanoobjektových substrátoch môže významne prispieť k medicínskej diagnostike² kancerogénnych ochorení.

Tato práca vznikla za podpory grantu VEGA 1/0211/12, APVV-0280-11.

LITERATÚRA

1. Kwon K. W., Choi S. S., Lee S. H., Kim B., Lee S. N., Park M. C., Kim P., Hwang S. Y., Suh K. Y.: *LabChip* 7, (2007).
2. Hall D. B., Underhill P., Torkelson J. M.: *Polymer Engineering and Science* 38, 12 (1998).

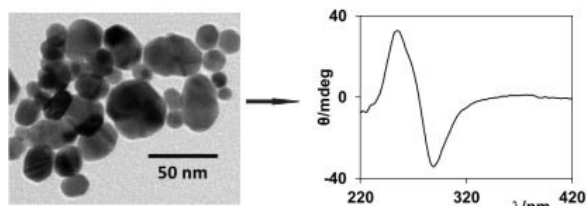
2P-06

CIRKULÁRNÍ DICHROISMUS CHIRÁLNIČH NANOČÁSTIC STŘÍBRA

JAKUB KOKTAN, HELENA RYŠAVÁ, PAVEL REZANKA*

*Vysoká škola chemicko-technologická v Praze, Technická 5, 166 28 Praha 6
Pavel.Rezanka@vscht.cz*

Tato práce je zaměřena na cirkulární dichroismus (CD) chirálních nanočástic stříbra¹. Nanočástice byly syntetizovány chemickou redukcí z dusičnanu stříbrného pomocí citronanu sodného nebo tetrahydridoboritanu sodného. Jednotlivými redukčními činidly byly získány nanočástice různých velikostí a tvarů. Chiralita částic (obr. 1) byla dosažena postsyntetickou modifikací L-cysteinem a jeho strukturálními deriváty L-methylcysteinem a L-penicilaminem v koncentracích od $1 \cdot 10^{-3}$ mol/l do $1 \cdot 10^{-5}$ mol/l a při různých hodnotách pH (pH = 4, 7 a 10).



Obr. 1. Snímek z transmisního elektronového mikroskopu nanočástic stříbra a jejich spektrum CD v UV oblasti po modifikaci L-cysteinem

V těchto systémech bylo UV/Vis absorpční spektroskopii kvantifikováno množství navázaného L-cysteinu a nebo jeho derivátů a z naměřených hodnot byly diskutovány vztahy mezi navázaným množstvím látky na povrchu částic, její strukturou a vznikem CD signálu v UV/Vis oblasti. Spektroskopické stanovení koncentrace analytů bylo provedeno po reakci s činidly 1-fluor-2,4-dinitrobenzenem nebo toluen-4-sulfonyl-chloridem.

Financováno z účelové podpory na specifický vysokolekolský výzkum (MŠMT č. 20/2014).

LITERATURA

1. Řezanka P., Koktan J., Řezanková H., Matějka P., Král V.: *Colloids Surf., A* 436, 961 (2013).

2P-07

DEGRADACE LUTEINU V ČASE

BARBORA HRVOLOVÁ, JIŘÍ KALINA

*Ostravská univerzita v Ostravě, Přírodovědecká fakulta, Katedra chemie, 30. dubna 22, 701 03 Ostrava
B.Hrvolova@seznam.cz*

Lutein patří k významné skupině bioaktivních látek zvané karotenoidy. Karotenoidy se skládají z isoprenoidních jednotek, jež utvářejí dlouhé alifatické konjugované systémy dvojných vazeb. Díky přítomnosti těchto konjugovaných dvojných vazeb podléhají karotenoidy, a tedy i lutein, isomerizaci. Isomerizace, jež je považována za projev degradace, z *all-trans* formy na *cis* formy může být indukována mnoha vnějšími faktory (teplo, světlo).

Lutein má pro organismus několik důležitých funkcí: funkci pigmentační, fotoprotektivní či antioxidační. Jednou z jeho nejvýznamnějších vlastností je preventivní účinek proti degenerativnímu poškození makuly (AMD). Díky této vlastnosti se stal lutein v posledních letech velmi populární a začal se hojně přidávat do doplňků potravy. S tím souvisí i současné intenzivní studium jeho stability.

Cílem této práce bylo optimalizovat metodu detekce degradace luteinu. Vzorkem, jež byl v této práci analyzován, byl methanolvý roztok standardu luteinu ($M = 568,87$ g/mol, Sigma-Aldrich), který byl uskladněn po dobu jednoho roku při -15 °C. Tyto podmínky jsou dle návodu pro uskladnění standardu zcela nevhodné, a proto jsme předpokládali přítomnost degradačních produktů. Vzorek byl prvotně analyzován dle LC/MS metody vycházející z práce¹ a následně byla ozkoušena a optimalizována metoda přímého nástřiku (FIA).

Tento příspěvek je podpořen z projektu SGS06/PřF/2014.

LITERATURA

1. Aman R., Biehl J., Carle R., Conrad J., Beifus U., Schieber A.: *Food Chem.* 92, 753 (2005).

2P-08

PLS MODELÝ VIACROZMERNEJ KALIBRÁCIE PRI STANOVENÍ OBSAHU KUMARÍNU A JEHO METABOLITOV V ZMESI FLUORESCENČNOU SPEKTROSKOPIOU

ROMAN POLÁČEK*, PAVEL MÁJEK, JANA SÁDECKÁ

*Ústav analytickej chémie, Fakulta chemickej a potravinárskej technológie STU, Radlinského 9, 812 37 Bratislava
pavel.majek@stuba.sk*

Prirodná látka kumarín (2H-chromén-2-ón) sa vyskytuje: v koreni z tonkových bôbov, v škoricí, vanilke, levandulí, a v rôznych liečivých rastlinách: komonica lekárska a komonica biela. Ako prírodná aróma sa používa v gastronómii. Vysoké dávky kumarínu prijaté jedlom sú karcinogénne a môžu tiež spôsobiť poškodenie obličiek.

Maximálne množstvo kumarínu v potravinách stanovila Európska komisia na 2 mg kumarínu na kg (cit. 1). Pôsobením niektorých druhov plesní a húb sa mení kumarín cez 4-hydroxykumarín na dikumarol, ktorý má silné antikoagulačné vlastnosti. Ich výskyt v potravinár-ských produktoch je zakázaný¹.

Táto práca je zameraná na vypracovanie metódy stanovenia kumarínu a jeho metabolitov súčasne viac-rozmernou kalibráciou. Z nameraných synchronných fluorescenčných spektier zmesí kumarínu, 4-hydroxy-kumarínu a dikumarolu v intervale vlnových dĺžok 200 až 400 nm s konštantným rozdielom vlnových dĺžok 70 až 90 nm sa získali údaje, z ktorých sa skonštruovali kalibračné modely. PLS1 modelom, možno koncentráciu analytov stanoviť jednotlivito po zložkách a PLS2 modelom sa koncentrácia analytov vypočíta súčasne. Najvhodnejší model sa vybral porovnaním predikčných vlastností oboch modelov.

Táto práca vznikla vďaka podpore v rámci OP Výskum a vývoj pre projekt: Kompetenčné centrum inteligentných technológií pre elektronizáciu a informatizáciu systémov a služieb, ITMS 26240220072, spolufinancovaný zo zdrojov Európskeho fondu regionálneho rozvoja.

Táto práca bola podporovaná Agentúrou na podporu výskumu a vývoja na základe zmluvy č. APVV-0797-11.

LITERATÚRA

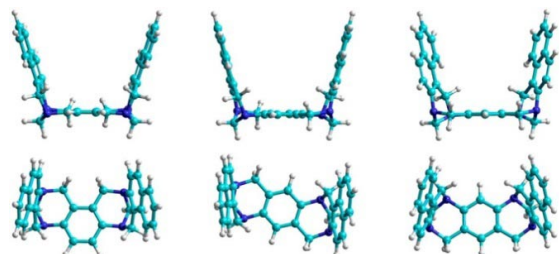
1. Regulation (EC) No 1334/2008 of the European Parliament No 1601/91, Regulations (EC) No 2232/96 and (EC) No 110/2008 and Directive 2000/13/EC. Official Journal of the European Union 2008 L354/34, 15.

2P-09

KVANTOVÉ CHEMICKÉ VÝPOČTY A MULTIVARIAČNÍ VYHODNOCENÍ SPEKTROMETRICKÝCH DAT PRO ANALÝZU INTERAKCE SUPRAMOLEKULÁRNÍHO RECEPTORU S ROZPOUŠTĚDLEM

MILAN JAKUBEK^a, VÁCLAV PARCHAŇSKÝ^{a,b}, JAKUB SEDLÁČEK^a, BOHUMIL DOLENSKÝ^a

^a Ústav analytické chemie, Vysoká škola chemicko-technologická v Praze, Technická 5, 160 00 Praha 6, ^b Ústav organické chemie a biochemie AV ČR, v.v.i., Flemingovo nám. 2, 160 00 Praha 6
parchansky@uochb.cas.cz



Multivariační metody v poslední době pronikají do rozličných oblastí chemie. Jedním z využití těchto metod je sní-

žení počtu rozměrů problému. Zatímco vyhodnocovat změny chemického posunu dvaceti píků v průběhu NMR titrace jeden po druhém může být složité, tyto metody nám umožní podobně chovající se píky snadno identifikovat a vyhodnotit změny po skupinách.

Jelikož byly píky u zkoumaných látek předem přiřazeny k příslušným atomům, je možné snadno pozorovat, které oblasti molekuly jsou rozpouštědlem ovlivňovány stejně a které různě. Tuto informaci lze využít jako vodítko k charakterizaci interakce a vysvětlení výsledků titrací supramolekulárního receptoru s analytem v různých rozpouštědlech.

V prezentované práci byla zkoumána závislost chemických posunů molekulární pinzety na poměru rozpouštědel ve směsi. Pro zkoumání byly využity techniky NMR a Ramanova spektroskopie. Naměřená data byla pro jejich maximální využití vyhodnocena multivariačně. Výsledky byly porovnány s kvantově chemickým výpočtem a budou využity k charakterizaci interakce molekulární pinzety s rozpouštědlem a jeho vlivu na komplexační rovnováhy.

Financováno z účelové podpory na specifický vysokoškolský výzkum (MŠMT č. 20/2014).

2P-10

FLUORESCENCE STUDY OF DPTAP AND HYALURONIC ACID MIXTURES

JANA SZEWIECZKOVÁ, FILIP MRAVEC, MILOSLAV PEKAR

Centre for Materials Research, Faculty of Chemistry, Brno University of Technology, Purkyňova 118, 612 00 Brno
xcszewieczkovaj@fch.vutbr.cz

Pyrene is widely used as a fluorescence probe suitable for measuring CMC (critical micellar concentration) of surfactants^{1,2}. Sigmoidal decrease of emission polarity index, EmPI (intensities ratio of first and third emission band of pyrene emission spectra) is observed and CMC is obtained as a point of inflection.

The aim of this work was to study aggregation behaviour of cationic liposomes of DPTAP (dipalmitoyltrimethylammonium-propane) in the presence of hyaluronic acid (HyA) of different molecular weight (M_w).

At the beginning, CMC of DPTAP was measured using fluorescence spectroscopy – concentration series of DPTAP had to be prepared. Then, certain amount of HyA was added to DPTAP solutions. This experiment was performed with HyA of various molecular weights (137, 458 and 1697 kDa).

In the presence of HyA, an abrupt increase of pyrene EmPI was observed after CMC and on the wall of the vial precipitate was formed (Fig. 1a). It has occurred at the same concentration range of DPTAP for all studied mixtures (different M_w of HyA).

In the end, mixture of DPTAP and HyA was prepared – with higher concentration of each component but at the same ratio of these species. Big amount of precipitate was formed (shown on Fig. 1b).

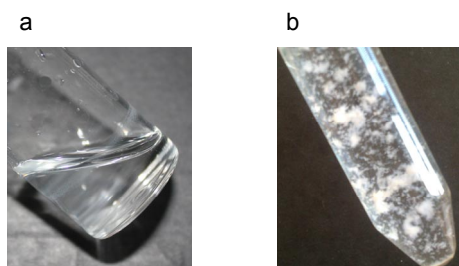


Fig. 1. Precipitates formed after addition of HyA to DPTAP

This work has been supported by Ministry of Education, Youth and Sports, Project LO1211.

REFERENCES

1. Aguiar J., Carpena P., Molina-Bolívar J. A., Ruiz C. C.: *J. Colloid Interface Sci.* 258, 1 (2003).
2. Lakowicz J. R., in the book: *Principles of Fluorescence Spectroscopy*, p. 954. Springer, Baltimore 2006.

2P-11

THE USE OF GAS CHROMATOGRAPHY FOR DETERMINATION OF RESIDUAL *tert*-BUTANOL IN DRIED SYSTEMS OF HYALURONAN AND FLUORESCENCE PROBES

PETRA MICHALICOVÁ, TEREZA BORŮVKOVÁ, FILIP MRAVEC, JOSEF ČASLAVSKÝ, MILOSLAV PEKAŘ

*Centre for Material Research, Faculty of Chemistry, Brno University of Technology, Purkynova 118, 612 00 Brno, Czech Republic
xcmichalicovap@fch.vutbr.cz*

Hyaluronan is a native biopolymer with hydrophilic character, which contains on its chain also hydrophobic areas. Due to the prevalent hydrophilicity these parts are protected by organized water molecules¹. The method of drying was used to open up the hydrophobic parts for interactions with hydrophobic fluorescence probes. During the preparation of samples for drying *tert*-butanol (TBA) was added. TBA was used to increase the process of dissolution of hydrophobic probe and also contribute to higher homogenization of the samples. The process of drying was followed by rehydration of the samples. As a measuring method for studying of interaction in the system the fluorescence spectroscopy was used.

The problem uprise if residual part of TBA remains in the sample due to its hydrophobic organic character, which can significantly affect the result of fluorescence measurement. The amount of residual TBA was determined by head-space extraction with gas chromatography detection.

The studied systems hyaluronan–fluorescence probe (perylene) contained 20 vol.% of TBA before drying. Hyaluronan used for these experiments had three different values of molecular weight (100 kDa; 400 kDa; 1,4 MDa) and concentration after drying and rehydration was 1 g dm⁻³. Concentration of perylene was 5·10⁻⁶ mol dm⁻³. After drying the samples were rehydrated with 20 ml of deionized water. The

results showed concentration of TBA in studied samples 0,002 mg mL⁻¹ – 0,005 mg mL⁻¹.

This work was supported by the Materials Research Centre at FCH BUT- Sustainability and Development, REG LO1211, with financial support from National Programme for Sustainability I (Ministry of Education, Youth and Sports).

REFERENCES

1. Vandamme E., De Baets S., Steinbüchel A., in book: *Biopolymers – Polysaccharides 1*. s. 379–406. Wiley, 2002.

2P-12

KVALITATIVNÍ A KVANTITATIVNÍ ANALÝZA SACHARIDŮ V HROZNECH A VÍNU POMOCÍ HPLC S MS A ELS DETEKČÍ

RICHARD ČMELÍK, DANA FLODROVÁ

*Ústav analytické chemie AV ČR, Veveří 97, Brno 602 00
cmelik@iach.cz*

Kvalitu vína ovlivňuje i jeho sacharidické složení, zejména pak dominantní glukosa a fruktosa, které tvoří většinu všech sacharidů obsažených ve zralých bobulích. V menší míře byly detekovány další monosacharidy (např. mannosa, galaktosa, xylosa, arabinosa, ribosa a rhamnosa) a oligosacharidy (např. laktosa, sacharosa, maltosa, trehalosa)¹. Sledování oligosacharidů ve vínech nebyla dosud věnována odpovídající pozornost, třebaže se jedná o látky s fyziologickým, medicinským a potravinářským významem².

Cílem studie bylo vyvinout metodu pro rychlou analýzu obsahu a zastoupení jednotlivých sacharidů ve vzorcích vín, vinné šťávy a hroznů spočívající ve spojení izolačních (extrakce na pevné fázi – SPE), separačních (kapalinová chromatografie – HPLC) a detekčních (index lomu, rozptyl světla, hmotnostní spektrometrie) postupů. Z tohoto důvodu byly porovnány a optimalizovány kroky odstranění interferujících látek na SPE sorbentech (hilic a reverzní fáze), jeho rozdělení na různých stacionárních fázích (silikagel, aminová, amidová, grafitová) pro HPLC a výběr metody pro zajištění co nejnižšího limitu detekce.

Optimalizovaný postup využívá spojení neretentivní SPE na polymerní mixed-mode ionexové fázi (kombinující v jediném materiálu hydrofobní a iontové interakce), rozdělení na aminokoloně (která při gradientu 85 až 60 % acetonitrilu poskytovala dostatečné rozlišení sledovaných sacharidů a u redukujících nevykazovala nežádoucí rozlišení anomerů) s citlivou detekcí hmotnostním spektrometrem s ionizací elektrospřejem v obou iontových módech.

Rozdělení mono- a oligosacharidů a zakoncentrování druhých z nich bylo dosaženo za použití SPE na porézním grafitickém uhlíku.

Ve vzorcích vína pocházejících z vinařské oblasti Morava byly vedle stanoveného obsahu glukosy a fruktosy (0,35–1,33 mg/ml, resp. 0,17–7,24 mg/ml; vzorek od vzorku jejich vzájemný poměr silně kolísá: 0,40–8,77) detekovány z dalších sacharidů pouze ribosa a rhamnosa.

Tato práce vznikla za podpory grantu regionální spolupráce AV ČR R200311405.

LITERATURA

1. La Pera L., Di Bella G., Magnisi R., Lo Turco V., Dugo G.: *Ital. Food Sci.* 19, 319 (2007).
2. Ducasse M.-A., Williams P., Meudec E., Cheyner V., Doco T.: *Carbohydr. Polym.* 79, 747 (2010).

2P-13

DETERMINATION OF CYSTEINYLGLYCINE AND CYSTEINE IN PLASMA BY HPLC WITH UV DETECTION

JUSTYNA STACHNIUK*, KAMILA BOROWCZYK, RAFAŁ GŁOWACKI

*Department of Environmental Chemistry, Faculty of Chemistry, University of Lodz, 163 Pomorska Str, 90-236 Lodz, Poland
stachniuk.justyna@wp.pl*

Thiol aminoacids play an important role in metabolic processes of all living creatures. That is why, their analytical control is very important in order to understand their physiological and pathological functions^{1,2}. Among a variety of available methods, which allow to measure thiol concentrations, chemical derivatization utilizing a suitable labeling reagent followed by liquid chromatographic or electrophoretic separation with commonly used ultraviolet detection is the most reliable tool for sensitive and specific determination of thiol compounds in real world samples.

Nowadays, most of chromatographic procedures dedicated to hydrophilic thiol measurements exploit RP-HPLC and require mobile phases including ion-pairing reagents, such as alkyl sulphonates or trichloroacetic acid (TCA)³ in order to enhance retention of such compounds. Unfortunately, it leads to some important disadvantages such as lengthening the equilibration time of the column and significantly growing up costs of analysis.

Here we present methodology which allows us the simultaneous determination of cysteine (Cys) and cysteinylglycine (Cys-Gly) in human plasma. The method is based on derivatization of thiols with 2-chloro-1-methylquinolinium tetrafluoroborate (CMQT) followed by chromatographic separation on XB-C18 Aeris PEPTIDE (150×4.6 mm, 3.6 μm) column from Phenomenex and UV detection at 355 nm. The cheap, easily available mobile phase, (water/acetonitrile) in reversed phase mode coupled with core-shell particle technology, simplifies the procedure and significantly reduces the column equilibration time which results in obtaining sharp peaks and shortening the time of HPLC analyses for Cys and Cys-Gly to just 2 min.

REFERENCES

1. Anderson A., Lindgren A., Hultberg B.: *Clin. Chem.* 41, 361 (1995).
2. Refsum H., Smith A. D., Ueland P. M., Nexø E., Clarke R., McPartlin J., Johnston C., Engbaek F., Schneede J., McPartlin C., Scott J. M.: *Clin. Chem.* 50, 3 (2004).

3. Kuśmierk K., Chwatko G., Głowacki R., Kubalczyk P., Bald E.: *J. Chromatogr. B* 879, 1290 (2011).

2P-14

VOLTAMPÉROMETRICKÉ ŠTÚDIUM TRIAZÍNŮVÝCH DERIVÁTŮV

LADISLAV RÁBARA*

*Univerzita sv. Cyrila a Metoda v Trnave, nám. J. Herdu 2, Trnava, 917 01, Slovensko
ladislav.rabara@ucm.sk*

Triazínové deriváty sú významné pre svoju biologickú aktivitu predovšetkým ako fungicidy. Ich uplatnenie rastie aj v koordinačnej chémii ako multidentátne ligandy¹ pre komplexy s prechodnými kovmi. Majú potenciálne využitie aj pri opätovnom spracovaní použitého jadrového paliva². Svojou štruktúrou sú analógom benzenového jadra, pričom ich aromatický šesťčlánkový cyklus sumárneho vzorca C₃H₃N₃ existuje v troch izoméroch.

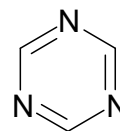


Schéma 1. Chemická štruktúra 1,3,5-triazínu

V tomto príspevku sú študované redoxné vlastnosti derivátov 1,3,5-triazínu metódou cyklickej voltampérometrie s trojelektrodovým zapojením. Pre merania uskutočnené vo vodnom prostredí sa ako indikačná elektróda použila uhlíková pastová elektróda (CPE). Klasické diskové indikačné elektródy (Pt, Au, GC) sa skúšali v nevodných prostrediach.

Táto práca vznikla za podpory grantov APVV-0014-11 a VEGA 1/0233/12.

LITERATÚRA

1. Milata V., Claramunt R. M., Cabildo P., Santa María M. D., Cornago P., Infantes L., Cano F. H., Elguero J.: *Heterocycles* 55, 905 (2001).
2. Hudson M. J., Drew M. G. B., Foreman M. R. S., Hill C., Huet N., Madic C., Youngs T. G. A.: *Dalton Trans.* 9, 1675 (2003).

2P-15

ŠTÚDIUM INTERAKCIE PESTICÍDU ALACHLÓR S GUANOZÍNOM VYUŽITÍM ELEKTROCHEMICKÝCH A SPEKTRÁLNYCH METÓD

JANA SVÍTKOVÁ, ĽUBOMÍR ŠVORC, JÁN LABUDA

*Ústav analytickej chémie, Fakulta chemickej a potravinárskej technológie, Slovenská technická univerzita v Bratislave, Radlinského 9, 812 37 Bratislava, Slovensko
jana.svitkova@stuba.sk*

Alachlór je herbicíd, ktorý je súčasťou pesticídnych prípravkov proti lipnicovitým dvojklíčnolistým burinám¹.

Sledovanie účinku takýchto biologicky účinných látok vyžaduje nové analytické prístupy. V tomto štúdiu ide o uplatnenie bórom dopovanej diamantovej (BDD) elektródy na vyšetrovanie interakcie alachlóru s povrchovo viazaným guanozínom prípadne oligonukleotidmi.

Po optimalizácii podmienok merania v roztoku elektrochemicky aktívneho redoxného indikátora ($1 \cdot 10^{-3} \text{ mol l}^{-1}$ $[\text{Fe}(\text{CN})_6]^{3-/4-}$) sa povrch BDD elektródy chemicky modifikoval guanozínom ($4 \mu\text{l}$, $c = 2 \cdot 10^{-4} \text{ mol l}^{-1}$). Následne sa modifikovaná BDD elektróda určitý čas inkubovala v prostredí alachlóru ($c = 4,5 \cdot 10^{-4}$ až $4,5 \cdot 10^{-6} \text{ mol l}^{-1}$). S guanozínom modifikovanou elektródou bol pozorovaný cyklický voltampérogram (CV) s horším tvarom indikátora s väčšou potenciálovou separáciou pík E_p (rozdiel potenciálov katodického a anodického píku) a nižším prúdom píku ako v prípade holej BDD elektródy. Po inkubácii modifikovanej elektródy v roztoku alachlóru sa tvar a parametre CV píku v závislosti od času inkubácie blížili k voltampérogramu získanému na holej BDD elektróde. Takéto štúdium s využitím viacerých analytických metód nám umožní charakterizáciu interakcie alachlóru s guanozínom. A to môže mať význam pre naviazanie biomolekúl na povrch elektródy a na štúdium interakcií s látkami, ktoré sa bežne vyskytujú v okolitom prostredí a vykazujú určité negatívne vplyvy na živé organizmy.

Autori ďakujú za podporu Vedeckej grantovej agentúry VEGA MŠ SR a SAV (projekt č. 1/0361/14 a 1/0051/13).

LITERATÚRA

- Jacobs M., v knihe: *Unsafe sex: How endocrine disruptors work*, kap. 4, s. 54, United Kingdom 2001.

2P-16

SENZOROVÁ POLE PRO STANOVENÍ ANIONTŮ

MICHAL ŠÍDLO*, PŘEMYSL LUBAL, MAREK PERNICA

Masarykova univerzita, Kamenice 5, 625 00 Brno
175265@mail.muni.cz

Analýza vybraných aniontů (např. (pseudo)halogenidů, hydrogenuhličitanů, siřičitanů, fosforečnanů, atd.) ve vzorcích životního prostředí (ŽP) je důležitá úloha, a proto existuje potřeba vyvíjet rychlé, levné a praktické metody pro jejich stanovení. Organická činidla, např. azobarviva – 4-(2-pyridylazo)resorcinol (PAR), 1-(2-pyridylazo)-2-naphtol (PAN), jsou široce využívaná pro stanovení velkého počtu iontů kovů. Bohužel v některých případech je jejich stanovení rušeno přítomností interferujících aniontů, které mohou ovlivňovat změnu intenzity zbarvení, ev. luminiscence komplexu ion kovů-ligand. Bylo zjištěno, že změna optických vlastností vybraných kovových komplexů může být využita pro stanovení některých analytů aniontového charakteru. Pokud jsou tyto změny způsobené substituční reakcí analytu s kovovým komplexem dostatečně, tyto systémy pak mohou být využity k návrhu senzorového pole pro analýzu aniontů ve vzorcích ŽP. Tento příspěvek se zabývá využitím komplexů azobarviv s ionty kovů (např. Tl(III), Hg(II), Cd(II), Cu(II), atd.) pro analýzu výše uvedených aniontů. Algoritmus umělých neuro-

nových sítí byl použit pro simultánní klasifikaci a stanovení analytů ve vybraných vzorcích¹.

Tato práce vznikla za podpory MŠMT ČR (MUNI/A/0972/2013, ME09065) a EU (CEITEC CZ.1.05/1.1.0/02.0068).

LITERATURA

- Anzenbacher P. Jr., Lubal P., Bucek P., Palacios M. A., Kozelkova M. E.: *Chem. Soc. Rev.* 39, 3954 (2010).

2P-17

PURIFIKACE VYBRANÝCH CYTOKININŮ POMOCÍ MIKROEXTRAKCE POLYMERNÍM MONOLITEM

JAKUB KOŘISTKA^a, **LUCIE HALENKOVÁ^a**, **PAVEL JAWOREK^a**, **YU-QI FENG^b**, **PETR TARKOWSKI^{a*}**

^a *Centrum regionu Haná pro biotechnologický a zemědělský výzkum, Přírodovědecká fakulta Univerzity Palackého v Olomouci, Šlechtitelů 11, 783 71 Olomouc,* ^b *Department of Chemistry, Wuhan University, Wuhan, 430072, China*
petr.tarkowski@upol.cz

Cytokininy (CK) jsou skupinou rostlinných hormonů nezbytných pro řízení růstu, vývojových procesů a reakcí na vnější podmínky u všech vyšších rostlin. Chemicky se jedná o N⁶ substituované deriváty adeninu nesoucí isoprenoidní nebo aromatický postranní řetězec. Tato základní struktura bývá často modifikována, jsou známy mimo jiné různé typy konjugátů se sacharidy, CK nukleotidy, či 2-methylthio-deriváty. Jednotlivé formy CK se liší nejen svou biologickou aktivitou a funkcí, ale také fyzikálně-chemickými vlastnostmi, což spolu s jejich nízkou fyziologickou koncentrací (obvykle méně než 30 pmol/g čerstvé hmoty) komplikuje jejich analýzu¹.

Kritickým krokem při kvantitativní analýze CK nadále zůstává příprava vzorků. Tradiční technikou purifikace CK je extrakce na pevné fázi s využitím kombinace různých sorbentů, včetně imunoafinitních². Rostoucí požadavky na stanovení CK z minimálního množství rostlinného materiálu při zachování či zlepšení citlivosti, vysokou propustnost a efektivitu přípravy vzorků a možnost stanovit širokou škálu hormonů současně vedly k vývoji řady nových purifikačních metod³. Jedním z moderních přístupů je mikroextrakce polymerním monolitem (PMME), kterým je naplněna kapilární kolona⁴.

Prezentovaná studie se zabývá aplikací PMME při purifikaci polárních CK nukleotidů a silně hydrofobních 2-methylthio-derivátů. Nukleotidy je možné efektivně izolovat s využitím boronátového afinitního monolitu. Konkrétně se jedná o kopolymer 3-akrylamidofenyl-1-borité kyseliny a ethylen-dimethakrylátu (AAPBA-co-EDMA), který s analytem reverzibilně utváří cyklický ester v závislosti na pH⁵. V případě 2-methylthio-CK se pak osvědčil kopolymer 2-akrylamido-2-methyl-1-propansulfonové kyseliny a ethylen-dimethakrylátu (AMPS-co-EDMA)⁴. Tento směsný sorbent váže analyt na principu kationtové výměny a zároveň hydrofobní interakce. PMME se pro obě skupiny CK jeví jako rychlejší a levnější alternativa k extrakci na pevné fázi, se kterou lze dosáhnout srovnatelného stupně přečištění a návratnosti.

LITERATURA

- Galuszka P., Spíchal L., Kopečný D., Tarkowski P., Frébortová J., Šebela M., Frébort I., v knize: *Studies in Natural Product Chemistry*, svazek 34 – *Bioactive Natural Products*, kap. 6, s. 205-206 a 230. Elsevier, Amsterdam 2008.
- Ástot C., Doležal K., Moritz T., Sandberg G.: *J. Mass Spectrom.* 33, 892 (1998).
- Tarkovská D., Novák O., Floková K., Tarkowski P., Turečková V., Grúz J., Rolčík J., Strnad M.: *Planta*, in press. DOI: 10.1007/s00425-014-2063-9.
- Liu Z., Wei F., Feng Y.: *Anal. Methods* 2, 1676 (2010).
- Ding J., Mao L., Yuan B., Feng Y.: *Plant Methods* 9, 13 (2013).

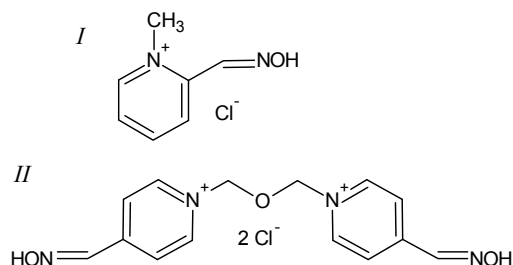
2P-18

STANOVENÍ DISOCIAČNÍCH KONSTANT NOVĚ SYNTETIZOVANÝCH PYRIDINIOVÝCH OXIMŮ

KAREL MUSIL, PAVEL BŮČEK, VLASTIMIL DOHNAL

*Katedra chemie, Přírodovědecká fakulta, Univerzita Hradec Králové, Rokitanského 62, 500 03 Hradec Králové
pavel.bucek@uhk.cz*

Pyridiniové a bispyridiniové oximy jsou skupinou látek, které často vykazují antidotní vlastnosti vůči otravám organofosfáty či organofosfonáty. Některé z nich jsou využívány komerčně ve formě léků, například pralidoxim (**I**), obidoxim (**II**), HI-6 apod. Jejich absorpce a distribuce v organismu závisí rovněž na formě – zda je látka v disociované či nedisociované podobě. Zastoupení jednotlivých forem je dáno disociační konstantou. V této práci byly stanoveny disociační konstanty 13 známých i nově syntetizovaných pyridiniových a bispyridiniových oximů na základě spektrofotometrických stanovení. K měření absorpčních spekter v UV/VIS oblasti byla použita konvenční metoda, kdy spektra analytů byla měřena v pufrech při 11 různých hodnotách pH a výsledky byly chemometricky zpracovány¹. Vypočtené hodnoty byly porovnány s automatizovaným stanovením pomocí kapalinového chromatografu². Výsledky obou stanovení byly ve velmi dobré korelaci, automatizované stanovení se vyznačovalo nižší směrodatnou odchylkou. Automatizované měření spekter pomocí kapalinového chromatografu je časově nenáročné a přesnější. Získané hodnoty pK_a mohou pomoci při cíleném návrhu látek s požadovanou hodnotou pK_a .

Schéma 1. Pralidoxim (**I**), obidoxim (**II**)

Práce vznikla za podpory grantu reg. č. CZ.1.07/2.3.00/45.0014 a projektu ESF č. CZ.1.07/2.3.00/30.0052.

LITERATURA

- Jaumot J., Gargallo R., de Juan A., Tauler R.: *Chemometr. Intell. Lab.* 76, 101 (2005).
- Ando H., Heimbach T.: *J. Pharm. Biomed.* 16, 31 (1997).

2P-19

A GREEN METHOD USING A MICELLAR SYSTEM FOR DETERMINATION OF COPPER IN BIOLOGICAL SAMPLES

SIMONA PROCHÁZKOVÁ*, RADOSLAV HALKO, LENKA OKENICOVÁ

*Comenius University in Bratislava, Faculty of Natural Science, Department of Analytical Chemistry, Mlynská dolina, 842 15 Bratislava, Slovakia
curmova@fns.uniba.sk*

In this work, a new cloud point extraction (CPE) procedure was developed for the separation and pre-concentration of copper(II) in human urine samples. Copper plays an important role in environmental and health studies. In human body fluids, copper exists in various chemical forms such as copper ions Cu(II), Cu(I) and coordinated copper with protein.

The highest concentrations of copper are discovered in the brain and the liver. The central nervous system, the heart and bones exhibit high concentrations of copper as well. The increased copper content in the body is reflected in the genetic metabolic disease, Wilson's disease.

Chelate of metal ions with 2,9-dimethyl-1,10-phenanthroline (neocuproine) were extracted into the surfactant-rich phase of octylphenoxypolyethoxy-ethanol (Triton X-114) from samples. Neocuproine with Cu(I) produced yellow-orange hydrophobic chelate in a neutral or slightly acidic buffer solution (adjusted to pH 5.9). Cu(II) was reduced to Cu(I) ions by ascorbic acid as a weak reducer, which was a part of buffer solution. After phase separation, the enriched analytes were determined by flame atomic absorption spectrometry (FAAS). Factors affecting CPE, such as pH, reagent and surfactant concentrations, temperature, and incubation time were evaluated and optimized. Furthermore, the interference effect of some cations and anions was studied.

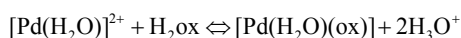
The proposed method has been applied for determination of trace amount of copper in human urine samples with satisfactory results.

This work was generously supported by the grant of project VEGA 1/0852/13, Grant Comenius University UK/308/2013 and the grant of project APVV-0583-11. This work is partially outcome of the project VVCE-0070.

2P-20

TERMODYNAMICKÉ A KINETICKÉ STUDIUM
REAKCE Pd(II) IONTŮ S OXALÁTOVÝMI IONTYRADOMÍR PILNÝ^a, ROMANA MICHALICOVÁ^{a,*},
PŘEMYSL LUBAL^a, LARS IVAR ELDING^b^a Masarykova univerzita, Kamenice 5, 62500 Brno, ČR,
^b Lundská univerzita, P. O. Box 124, 221 00 Lund, Švédsko
r.michalicova@mail.muni.cz

Spektrofotometrické studium tvorby komplexu mezi $[\text{Pd}(\text{H}_2\text{O})_4]^{2+}$ a štavelanovými ($\text{ox}=\text{C}_2\text{O}_4^{2-}$) ionty bylo prováděno ve vodném roztoku při proměnné teplotě a iontové síle. Termodynamické parametry ($\log_{10} K_{1H} = 3,38 \pm 0,08$, $\Delta H^0 = -33 \pm 3 \text{ kJ mol}^{-1}$, $\Delta S^0 = -48 \pm 11 \text{ J K}^{-1} \text{ mol}^{-1}$, $T = 298,2 \text{ K}$, $I = 1,00 \text{ M HClO}_4$) byly stanoveny pro následující reakci:



Konstanty stability pro komplexy $[\text{Pd}(\text{H}_2\text{O})_2(\text{ox})]$ a $[\text{Pd}(\text{ox})_2]^{2-}$ ($\log_{10} \beta_1^0 = 9,04 \pm 0,06$, $\log_{10} \beta_2^0 = 13,1 \pm 0,3$) byly stanoveny při nulové iontové síle a teplotě 298,2 K a vypočteny pomocí SIT teorie z jejich závislosti na iontové síle roztoku. Vznik $[\text{Pd}(\text{H}_2\text{O})_2(\text{ox})]$ komplexu lze popsat dvoukrokovým reakčním mechanismem, kde rychlost určující krok je tvorba monodentátního komplexu $[\text{Pd}(\text{H}_2\text{O})_3(\text{ox})]^+$ s H_2ox a Hox^- species, který lze popsat parametry pro rovnovážnou reakci ($\log_{10} K_{1H} = 1,15$, $\Delta H^0 = -3 \text{ kJ mol}^{-1}$, $\Delta S^0 = -12 \text{ J K}^{-1} \text{ mol}^{-1}$), které jsou stejného řádu jako termodynamická data pro vznik Pd(II) komplexů s jinými monodentátními ligandy obsahujícími karboxylovou skupinu^{1,2}. Tento reakční krok je následován uzavřením chelátového kruhu za vzniku termodynamicky stabilního 1:1 komplexu, jehož rovnovážná konstanta je $\log_{10} K_{1H,rc} \approx 2,19$. Chelátový efekt jako důsledek zvýšené stability $[\text{Pd}(\text{H}_2\text{O})_2(\text{ox})]$ komplexu lze vysvětlit dominancí enthalpického příspěvku (~ 75 %) ve srovnání s entropickým (~ 25 %) což je opačný jev než byl pozorován pro většinou kovových komplexů.

Tato práce vznikla za podpory MŠMT ČR (MUNI/A/0972/2013), Švédského Institutu a EU (CEITEC CZ.1.05/1.1.0/02.0068).

LITERATURA

1. Shi T., Elding L. I.: *Inorg. Chem.* 36, 528 (1997).
2. Lubal P., Elding L. I.: *J. Sol. Chem.* 35, 769 (2006).

2P-21

IDENTIFIKÁCIA ŠTRUKTÚR NA BÁZE
CYKLODEXTRÍN-ŽELEZO POMOCOU SIMS
ANALÝZYSOŇA HALÁSZOVÁ^{a,*}, MONIKA JERIGOVÁ^{a,b},
DUŠAN VELIČ^{a,b}^a Prírodovedecká fakulta UK, Katedra fyzikálnej a teoretickej
chémie, Mlynská dolina, 842 15 Bratislava, ^b Medzinárodné
laserové centrum, Ilkovičova 3, 812 19 Bratislava
sona.halaszova@gmail.com

Jedným z hlavných cieľov supramolekulovej chémie je syntéza supramolekulových štruktúr, ktoré majú odlišné vlastnosti od východiskových látok. Tieto vlastnosti môžu viesť k uplatneniu supramolekulových štruktúr ako kompaktné informačné zariadenia na ukladanie dát pre budúce generácie počítačov alebo ako vysokovýkonné katalyzátory v priemyselnych procesoch. Nanoštruktúry na báze železa sú lákadlom pre nanotechnológie vďaka ich fyzikálnym a chemickým vlastnostiam¹⁻³. Nové možnosti prináša aj štúdium tvorby a spôsobov prípravy nanovrstiev. Samosporiadané monovrstvy na báze cyklohextrínov možno využiť na tvorbu supramolekulového komplexu, pričom druhou zložkou komplexu sú práve nanočastice kovu.

Tvorba vzniknutých supramolekulových nanoštruktúr sa charakterizovala pomocou hmotnostnej spektrometrie sekundárnych iónov. Princípom tejto techniky je bombardovanie povrchu vzorky pulzným zameraným zväzkom primárnych iónov na báze tekutého kovu (Bi+) s energiou 15 až 25 keV.

V hmotnostných spektrách cyklohextrínu boli identifikované fragmenty kationizovaného cyklohextrínu $\text{C}_{42}\text{H}_{70}\text{O}_{35}\text{Na}^+$ a $\text{C}_{42}\text{H}_{70}\text{O}_{35}\text{K}^+$. Hmotnostné spektrá nanočastíc železa pripravených pomocou laserovej ablácie potvrdili prítomnosť železa (Fe^+) vo vzorke a taktiež prítomnosť oxidov železa Fe_xO_y^+ . V hmotnostných spektrách vzorky obsahujúcej cyklohextrín a nanočastice železa boli identifikované fragmenty zodpovedajúce vytvoreniu komplexu $\text{C}_{42}\text{H}_{67}\text{O}_{35}\text{NaFe}^+$ a $\text{C}_{42}\text{H}_{67}\text{O}_{35}\text{KFe}^+$.

Pomocou hmotnostnej spektrometrie sekundárnych iónov bola preskúmaná fragmentácia cyklohextrínu a výskyt komplexu cyklohextrín/nanočastice železa. Merania boli uskutočnené v pozitívnej aj v negatívnej polarite. Ďalšou výhodou bolo vysoké vákuum v hlavnej komore, rovnako ako aj v predkomore, čo zaručilo inertné prostredie merania.

Táto práca vznikla za podpory grantov ERDF OP R&D, Project 'meta-QUTE-Centrum excelentnosti kvantových technológií', APVV-0491-07, NanoNet2 a UK/461/2013.

LITERATÚRA

1. Iwamoto T., Ishigaki T.: *J. Phys. I*, 441 (2013).
2. Amendola W., Riello P., Meneghetti M.: *J. Phys. Chem., C* 4, 115 (2011).
3. Al-Mamun S. A., Nakajima R., Ishigaki T.: *J. Colloid Interface Sci.* 1, 392 (2013).

2P-22

**FLUORESCENČNÁ SPEKTROSKOPIA
SUPRAMOLEKULOVÝCH KOMPLEXOV
CYKLODEXTRÍNOV A KUMARÍNU C153**
**MARIANNA GREGOVÁ TREŇČANOVÁ*, DUŠAN
VELIČ^{a,b}**

^a Prirodovedecká fakulta UK, Katedra fyzikálnej a teoretickej chémie, Mlynská dolina, 842 15 Bratislava, ^b Medzinárodné laserové centrum, Ilkovičova 3, 812 19 Bratislava
trencanova@fns.uniba.sk

Skúmali sme fluorescenčné vlastnosti inklúzných supramolekulových komplexov na báze kumarínu c153/ β -cyklodextrín (c153/ β -CD) a jeho modifikácie 6-deoxy-6-thio- β -cyclodextrín (c153/ β -CD-SH) vo vodnom roztoku. Substitúciou OH- skupín v cyklodextríne boli pozorované rôzne zmeny vo vlastnostiach cyklodextrínu¹. Motiváciou bolo zistiť, či a ako substitúcia SH- skupiny za OH- skupinu ovplyvní supramolekulový komplex s kumarínom, prípadne zmení polaritu kavity cyklodextrínu a solvatačné podmienky celého systému. Pre veľmi nízku rozpustnosť c153 vo vode (10^{-5} M), sme použili fluorescenčné techniky, ktoré majú vysokú citlivosť.

Pomocou statickej fluorescenčnej spektroskopie sme namerali excitačné a emisné spektrá, kde sme stanovili maximálnu vlnovú dĺžku excitácie 420–425 nm a pozorovali modrý posun fluorescencie o 15 nm do hodnoty 548 nm pre β -CD a 525 nm pre β -CD-SH. Pre β -CD-SH ochádzalo ku markantnejšiemu poklesu ako pre β -CD Stokesovho posunu z hodnoty 5 900 cm^{-1} až o 1 400 cm^{-1} v závislosti od narastajúcej koncentrácie cyklodextrínu. S narastajúcou koncentráciou CD intenzita spektrá stúpala.

Pre jednotlivé supramolekulové komplexy sme stanovili relaxačné časy τ_1 a τ_2 . τ_1 vypovedá o relaxácii „živej vody“ a teda o správaní molekúl vody v blízkosti fluorofóru a τ_2 popisuje tzv. „bulk water“ čiže molekuly vody vo väčšej vzdialenosti, ktoré sa nezúčastňujú na interakcii v takej veľkej miere a môže poukazovať aj na cyklodextrínovú kavitu, či ďalšie solvatačné vrstvy². Pomocou časovo-rozlišenej fluorescenčnej spektroskopie sme stanovili relaxačné časy τ_1 3 a 7 ps pre spektrá do 50 ps. Dochádzalo ku spomaľovaniu relaxácie kumarínu c153 v prítomnosti β -CD-SH.

Zistili sme, že prítomnosť SH- ako menej polárnej skupiny voči OH- skupine, stabilizuje supramolekulový komplex spôsobuje zmeny polaritu kavity daného cyklodextrínu a spôsobuje dané posuny. Je možné, že dochádza ku tvorbe iného komplexu ako 1:1.

Táto práca vznikla za podpory grantov ERDF OP R&D, Project 'meta-QUTE-Centrum excelentnosti kvantových technológií', APVV-0491-07, NanoNet2 a UK/380/2014.

LITERATÚRA

- Roy D., Mondal S. K., Sahu K., Ghosh S., Sen P., Bhattacharyya K. J.: Phys. Chem. A 109, 7359 (2005).
- Zhong D., Zewail A. H.: Chem. Phys. Lett. 503, 1 (2011).

2P-23

**ŠIROCE DOSTUPNÁ POTENCIOMETRIE
SE SPECIÁLNYM MODULEM, ZNÁMYMI I NOVÝMI
(AMALGAMOVÝMI, ŠPIČKOVÝMI) ČIDLÝ**
LADISLAV NOVOTNÝ

Univerzita Pardubice, Fakulta chemicko-technologická, Ústav environmentálneho a chemického inžinýrství, Studentská 573, 532 10 Pardubice
nvt.l@seznam.cz

Aplikace široce dostupných a využitelných potenciometrických měření a sestavy dle názvu článku a patentů jeho autora – např. dle obr. 1 i s běžným (dokonce i s „kapesním“ levným – 5 až 8 USD) voltmetrem-multimetrem, s pH vpichovou elektrodou a zejména se speciálním novým napájecím a interfaceovým modulem (NIM) ve dvou verzích, síťové nebo bateriové – s jedním nebo více konektory.



Obr. 1.



Obr. 2.

Příklad použ. 11 měřicích čidel (obr. 2) a to zprava → doleva: pravá pětice elektrod – plastové špičkové elektrody („plastic tip sensors“ – viz¹⁻³ či „glass/ceramic tip“³ ad.) na bázi dřive¹⁻³ i průběžně testovaných materiálů těla elektrod PVC, teflonu, poly-ethylenu, -propylenu, -styrenu, -vinylacetátu, skla, keramiky aj. a s ruz. aktiv. materiály čidel^{3,2} (i objemu μl , nl ap.) – kovovými, amalgamovými, kompozit. amalgamovými, nekovovými (C, aj.), hybridními, kompozitními, modifikovanými, polymerními aj.; uprostřed ISE; levá pětice – kombinace obdoba materiálů – jiná provedení.

Význam mají použité materiály, povrchy, tvary, postupy, zavádění inertních či speciálních plynů do nebo nad roztok, podmínky, ap.; studium toho pokračuje.

Závěr: Široce využitelná, běžně dostupná měření a systémy, známé i nové možnosti aplikací. Možná miniaturizace a nízká cena – i v těchto verzích výsledky srovnatelné s většími, náročnějšími a dražšími systémy.

LITERATURA

- Novotný L.: J. Electroanal. Chem. 88, 161 (1978).
- Novotný L.: CSc., DrSc., AV ČR, Praha 1981, 1998.
- Novotný L.: PUV 7103-1997, 2007-19501; PV 5193-1976, 2001-1, 2006-600, Praha.

3L-01 MOŽNOSTI SYNTETICKÝCH POLYMERŮ PŘI CÍLENÉ TERAPII A DIAGNOSTICE

KAREL ULBRICH

Ústav makromolekulární chemie AV ČR, v.v.i., Heyrovského nám. 2, 162 06 Praha 6
ulbrich@imc.cas.cz

Současná medicína má k dispozici širokou škálu léčiv, která účinně pomáhají při léčbě většiny známých nemocí. Přesto zůstává celá řada onemocnění, u kterých je léčba klasickými léčivy doprovázena nežádoucími účinky poškozujícími pacienta, nebo je jen velmi málo účinná (např. chemoterapie nebo radioterapie při léčbě nádorových onemocnění). Tato práce prezentuje výsledky vývoje cíleně působících terapeutik určených pro léčbu nádorových onemocnění a případně jejich diagnostiku.

Vazba cytotoxických látek (kancerostatik) na vhodný vodorozpustný polymerní nosič umožňuje nejen ovlivnit farmakokinetiku a farmakodynamiku léčiva, ale zajišťuje dobrou rozpustnost jinak nerozpustných léčiv, snižuje jejich toxické účinky na zdravou tkáň a hlavně umožňuje zacílit léčivo na místo požadovaného terapeutického efektu, v případě nádoru na nádor, nádorovou buňku, nebo dokonce její orgány.

Účinnost polymerního léčiva závisí nejen na volbě vhodného kancerostatika a způsobu jeho připojení k polymernímu nosiči, ale i na správné volbě směřující struktury a hlavně i struktury a architektury polymerního nosiče. Cíleného účinku na nádor, především vaskularizovaný solidní nádor, může být dosaženo díky akumulaci polymerního nosiče v nádorech způsobené EPR efektem (Enhanced Permeability and Retention)¹, cíleného účinku na jednotlivé nádorové buňky a jejich orgány pak pomocí struktur schopných rozpoznat membránové receptory těchto buněk a interagovat s nimi (protilátky a jejich fragmenty, oligopeptidy a pod.)². Multivalentnost polymerních nosičů umožňuje i připojení dalších struktur,

jako jsou isotopové a nebo fluorescenční značky, umožňující sledování osudu polymerního léčiva v organismu.

Účinnost cíleného směřování polymerních léčiv a jejich protinádorová aktivita úzce souvisí s molekulovou hmotností a architekturou nosiče. Dostatečně vysoká molekulová hmotnost nosiče zajistí prodlouženou cirkulaci léčiva v krevním řečišti, jeho účinnou akumulaci v cílovém nádoru a vhodná struktura spojky mezi nosičem a léčivem nádorově specifické uvolnění aktivního léčiva pouze v nádoru. Na ÚMCH AV ČR byla připravena polymerní léčiva na bázi kopolymerů *N*-(2-hydroxypropyl)methakrylamidu a doxorubicinu nebo pirarubicinu a dalších kancerostatik, u kterých je uvolňování léčiva z nosiče řízeno pH-senzitivní hydrolyzou v nádoru. Léčba myších modelových nádorů těmito léčivy nevykazuje žádné vedlejší efekty a vede až k vyléčení všech pokusných zvířat. Účinek polymerního pirarubicinu byl testován i u terminálních pacientů v Japonsku a bylo ukázáno, že účinky získané u zvířecích modelů jsou do značné míry převoditelné i na člověka (obr. 1).

Tato práce vznikla za podpory prémie „Praemium Academiae“, udělené Akademií věd ČR.

LITERATURA

1. Maeda H., Nakamura H., Fang J.: Adv. Drug Delivery Rev. 65, 71 (2013).
2. Ulbrich K., Šubr V.: Adv. Drug Delivery Rev. 62, 150 (2010).

3L-02 THE APPLICATION OF BICOMPONENT POLYMERIC FIBRES FOR COLLECTION OF HAZARDOUS CHEMICAL SUBSTANCES

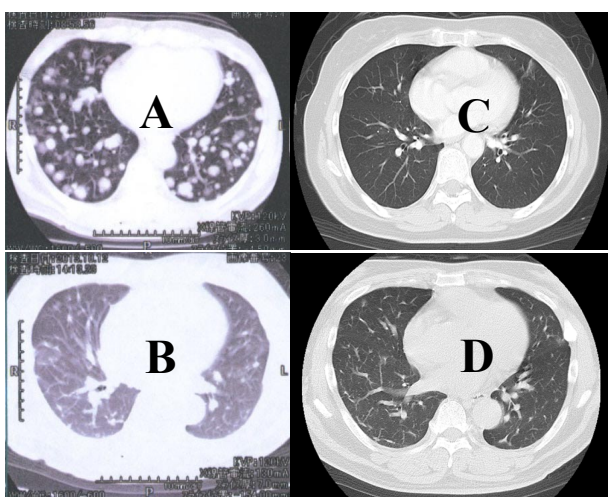
EVA RUŽINSKÁ

Technical University in Zvolen, Masaryka 24, 960 53 Zvolen, Slovakia
eva.ruzinska@tuzvo.cz

Hazardous substances present in the environment are large group of pollutants affecting human health^{1,4}. Activities aiming at limiting of harmful substances emissions (from group of volatile organic compounds-VOCs, e.g. BTX, formaldehyde, emission of carcinogenic dust aerosols from beech wood PM_{2,5}), occurring in processes of wood surface finishing, require solving of complicated technological problems⁴.

Bicomponent synthetic fibers (PP/PA6/MAH)⁷ are a group of advanced materials that have expanded range of conventional fiber-forming polymers²⁻⁵ not only in various industrial, but also in construction applications⁶, e.g. as innovative soundproofing⁷ particularly filter materials and they are applicable in the elimination of hazardous substances in air, in industrial technology and also in the wood processing industry – to install separation equipments at the facilities of surface treatment of wood^{3,4}.

Were prepared by modified bicomponent fibres (PP/PA6M) with a variable content interfacial agent (1–4 wt.% MAH)². Morphological structure of the prepared



Obr. 1. CT zobrazení plic pacienta s metastázami prostatického nádoru. A: před léčbou; B: po podání 2 dávek; C: po 5ti dávkách; D: po 6ti dávkách polymerního pirarubicinu

bicomponent fibers was evaluated by methods: infrared absorption spectroscopy, reflection electron microscopy, X-ray crystallography and mercury porosimetry⁴.

From the results of the evaluation of characteristics of morphological structure experimental prepared bicomponent fibers revealed that with the increasing share of interfacial agent (2 wt.% MAH) in to modified bicomponent fibres showed an increase in the volume of the pores and hence the greater the ability to bind to its pattern of emission of dangerous chemicals aerosols of VOCs from surface finishing of wood and collection of particle matters of dust hard wood species in the finalisation of processes of wood processing.

Reearch was supported of Slovak Ministry of Education, KEGA, proj. 023-TUZ- 4/2012: „Hazardous substances in the environmental technology”.

REFERENCES

1. Jablonski M., Ružinská E., Swietliczny M.: *Synthetic polymers and coatings in woodworking industry*. Textbook. Publ. WULS SGGW Warsaw, 247 ps. (2009).
2. Ružinská E.: *Chem. Listy* 104, 507 (2010).
3. Ružinská E.: *Plastics and coatings in woodworking industry*. Monography. Publ. TU Zvolen, 166 ps. (2005).
4. Ružinská E., Krajewski K. J.: *Annals of Warsaw University of Life Science* 84, 132 (2013).
5. Toray K. K.: *Chem. Abstr.* 18, No. 102, 76 (1985).
6. Berger W., Fischer P.: *Textiltechnik* 35, 293 (1985).
7. Shimizu J., Okui N., Yamamoto T.: *Sen. I. Gakkaishi* 48, (1992).

3L-03

MEMBRÁNY NA BÁZI VYSOCE VĚTVENÝCH POLYIMIDŮ OBSAHUJÍCÍCH ADITIVA

PETR SYSEL*, **EVGENIA MINKO**, **JAN VYŠOHLÍD**

*Ústav polymerů, Vysoká škola chemicko-technologická, Technická 5, 166 28 Praha 6
Petr.Sysel@vscht.cz*

Polyimidy jsou polymery s řadou vyhledávaných užitných vlastností. Zachovávají si vysokou mechanickou, chemickou a dielektrickou stabilitu v teplotním rozmezí –150 až 200 °C. Tyto vlastnosti předurčují polyimidy k využití zejména v (mikro)elektronice, leteckém průmyslu a v posledním období i jako polymerních membrán pro separaci plyných směsí. Propustnost plynů plochými, neporézními polyimidovými membránami závisí hlavně na difuzi a rozpustnosti transportovaných médií v daném materiálu. Úroveň uvedených parametrů, ale i dělicí schopnost (selektivitu) membrány, lze ovlivnit strukturou polymeru nebo přidavkem vhodného aditiva k takovému polymeru^{1,2}.

V této práci byla struktura polyimidů ovlivňována volbou kombinace výchozích monomerů. Byly zjištěny několikanásobně vyšší koeficienty propustnosti vodíku, oxidu uhličitého, kyslíku a dusíku membránou z vysoce větveného polyimidu na bázi 4,4'-oxydifthalanhydridu a 4,4',4''-triaminotriřenylmethanu ve srovnání s tou z lineárního polyimidu, na bázi 4,4'-oxydifthalanhydridu a 4,4'-diaminodifenylmethanu.

Při přidavku oxidů, zejména křemičitého, do membrán z vysoce větveného polyimidu došlo při nižších obsazích (do 10 hm.%) většinou k poklesu koeficientů propustnosti plynů ve srovnání s membránou ze samotného vysoce větveného polyimidu v důsledku bariérového efektu, s nárůstem (do 20 až 30 hm.%) pak k jejich pozvolnému nárůstu z důvodu narušení uspořádanosti polymerních řetězců. Na vyhovující adhezi mezi polyimidem a aditivou lze soudit i z toho, že nedocházelo k významnějšímu poklesu dělicí schopnosti, naopak v některých případech byla srovnatelná s těmi nadprůměrnými uváděnými v literatuře. Byl sledován i vliv přípravy membrán obsahujících aditiva na jejich vlastnosti.

Modifikované vysoce větvené polyimidy byly též testovány jako membrány pro dělení racemických směsí.

Tato práce vznikla za podpory grantu GA ČR P106/12/0569.

LITERATURA

1. Liaw D.-J., Wang K.-L., Hwang Y.-C., Lee K.-R., Lai J.-Y., Ha C.-S.: *Prog. Polym. Sci.* 37, 907 (2012).
2. Voit B. I., Lederer A.: *Chem. Rev.* 109, 5924 (2009).

3L-04

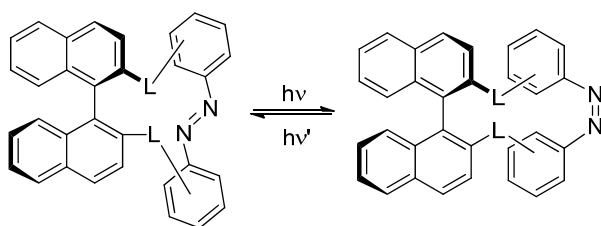
BINAFTYLOVÉ CHIROPTICKÉ PREPÍNAČE

MARTIN PUTALA*, **JURAJ FILO**, **LUKÁŠ KERNER**, **ANNA KICKOVÁ**, **RÓBERT MIŠČÍK**

*Katedra organickej chémie, Prírodovedecká fakulta, Univerzita Komenského v Bratislave, Mlynská dolina, 842 15 Bratislava, Slovenská republika
putala@fns.uniba.sk*

Svetlom prepínané molekulové stroje sú predmetom intenzívneho záujmu pre možnosť ich uplatnenia v oblasti optického spracovania a ukladania dát. Jednou zo stratégií, ako zabezpečiť nedeštruktívne čítanie informácie, je využitie chiroptických vlastností¹. Fotochrómne diaryldiazény pri ožarovaní podliehajú *trans-cis* izomerizácii, sprevádzanej významnou zmenou ich molekulovej geometrie. Toto ich správanie sa dá využiť na konštrukciu chiroptických prepínačov v kombinácii s binaftylovou jednotkou ako konformačne citlivou chirálnou štruktúrou (so zmenou dihedrálneho uhla bez naftalénovými jadrami).

Prezentované budú naše výsledky, ktoré sme dosiahli pri syntéze, charakterizácii a konformačnej analýze makrocyclických prepínačov na báze fotochrómnych diazénov a binaftylovej chirálnej jednotky, navzájom prepojených rôznymi mostíkmi. Pri syntéze týchto prepínačov boli zistené zaujímavé poznatky o tandemovom priebehu Sonogashirovej² a Heckovej³ reakcie na binafyle. V porovnaní s doteraz publikovanými výsledkami binafetyl-diazénových prepínačov s flexibilnými propán-1,3-diyldioxy-mostíkmi⁴, naše deriváty s rigidnejšími akrylamidovými³ a močovinovými mostíkmi vykazujú výraznejšiu chiroptickú odozvu pri prepínaní: prepínanie intenzity CD signálu až do pomeru 1:3 v prípade zlúčeniny s akrylamidovým mostíkom alebo až prepínanie znamienka CD signálu u zlúčeniny s močovinovými mostíkom.



L: $-\text{O}[\text{CH}_2]_n\text{O}-$, $-\text{CH}=\text{CH}-\text{CO}-\text{NH}-$, $-\text{NH}-\text{CO}-\text{NH}-$

Konformačná analýza *trans*- a *cis*-foriem výpočtovými metódami pomohla vysvetliť podstatu pozorovaných zmien v CD spektrách pri prepínaní.

Tento článok bol vytvorený realizáciou projektu „Centrum excelentnosti pre návrh, prípravu a diagnostiku nanoštruktúr pre elektroniku a fotoniku 2 (NanoNet2)”, na základe podpory operačného programu Výskum a vývoj financovaného z Európskeho fondu regionálneho rozvoja.”

LITERATÚRA

1. Feringa B. L., Browne W. R. (ed.): *Molecular Switches*. Vol. 1. Wiley-VCH, Weinheim 2011.
2. Kasák P., Brath H., Krascenicsová-Poláková K., Kicková A., Moldovan N., Putala M.: *Coll. Czech. Chem. Commun.* 72, 1139 (2007).
3. (a) Kicková A., Horváth B., Kerner L., Putala M.: *Chem. Pap.* 66, 101 (2013). (b) Kerner L., Filo J., Kicková A., Putala M.: *rukopis v príprave*.
4. (a) Kawamoto M., Aoki T., Wada T.: *Chem. Commun.* 2007, 930. (b) Takaishi K., Kawamoto M., Tsubaki K., Wada T.: *J. Org. Chem.* 74, 5723 (2009). (c) Kawamoto M., Shiga N., Takaishi K., Yamashita T.: *Chem. Commun.* 2010, 8344. (d) Takaishi K., Kawamoto M., Tsubaki K., Furuyama T., Muranaka A., Uchiyama M.: *Chem. Eur. J.* 17, 1778 (2011). (e) Takaishi K., Muranaka A., Kawamoto M., Uchiyama M.: *J. Org. Chem.* 76, 7623 (2011). (f) Takaishi K., Muranaka A., Kawamoto M., Uchiyama M.: *Org. Lett.* 14, 276 (2012).

3L-05

NEW SEMICONDUCTORS CONTAINING DITHIENO [3,2-b:2',3'-d]PYRROLE (DTP) UNITS FOR ORGANIC ELECTRONIC DEVICES

RENATA RYBAKIEWICZ, KAMIL KOTWICA, LUKASZ SKORKA, MALGORZATA ZAGORSKA

*Faculty of Chemistry, Warsaw University of Technology, Noakowskiego 3, 00664 Warsaw, Poland
rribakiewicz@ch.pw.edu.pl*

The HOMO and LUMO levels of organic semiconductors can be precisely tuned through selection of appropriate electron donor (D) and acceptor (A) units, resulting in different absorption and emission spectra as well as in the type of conductivity¹. In particular, the combination of strong donors and strong acceptors can lead to materials simultaneously exhibiting low ionization potentials and high electron affinities that, in turn, can lead to the possibility of facile injection

of both holes and electrons at moderate potentials and, therefore, the possibility of ambipolar charge transport².

Dithienopyrrole (DTP) has been known as an important electrodonating unit for synthesis of new semiconductors for organic electronic devices. DTP derivatives have recently attracted much attention because of its unique electronic and optoelectronic properties³.

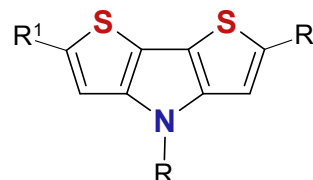


Fig. 1. The structure of the functionalized dithieno[3,2-b:2',3'-d]pyrrole (DTP)

In the research described here new solution processable DA semiconducting molecules containing alkyl and aryl *N*-substituted dithieno[3,2-b:2',3'-d]pyrrole were synthesized via Stille or Suzuki coupling.

Redox, spectroscopic and optical properties of these compounds were investigated, with the goal to establish their suitability for the fabrication of operating in air organic field effect transistors (OFETs) and other electronic and optoelectronic devices. DFT calculations predicted a high value of the electron affinity (EA) and a low lying LUMO level for these compounds. These findings were corroborated by cyclic voltammetry. Both theoretical and experimental values indicate that obtained compounds are promising candidates for the use in OFETs.

The research leading to these results has received funding from the Polish-Norwegian Research Programme operated by the National Centre for Research and Development under the Norwegian Financial Mechanism 2009-2014 in the frame of Project Contract No Pol-Nor/210704/43/2013. This work was supported by Wrocław Centre for Networking and Supercomputing, under calculational Grant No. 283.



POLISH-NORWEGIAN
RESEARCH
PROGRAMME



Narodowe Centrum
Badań i Rozwoju



norway
grants

REFERENCES

1. Bujak P., Kulszewicz-Bajer I., Zagorska M., Maurel V., Wielgus I., Pron A.: *Chem. Soc. Rev.* 42, 8895 (2013).
2. Zhang M., Tsao H. N., Pisula W., Yang C., Mishra A. K., Müllen K.: *J. Am. Chem. Soc.* 129, 3472 (2007).
3. Yue W., Zhao Y., Shao S., Tian H., Xie Z., Geng Y., Wang F.: *J. Mater. Chem.* 19, 2199 (2009).

3L-06

AN EASILY ACCESSIBLE INDANTHRONE – BASED ORGANIC SEMICONDUCTOR FOR ORGANIC ELECTRONICS

KAMIL KOTWICA^a, MARIUSZ MATERNA^a, DAMIAN WAMIL^a, RENATA RYBAKIEWICZ^a, ŁUKASZ SKORKA^a, PIOTR GUNKA^a, PIOTR BUJAK^a, BARBARA GOLEC^b, Jerzy Herbich^b, TOMASZ JAROCH^b, ROBERT NOWAKOWSKI^b, BEATA ŁUSZCZYŃSKA^c, MAŁGORZATA ZAGÓRSKA^a, ADAM PRON^a

^a Faculty of Chemistry, Warsaw University of Technology Noakowskiego 3, Warsaw, ^b Institute of Physical Chemistry, Polish Academy of Sciences, Kasprzaka 44/52, Warsaw, ^c Faculty of Chemistry, Technical University of Lodz, Stefana Żeromskiego 116, Lodz, Poland
kkotwica@ch.pw.edu.pl

Molecular crystalline semiconductors as alternative to conjugated polymers offer several intrinsic advantages as solution-processable electronic materials¹. Indanthrone blue dye like diketopyrrolopyrrole and isoindigo, possess a very interesting fused aromatic conjugated core and can be used as a component of active layers in organic electronic and optoelectronic devices.

Unsubstituted indanthrone was obtained in a one-step fusion of 1-aminoantraquinone using potassium hydroxide. This dye is not soluble in organic solvents. From the technological point of view solution processability of organic semiconductors is of crucial importance because this property facilitates the fabrication of devices using common solution-based techniques, easily adaptable to large surface substrates. Therefore, in the second step four alkyloxy (butyloxy, hexyloxy, octyloxy and decyloxy) substituents were attached to the indanthrone moiety via one pot tandem reduction of four keton groups and alkylation in the phase transfer catalysis conditions (Fig. 1).

Apart from solution processability, several interesting properties of indanthrones containing alkoxy solubilizing substituents should be pointed out. First, they readily crystallize yielding single crystals of good quality which allow for unequivocal determination of their crystal structure. Second, they form ordered, self-assembled monolayers on HOPG graphite as evidenced by STM studies. They show strong photo- and electroluminescence which can be exploited in the

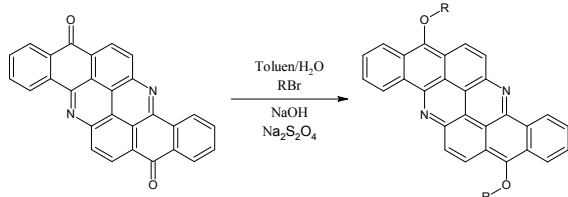


Fig. 1. Synthesis of indanthrone derivatives

guest-host type LEDs. Finally, they show interesting and acid-dependent electrochemistry and spectroelectrochemistry.

This work has been financially supported by the FP-7, NoE/ICT, FLEXNET Contract No 247745, 2010 – 2012 and the European Union in the framework of European Social Fund through the Warsaw University of Technology Development Programme, realized by Center for Advanced Studies.



REFERENCE

1. Pron A., Gawrys P., Zagorska M., Djurado D., Demadrille R.: Chem. Soc. Rev. 39, 2577 (2010).

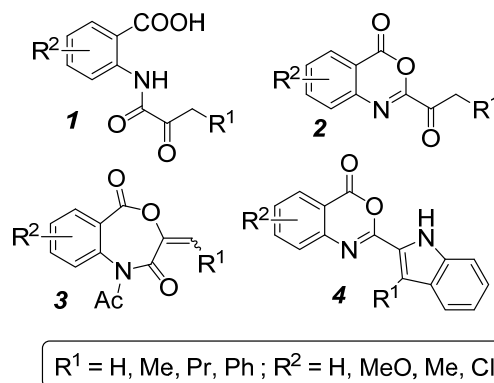
3L-07

REAKTIVNÍ HETEROCYKLICKÉ SLOUČENINY DOSTUPNÉ Z *N*-(α -KETOACYL)ANTHRANILOVÝCH KYSELIN

KAREL PROISL^a, ANNA SRHOLCOVÁ^a, MARTIN KUČERA^a, DAMIJANA URANKAR^b, JANEZ KOŠMRLJ^b, STANISLAV KAFKA^{*a}

^a Fakulta technologická, Univerzita T. Bati ve Zlíně, Nám. T. G. Masaryka 275, 762 72 Zlín, Česká republika, ^b Fakulteta za kemijo in kemijsko tehnologijo, Univerza v Ljubljani, Aškerčeva 5, 1000 Ljubljana, Slovinsko
kafka@ft.utb.cz

N-(α -Ketoacyl)anthranilové kyseliny **1** představují jednoduché sloučeniny, které jsou zajímavé jak z hlediska možných biologických účinků, tak z pohledu organického chemika, který v nich spatřuje vícefunkční prekurzory pro přípravu různých heterocyklických cílů. V neposlední řadě mohou být tato chemická individua potenciálně uplatnitelná v chemii komplexů či v konstituční dynamické chemii. Přístup ke studiu chemie *N*-(α -ketoacyl)anthranilových kyselin nám umožnila nedávno publikovaná metoda¹ jejich pohodlné přípravy oxidací 3-hydroxychinolin-2,4-dionů.



Vhodnými cyklodehydratacemi² je možné převést titulní kyseliny **1** na značně reaktivní heterocyklické systémy, přede-

vším benzoxazinony **2** a benzoxazepindiony **3** a s využitím Fischerovy indolové reakce také indoly **4**. Tyto sloučeniny podléhají zajímavým reakcím, které budou diskutovány. Některé *N*-acetylderiváty byly také prozkoumány jako acetylační činidla, podobně jako *N*-acylbenzotriazol³. Reaktivita a využití sloučenin **2–4** bude diskutována.

Tato studie byla podpořena interním grantem UTB ve Zlíně IGA/FT/2014/010 a Veřejnou agenturou pro výzkumnou činnost Republiky Slovinska (projekt P1-0230-0103).

LITERATURA

1. Kafka S., Proisl K., Kašpárková, V., Urankar, D., Kimmel, R., Košmrlj, J.: *Tetrahedron* **69**, 10826 (2010).
2. Lingens F., Sproessler B.: *Justus Liebigs Ann. Chem.* **702**, 169 (1967).
3. Katritzky A. R., Suzuki K., Wang Z.: *Synlett* **2005**, 11.

3L-08

KAM KRÁČÍ FARMACEUTICKÝ PRŮMYSL

PAVEL HRADIL

*Farmak a.s., Na vlčinci 16/3, 771 17 Olomouc
pavel.hradil@farmak.cz*

V přednášce bude probírána v širších souvislostech současná situace ve farmaceutickém průmyslu a s ním spojeném průmyslu chemickém. Farmaceutický průmysl je zaměstnavatelem vysoce kvalifikované pracovní síly a dodává pacientům širokou škálu léčiv, z nichž mnohé jsou vysoce sofistikované a také velmi drahé. Zisky firem se pohybují v miliardách dolarů, jsou však silně závislé na podnikatelském prostředí států, ve kterých tyto subjekty působí. Vysoké částky jsou vynakládány na testování a klinické zkoušky nových látek i na řešení problémů pramenících z byrokratických omezení, jako je zavádění systému registrace chemických sloučenin „REACH“, podpora „zelené“ energie s následně vysokými cenami elektřiny. Velmi důležitou roli hraje i způsob zdanění, mzdové náklady v dané zemi a způsob financování zdravotní péče státem. Farmaceutický průmysl je bezprostředně spojen s úrovní školství, s jeho rozvojem a obecně s podporou vědy a základního výzkumu. Samostatnou otázkou, která je neoddělitelně s farmaceutickým průmyslem spojená, je ochrana duševního vlastnictví.

Tomu všemu se farmaceuticko-chemické firmy musí přizpůsobit a všem těmto aspektům bude během přednášky věnována pozornost. Bude rovněž probírána vliv globalizace, nárůst asijské konkurence i finanční krize a změny s tím spojené.

Na praktických příkladech budou ukázány změny ve vybraných nadnárodních firmách, ke kterým došlo v posledních letech a rovněž důvody a důsledky těchto změn.

Přestože řada problémů, které řeší výrobci originálních látek, je společná s firmami vyrábějícími generika, je zde i řada odlišností či protichůdných pohledů. Proto bude zvlášť diskutována situace výrobců originálních látek a zvlášť pro průmysl generický. Tento rozdílný pohled se dnes významně projevuje například v ochraně duševních práv (boj o znění patentové výjimky Bollár-Roche), kterému bude věnována

samostatná pozornost. Bude diskutována expirace hlavních patentů pro klíčová léčiva, jejich vliv na ekonomiku originálních i generických firem a změny na trhu, ke kterým to vede. V části přednášky, která bude věnována patentové politice, bude ukázán rozdílný pohled firem a akademických pracovišť financovaných státem na tuto oblast. Zvláštní pozornost bude věnována situaci na domácí průmyslové scéně. Budou diskutovány základní změny ve farmaceuticko-chemickém průmyslu za posledních 20 let. Vzhledem k masivním investicím státu, do školství, vědy a výzkumu, k němuž dochází v posledních letech v naší republice, se i toto v přednášce objeví.

V závěru budou zmíněna možná řešení, způsoby jak problémům mohou čelit výrobci i možné další směry, kterými se v budoucnosti toto odvětví bude vyvíjet.

3L-09

CHROMATOGRAPHY IN THE INDUSTRIAL ISOLATION OF NATURAL PRODUCTS

LADISLAV CVAK

*TEVA, Ostravská 29, 747 70 Opava
ladislav.cvak@tevapharm.cz*

Synthetic chemist devotes plenty of time to optimization of the chemical reaction and therefore the resulting reaction mixture usually contains the target compound in high concentration and high purity. Its isolation only by crystallization is the goal of each synthetic chemist and the involvement of chromatography in the process is regarded as his failure. However, the increasing requirements on the purity of Active Pharmaceutical Ingredients (API) made many synthetic chemists to change this attitude and chromatography becomes more and more the part of processes for API manufacture.

On the other hand, the isolation of natural compounds, especially natural drugs, represents the processing of complex mixtures where, very often, the target compound is a minor component, e.g. the extract of *Taxus* needles contains only 0.1 % of the target compound, paclitaxel, in the dryness. Therefore the industrial phytochemists like the chromatography as the main tool which can help them.

We in TEVA Opava (former Galena) utilize industrial chromatography for the manufacture of API of natural origin (isolated from herbal or fermentation biomass or semisynthetic) for more than 30 years. The utilization of chromatography will be demonstrated in the lecture on examples: ergot alkaloids, cyclosporine, paclitaxel, tacrolimus and some other. Discussed will be also the chromatography mode (normal versus reverse phase) and selection of solvents for the mobile phase from the industrial viewpoint (solvent recovery).

A short view will be also devoted to Liquid-Liquid Counter Current Chromatography and other processes which involve liquid-liquid partitioning.

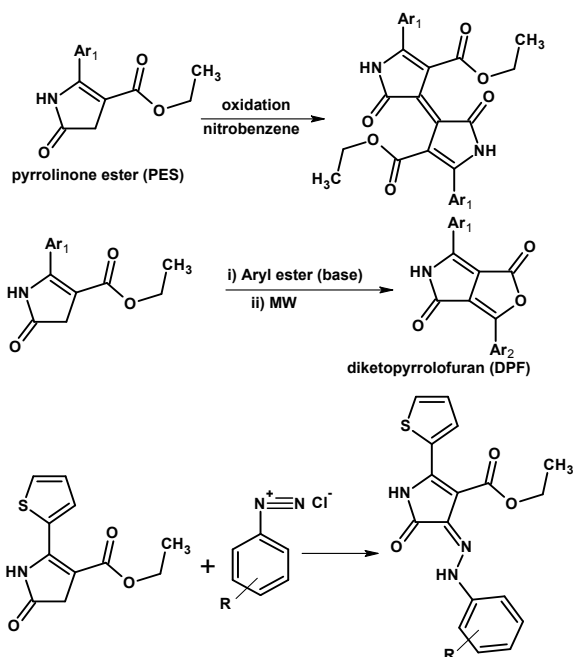
3P-01

HIGH PERFORMANCE COLORANTS BASED ON PYRROLINONE ESTER

TAREK AYSHA^{a,b*}, STANISLAV LUŇÁK JR.^c, RADIM HRDINA^a

^a Faculty of Chemical Technology, University of Pardubice, 532 10 Pardubice, Czech Republic, ^b National Research Centre, Po. Code 12311, Dokki, Cairo, Egypt, ^c Materials Research Centre, Brno University of Technology, Purkyňova 118, 612 00 Brno, Czech Republic
tarekaysha@hotmail.com

Ethyl-4,5-dihydro-5-oxo-2-aryl(1H)pyrrole-3-carboxylate (pyrrolinone ester) became very interesting intermediate with active methylene group in position 4 activated by carbonyl and ester groups. Thiophene analogue of this intermediate is the point of our interest to prepare new colorants for high performance properties. A condensation with esters, diazonium salt and a reaction with aromatic nitriles were carried out^{1,2}. *N*-analogues of Pechmann dye with identical aryl groups in the 5,5'-positions and carboxy ester groups in the 3,3'-positions were synthesized by oxidative dimerization of the pyrrolinone esters³. Asymmetrical diketopyrrolofuran pigments were prepared.



Scheme 1. The synthesis of colorants based on pyrrolinone ester

We thank the Ministry of Education, Youth and Sports of the Czech Republic for financial support (Project CZ.1.07/2.3.00/30.0021 “Enhancement of R&D Pools of Excellence at the University of Pardubice”).

REFERENCES

1. Aysa T., Lunak S., Lycka A., Hrdina R.: Dyes Pigments 91, 170 (2011).
2. Morton C.J.H., Riggs R.L., Smith D.M., Westwood N.J., Lightfoot P., Slawin A.M.Z.: Tetrahedron. 61, 727 (2005).
3. Aysha T., Lunak S., Lycka A., Vynuchal J., Elias Z., Ruzicka A., Padelkova Z., Hrdina R.: Dyes Pigments 98, 530 (2013).

3P-02

BENZO[1,4]OXAZEPIN-2,5-DIONY V ORGANICKÉ SYNTÉZE

ANNA SRHOLCOVÁ^a, MARTIN KUČERA^a, KAREL PROISL^a, JANEZ KOŠMRLJ^b, DAMIJANA URANKAR^b, STANISLAV KAFKA^{a*}

^a Fakulta technologická, Univerzita T. Bati ve Zlíně, Nám. T. G. Masaryka 275, 762 72 Zlín, Česká republika, ^b Fakulteta za kemijo in kemijsko tehnologijo, Univerza v Ljubljani, Aškerčeva 5, 1000 Ljubljana, Slovinsko
kafka@ft.utb.cz

Od první¹ přípravy benzo[1,4]oxazepindionu v roce 1912 až do současnosti byly téměř všechny studie^{2–4} reaktivity těchto heterocyklů omezeny na jejich využití jako prekursorů pro přípravu derivátů chinazolinu. Během výzkumu sloučenin **1** jsme pozorovali jejich vysokou reaktivitu a také snadno probíhající hydrolysu, při které dochází k intramolekulární transacylaci, vedoucí ke sloučeninám **2**. Tento jev byl později pozorován i při reakcích těchto sloučenin s aminy. Zjištěná fakta nás vedla k hlubšímu prozkoumání reaktivity různých substituovaných benzo[1,4]oxazepindionů.

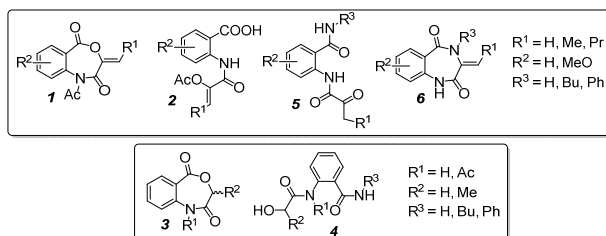


Schéma 1. Struktury diskutovaných sloučenin 1 – 6

Reakce titulních sloučenin **1** a **3** s aminy vedly ve většině případů k otevření benzoxazepinového kruhu a vzniku amidů **4** a **5**. V některých případech však byla tato reakce doprovázena transacylací, deacetylací či vznikem derivátu benzodiazepinu **6**. Vznik naposled uvedených sloučenin nás motivoval ke zkoumání těchto reakcí, vzhledem k tomu, že deriváty benzodiazepinu jsou významné sloučeniny ve farmakochemii. Studium výše zmíněné transacylace vedlo rovněž ke zjištění, že 1-acetylbenzo[1,4]oxazepindion (**3**, R¹ = Ac, R² = H) může sloužit jako atypické acetylační činidlo. Takový jev je znám⁵ například u 1-acylbenzotriazolů.

Tato studie byla podpořena interním grantem UTB ve Zlíně IGA/FT/2014/010 a Veřejnou agenturou pro výzkumnou činnost Republiky Slovinska (projekt P1-0230-0103).

LITERATURA

1. Riedel J. D.: Riedel's Ber. 1912, 13; Chem. Zentr. I 1912, 1773.
2. Bean C. M., Kenyon J., Phillips H.: J. Chem. Soc. 1936, 303.
3. Uskokovic M., Iacobelli J., Toome V., Wenner W.: J. Org. Chem. 29, 582 (1964).
4. Uskokovic M., Wenner W.: 3-Amino-2-(1-hydroxyethyl)-4-(3H)-quinazolinones. FR 1395924, 16 April 1965.
5. Katritzky A. R., Suzuki K., Wang Z.: Synlett 11, 1656 (2005).

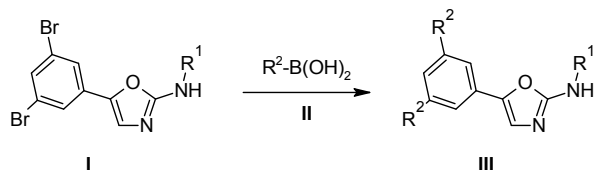
3P-03

CROSS-COUPLING REAKCIE SUBSTITUOVANÉHO 1,3-OXAZOLU

FRIDRICH GREGÁŇ^a, MILAN MELICHERČÍK^{a*}, JURAJ SLOVÍK^a, ANDREJ BOHÁČ^b

^a Katedra chémie, Fakulta prírodných vied, Univerzita Mateja Bela, Tajovského 40, 974 01 Banská Bystrica, ^b Katedra organickej chémie, Prírodovedecká fakulta, Univerzita Komenského, Mlynská dolina CH-2, 842 15 Bratislava, Slovensko Milan.Melichercik@umb.sk

Reakcie arylboronových kyselín, alebo ich esterov s aryl- a heteroarylhalogenidmi katalyzované komplexmi paládia v prítomnosti bázy (Suzuki-Miyaurova reakcia)¹ sú jedným z najvýznamnejších typov cross-coupling reakcií. Najpoužívanejším katalyzátorom je Pd(Ph₃)₄. V tejto práci sa cross-coupling reakcie aplikovali v syntéze 2,5-disubstituovaných 1,3-oxazolov, ktoré sa študujú najmä v súvislosti s ich antitumorovou aktivitou^{2,3}.



R¹ = 2-metoxi-5-etylsulfonylfenyl

R² = 4-metoxifenyl; 4-trifluormetylfenyl; 2-metyl-4-metoxifenyl; 2-trifluormetylfenyl; bifenylyl-4-yl

Schéma 1. Reakcie 2,5-disubstituovaných 1,3-oxazolov s arylboronovými kyselinami

Cross-coupling reakcie (Schéma 1) na 3,5-dibróm-fenylovej skupine zlúčeniny I (Schéma 1) sa realizovali v prebytku arylboronových kyselín za prítomnosti katalyzátora Pd(Ph₃)₄ a uhličitanu sodného v prostredí 1,2-dimetoxietán : voda (2:1)^{2,3}. Reakcie s jednotlivými arylboronovými kyselinami II (Schéma 1) sa uskutočnili pri teplote 100 °C počas 4–6 hodín (monitorovanie reakcie pomocou TLC). Výťažky získaných oxazolových derivátov III

(Schéma 1) po prečistení stĺpcovou chromatografiou boli v rozmedzí 30–50 %. Štruktúra pripravených zlúčenín bola potvrdená interpretáciou ¹H NMR spektier a elementárnou analýzou. Zlúčeniny boli postúpené na farmakologické testovanie inhibície angiogenézy.

Táto práca vznikla za podpory VEGA grantu č. 1/0634/13.

LITERATÚRA

1. Suzuki A., Miyaura N.: Chem. Rev. 95, 2457 (1995).
2. Chen P., Norris D., Haslov D. K.: Bioorg. Med. Chem. Lett. 13, 1345 (2003).
3. Lintnerová L., Garcia-Caballero M., Gregáň F., Melicherčík M., Quesada A. R., Dobiaš J., Lác J., Sališová M., Boháč A.: Eur. J. Med. Chem. 72, 146 (2014).

3P-04

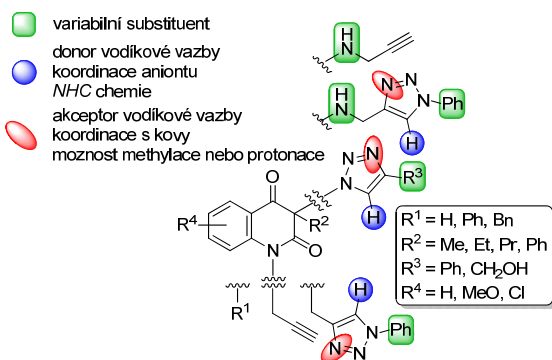
SYNTÉZY TRIAZOLOVÝCH DERIVÁTŮ CHINOLIN-2,4(1H,3H)-DIONU

ROMAN KIMMEL^{a*}, MARIANNA MOLNÁROVÁ^a, TEREZA DOSTÁLOVÁ^a, IVETA KAPAVÍKOVÁ^a, JANEZ KOŠMRLJ^b, STANISLAV KAFKA^a

^a Ústav chémie, Fakulta technologická, Univerzita Tomáše Bati ve Zlíně, Náměstí T. G. Masaryka 275, 762 72 Zlín, Česká republika, ^b Katedra za organsko kemijo, Fakulteta za organsko kemijo in kemijsko tehnologijo, Univerza v Ljubljani, Aškerčeva 5, 1000 Ljubljana, Slovinsko kimmel@ft.utb.cz

Od zveřejnění prvních prací^{1,2}, v nichž byly provedeny syntézy 1,2,3-triazolů cykloadiční reakcí azidosloučenin a terminálních alkynů za katalýzy měďnými sloučeninami, byla tato reakce využita k syntéze nespočetných sloučenin s 1,2,3-triazolovým uskupením v molekule. Díky jejich zajímavým vlastnostem nacházejí tyto sloučeniny uplatnění v řadě oblastí.

V návaznosti na studii³, ve které jsme sérii 3-azido-chinolin-2,4-dionů převedli reakcí s terminálními alkyny na odpovídající deriváty s triazolovým kruhem, jsme se zaměřili na syntézu derivátů chinolin-2,4-dionu se dvěma triazolovými kruhy v molekule. Vyzkoušeli jsme dva postupy pro převedení 3-chlorchinolin-2,4-dionů na deriváty s triazolovou skupinou v poloze 3 a s triazolymethylou skupinou v poloze 1,



kteřé zahrnují substituci atomu chloru azidoskupinou. Postup přípravy jiného typu titulních sloučenin zahrnuje převedení 3-chlorchinolin-2,4-dionů na 3-dipropargyl-aminoderiváty.

Tato studie byla podporována interním grantem UTB ve Zlíně č. IGA/FT/2014/010 financovaného z prostředků specifického výzkumu na vysokých školách a veřejnou agenturou pro výzkumnou činnost Republiky Slovinska (projekt P1-0230-0103).

LITERATURA

1. Rostovtsev V. V., Green L. G., Fokin V. V., Sharpless K. B.: *Angew. Chem. Int. Ed.* 41, 2596 (2002).
2. Tornøe C. W., Christensen C., Meldal M.: *J. Org. Chem.* 67, 3057 (2002).
3. Kafka S., Hauke S., Salčinović A., Soidinsalo O., Urančar D., Košmrlj J.: *Molecules* 16, 4070 (2011).

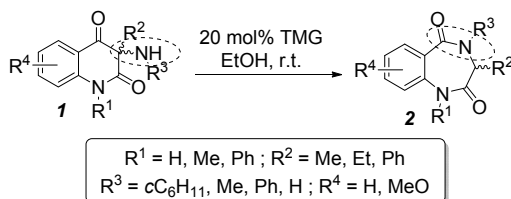
3P-05

BASICKÝ INDUKOVANÝ PŘESMYK 3-AMINOCHINOLIN-2,4-DIONŮ VEDOUcí K BENZO[e][1,4]DIAZEPIN-2,5-DIONŮM

FILIP KŘEMEN^a, ANNA SRHOLCOVÁ^a, KAREL PROISL^a, JANEZ KOŠMRLJ^b, DAMIJANA URANKAR^b, STANISLAV KAFKA^{a*}

^a *Fakulta technologická, Univerzita T. Bati ve Zlíně, Nám. T. G. Masaryka 275, 762 72 Zlín, Česká republika,* ^b *Fakulteta za kemijo in kemijsko tehnologijo, Univerza na Ljubljani, Aškerčeva 5, 1000 Ljubljana, Slovinsko*
kafka@ft.utb.cz

Chemie chinolin-2,4-dionů byla během posledních let předmětem řady studií prováděných na Ústavu chemie FT UTB. V řadě z nich byly pozorovány kontrakce pyridinového kruhu na pětičlenný kruh¹⁻⁵, zatímco jeho expanze na sedmičlenný kruh byla zaznamenána jen ojediněle. V rámci našeho systematického výzkumu chinolin-2,4-dionů jsme zjistili, že působením vhodné base na substituované 3-aminochinolin-2,4-diony **I** vznikají odpovídající deriváty benzodiazepinu **2**.



Nový přístup k derivátům benzodiazepinu může najít aplikace v organické syntéze, proto jsme hledali optimální podmínky pro uvedenou reakci u jedné ze sloučenin **I** ($\text{R}^1 = \text{Me}$, $\text{R}^2 = \text{Ph}$, $\text{R}^3 = \text{c-C}_6\text{H}_{11}$, $\text{R}^4 = \text{H}$). Nejlepších výsledků bylo dosaženo při provedení reakce v ethanolu při laboratorní teplotě a při použití tetramethylguanidinu jako base. Tyto podmínky pak byly úspěšně uplatněny pro přípravu série benzodiazepindionů **2** přesmykem aminochinolinindionů **I**.

Struktury izolovaných produktů **2** byly určeny moderními metodami strukturní analýzy. V rámci příspěvku bude diskutována reaktivita zmíněných 3-aminochinolinindionů, možné využití popisovaných transformací a návrh možného reakčního mechanismu.

Tato studie byla podpořena interním grantem UTB ve Zlíně IGA/FT/2014/010 a Veřejnou agenturou pro výzkumnou činnost Republiky Slovinska (projekt P1-0230-0103).

LITERATURA

1. Klásek A., Kořistek, K., Poliš J., Košmrlj J.: *Heterocycles* 48, 11 (1998).
2. Klásek A., Kafka, S.: *J. Het. Chem.* 35, 2 (1998).
3. Kafka S., Klásek, J., Košmrlj J.: *J. Org. Chem.* 66, 19 (2001).
4. Klásek A., Lyčka A., Mikšík, I., Růžička, A.: *Tetrahedron* 66, 11 (2010).
5. Mrkvička V., Rudolf O., Lyčka A., Klásek A.: *Tetrahedron* 67, 13 (2011).

3P-06

SYNTHESIS OF *p*-NITROPHENYL β -D-GLYCOSIDES OF DI- AND TRI SACCHARIDE OF XYLAN TYPE – THE SUBSTRATES FOR ENZYME ASSAYS

JÁN HIRSCH, MAREK BARÁTH, MIROSLAV KOŮŠ, PETER BIELY

Institute of Chemistry, Slovak Academy of Sciences, Dúbravská cesta 9, 845 38 Bratislava
chemhirs@savba.sk

Synthesis of oligosaccharides related to hemicelluloses of xylan type has been developed mainly for characterization of the structural features, physicochemical and various functional properties of these natural polysaccharides.

This contribution describes the synthesis of two model di- and trisaccharides of xylan type, namely *p*-nitrophenyl 4-*O*-(2-*O*-benzyl- β -D-xylopyranosyl)- β -D-xylopyranoside (**I**) and *p*-nitrophenyl 4-*O*-[2-*O*-(methyl-4-*O*-methyl- α -D-glucopyranosyluronate)- β -D-xylopyranosyl]- β -D-xylopyranoside (**II**) in order to serve as the chromogenic substrates for testing of xylanase belongs to the GH5 family.

The starting point in the synthesis of disaccharide **I** was nucleophile *p*-nitrophenyl 2,3-di-*O*-benzoyl- β -D-xylopyranoside¹ which was coupled with 3,4-di-*O*-acetyl-2-*O*-benzyl- α , β -D-xylopyranosyl acetimidate (prepared from 1,3,4-tri-*O*-acetyl-2-*O*-benzyl-D-xylopyranose²). The final disaccharide **I** was obtained by deacylation of the isolated blocked disaccharide from the reaction mixture in a good yield. For preparation of model trisaccharide **II**, related to 4-*O*-methylglucuronoxylan, the 3,4-di-*O*-acetyl-2-*O*-(methyl 2,3-di-*O*-acetyl-4-*O*-methyl- α -D-glucopyranosyluronate)- α , β -D-xylopyranosyl acetimidate³ was used as a glycosylating agent in a coupling reaction with *p*-nitrophenyl 2,3-di-*O*-benzoyl- β -D-xylopyranoside. The protected trisaccharide isolated by chromatography after deacylation gave aimed **II** in a satisfactory yield. The structure of both model oligosaccharides **I** and **II** and also their precursors was confirmed by NMR spectroscopy.

This work was supported by the grants VEGA No. 2/0101/11 and 1/0962/12; Centre of Excellence-GLYCOMED and Centre of Excellence for Glycomics ITMS 26240120031, supported by the Research&Development Operational Programme funded by the ERDF.

REFERENCES

1. Takeo K., Ohguchi Y., Hasegawa R., Kitamura S.: Carbohydr. Res. 277, 231 (1995).
2. Kováč P., Palovčík R.: Chem. Zvesti 31, 98 (1977).
3. Hirsch J., Kooš M., Kováč P.: Carbohydr. Res. 310, 145 (1998).

3P-07

PHOSPHOLIPIDS – COMPOUNDS FOR SPECIAL TASKS

MAREK KŁOBUCKI, CZESŁAW WAWRZEŃCZYK

Katedra Chemii, Uniwersytet Przyrodniczy
ul. C.K. Norwida 25/27, 50-375 Wrocław, Poland
marek.klobucki@gmail.com

Phospholipids are amphiphilic molecules that build cell membranes. Their structure is based on the glycerol backbone that is linked to a phosphate group coupled to the alcohol (hydrophilic part) and with fatty acids (hydrophobic part). Phospholipids can organize themselves in several forms (eg. lipid bilayer, liposomes or micelles). These unique properties affecting their wide application^{1,2}.

Among scientists around the world, there's interest in modified phospholipids. In contrast to natural products, they may show targeted, more attractive properties. In our research, we focus on chemical and enzymatical modifications of phospholipids, particularly phosphatidylcholine.

Restructuring carried out by us are based on enzymatic hydrolysis and chemical transesterification of lipids in positions *sn*-1, *sn*-2 and *sn*-3. So far, we synthesized the new phospholipids containing conjugated linoleic acid (CLA), betulin³ or DHEA⁴.

REFERENCES

1. Bhardwaj U., Burgess D. J.: Int. J. Pharmaceutics, 388, 181 (2010).
2. Bringe N. A., Howard D. B., Clark D. R.: J. Food Science 61, 19 (1996).
3. Tubek B., Smuga D., Smuga M., Wawrzeńczyk C.: Synth. Commun. 42, 3648 (2012).
4. Smuga D., Smuga M., Świzdor A., Panek A., Wawrzeńczyk C.: Steroids 75, 1146 (2010).

3P-08

SYNTEZA 2-ARYLOYLHYDRAZINKARBOX-AMIDŮ, 1,2-DIACYLHYDRAZINŮ A 1,3,4-OXADIAZOLŮ JAKO POTENCIÁLNÍCH ANTIMIKROBIÁLNÍCH MOLEKUL

MARTIN KRÁTKÝ^{a,*}, JARMILA VINŠOVÁ^a, MARKĚTA KOMLÓOVÁ^a, JIŘINA STOLAŘÍKOVÁ^b

^a Kat. anorganické a organické chemie, Farmaceutická fakulta University Karlovy, Heyrovského 1203, 500 05 Hradec Králové, ^b Laboratoř pro diagnostiku mykobakterií a tuberkulózu, Zdravotní ústav Ostrava, Partýzánské nám. 7, 702 00 Ostrava

martin.kratky@faf.cuni.cz

Nepříznivý nárůst rezistence přináší potřebu nových účinných antimikrobních léčiv. U *Mycobacterium tuberculosis*, původce tuberkulózy, byly kromě multilékové a extensivně rezistentních kmenů popsány i tzv. totálně rezistentní kmeny, necitlivé vůči všem zavedeným antituberkulotikům¹.

2-Isonikotinoylhydrazinkarboxamidy² a 2-(pyridin-4-yl)-1,3,4-oxadiazoly³ byly jakožto deriváty isoniazidu studovány jako antimykobakteriální léčiva; některé z nich předčily parentní léčivo. Proto jsme připravili další obdobné deriváty INH a jeho analogů (Schéma 1), které podstoupily biologické hodnocení mj. vůči *M. tuberculosis* a atypickým mykobakteriím. Zjištěné minimální inhibiční koncentrace jsou v řádech mikromolů (MIC ≥ 1 μmol/L).

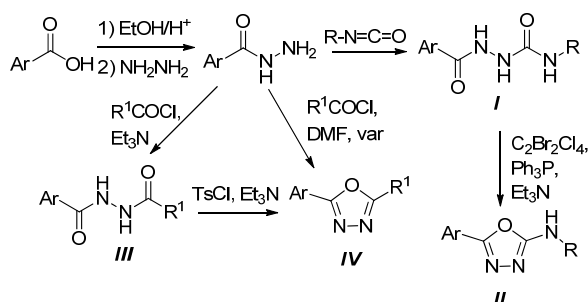


Schéma 1. Příprava 2-aryloylhydrazinkarboxamidů **I**, 1,2-diacylhydrazinů **III** a substituovaných 1,3,4-oxadiazolů **II** a **IV** (Ar = pyridin-4-yl, substituovaný fenyl; R a R¹ = alkyl, aryl)

Publikace je spolufinancovaná Evropským sociálním fondem a státním rozpočtem České republiky. Registrační číslo projektu: CZ.1.07/2.3.00/30.0022. Práce byla dále podpořena grantem IGA NT 13346 (2012).

LITERATURA

1. Zarir F. U.: Respirology 17, 741 (2012).
2. Rychtarčíková Z., Krátký M., Gazvoda M., Komlóová M., Polanc S., Kočevár M., Stolaříková J., Vinšová J.: Molecules 19, 3851 (2014).
3. Navarrete-Vázquez G., Molina-Salinas G. M., Duarte-Fajardo Z. V., Vargas-Villarreal J., Estrada-Soto S., Gonzalez-Salazar F., Hernandez-Nunez E., Said-Fernandes S.: Bioorg. Med. Chem. 15, 5502 (2007).

3P-09 AUTOSTABILIZOVANÉ ELASTOMERNÍ POLYURETHANY

**JIRÍ PODEŠVA, MARTIN HRUBÝ, JANA
KOVÁŘOVÁ, JIRÍ SPĚVÁČEK**

Ústav makromolekulární chemie Akademie věd České republiky, v.v.i., Heyrovského nám. 2, 162 06 Praha 6
podesva@imc.cas.cz 6

Klasická stabilizace polyurethanů (PUR) i jiných polymerů spočívá ve fyzikálním přimíšení stabilizátorů do polymerní matrice. Tento postup přináší riziko, že – zejména za extrémních podmínek (vysoká teplota, omývání kapalinami) – část stabilizátoru se vypaří nebo vymyje. Již několik dekád se proto hledají způsoby, jak molekulu stabilizátoru kovalentními vazbami připojit k řetězci¹. Již dříve se nám podařilo takto stabilizovat mj. PUR s polybutadienem jako měkkým segmentem, a to radikálovou adicí fenolického antioxidantu nesoucího skupinu SH na visící vinyly polybutadienové složky PUR².

Nyní jsme zabudovali fenolický antioxidant do řetězce PUR již při syntéze. Reakční směs obsahovala tyto složky: aromatický diisokyanát, nízkomolekulární polybutadien nesoucí na obou koncích řetězce OH skupiny a jeden ze dvou studovaných stéricky bráněných fenolických antioxidantů nesoucích dvě ekvivalentní alifatické OH skupiny (schéma 1), přičemž molární poměr skupin NCO a veškerých skupin OH byl přibližně 1,2. Zjednodušená struktura výsledného PUR je ve schématu 2.

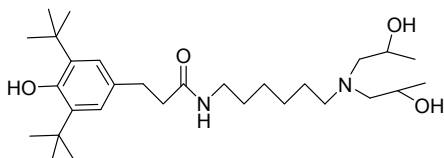


Schéma 1.

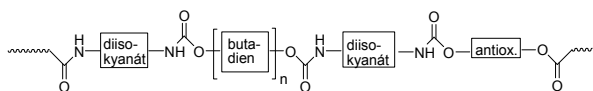


Schéma 2.

Molární poměr diolu nesoucího antioxidantovou strukturu a OH-telechelického polybutadienu v reakční směsi byl měněn v rozmezí 0 až 0,146. Termooxidační stabilita příslušných PUR produktů byla měřena metodou DSC ve vzduchu a vyjádřena jako nástupová teplota oxidace. Pro nulový obsah antioxidantu byla tato teplota 195 °C, pro nejvyšší obsah antioxidantu 228 °C. Takto zabudovaný antioxidant je tedy účinný.

LITERATURA

1. Lau W. W. Y., Qing P. J., v knize: *Desk reference of functional polymers* (Arshady R., ed.), Part 4, str. 621, Am. Chem. Soc., Washington, D. C. 1997.
2. Podešva J., Kovářová J., Hrdličková M., Netopilík M.: *Polym. Degrad. Stabil.* 94, 647 (2009).

3P-10 PŘÍPRAVA BLOKOVÝCH KOPOLYMÉROV NITROXIDMI RIADENOU KONTROLOVANOU RADIKÁLOVOU POLYMERIZÁCIU

**ĽUDMILA HRČKOVÁ, JOZEF KOLLÁR, ŠTEFAN
CHMELA, EVA MACOVÁ, ALENA ŠÍŠKOVÁ, DUŠAN
BEREK**

Ústav polymérov SAV, Dúbravská cesta 9, 845 41 Bratislava, Slovenská republika
upollud@savba.sk

Kontrolovanou (živou) radikálovou polymerizáciou (Nitroxide Mediated Polymerization – NMP) v bloku boli syntetizované polyméry (PS, PMA) s cieľnou architektúrou a pomerne úzkou distribúciou mólových hmotností. Ako regulátory mólovej hmotnosti sa použili rôzne deriváty na báze 2,2,5-trimetyl-4-fenyl-3-azahehexán-3-nitroxid – TIPNO, ktorý patrí medzi najmodernejšie regulátory kontrolovanej radikálovej polymerizácie styrénov, akrylátov, akrylamidov a pod. Práve široká škála monomérov, pre ktoré je tento typ mediátora aplikovateľný, je veľkou výhodou oproti bežne používaným derivátom TEMPO. Pripravené deriváty obsahujú štruktúrnú jednotku stéricky tieneneho amínu v kombinácii s dvoma rôznymi aromatickými chromofórmami, čo umožňuje kvantifikáciu aktívnych reťazcov pomocou absorpčnej resp. fluorescenčnej spektroskopie. Optimalizáciu podmienok reakcie ako teplota polymerizačnej reakcie, koncentrácia regulátora sa pripravili polyméry s vysokým stupňom živosti, t.j. počet značených polymérových reťazcov bol väčší ako 70 percent a s pomerne úzkou distribúciou mólových hmotností. Tieto polyméry sa použili pri postpolymerizácii s iným monomérom ako makroiniciátory pre prípravu blokových kopolymérov. Východiskové makroiniciátory aj pripravené kopolyméry boli charakterizované GPC, LC LCD, UV a IČ spektroskopiou.

Táto práca vznikla za finančnej podpory projektov APVV-0109-10 a VEGA 2/0167/14.

3P-11 TERMICKÉ A MECHANICKÉ VLASTNOSTI ZMESÍ VYSOKOHUSTOTNÉHO POLYETYLÉNU A ENKAPSULOVANÉHO PARAFÍNOVÉHO VOSKU

**ZUZANA NÓGELLOVÁ^a, IGOR KRUPA^{a,b}, ZDENO
ŠPITALSKÝ^a, KATARÍNA CSOMOROVÁ^a, IVICA
JANIGOVÁ^a, MARTA MALÍKOVÁ^a, ONDREJ ŽIGO^a,
M A ALI ALMAADEED^b**

^a Ústav polymérov SAV, Bratislava, Slovenská republika,
^b Center for Advanced Materials, Qatar University, Doha,
Qatar

zuzana.nogellova@savba.sk

V tejto práci sú prezentované termické a mechanické vlastnosti kompozitov vysokohustotného polyetylénu a enkapsulovaného parafínového vosku. Parafín bol enkapsulovaný v procese emulznej polymerizácie v melamín-

formaldehydovej živici. Priemerná veľkosť častíc je 15 μm , podiel parafínu v kapsuliach je 43 hm.%. Najvyšší obsah kapsúl v zmesi bol 60 hm.%. Kompozity sa pripravovali dvojakým spôsobom: buď sa nasucho zmiešaná zmes priamo lisovala alebo sa pred lisovaním ešte nechala homogenizovať nad teplotou topenia polymérnej matrice. Ukázalo sa, že spôsob prípravy výraznejšie neovplyvňoval výsledné vlastnosti materiálov.

Termická stabilita zmesi bola študovaná metódou termogravimetrickej analýzy. Zistilo sa, že zmesi vykazujú výrazne nižšiu termickú stabilitu než čistá polymérna matrica. Z DSC analýzy vyplynulo, že jednotlivé zložky zmesi sú nemiešateľné. Entalpie topenia parafínu a polyetylénu su proporcionálne podielu jednotlivých zložiek v zmesiach. Prítomnosť parafínu viedla k výraznému zníženiu teploty topenia, čo indikuje plastifikačný efekt parafínu. Zmesi s parafínom vykazujú oproti čistej matici nižšie parametre mechanických vlastností.

Táto práca vznikla za podpory Qatar National Foundation NPRP č.4-465-2-173 a Vedeckej grantovej agentúry Ministerstva školstva, vedy, výskumu a športu Slovenskej republiky a Slovenskej akadémie vied (projekt č. 2/0119/12).

3P-12 INCREASE OF ADHESION IN ADHESIVE JOINT PVC-POLYURETHANE ADHESIVE – MIDDLE DENSITY FIBERBOARD

**IGOR NOVÁK, MARIAN VALENTÍN, JOZEF
PRACHÁR, MATEJ MIČUŠÍK, IVAN CHODÁK,
MÁRIA OMASTOVÁ**

*Polymer Institute SAS, Bratislava, Slovakia
Maria.Omastova@savba.sk*

The aim of the work was the study of modification polyurethane (PUR) dispersions used as adhesives for 3D bonding of high glossy foils in the furniture industry. The hydrophobization additives were used in order to improve the wetting of bonding substrate – middle density fiberboard (MDF)¹. The influence of additives was examined by the measurement of contact angle, shear strength of adhesive joint, tensile strength at break of adhesives films, and surface quality of adhesive joint. In relation to PUR dispersion modification also the influence of modification MDF surface by the barrier plasma was examined². The results showed that the addition of hydrophobization additives improves the wetting properties of MDF with PUR dispersions and it has positive effect on surface quality of adhesive joint. The addition of oleic acid to polyurethane dispersion improves the wetting properties of PUR dispersion and has positive effect on surface quality of adhesive joint and also improves the shear strengths up to 2 wt.% of oleic acid. When the plasma treatment on MDF surface was applied the significant decrease of contact angles and an increase of the shear strengths were observed if the oleic acid was added to PUR adhesive. The combination of both modification methods do not increase adhesion.

Grant Agency VEGA, Ministry of Education of the Slovak Republic and Slovak Academy of Sciences (Grant No. 2/0199/14 and 2/0149/14).

REFERENCES

- Acda M. N., Devera E. E., Cabangon R. J., Ramos H. J.: Intern. J. Adhesion Adhesives 32, 70 (2012).
- Kiguchi M., In book: *Chemical Modification of Lignocellulosic Materials*, (Hon D. N., ed.), p. 197. Marcel Dekker, New York 2005.

3P-13 INVESTIGATION OF BEECH WOOD MODIFIED BY RADIO-FREQUENCY PLASMA

**IGOR NOVÁK^a, ANTON POPELKA^{a,b}, MÁRIA
OMASTOVÁ^a, MARIAN VALENTÍN^a, MATEJ
MIČUŠÍK^a, JOZEF PRACHÁR^a**

*^a Polymer Institute SAS, Bratislava, Slovakia, ^b Center for Advanced Materials, Qatar University, Doha, Qatar
Igor.Novak@savba.sk*

The bonding of wood after discharge plasma surface modification is of considerable interest with the respect to construction of the strongest wood adhesive joints. Great efforts have been made in developing various kinds of furniture using wood or plastics veneers in adhesive joints wood-adhesive-veneer¹. The radio-frequency (RF) discharge plasma at reduced pressure is currently an efficient method for modification of surface and adhesive properties of wood, and is considered as the 'green' ecologically friendly method². Nanoscale changes to the surface of wood materials enable the changes in materials surface, while maintaining the desirable bulk material properties. The surface energy and its polar component of beech wood increased with time of plasma activation. The surface energy and its polar component of beech wood treated by RF plasma (180s) in air increased, and the polar component of the surface energy increased. If the longer activation time was applied, the changes of wood surface energy and its polar component were very small. This fact relates to saturation of wood surface with oxygen-containing functional groups due to modification by RF plasma. The shear strength of adhesive joint of beech wood modified by RF plasma in air with epoxy adhesive vs. modification time increased from 5.2 MPa (pristine sample) up to 8.2 MPa. The nanoindentation study of beech wood pre-treated by RF plasma for pristine beech wood illustrates a relative higher roughness. The RF plasma during ablation processes removes amorphous lignin layers on the wood surface, while the wood surface becomes smoother.

Grant Agency VEGA, Ministry of Education of the Slovak Republic and Slovak Academy of Sciences (Grant No. 2/0199/14).

REFERENCES

- Acda M. N., Devera E. E., Cabangon R. J., Ramos H. J.: Intern. J. Adhesion Adhesives 32, 70 (2012).
- Moghadamzadeh H., Rahimi H., Assadolazadeh M., Hemmati A. R.: Inter. J. Adhesion Adhesives 31, 816 (2011).

3P-14**IMPACT OF DENSITY OF CROSS-LINKING AND IONIC STRENGTH ON VOLUME PHASE TRANSITION OF THERMOSENSITIVE POLYMER HYDROGELS****KRYZSTOF PIECHOCKI*, M. N. OLEJNICZAK, M. KOZANECKI**

*Department of Molecular Physics, Faculty of Chemistry, Lodz University of Technology, Zeromskiego 116, 90-924 Lodz, Poland
182874@edu.p.lodz.pl*

Stimuli responsive polymer hydrogels may be sensitive to physical (temperature, electrical or magnetic fields) and/or chemical factors (pH, ions, glucose, morphine and many other chemical compounds)¹. An abrupt, reversible transition under a small change in environmental conditions is the most demanding behavior of such are also required. Recently, the special interest is focused on the thermo-responsive hydrogels exhibiting volume phase transition (VPT). They are synthesized from polymers with lower or upper critical solution temperature and have been successfully applied in many fields eg. as a carrier for controlled drug delivery into the living organisms.

Thermally induced VPT results from the weakening of polymer-water and simultaneously the strengthening of polymer-polymer interactions. These changes lead to sudden collapse of polymer network and to push out the water. This mechanism may accelerate the drug release process in a case of drug carrier systems.

In this work the biocompatible, non-toxic, thermo-sensitive hydrogels based on poly(2-(2-methoxyethoxyethyl) methacrylate) and poly(vinyl methyl ether) were studied. We concentrated on influence of polymer network density and concentration of selected non-steroidal anti-inflammatory drugs (aspirin, ibuprofen, naproxen) on VPT temperature. Thermo-Optical Analysis was used to solve this problem.

This project was supported by Polish National Science Center grant no. 2013/09/B/ST4/03010.

REFERENCE

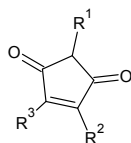
1. Maeda Y., Kubota T., Yamauchi H.: *Langumir* 23, 11259 (2007).

4L-01 CYCLOPENTENEDIONES: TOXICOLOGICAL ASPECTS AND PRACTICAL APPLICATIONS

JAN VACEK

*Department of Medical Chemistry and Biochemistry, Faculty of Medicine and Dentistry, Palacky University, Hnevotinska 3, 775 15 Olomouc
jan.vacek@upol.cz*

Cyclopentenenediones are secondary metabolites of higher plants, fungi, algae, cyanobacteria and bacteria. A common denominator of cyclopentenenediones is the cyclopent-4-ene-1,3-dione skeleton (Scheme 1), which is modified by several functional groups.



Scheme 1. Cyclopent-4-ene-1,3-dione skeleton

The heterogeneity of these substitutions is reflected in around one hundred cyclopentenenediones reported to date. Most of the derivatives were isolated from plant sources. Synthetic analogues were then prepared with new biological activities. Antifungal substances called coruscanones are the most studied of the cyclopentenenediones. Other intensely investigated cyclopentenenediones include lucidone, linderone, asterredione, involutone, nostotrebin 6 (ref.¹⁻³), TX-1123, G2201-C, madindolines, chrysotrienes etc. In addition to antibacterial and antifungal effects, a broad spectrum of biological activities for cyclopentenenediones has been reported in the past two decades, especially anti-inflammatory, cytostatic and enzyme inhibitory activities. The cyclopentenenedione skeleton has been identified in a number of substances isolated from the plant kingdom; hence, cyclopentenenediones can be referred to as a new group of natural bioactive substances⁴. The main goal of this contribution is to define cyclopentenenediones with respect to basic chemistry and description of their biological effects. Special attention is given to a detailed view into biological activities, toxicity and practical applications.

This work was supported by the institutional funding from Palacky University (IGA_LF_2014_014) and by the Ministry of Industry and Trade of the Czech Republic (FR-TI4/457).

REFERENCES

1. Zelik P., Lukesova A., Cejka J., Budesinsky M., Havlicek V., Cegan A., Kopecky J.: *J. Enz. Inhib. Med. Chem.* 25, 414 (2010).
2. Hrbac J., Jakubec P., Halouzka V., Matejka P., Pour M., Kopecky J., Vacek J.: *Electrochem. Commun.* 38, 53 (2014).
3. Vacek J., Hrbac J., Kopecky J., Vostalova J.: *Molecules* 16, 4254 (2011).
4. Sevcikova Z., Pour M., Novak D., Ulrichova J., Vacek J.: *Mini-Rev. Med. Chem.* 14, 322 (2014).

4L-02 VZTAH MEZI ÚBYTKEM TOKOFEROLŮ A VZNIKEM POLYMERNÍCH TRIACYLGLYCEROLŮ BĚHEM ZAHŘÍVÁNÍ ROSTLINNÝCH OLEJŮ

JAKUB FIŠNAR*, ZUZANA RĚBLOVÁ

*Ústav analýzy potravin a výživy, Vysoká škola chemicko-technologická v Praze, Technická 5, 166 28 Praha
jakub.fisnar@vscht.cz*

Během smažení, resp. obecně tepelného namáhání rostlinných olejů dochází k významným oxidačním ztrátám tokoferolů (vitaminu E), běžně dosahujících desítky procent původního obsahu¹. Tyto ztráty byly doposud studovány prakticky pouze jako funkce doby zahřívání nebo počtu opakovaných smažení. Z praktického hlediska však může být užitečnější studovat ztráty tokoferolů (vitaminu E) během tepelného namáhání rostlinných olejů jako funkci obsahu polymerních triacylglycerolů, což je parametr určující životnost smažicí lázně. Takto můžeme určit obsah tokoferolů v jednotlivých fázích životnosti smažicí lázně, typicky pak na konci životnosti této lázně, která je dána obsahem polymerních triacylglycerolů 12 % (cit.²). Takto koncipovaných prací je však v odborné literatuře relativně málo. V prakticky jediné práci tohoto typu³ bylo zjištěno, že ztráty tokoferolů závisí na složení použitého oleje a k vymizení veškerých tokoferolů může v některých případech dojít i výrazně dříve, než je dosažen obsah polymerních TAG 12 %. V návaznosti na tuto předběžnou studii byla realizována série pokusů studující vztah mezi úbytkem tokoferolů a vznikem polymerních triacylglycerolů u většího počtu rostlinných olejů. Kromě toho byl studován vliv vybraných faktorů (zejména složení mastných kyselin, původního celkového obsahu tokoferolů a relativního zastoupení jednotlivých tokoferolů) na tento vztah.

Financováno z účelové podpory na specifický vysokoškolský výzkum (MŠMT č.20/2014).

LITERATURA

1. Lee J., v knize: *Vitamin E, Food Chemistry, Composition, and Analysis*, kap. 5, s. 241. CRC Press, New York 2004.
2. Recommendations for frying oils discussed and adopted by the delegates. *3rd International Symposium on Deep-Fat Frying, Hagen, 20-21 March 2000*. <http://www.dgfett.de/material/recomm.php>.
3. Rěblová Z., Tichovská D., Doležal M.: *Czech J. Food Sci.* 27, S185 (2009).

4L-03 STRESOVÁ ODEZVA BUNĚK VYVOLANÁ KONTAKTEM S NANOČÁSTICEMI

**ŠÁRKA HRADILOVÁ^a, ALEŠ PANÁČEK^b,
LIBOR KVÍTEK^b, RADEK ZBOŘIL^b**

^a RCPTM, PřF UP, Šlechtitelů 11, Olomouc 783 71,

^b RCPTM, Katedra fyzikální chemie, PřF UP, 17. listopadu 12,
779 00 Olomouc
sarka.hradilova@upol.cz

Proteiny teplotního šoku (heat shock proteins – HSP) patří do skupiny látek s chaperonovou aktivitou. Jsou evolučně velmi staré, konzervativní a vyskytují se s vysokým stupněm homologie u prokaryontů i eukaryontů včetně člověka. V nízkých koncentracích se vyskytují i za fyziologických podmínek, ve zvýšené míře jsou exprimovány v případě, kdy dochází k denaturaci proteinů¹ v buňce např. vlivem vysoké nebo nízké teploty, radiace, působením chemikálií, těžkých kovů nebo nanočástic. HSP se podílejí na udržení homeostázy v buňce tím, že denaturovaným proteinům umožní obnovu konformace do původního stavu. Jedním z nejběžnějších proteinů z rodiny HSP je HSP70, protein s molekulovou hmotností 70 kDa. Hladina HSP70 v buňce po vystavení stresu roste v závislosti na míře stresu, kterému byla buňka vystavena i době, po kterou stresující podmínky trvaly. Naše studie sleduje míru stresu buněk manifestující se produkcí HSP70 po kontaktu s vybranými nanočásticemi.

Tato práce vznikla za podpory: Operational Program Research and Development for Innovations - European Regional Development Fund (project CZ.1.05/2.1.00/03.0058 of the Ministry of Education, Youth and Sports of the Czech Republic), by the Operational Program Education for Competitiveness - European Social Fund (project CZ.1.07/2.3.00/20.0056 of the Ministry of Education, Youth and Sports of the Czech Republic), by Czech Science Foundation (GAP304/10/1316) and by Internal Grants of Palacký University in Olomouc (PrF_2013_031 and LF_2013_012).

LITERATURA

1. Weigl E., Kopeček P., Raška M., Hradilová Š.: *Folia Microbiol.* 44, 561 (1999).

4L-04 NITRIC OXIDE DETECTION

**MARTINA BANCÍŘOVÁ^a, JAN HRBÁČ^b, JIŘÍ VRBA^a,
JAN VACEK^a, NORBERT CIBÍČEK^a, VLADIMÍR
HALOUZKA^b, LENKA ROUBALOVÁ^a, JITKA
ULRICHOVÁ^a**

Palacký University, ^a Hněvotínská 3, 775 15 Olomouc,

^b Tř. 17. listopadu 12, 771 46 Olomouc
martina.bancirova@upol.cz

The chemistry of nitric oxide (NO) inside humans and other mammals is perhaps the most interesting aspect of this simple molecule's behaviour. NO is involved in controlling

blood pressure; transmitting nerve signals and a variety of other signalling processes. NO is also involved in inflammation. Therefore, the inhibition of NO production may have potential therapeutic value. But at first it is necessary to determine the NO amount before and during the inflammation. Since NO produced by inducible nitric oxide synthase (iNOS) is one of the inflammatory mediators, the effect of NO production in lipopolysaccharide (LPS)-activated RAW 264.7 cells and in the microdialysate from the intestinal inflammation in Wistar rats was evaluated.

A number of methods exist for NO detection. One of these methods involves the use of the Griess diazotization reaction to spectrophotometrically detect nitrite formed by the spontaneous oxidation of NO under physiological conditions and to detect nitrate via its catalytic reduction to nitrite.

The possibility of on-line coupling of microdialysis with NO sensing was demonstrated for the first time. Direct measurement of NO was executed by using a porphyrinic microsensor, based on cylindrical carbon fiber microelectrode covered with poly-nickel tetrakis-(3-methoxy-4-hydroxyphenyl)-porphyrin and Nafion layers. The experimental setup consists of inserting the detector employing NO sensor, auxiliary electrode and optional reference electrode behind the microdialysis probe.

One of the chemiluminescent detections is based upon the chemiluminescent reaction between NO and the luminol-H₂O₂ system which is specifically reactive to NO, so other nitrogen-containing compounds (organic nitrite, organic nitrate, and thio-nitroso compounds) do not interfere. The novelty is the use of Bluestar[®] Forensic reagents which are based on the luminol chemiluminescence. The Bluestar[®] Forensic Magnum was chosen because of its declared stability.

Financial support from the Czech Science Foundation, project 301/11/0767.

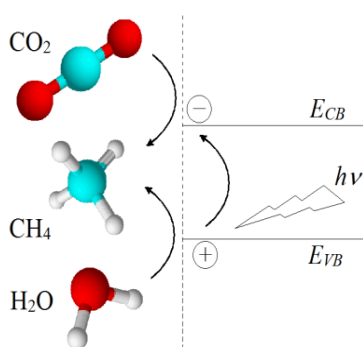
4L-05 VLIV DOPOVÁNÍ TiO₂ CEREM NA VÝTĚŽKY FOTOKATALYTICKÉ REDUKCE CO₂

**MARTIN RELI^a, NELA AMBROŽOVÁ^a, MARCEL
ŠIHOR^a, LENKA MATĚJOVÁ^a, ZDENEK LACNÝ^a,
ANDRZEJ KOTARBA^b, LUCIE OBALOVÁ^a, KAMILA
KOČÍ^a**

^a VŠB-TU Ostrava, 17. listopadu 15/2172, 708 33 Ostrava,
Česká republika, ^b Jagelonská univerzita, Ingardena 3, 30-060
Krakov, Polsko
martin.reli@vsb.cz

Mateřský čistý TiO₂ fotokatalyzátor a cerem dopované TiO₂ fotokatalyzátory (obsah ceru v intervalu 0,4–1 hm.%) byly připraveny pomocí sol-gel metody kontrolované v reversně micelárním roztoku neonického surfaktantu Tritonu X-114 v cyklohexanu. Texturní, strukturní, optické a elektronové vlastnosti všech fotokatalyzátorů byly důkladně charakterizovány pomocí fyzisorpce dusíku, rentgenové práškové difrakce, UV-Vis spektroskopie a měřením výstupní práce elektronů. Účinnost katalyzátorů byla zkoumána na fotokatalytické redukci oxidu uhličitého. Samotná reakce byla

provedena v míchaném, anulárním, vsádkovém reaktoru. Hlavním produktem reakce byl metan. V případě fotokatalytické redukce oxidu uhličitého hrají klíčovou roli energie generovaných elektronů a děr v elektronové struktuře fotokatalyzátoru. Bylo zjištěno, že energie těchto nosičů náboje jsou silně ovlivňovány přidávkem atomů ceru.



Obr. 1. Schématické znázornění fotokatalytické redukce CO_2

Tato práce byla vypracována v rámci projektů Nové kreativní týmy v prioritách vědeckého bádání, reg. č. CZ.1.07/2.3.00/30.0055 podpořeného operačním programem Vzdělávání pro konkurenceschopnost a spolufinancovaného Evropským sociálním fondem a státním rozpočtem ČR, projektu GAČR Fotokatalytická redukce CO_2 (14-35327J) a MŠMT projektu v rámci účelové podpory programu „Národní program udržitelnosti I“, projekt LO1208 „Teoretické aspekty energetického zpracování odpadů a ochrany prostředí před negativními dopady“.

4L-06

HAVARIJNÍ SLUŽBA V ŘEŠENÍ EKOLOGICKÝCH HAVÁRIÍ A TECHNOLOGICKÝCH PORUCH

LUBOMÍR VYSLOUŽIL

SITA CZ a.s., Španělská 1073/10, 120 00 Praha 2
lubomir.vyslouzil@sita.cz

Společnost SITA CZ a.s. provozuje od roku 2007 Stálou havarijní službu (dále jen SHS), určenou k sanaci následků ekologických, technologických a chemických havárií po celém území ČR. K tomuto účelu má SITA CZ a.s. v jednotlivých divizích ustanovena havarijní družstva, která tyto sanační zásahy prakticky zajišťují. Práce pro naši SHS začíná v okamžiku, kdy prvosledové jednotky IZS ukončí činnost záchrany života a zdraví osob a odvrátí prvotní hrozby vzniku škod na majetku. Následující zásah SHS směřuje k zamezení rozšíření kontaminace okolního životního prostředí a poté k odstranění ohniska znečištění. Konečným stavem je uvedení místa havárie do původního stavu.

Při této činnosti vznikají nebezpečné odpady pevného a kapalného skupenství, které jsou odváženy na specializovaná zařízení SITA CZ a.s. (spalovny, neutralizační stanice, biodegradační plochy, skládky odpadů) ke konečné likvidaci v souladu se zákonem č. 185/2001 Sb.

Vlastní sanační zásahy řídí obvykle technici SHS, kteří dle rozsahu a charakteru havárie si k řešení povolají potřebný

počet zásahových pracovníků a nutnou techniku (dopravní technika, kontejnery, těžební stroje, čerpací technika, sanační technika). Veškeré práce na místě havárie probíhají dle metodického postupu SHS¹, který obsahuje všechny podklady pro efektivní a přítom bezpečné zvládnutí každé havárie.

K ohlášení havárií slouží non-stop havarijní linka č. 800 233 333, kterou obsluhuje hlavní supervizor SHS. Systém je nastaven tak, že je následně o havárii informován pohotovostní technik příslušné divize, jsou mu předány veškeré známé údaje o havárii a kontakty na ohlašovatele havárie. Technik poté s pohotovostním vozidlem vyjíždí na dané místo a přebírá havárii od velitele zásahu IZS.

Technik cestou zjišťuje od IZS telefonicky další údaje o havárii a dle potřeby informuje členy zásahového družstva o zajištění potřebného vybavení pro sanaci havárie a předává požadavky na vybavení zasahujících prostředky OOPP.

Podle charakteru havárie se provádí odstranění znečišťující látky odsátím, seškrábnutím nebo použitím sorbentů, kontaminované zeminy se odtěžují a odváží v režimu ADR na biodegradační zařízení nebo skládky nebezpečného odpadu. Kapalně odpady se odváží cisternovými vozy na deemulgační a neutralizační zařízení. Technik kromě řízení prací v místě havárie provádí průběžně dokumentaci místa zásahu a odebírá vzorky zemín pro laboratorní analýzy.

Ročně je SHS SITA CZ a.s. řešeno cca 100-120 zásahů od úniku desítek litrů oleje po velké havárie s únikem stovek tun nebezpečných látek. Obrazová dokumentace významných zásahů SHS z poslední doby bude součástí přednášky.

LITERATURA

1. Vyslouzil L.: Metodický postup SHS, SITA CZ a.s. (2013).

4P-01 ENKAPSULACE PROBIOTICKÝCH BAKTERIÍ

JANA HURTOVÁ, TEREZIE VYSKOČILOVÁ,
MONIKA VRTNÁ, ANDREA LICHNOVÁ,
IVANA MÁROVÁ

Fakulta chemická VUT v Brně, Purkyňova 464/118, 612 00
Brno
xchurtova@fch.vutbr.cz

Práce byla zaměřena na enkapsulaci probiotických bakterií *Lactobacillus acidophilus* a *Bifidobacterium breve* do organických mikročástic. Částice byly připraveny na enkapsulátoru B 395 Pro – Büchi. Jako materiál byl použit alginát, alginát s přísadkou škrobu (20 %) a celulosy (20 % a 30 %) a chitosan s přísadkou škrobu (20–30 %). Velikost chitosanových částic byla 300 µm a 450 µm, všechny ostatní částice byly o velikosti 300 µm.

Stabilita částic byla sledována v průběhu dlouhodobého uchování v modelových potravinách i v modelovém fyziologickém prostředí (umělá žaludeční, žlučová a pankreatická šťáva). Stabilita částic byla posuzována mikroskopicky (počítání živých a mrtvých buněk a buněk uvolněných z částic). Průtokovou cytometrií byla stanovována viabilita enkapsulovaných bakterií, která po 24hodinové kultivaci dosahovala více než 90 % podílu živých buněk.

Všechny částice byly poměrně stabilní ve žlučové a žaludeční šťávě. V pankreatické šťávě došlo k rozpadu částic a k uvolnění bakterií do roztoku, nejvíce z alginátových a chitosanových částicích se škrobem (více než 60 %). Částice byly poměrně stabilní i v modelových potravinách. Nejvíce mrtvých bakterií bylo nalezeno ve 3% kyselině octové (simulant kyselé potraviny), probiotickým kmenům nevyhovuje kyselé prostředí. Jako reálné prostředí pro uchování enkapsulovaných probiotických bakterií bylo použito mléko. Ve všech typech částic byl i po 4 týdnech počet živých buněk nad 80 %.

Enkapsulace byla úspěšná u obou typů probiotických bakterií a použité materiály byly pro enkapsulaci vhodné. Většina vytvořených částic je dlouhodobě stabilní a enkapsulované bakterie si udržují viabilitu. Vhodnou kombinací materiálu lze enkapsulaci využít k cílenému transportu a řízenému uvolnění probiotických bakterií v trávicím traktu.

Práce vznikla za podpory projektu „Centrum materiálového výzkumu na FCH VUT v Brně – udržitelnost a rozvoj, r.č. LO1211, za finanční podpory Národního programu udržitelnosti I MŠMT.

4P-02 ENZYMATICKÁ HYDROLÝZA KÁVOVÉ SEDLINY

MARTIN PALA^{a,b}, STANISLAV OBRUCA^a,
VERONIKA SLAVICKOVÁ^b, PAVLA BENESOVÁ^{a,b},
VILIAM HLAVACEK^{a,b}, IVANA MAROVA^{a,b}

^a Centrum materiálového výzkumu, ^b Ústav chemie potravin a biotechnologií, Fakulta chemická, Vysoké učení technické v Brně, Purkyňova 464/118, 612 00 Brno
xcpalam@fch.vutbr.cz

Káva patří mezi velice oblíbené produkty, po ropě se jedná o druhou nejprodávanější komoditu na světě. Roční objem produkce kávy v roce 2012 přesáhl 8 miliónů tun, ale generuje velké množství odpadních produktů, které představují potenciální ekologický problém. Na druhé straně nabízí možnosti jejich valorizace např. jako substrát pro biotechnologické procesy, které je ovšem potřeba nejprve hydrolyzovat na fermentovatelné cukry. Enzymatická hydrolyza je hlavním tématem této studie. Bylo zjištěno, že na kávě jako uhlíkatém substrátu je schopná růst celá řada mikroorganismů, které v průběhu růstu produkují enzymy potřebné k enzymatické hydrolyze.

Tato práce se zabývá studiem hydrolytických enzymů produkovaných plísní a stanovením jejich charakteristik. Byly stanoveny hodnoty pH a teplotního optima daných enzymů zodpovědných za hydrolyzu kávové sedliny na fermentovatelné cukry a stanovena produkční křivka. pH optimum pro hydrolytickou aktivitu enzymového koktejlu vůči kávové sedlině bylo stanoveno na 7, teplotní optimum bylo 40 °C. Nejvyšší hydrolytická aktivita enzymového koktejlu ($18,86 \mu\text{mol min}^{-1} \text{ml}^{-1}$), byla zaznamenána 15. den kultivace, která probíhala po dobu 30 dní. Podle prvotních screeningových experimentů obsahuje enzymatický koktejl celulózy, hemicelulózy či proteázy. Následující experimenty budou zaměřeny na podrobnou charakterizaci enzymatického koktejlu a také na optimalizaci procesu enzymatické hydrolyzy kávové sedliny.



Tato práce vznikla za podpory grantu CMV na FCH VUT v Brně, r.č. LO1211, za finanční podpory NPUI (MŠMT).

4P-03

DLOUHODOBÉ SLEDOVÁNÍ AKTIVIT ^{90}Sr V NĚKTERÝCH POTRAVNÍCH KOMODITÁCH**MILUŠE BARTUSKOVÁ^b, EVA SCHLESINGEROVÁ^a**^a Státní ústav radiační ochrany v.v.i., Bartoškova 28, 140 00 Praha 4, ^b Státní ústav radiační ochrany v.v.i., pobočka Ostrava, Syllabova 21, 703 00 Ostrava 3

Státní ústav radiační ochrany v.v.i. (SÚRO) se kromě jiných činností zabývá monitorováním obsahu radioaktivních prvků v různých součástech životního prostředí, které zajišťuje jako součást Radiační monitorovací sítě ČR podle platného Monitorovacího plánu. Jedním ze sledovaných radionuklidů je ^{90}Sr , které bylo do životního prostředí uvolněno jako jeden z produktů štěpných reakcí nejprve po zkouškách atomových zbraní v 50. a 60. letech 20. století a v daleko menší míře také po havárii jaderného reaktoru v Černobylu.

Stroncium se chemicky podobá vápníku, a proto ^{90}Sr po vstupu do organismu savců přechází do mléka a zabudovává se do kostí. Nejdůležitějším ukazatelem obsahu ^{90}Sr v lidské potravě je pro vysoký obsah vápníku mléko, ať už tekuté nebo sušené. Další ze sledovaných komodit je vzorek smíšené stravy, který reprezentuje průměrnou spotřebu potravin u „průměrného obyvatele“ ČR. Údaj o průměrné spotřebě byl převzat z průzkumů Českého statistického úřadu a je pravidelně aktualizován.

Sledování obsahu ^{90}Sr je prováděno radiochemicky, pomocí měření obsahu jeho prvního dceřiného produktu ^{90}Y . ^{90}Y emituje stejně jako ^{90}Sr záření beta, avšak s vyšší energií, která je lépe měřitelná. Stanovení začíná rozkladem vzorku a jeho převedením do roztoku, oddělením rušivých prvků včetně yttria srážením, vyčkááním na nárůst ^{90}Y (minimálně 18 dnů) a poté odseparováním Sr od Y a vysrážením pevného štavelanu yttritického, který je poté po dobu asi jednoho týdne opakovaně proměřován kvůli sledování poklesu aktivity ^{90}Y . Poté je z naměřených hodnot a doby nárůstu ^{90}Y vypočtena teoretická aktivita ^{90}Y v době separace od Sr, která je v podmínkách ustavení radioaktivní rovnováhy rovna aktivitě ^{90}Sr .

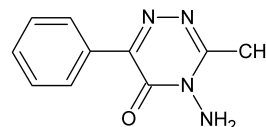
V plakátovém sdělení jsou ukázány časové průběhy grafů s výsledky měření obsahu ^{90}Sr v tekutém mléce na Severní Moravě (1988 – dosud) a v Praze (1965 – dosud), dále v sušeném mléce v jednotlivých regionech ČR (1999 – dosud) a nakonec ve vzorcích smíšené stravy rovněž z celé ČR (1999 – dosud). Z průběhů všech výše uvedených grafů vyplývá, že po zvýšení aktivit, způsobeném testy jaderných zbraní i havárií v Černobylu, se hodnoty dostávají na víceméně stabilizovanou úroveň danou rozpadem ^{90}Sr z jaderných testů a migrací Sr v ŽP. V několika posledních letech téměř vždy i pod minimální významnou aktivitu (MVA) použité metodiky stanovení a měřicího přístroje – například v případě mléka tekutého je možno pozorovat pokles z hodnoty téměř $0,7 \text{ Bq l}^{-1}$ z roku 1965 na $< \text{MVA} = 0,06 \text{ Bq l}^{-1}$ v roce 2014.

4P-04

VOLTAMETRICKÁ ANALÝZA TRIAZINOVÉHO HERBICIDU METAMITRONU NA PEVNÝCH ELEKTRODÁCH**LENKA BANDŽUCHOVÁ*, RENÁTA ŠELEŠOVSKÁ, JAROMÍRA CHÝLKOVÁ**Ústav environmentálního a chemického inženýrství, Fakulta chemicko-technologická, Univerzita Pardubice, Studentská 573, 532 10 Pardubice
lenka.bandzuchova@upce.cz

Metamitron (MM, Schéma 1) je selektivní herbicid s dlouhým reziduálním působením. Přípravky s MM jako účinnou látkou se používají především pro ochranu cukrové a krmné řepy¹. Díky vysoké rozpustnosti ve vodě je MM velmi mobilní v životním prostředí, což může vést ke kontaminaci povrchových nebo podzemních vod². Byla proto navržena řada citlivých analytických technik na jeho stanovení včetně voltametrických metod v kombinaci se rtuťovými^{3–5}, uhlíkovými^{1,2} nebo bizmutovými⁶ pracovními elektrodami.

Tato práce se zabývá možnostmi voltametrické analýzy MM s využitím dvou typů pevných pracovních elektrod: leštěné stříbrné pevné amalgámové (p-AgSAE)⁷ a borem dopované diamantové (BDDE)⁸. Bylo zjištěno, že MM poskytuje jeden analyticky využitelný redukční (p-AgSAE) resp. oxidační (BDDE) signál. Podmínky diferenční pulzní voltametrie byly optimalizovány pro obě pracovní elektrody a navržené metody byly úspěšně aplikovány pro analýzu reálných vzorků přírodních vod a herbicidního přípravku.

Schéma 1. **Strukturní vzorec MM**

Tato práce vznikla za finanční podpory projektu „Posílení excelentních týmů výzkumu a vývoje na Univerzitě Pardubice“ (reg. č. CZ.1.07/2.3.00/30.0021).

LITERATURA

- Arranz A., de Betono S. F., Moreda J. M., Cid A., Arranz J. F.: *Microchim. Acta* 127, 273 (1997).
- Arranz A., Villalba M. F., de Betono S. F.: *Fresen. J. Anal. Chem.* 357, 768 (1997).
- Valentin J. F. A., Altuna A. G., Diez-Caballero R. J. B., Garcia A. A.: *Fresen. Z. Anal. Chem.* 333, 218 (1989).
- Goicolea M. A., Arranz J. F., Barrio R. J., de Balugera Z. G.: *Fresen. J. Anal. Chem.* 339, 166 (1991).
- Ludvík J., Riedl F., Liška F., Zuman P.: *J. Electroanal. Chem.* 457, 177 (1998).
- Arribas A. S., Bermejo E., Chicharro M., Zapardiel A.: *Electroanalysis* 18, 2331 (2006).
- Yosypchuk B., Berek J.: *Crit. Rev. Anal. Chem.* 39, 189 (2009).
- Xu J., Granger M. C., Chen Q., Strojek J. W., Lister T. E., Swain G. M.: *Anal. Chem.* 69, 591A (1997).

4P-05

VYBRANÁ POTENCIOMETRICKÁ MĚŘENÍ
ZA A BEZ PŘÍSTUPU VZDUCHULADISLAV NOVOTNÝ^{a*}, PETR LANGÁŠEK^b,
RENÁTA PETRÁŇKOVÁ^a, ABRAHAM KABUTEY^a

^a Univerzita Pardubice, Fakulta chemicko-technologická, Ústav environmentálního a chemického inženýrství, Studentská 573, 532 10 Pardubice, ^b ČEZ, a.s., Duhová 2/1444, 140 53 Praha 4
nvt.l@seznam.cz

Soubor potenciometrických metod představuje v praxi nejrozšířenější elektrochemické techniky¹. Často jsou využívány za běžných atmosférických podmínek. To ovšem předpokládá, že složky rozpuštěného vzduchu neovlivňují měřený systém víc, než to dovolují meze přijatelných experimentálních chyb. Výzkum ukázal, že mezi rušivé faktory, které nežádoucí ovlivňování způsobují, patří např. tvorba a hromadění oxidačních produktů na detekční elektrodě, parazitní redox-děje (zahrnující např. vliv kyslíku a aktivních složek), nebo rušivé adsorpční děje na rozhraní elektroda/roztok. Význam má i složení a konzistence detekční elektrody (stav jejího povrchu, uplatněný postup měření apod.) a v neposlední řadě i stav a složení roztoku. Uplatnění těchto aspektů bylo pozorováno zvláště při provádění speciálních měření na vzduchu a pod inertní atmosférou dusíku (N₂).

Pracovními elektrodami byly například buď čistá stříbrná nebo amalgamová stříbrná elektroda a použitými médii roztoky obsahující stříbrné ionty, případně i koloidy nebo stopy organických látek. Testován byl rovněž vliv kvality použité vody² (např. vzorku elektrárenských vod z JE Dukovany³), v závislosti na způsobu její přípravy^{2,3}, např. za využití čiření, filtrace (popř. i destilace), demineralizace, katexů a anexů, pomocí již zmíněné stříbrné nebo stříbrné amalgamové elektrody^{2,4}.

Tato práce vznikla za podpory grantu MŠMT ČR č. 0021627502 a SGSFChT č. 2014006.

LITERATURA

1. Wang J.: *Analytical Electrochemistry*. VCH Publ., New York 1994.
2. Novotný L.: *DrSc.-Thesis*. AV ČR, Praha 1998.
3. Langášek P.: *Sborník přednášek 5th International Power cycle Chemistry Conference IAPWS*, 2004.
4. Novotný L., Petráňková R., Kabutey A.: *ChemZi* 9, 231 (2013).

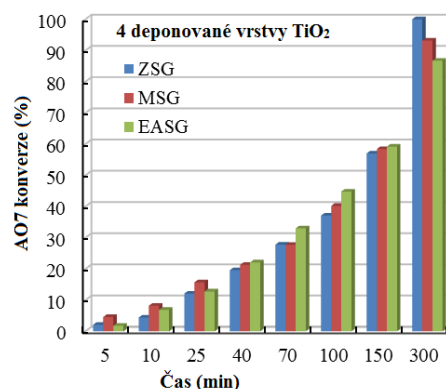
4P-06

SNÍŽENÍ ZNEČIŠTĚNÍ OVZDUŠÍ A VOD
FOTOINDUKOVANÝMI JEVMY NA TENKÝCH
VRSTVÁCH NA BÁZI TiO₂MARCEL ŠIHOR^{*}, KLÁRA VÁGNEROVÁ, ZDENEK
LACNÝ, LENKA MATĚJOVÁ, MONIKA CEŠLAROVÁ,
PETR PRAUS, LUCIE OBALOVÁ, KAMILA KOČÍ

VŠB-TU Ostrava, 17. listopadu 15/2172, 708 33 Ostrava
marcel.sihor@vsb.cz

Tenké filmy na bázi TiO₂ byly připraveny třemi různými sol-gel technikami, s cílem otestovat je, jak na fotokatalytickém rozkladu N₂O, tak na fotokatalytické oxidaci azo barvivy (Orange 7). Připravené tenké filmy byly charakterizovány pomocí RTG, UV-Vis spektroskopii, Ramanovou spektroskopii, mikroskopii atomárních sil (AFM) a SEM-EDAX technikami.

Fotokatalytický rozklad N₂O byl prováděn v nerezovém vsádkovém reaktoru, který byl ozařován 8W Hg lampou o vlnové délce s maximem v 254 nm a 365 nm. Fotokatalytická oxidace Oranže 7 (AO7) byla prováděna na tenkých filmech nanesených na sodnovápených petriho miskách. Tento rozklad byl prováděn za pomoci 8W Hg lampy o vlnové délce s maximem v 365 nm (obr. 1). Byla sledována korelace mezi mikro strukturou a optickými vlastnostmi tenkých vrstev a jejich fotoindukční účinností pro odstranění jednotlivých znečišťujících látek, jak z kapalně, tak i plynné fáze.



Obr. 1. Závislost konverze AO7 na čase

Práce vznikla za finančního přispění Ministerstva školství, mládeže a tělovýchovy v rámci účelové podpory programu „Národní program udržitelnosti I“, projekt LO1208 „Teoretické aspekty energetického zpracování odpadů a ochrany prostředí před negativními dopady“ a projektu SP2014/62 a SP2014/48.

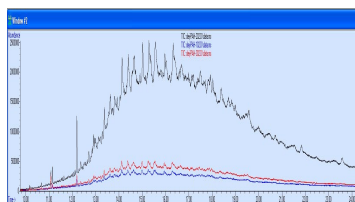
4P-07

HAZARDOUS SUBSTANCES AND OIL

HELENA HYBSKÁ, VERONIKA VEKOVÁ, EVA RUŽINSKÁ

Technical University in Zvolen, Masaryka 24, 960 53 Zvolen, Slovensko
 hybska@tuzvo.sk, velkova@tuzvo.sk, eva.ruzinska@tuzvo.sk

Regeneration of used oil is an environmentally better solution for restoration their basic properties and also reduction of the amount of produced hazardous waste. Our research is focused on the determination and comparison of the composition of mineral turbine oil X-46EP namely unused oil, used and reclaimed. Regeneration was performed on Electrostatic principal using the apparatus ELC – R6PSP¹. Composition of each sample was determined by gas chromatography with mass detection (GC–MS) Agilent 5975C. Range of compounds in all samples is quite wide. Sample comparison showed that in both samples are only 11 same compounds, some of which are toxic to aquatic organisms and may cause long term adverse effects in the aquatic environment, e.g. 1-methylnaphthalene, 2-methylnaphthalene, or to demonstrate their genotoxicity (eicosan)². Reclaimed oil has the smallest representation of the components, because in the regeneration proces of used oils were other compounds removed. Only one compound, namely nonadecen, was not removed in the cleaning process of used oil. The other compounds are identical with compounds included in new oil. Used oil contains 10 compounds that were not found in other samples and we assume that they are products of the physico-chemical processes that the oil has been exposed to during operation.



From the chromatogram, we can conclude that in the composition of the new and reclaimed oil is not a significant difference, and this kind of oil regeneration is crucial to the possible contamination of environmental media hazardous materials.

Research was supported of Slovak Ministry of Education, KEGA proj. 023-TUZ-4/2012.

REFERENCES

1. Ilčík Š., Štollmann V., Šmal P.: *In Lubrication.*, No. 3, p. 24–26 (2010).
2. Zeiger E., Anderson B.: *Mutagenicity Tests V. Results from the Testing of 311 Chemicals Environ. Molec. Mutagen.* 1992.

4P-08

KOVY A ICH ÚČINOK NA ĽUDSKÝ ORGANIZMUS

MIROSLAVA PALACKOVÁ, SIMONA KRUPČÍKOVÁ

Gymnázium V. B. Nedožerského, Matice slovenskej 16,
 971 01 Prievidza, Slovensko
 palackova.miroslava@gmail.com

Práca sa delí na hlavné dve časti. Prvá časť sa vo všeobecnosti zaoberá biogénnymi, toxickými a ťažkými kovmi. V skratke rozoberá ich účinky na ľudský organizmus. Hlbšie rozoberá problematiku hliníka a jeho škodlivosť. V druhej časti sa snažíme potvrdiť alebo vyvrátiť hypotézu, že množstvo hliníka prijímaného z antiperspirantov je porovnateľné s množstvom hliníka prijímaného z hliníkových príborov.

Hypotéza práce vychádza zo zdravotného zákazu používania hliníkových príborov, z dôvodu škodlivosti na zdravie. Stanovil sa obsah hliníka v rôznych antiperspirantoch, ktorých účinnou látkou je chlorid hlinitý alebo pentahydroxid-chlorid hlinitý. Pomocou náhodne vybraných probandov sa určilo priemerné množstvo hliníka aplikovaného na pokožku. Tieto výsledky boli porovnávané s orientačnými meraniami, ktoré mali určiť množstvo rozpusteného hliníka v potrave pri používaní hliníkového príboru.

LITERATÚRA

1. Gažo J., Kohout J., Serätor M. et al.: *Všeobecná a anorganická chémia: Všeobecné vlastnosti kovov*, 3. vyd. ALFA, vydavateľstvo technickej a ekonomickej literatúry, Bratislava 1981.
2. Jursík F.: *Anorganická chemie kovů*, 1. vyd. VŠCHT Praha, 2011.
3. Kaim W., Schwederski B.: *Bioinorganic Chemistry: Inorganic Elements in the Chemistry of Life*, 1.vyd. J. Wiley, Chichester 1994.
4. Reháková M.: *Bioanorganická chémia*, 1. vyd., Univerzita P. J. Šafarika, Košice 1992.
5. Balob M., Tatarko M., Galusek D. et al.: *Odhalené tajomstvá chémie*, 1.vyd. Slovenská akadémia vied, Bratislava 2007.
6. Kramárová Z.: *Ťažké kovy v životnom prostredí človeka*, Dostupné na internete: http://www.enviroedu.sk/database/environmentalne_problemy/tazke_kovy_v_zivotnom_prostredii_cloveka/Enviroedu_Kovy_Zuzka_prednaska.pdf
7. Klinghardt D.: DMPS Challenge, článok. Dostupné na internete: <http://www.klinghardtacademy.com/Articles-with-Protocols/DMPS-Challenge.html>
8. Becaria A., Campbell A., Bondy S. C.: *Aluminium as a toxicant. Toxicology and Industrial Health*, 2002.
9. Zelenský I., Vadkertiová E.: *Chemické rovnováhy a možnosti využitia v odmernej analýze pre potreby chemickej olympiády*. Metodické centrum mesta Bratislavy, Bratislava 1999.

4P-09

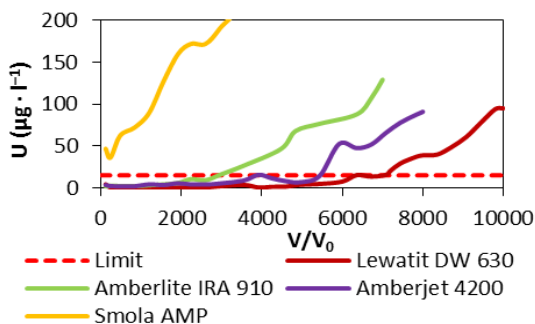
ODSTRAŇOVÁNÍ URANU POMOCÍ ANEXŮ Z VODNÝCH ROZTOKŮ

HANA PORSCHOVÁ, HELENA PARSCHOVÁ

VŠCHT Praha, Technická 1905/5, 160 00 Praha 6
porschoh@vscht.cz

Uran je radioaktivní těžký kov a představuje tedy nejen radiologické riziko (vyzařuje částice α , v menší míře také β a záření γ), ale také toxikologické riziko (ukládá se v kostech a ledvinách a porušuje jejich funkci). Podle doporučení WHO byl v roce 2004 limit uranu v pitné vodě stanoven na $15 \mu\text{g l}^{-1}$, v roce 2012 byl však tento limit zmírněn na $30 \mu\text{g l}^{-1}$. Státní zdravotní ústav však s tímto zmírněním nesouhlasí a hlavní hygienik stále doporučuje limitní hodnotu uranu v pitné vodě $15 \mu\text{g l}^{-1}$ s možnými individuálními výjimkami tam, kde se pod tuto hodnotu nepodaří koncentraci snížit^{1,2}. Forma výskytu uranu závisí na pH, oxidačně-redukčním potenciálu a celkovém složení vody. Nejčastěji se vyskytuje ve formě částice UO_2^{2+} , která tvoří aniontové komplexy s uhličitánovými a síranovými ionty³.

V této práci byly porovnávány různé typy silně bazických anexů při sorpci uranu z vody. Použité anexy byly převedeny do SO_4^{2-} formy a sorpce probíhala při specifickém zatížení $s = 25 \text{ V/V}_0 \cdot \text{h}^{-1}$. Pro kolonové experimenty bylo použito 5 ml anexu s výškou lože cca 6 cm. Jako modelový roztok byl použit roztok uranu (5 mg l^{-1}) ve vodovodní vodě, jehož pH bylo upraveno na 8. Za těchto podmínek byly použité anexy Lewatit DW 630, Amberlite IRA 910 Cl a Amberjet 4200 Cl schopny snížit koncentraci uranu v pitné vodě na hodnoty pod $15 \mu\text{g l}^{-1}$. Ukrajinský sorbent Smola AMP za těchto podmínek koncentraci pod limitní hodnotu snížit nedokázal.

Obr. 1. Množství U ($\mu\text{g l}^{-1}$) v upravené vodě v průběhu sorpce

Financováno z účelové podpory na specifický vysokoškolský výzkum (MŠMT č.20/2014).

LITERATURA

1. http://www.szu.cz/uploads/documents/chzp/voda/pdf/uran_12032013.pdf (staženo 30. 5. 2014).
2. http://www.szu.cz/uploads/documents/chzp/ovzdusi/konz_dny_a_seminare/konz_den_hzp_2009/07_kozi_sek_uran_zdr_rizika.pdf (staženo 22. 1. 2013).
3. Pitter P.: Hydrochemie (2009).

4P-10

ZKOUMÁNÍ SORPCE A DESORPCE CHROMANŮ NA SELEKTIVNÍM SORBENTU S AMINOMETHYLGLUCITOLOVOU FUNKČNÍ SKUPINOU

MICHAL NĚMEČEK, HELENA PARSCHOVÁ

VŠCHT Praha, Technická 5, 166 28 Praha
nemeceki@vscht.cz

Sloučeniny chromu i elementární chrom^I mají značné využití v průmyslu. Zatímco elementární chrom a jeho trojmocné sloučeniny jsou prakticky netoxické, všechny šestimocné sloučeniny chromu jsou mutagenní a karcinogenní. Nejvyšší mezní hodnota koncentrace Cr v pitné vodě stanovená vyhláškou² je $50 \mu\text{g l}^{-1}$.

Sorbent s aminomethylglucitolovou funkční skupinou (Purolite S 110), použitý pro sorpci chromanů, vykazuje poměrně dobrou užítelnou kapacitu a selektivitu k Cr^{VI} . Během sorpce pravděpodobně dochází k redukci části zachyceného Cr^{VI} na Cr^{III} , kterou je možné indikovat změnou zabarvení ionexu ze žluté (zachycený Cr^{VI}) na zelenou (Cr^{III}).

Vsádkové pokusy provedené se sorbentem Purolite S 110 ukázaly, že maximální sorpční kapacity bylo dosaženo při pH 3 ($69 \text{ mg Cr}^{\text{VI}}$ na 1 ml ionexu). Při pH 4 bylo dosaženo přibližně stejné sorpční kapacity. Z doprovodných iontů Cl^- , NO_3^- a SO_4^{2-} měly na sorpci největší záporný vliv SO_4^{2-} ionty (při pH 4 došlo k poklesu kapacity 1 ml sorbentu z $69 \text{ mg Cr}^{\text{VI}}$ na $41 \text{ mg Cr}^{\text{VI}}$).

Kolonové sorpční experimenty byly provedeny s modelovým roztokem Cr^{VI} připraveným z demineralizované vody, bez doprovodných iontů. Objem sorbentu byl 10 ml, specifické zatížení kolony bylo $10 \text{ V/V}_0 \text{ h}^{-1}$. Vstupní koncentrace Cr^{VI} iontů se pohybovala v rozmezí 5–5,3 mg l^{-1} . Užítelná kapacita sorbentu vztážená k výstupní koncentraci Cr^{VI} $50 \mu\text{g l}^{-1}$ byla $15,2 \text{ mg ml}^{-1}$ sorbentu.

Problematická se ukázala být regenerace sorbentu po sorpční fázi. Desorpční experimenty byly vždy provedeny s 2 ml sorbentu po sorpční fázi nultého cyklu. Regenerace byla provedena vždy ve dvou stupních. První byl pokaždé použit 1M roztok NaOH v množství 10 V/V_0 . Při druhém stupni byly vyzkoušeny tyto regenerační roztoky: HCl, H_2SO_4 , HCl + $(\text{COOH})_2$, H_2SO_4 + $(\text{COOH})_2$. Ani při druhém stupni regenerace se nepodařilo ze sorbentu vytěsnit veškerý zachycený Cr^{VI} .

Tato práce byla financována z účelové podpory na specifický vysokoškolský výzkum (MŠMT č.20/2014).

LITERATURA

1. Pavel Pitter: Hydrochemie, Vydavatelství VŠCHT Praha, Praha 2009.
2. 252/2004 Sb., Vyhláška ministerstva zdravotnictví ze dne 22. 4. 2004.

4P-11

**MONITORING VYBRANÝCH PAH_S NA HALDĚ
EMA POMOCÍ HPLC ANALÝZY****ELIŠKA SARČÁKOVÁ, LENKA JOCHYMOVÁ,
DALIBOR SUROVKA**

*Vysoká škola báňská – Technická univerzita Ostrava,
17. listopadu 15/2172, 708 33 Ostrava - Poruba
eliska.sarcakova@vsb.cz*

Tato studie se zabývá stanovením vybraných poly-
cyklických aromatických uhlovodíků v prachových
částicích haldy Ema o zrnitostním rozmezí pod 0,063
mm a 1,0–0,063 mm. Vzorky byly odebírány pasivní
metodou vzorkování pomocí filtrů z bílé nebarvené
polyuretanové pěny (PUF). Následně byly vzorky vylu-
hovány za užití Soxhletovy extrakce ve směsi *n*-hexanu
a acetonu v poměru 1:1. Za účelem oddělení alkanové
frakce z jednoduchých aromatických uhlovodíků se
vzorky podrobili přečištění s následnou frakcionací.
Takto upravené analyty byly analyzovány na přístroji
DIONEX s fluorescenčním detektorem. Stanovení
PAHs proběhlo pomocí HPLC analýzy s rozpouštědlem
acetonitril při různých teplotách kolony, z nichž nej-
vhodnější byla při 25 °C s průtokem fází 0,5 ml min⁻¹
a detekční limit 210 nm. Celkem bylo stanoveno 6 vy-
braných zástupců PAHs. Nejvyšších hodnot obsahu
PAHs na prachových částicích dosáhl Benzo[a]pyren
(0,63 mg m⁻³). Naopak nejmenších Benzo[k]fluoranten
(0,25 mg m⁻³).

5L-01 NEPREKONANÁ POPULARIZÁTORKA VEDY

JÁN REGULI

*Pedagogická fakulta Trnavskej univerzity, Priemyselná 4,
918 43 Trnava, Slovensko
jan.reguli@truni.sk*

Prelom 18. a 19. storočia je spojený s dovtedy nevidaným rozvojom vedy, súvisiacim s priemyselnou revolúciou a vynálezom parného stroja. Spojený je tiež s prvými vedcami, ktorí si uvedomili potrebu popularizácie vedy a šírenia poznatkov medzi laikov. Prednášky H. Davyho od roku 1801 sa stali skutočným ťahákom pre londýnsku smotánku. Mladej Jane Marcetovej sa zdal byť ich obsah príliš zložitý. Jej mohol obsah prednášky vysvetliť manžel – lekár a chemik, iné mladé dámy také šťastie nemali. Toto bolo motívom k napísaniu *Konverzácií o chémii*, knihy, ktorá ku chémii priviedla aj budúcich priekopníkov vedy – prvým bol Michael Faraday. Konverzácie nemali byť učebnicou, aj keď sa ňou stali a vyšli v desiatkach vydaní v mnohých krajinách.

Jane Marcetová v *Konverzáciách o chémii* sledovala aktuálny stav poznania a do nových vydaní zapracovávala nové poznatky. Zahrnula do nich aj laboratórne cvičenia, čo bolo začiatkom 19. storočia novinkou. Prijala Lavoisierovu schému klasifikácie prvkov, chemické reakcie vysvetľovala prostredníctvom afinity, agregácie a odpudzovania. V neformálnych dialógoch opisovala objavy Galvaniho, Voltu, Franklina, Rumforda, Priestleyho, Cavendisha, Davyho a ďalších. V roku 1845, ako 76-ročná, pre svoje najbližšie vydanie žiadala Faradaya o informáciu o jeho najnovšom objave.

Jane Marcetová bola mimoriadne úspešnou predstaviteľkou komunikácie a popularizácie vedy. *Konverzácie o chémii* boli jej prvým a najvydávanejším dielom, podobne v konverzáciách sprístupnila fyziku, botaniku, históriu, teológiu a dokonca aj gramatiku. Pani Marcetová je príkladom, že komunikácia a popularizácia vedy je tiež veda a treba mať na ňu talent. Z celospoločenského hľadiska môže byť dobrý popularizátor a učiteľ užitočnejší než vedec, pretože dokáže nadchnúť masu. Pani Marcetovej sa to bezpochyby podarilo.

Táto práca vznikla s podporou grantu MŠVaV SR KEGA 004TTU-4/2013 Tvorba vzdelávacích materiálov pre pregraduálne a celoživotné vzdelávanie učiteľov chémie a riešiteľov úloh CHO.

LITERATÚRA

1. www.rsc.org/Library/Collections/Historical/Conversations
2. Dreifuss J.-J., Tikhonov Sigrist N., v knize: *For Better or For Worse? Collaborative Couples in the Sciences*. (A. Lykknes et al., ed.), 2012.
3. Rosenfeld L.: *Clinical Chem.* 47, 784 (2001).
4. Fyfe A. (2004) www.nuigalway.ie/history/fyfe/documents/marcel_proofs.pdf

5L-02 BEZPEČNOST A OCHRANA SPOLEČNOSTI

IVAN MAŠEK*, ZDENĚK ŠAFAŘÍK, DUŠAN VIČAR

*Univerzita Tomáše Bati ve Zlíně, Fakulta logistiky a krizového řízení, Studentské nám. 1532, 686 01 Uherské Hradiště
masek@flkr.utb.cz*

Lidstvo od začátku existence svádí boj o přežití, bojuje s přírodními živly, k nimž se v moderní době přiřadily antropogenní události. S postupující globalizací se ohrožení společnosti zvyšuje, spolu s globalizací postupuje ruku v ruce i hrozba terorizmu. Z tohoto hlediska je nutné si uvědomit, že bezpečnost obyvatel a společnosti je věcí každého z nás v tom nejširším slova smyslu. Při respektování reality, vyhodnocení možných dopadů uvedených rizik a hrozeb je patrné, že opatření, která budou snižovat tato nebezpečí a jejich případné následky, jsou vlastně nutnou součástí běžného života společnosti, řešící ochranu celé společnosti, což je pak možné vnímat jako jeden ze základních pilířů systému bezpečnosti společnosti.

Ochrana obyvatelstva představuje souhrn opatření, které napomáhají k zabezpečení ochrany života a zdraví lidí, majetku a životního prostředí. Neodmyslitelnou součástí je výchova a vzdělávání, kdy nutně musí být začleněna problematika ochrany obyvatelstva do systému vzdělávání na školách umožňující dlouhodobě působit na jedince formou pravidelné a povinné výuky. Úroveň výchovy a vzdělávání nereflektuje reálné hrozby a důsledky plynoucí z mimořádných událostí či krizových situací, kterých rok od roku přibývá, což se odráží i v přípravě odborníků. Významnou příležitostí rozvoje výchovy a vzdělávání je další rozvíjení pravidelného vzdělávání na všech stupních škol. Výchova a vzdělávání musí být chápána vážně a všestranně zabezpečena. To znamená stanovit práva a povinnosti, pravidla, úkoly a role všech zainteresovaných subjektů, včetně role občana, jenž ponese svůj díl odpovědnosti vůči sobě samému, svým blízkým a vůči státu. Tento systém bude podpořen právními předpisy a zároveň bude v souladu s metodickou činností státní správy. Funkčním systémem pak zvýší úroveň znalostí obyvatelstva a odborníků.

5L-03 VYUŽITÍ ZKUŠENOSTÍ ZE ZÁVAŽNÝCH HAVÁRIÍ KE VZDĚLÁVÁNÍ OBYVATELSTVA A VÝUCE STUDENTŮ V OBLASTI CHEMIE

ZDENĚK ŠAFAŘÍK, IVAN MAŠEK, DUŠAN VIČAR

*Tomas Bata University in Zlín, nám. T. G. Masaryka 5555,
760 01 Zlín
safarik@flkr.utb.cz*

Na základě vyhodnocení zkušeností ze závažných havárií a dalších mimořádných událostí v minulosti je potřebné přistupovat k objasnění jejich příčin a důsledků a využít tyto zkušenosti ke vzdělávání obyvatelstva, ale i v oblasti výuky na různých stupních naší vzdělávací soustavy, vysokoškolská zařízení nevyjímajíc. Z chemické továrny v Břohpálu společnosti Union Carbide uniklo přibližně 40 tun methylisokyaná-

tu, kyanovodíku a dalších látek s negativním dopadem na zdraví člověka. Následovala mnohá poškození lidského zdraví a úmrtí. Z látek, které se do životního prostředí dostaly, můžeme jmenovat například pesticidy, těžké kovy, chlorované chemikálie a jiné. Další byla havárie jaderné elektrárny Černobyl, která nastala v mimořádném režimu. Ze zdravotního hlediska nejdůležitějšími radioaktivními látkami, které způsobily radioaktivní kontaminaci, byly cesium a jód. Nejvyšší kontaminace radioaktivním jódem byla v našich podmínkách očekávána u mléka a čerstvé listové zeleniny. Regulace se týkaly i zastavení výroby léků z čerstvých hovězích žláz a spotřeby zvěřiny. Způsob, jakým se projeví toxické účinky chemických látek na organismus, označujeme jako klinický projev intoxikace. Nejběžnějšími toxickými projevy jsou účinky na gastrointestinální trakt, kardiovaskulární systém, dýchací systém, imunitní a nervový systém. Aktuální oblastí je i oblast možného zneužití CBRN látek teroristy. Z tohoto krátkého přehledu vyplývá potřeba informování veřejnosti o haváriích, ale především potřeba jejího neustálého vzdělávání, potřeby skloubit propagování a výuku chemie s problematikou ohrožení konkrétního území ČR v minulosti a využit těchto zkušeností za účelem vypracování kvalitních a účinných preventivních opatření v oblasti eliminace havárií a ohrožení obyvatelstva chemickými látkami.

5L-04

METODY FYZIKÁLNÍ CHEMIE – INOVACE LABORATORNÍHO CVIČENÍ

BARBORA HRVOLOVÁ, JIŘÍ KALINA, TOMÁŠ ZELENKA

*Ostravská univerzita v Ostravě, Přírodovědecká fakulta, Katedra chemie, 30. dubna 22, 701 03 Ostrava
B.Hrvolova@seznam.cz*

Vypracování kvalitních, zajímavých, názorných a srozumitelných laboratorních návodů je klíčovým krokem pro propojení teoretických znalostí studentů s reálnými laboratorními aplikacemi. Dostupnost návodů také v multimediální verzi formou obrazové komentované prezentace usnadní přípravu a zlepší porozumění úloh, které následně umožní studentům zdokonalit své teoretické i praktické dovednosti v laboratorní praxi při fyzikálně chemických měřeních.

Hlavním cílem tohoto příspěvku je inovace dvanácti laboratorních cvičení do předmětu Metody fyzikální chemie. Tento kurz je na Ostravské univerzitě v Ostravě součástí studijního plánu jak pro bakalářské (Chemie, Fyzika) tak navazující magisterské programy (Aplikovaná fyzika, Biofyzika). V akademickém roce 2013/2014 absolvovalo tento předmět celkem 27 studentů z výše uvedených studijních programů.

Příspěvek představí multimediální návody k laboratorním úlohám, jak byly zpracovány formou obrazové komentované prezentace. Budou prezentovány úlohy zaměřené na stanovení fyzikálně-chemických veličin, jako jsou viskozita a povrchové napětí kapalin, index lomu organických sloučenin, disociační konstanta kyselin, spalné teplo a adsorpční kapacita pevných látek a Poissonova konstanta.

Tento příspěvek je podpořen z projektu IRP201441 (Inovace laboratorních cvičení z Metod fyzikální chemie).

5L-05

CHÉMIA OČAMI STREDOŠKOLÁKA – VÝUČBA, PODUJATIA, VÝZNAM

MIROSLAVA PALACKOVÁ^a, ŠTEFAN STANKO^b

*^aGymnázium V. B. Nedožerského, Matice slovenskej 16, 971 01 Prievidza, ^bGymnázium A. Vrábla, Mierová 5, 934 01 Levice, Slovensko
palackova.miroslava@gmail.com, stefan.stanko196mail.com*

Prednáška je zameraná na výuku stredoškôľakov v oblasti chémie, na spôsob prehľbovania základných vedomostí, ale aj na štúdium pokročilejších poznatkov z chémie už u žiakov gymnázií. Budú zhrnuté pozitíva a nedostatky výučby chémie na neodborných stredných školách v Slovenskej republike.

Ďalej sa v prednáške budeme venovať stručnej histórii chemickej olympiády, jej organizácii a systému, vplyvu na študentov a s ňou súvisiacimi akciami ako sú Letná škola chemikov, Korešpondenčný seminár z chémie, výberové sústredenia na Medzinárodnú chemickú olympiádu a samotná Medzinárodná chemická olympiáda. Úzko súvisiacou témou je aj motivácia, ktorá posúva žiakov v štúdiu na hranicu svojich možností. Nemožno zabudnúť aj na kamarátske a pracovné vzťahy vznikajúce počas týchto podujatí, ktoré umožňujú rozširovanie si vedomostí a tým rozvíjanie chemickeho čítania.

Posledná časť prezentácie bude zameraná na 46. ročník Medzinárodnej chemickej olympiády, ktorá sa koná v dňoch 20.–29. júla 2014 v Hanoji vo Vietname a na ktorej sa zúčastnia obaja autori.

Celkovým cieľom prednášky je priblížiť prítomným udalosti a podujatia z oblasti chémie z pohľadu stredoškôľaka, ktorý sa väčšinou zapája ako účastník, zriedka ako organizátor, a pohľad mladých študentov aj na vysokoškolské učivo a jeho pochopenie.

LITERATÚRA

1. Sirota A.: *The competition problems from the International Chemistry Olympiads*, Vol. 1, 2, Iuventa, Bratislava 2008.
2. Slovenská chemická spoločnosť: ChemZi – slovenský časopis o chémii pre chemické vzdelávanie, výskum a priemysel. SCHS, Bratislava. 2005–2013.
3. Iuventa: Chemické rozhľady – Časopis pre skvalitňovanie vyučovania chémie, vydavateľstvo STU Bratislava. 2000–2011.

5P-01
BADATELSKY ORIENTOVANÉ VYUČOVÁNÍ
CHEMII JAKO VÝZVA PRO POČÍTAČEM
PODPOROVANÝ ŠKOLNÍ CHEMICKÝ
EXPERIMENT

MARTIN BÍLEK

*Přírodovědecká fakulta Univerzity Hradec Králové, Rokitsanského 62, 500 03 Hradec Králové
 martin.bilek@uhk.cz*

Badatelsky orientovaným přírodovědným vzděláváním se rozumí přístup označovaný v anglickém jazyce jako IBSE (Inquiry-Based Science Education). Český ekvivalent tohoto pojmu je stále ještě předmětem diskusí, a tak je možné se setkat s označením např. „badatelsky orientované přírodovědné vyučování“, ze slovenského překladu inspirovaná „výzkumně laděná koncepce přírodovědného vyučování“ (Held a kol, 2011), případně objevené vyučování přírodovědným předmětům aj. Blízké tomuto konceptu jsou i známé komplexní výukové metody řešení problémů a projektová metoda. IBSE je založené na odklonu od výuky bazírující na pouhém osvojování prezentovaných faktů a její transformaci na výuku, která klade důraz na koncepční porozumění a na vlastní proces osvojování znalostí. Podstatou tohoto přístupu je zapojení učících se do objevování přírodovědných zákonitostí, propojování informací do smysluplného kontextu, rozvíjení kritického myšlení a podpora pozitivního postoje k přírodním vědám. „Inquiry“, překládané ve vzdělávacích souvislostech nejčastěji jako bádání, má v angličtině i řadu dalších výstižně charakterizujících významů badatelské činnosti, a to zjišťování, vyšetřování, šetření nebo dotazování, využívá se i substantivní překlad jako dotaz či otázka. Někdy je „inquiry-orientace“ zejména přírodovědného vzdělávání charakterizována jako přechod od deduktivní výuky k výuce induktivní (Held a kol. 2011). Nakolik je toto označení výstižné, je nutné mít na zřeteli, že i tak jde stále o vzájemně důležitou souhru obou stránek poznávacího procesu, jak empiricko-induktivní tak teoreticko-deduktivní povahy. Při praktických aplikacích IBSE je zřejmé, že školní bádání nebude vždy totožné s bádáním vědců. Je nutné brát ohled na věkové souvislosti, obsahové souvislosti a také souvislosti materiálně-technické. S ohledem na podíl řízení činnosti žáků se rozlišují čtyři úrovně IBSE: bádání potvrzující (confirmation), strukturované (structured), nasměrované (guided) a otevřené (open). V našich aplikacích využíváme pro podporu všech IBSE úrovní přímé spojení reálného chemického experimentu s počítačem a zkoumáme jejich výukovou efektivitu (Bílek, M., Hubý, J., 2012).

Tato práce vznikla za podpory projektu ESF VeNaDo CZ.1.07/2.3.00/45.0014.

LITERATURA

- Held L. a kol.: *Výskumne ladená koncepcia prírodovedného vzdelávania. IBSE v slovenskom kontexte*. TYPI, Bratislava 2011.
- Bílek M., Hrubý J.: *Počítačem podporovaný školní chemický experiment jako prostředek badatelsky orientované výuky*, v knize: *Aktuálně trendy vo vyučovaní prírodných vied*, str. 1–7. Pdf TU, Trnava 2012.

5P-02
TVORBA DEMONSTRATIVNÍCH VIDEÍ URČENÝCH
PRO VÝUKU (BIO)ORGANICKÉ CHEMIE

MICHAL NOVOTNÝ, EVA EISENHAMMEROVÁ,
ROSTISLAV RADVAN, MAGDALENA HERRMANNOVÁ

*Univerzita Hradec Králové, Přírodovědecká fakulta, Katedra chemie, Rokitsanského 62, Hradec Králové
 michal.novotny@uhk.cz*

Projekt Věda na dosah ruky (VeNaDo) je zaměřen na další vzdělávání pracovníků výzkumu a vývoje v oblastech komunikace, popularizace a propagace s důrazem na posílení vazeb vědecko-výzkumné sféry v oblasti přírodních a technických věd a základních, středních a vyšších odborných škol (ZŠ, SŠ a VOŠ). Pomáhá zlepšit komunikační a prezentační dovednosti vědeckých pracovníků, posiluje jejich kompetence v oblasti popularizace a propagace a podporuje práci s mimořádně nadanými studenty v oblasti přírodovědného a technického bádání. Projekt je rozdělen do několika tzv. klíčových aktivit. Jedna z klíčových aktivit zahrnuje vytvoření studijních a didaktických materiálů z chemie, které budou následně v další klíčové aktivitě využity při práci s mimořádně nadanými studenty.

Budou vytvořeny tyto druhy materiálů:

- Metodiky, badatelské návody a pracovní listy
- Badatelská videa
- E-learningová cvičení

Vytvořená demonstrativní videa jsou určena pro užití přímo ve výuce, případně při volnočasových badatelských aktivitách. Díky instruktážním textům je podpořena samostatná badatelská činnost žáků. Videa jsou zaměřena na náročnější laboratorní pokusy, které nemohou být z časových nebo bezpečnostních důvodů běžně realizovány v prostředí školní výuky^{1–3}.

Tato práce vznikla s podporou projektu MŠMT OPVK CZ.1.07/2.3.00/45.0014.

LITERATURA

- McMurry J. E.: *Organic Chemistry*, 8. vyd. Cengage Learning 2011.
- Solomons T. W. G., Craig B. F.: *Organic Chemistry*, 7. vyd. Wiley 2000.
- Hrabálek A. a kol.: *Laboratorní cvičení z organické chemie pro farmaceuty*, Karolinum 2008.

5P-03
CINCH-II: DALŠÍ KROK V KOORDINACI
VZDĚLÁVÁNÍ V OBLASTI JADERNÉ CHEMIE
V EVROPĚ

JAN JOHN jménem CINCH Collaboration

*Katedra jaderné chemie ČVUT v Praze – FJFI, Břehová 8, 115 19 Praha 1
 john@jfifi.cvut.cz; <http://www.cinch-project.eu/>*

Projekt CINCH-II – Coordination of education and training In Nuclear CHEmistry in Europe, je přímým pokračováním

ním projektu CINCH-I. V rámci prvního z těchto projektů byla jako optimální systém pro vzájemné uznávání kvalifikace v oblasti vzdělávání v jaderné chemii v Evropě identifikována „známka kvality“ *EuroMaster* garantovaná European Chemistry Thematic Network Association, případně Division for Nuclear and Radiochemistry EuCheMS. V rámci projektu byl dále proveden průzkum stavu výuky v této oblasti v Evropě, průzkum požadavků koncových uživatelů na kurzy celoživotního vzdělávání, byl vyvinut efektivní systém modulárních výukových kurzů a dvě elektronické platformy – NucWik pro spolupráci při vytváření výukových materiálů a CINCH Moodle pro e-learning.

Projekt CINCH-II je organizován do tří pilířů – Výuka, Celoživotní vzdělávání a Distanční vzdělávání, které jsou podepřeny dvěma průřezovými aktivitami – Vize, udržitelnost a jaderné povědomí (včetně propagace) a Management. Hlavními cíli projektu, u kterých je očekáván nejširší dopad na cílové skupiny, jsou implementace myšlenky *EuroMaster in Nuclear and Radiochemistry*, rozšíření nabídky modulárních výukových kurzů s celoevropským dosahem, zavedení mezinárodně uznávaného *Training Passport in Nuclear Chemistry*, příprava podmínek pro aplikaci evropského kreditního systému pro celoživotní vzdělávání (ECVET) v oblasti jaderné chemie a radiochemie, implementace moderních elektronických výukových nástrojů vyvinutých v předchozím projektu a zavedení dalších takových pomůcek (např. robotické laboratorní úlohy), položení základů pro *Nuclear Chemistry Education and Training Platform* jako budoucí udržitelné *Euratom Fission Training Scheme (EFTS)* pro oblast jaderné chemie a radiochemie, vývoj udržitelných systémů pro mobilitu studentů i učitelů v rámci *Nuclear Chemistry Network* a vývoj nástrojů pro zvýšení povědomí potenciálních studentů, akademiků i aplikační sféry o možnostech, které nabízí jaderná chemie. Projekt CINCH-II má za cíl mobilizovat identifikované fragmentované kapacity v této oblasti tak, aby vznikla kritická hmota nutná pro implementaci kurzů a uspokojení poptávky po postgraduální výuce a celoživotním vzdělávání v Evropské unii. Pro dosažení těchto cílů bude důležitým nástrojem síťování jak na národních úrovních, tak i s existujícími evropskými a světovými platformami.

Tato práce vznikla za podpory grantu 7. RP EU Euratom 605173 CINCH-II.

5P-04

ANALÝZA PREKONCEPTŮ STRUKTURNÍCH VZORCŮ SACHARIDŮ U ŽÁKŮ STŘEDNÍCH ŠKOL

MILAN ŠMÍDL

*Katedra chemie, Přírodovědecká fakulta Univerzity J. E. Purkyně, České mládeže 8, 400 96 Ústí nad Labem
M.smidl@seznam.cz*

Tematický celek sacharidy je nejen žáky, ale i učiteli, považován za jeden z nejobtížnějších z celého středoškolského učiva chemie. Za velmi náročné je považováno zejména znázornění jejich struktury pomocí projekcí a identifikace základních strukturních parametrů – například rozpoznání D/

L enantiomerů, α/β anomerů, aldosa od ketosa a další.

Dětská pojetí (prekoncepty) určitého fenoménu jsou jednou z hlavních individuálních charakteristik každého učícího se jedince¹. Jejich znalost je možné spolu se znalostí miskoncepce využít pro efektivnější výuku zejména náročného a abstraktního učiva².

Příspěvek seznamuje s výsledky analýzy a komparace prekonceptů a miskoncepce (chybných pojetí) týkajících se strukturních vzorců sacharidů znázorněných Haworthovou a Fischerovou projekcí. Výzkumu se účastnilo 245 žáků středních škol gymnaziálního typu, výzkumným nástrojem byl didaktický test³.

Výsledky byly překvapivé, neboť u žáků středních škol byly prokázány významné miskoncepce struktury sacharidů. Žáci mají problémy s cyklizací sacharidů, neboť vnímají totožné sacharidy znázorněné různou projekcí jako různé chemické látky. Otázky zaměřené na kreslení vzorců a určování strukturních parametrů vykazovaly u Fischerovy projekce vyšší chybovost v porovnání s Haworthovou projekcí. Je tedy zřejmé, že využívání několika různých projekcí jednoznačně zvyšuje náročnost učiva sacharidů. Bylo by pravděpodobně vhodnější používat pouze Haworthovu projekci, která je pro žáky přehlednější a setkávají se s ní rovněž v biologii.

LITERATURA

1. Škoda J., Doulík P.: *Psychodidaktika. Metody efektivního a smysluplného učení a vyučování*. Grada, Praha 2011.
2. Barke H.-D., Al Hazari, Yitbarek S., v knize: *Miskonception in Chemistry*, kap. 2, s. 21–36. Springer, Berlin Heidelberg 2009.
3. Chráska M.: *Metody pedagogického výzkumu*, Grada, Praha 2007.

5P-05

SOUTĚŽ O NEJPÁLIVĚJŠÍ CHILLI PAPIŘČKU, URČOVÁNÍ PÁLIVOSTI SKRZE MĚŘENÍ OBSAHU KAPSAICINOIDŮ VE VZORCÍCH METODOU HPLC

KAREL MUSIL, LUDMILA NEUWIRTHOVÁ, JIŘÍ BARTOŠ

*Univerzita Hradec Králové, Rokitanského 62, 500 03 Hradec Králové
Ludmila.newirthova@uhk.cz*

V rámci projektu Věda na dosah ruky je rozvíjen princip tzv. „badatelsky orientované výuky“. Hlubší pochopení probírané látky a zasazení ji do širších souvislostí přírodních věd je rozvíjeno prostřednictvím práce na vědeckém projektu. V tomto projektu byla naplánována soutěž pěstitelů o nejpálivější chilli papričku. Samotná práce poté sestávala ze tří hlavních částí. První byl vývoj metody stanovení kapsaicinu v roztocích vzorku metodou HPLC. Druhým krokem byl vývoj extrakčního postupu s nejlepším poměrem účinnosti, doby extrakce a maximálního počtu souběžně extrahovaných vzorků. Posledním krokem potom bylo měření kapsaicinoidů v zaslaných soutěžních vzorcích a jeho následné vyhodnocení.

Při vývoji metody stanovení bylo vycházeno z metodiky AOAC 995.03. Byly zkušeny různé mobilní fáze, různé poměry a gradienty mobilních fází a různé vlnové délky pro

detekci absorpce v UV. Srovnáním chromatogramů byla zvolena metoda isokratické separace na koloně Kinetex 5u XB-C18 100A, 150 × 4,60 mm v proudu mobilní fáze o složení 50 % acetonitrilu a 50 % vodného roztoku kyseliny octové (1%). Detekce byla provedena měřením absorpce UV záření o vlnové délce 280 nm.

Při vývoji postupu extrakce bylo hlavními úkoly: maximalizovat exkrakční účinnost, minimalizovat čas extrakce a zajistit možnost souběžné extrakce co možná nejvyššího počtu vzorků. První byla zkoumána možnost extrakce pod zpětným chladičem. Byla zkoumána různá rozpouštědla a různé délky extrakce. Poté byly zkoušeny extrakce ve třepačce, v ultrazvukové lázni a v mikrovlnném reaktoru (v tomto případě rovněž různá rozpouštědla a doby extrakce). Jako nejlepší byla zvolena mikrovlnná extrakce o výkonu 500 W do ethanolu a po dobu 40 min. Tímto postupem bylo možné extrahovat souběžně až osm vzorků a rovněž spotřebu vzorků na extrakci bylo možné snížit na pětinu.

Nakonec bylo měřeno 26 soutěžních vzorků. Byla sestavena kalibrační křivka *N*-vanillyl-*n*-nonanamidu. Přes rovnici kalibrační křivky byly přepočteny absorbance peaků kapsaicinu, dihydrokapsaicinu a nordihydrokapsaicinu na hodnoty jejich koncentrací ve vzorku. Tyto koncentrace byly posléze přepočteny na hodnoty ve Scovillově stupnici pálivosti.

Tato práce vznikla za podpory projektu Věda na dosah ruky, reg. č. CZ.1.07/2.3.00/45.0014.

LITERATURA

1. Official Methods of Analysis of AOAC INTERNATIONAL (1996) 16th Ed., AOAC INTERNATIONAL, Gaithersburg, MD, USA, Official Method 995.03.

6L-01**ADVANTAGES AND FLAWS OF ISOCONVERSIONAL METHODS****PETER ŠIMON***, TIBOR DUBAJ

*Department of Physical Chemistry, Faculty of Chemical and Food Technology, Slovak University of Technology, Radlinského 9, 812 37 Bratislava, Slovakia
peter.simon@stuba.sk*

Isoconversional methods are widely applied in thermo-analytical kinetics. They are based on the concept of single-step approximation residing in the substitution of a set of kinetic equations by the single-step rate equation. The main advantage of this approach is that it enables description and modelling of the kinetics of the process without a deeper insight into its mechanism^{1,2}. The isoconversional methods can be divided into three groups, i.e. the differential, incremental and integral ones² where the latter group is mostly used for the treatment of kinetic data. Approximate methods, such as FWO or KAS methods, were developed for the evaluation of kinetic parameters in the experiments measured at linear heating. The reason for developing these methods was the impossibility of expressing the temperature integral when the Arrhenius equation is applied as a temperature function. However, the temperature integral can be expressed in a closed form for non-Arrhenian temperature functions³. It has been demonstrated that, in the temperature range of measurement, the Arrhenius and non-Arrhenian temperature functions are equivalent and describe the experimental data on the same qualitative level. The kinetic parameters from various temperature functions can be then recalculated so that the problems with evaluating the temperature integral can be removed⁴. Application of non-Arrhenian temperature functions has another advantage. When extrapolating the conclusions outside the temperature region of measurements, the stability estimates most corresponding with experience are achieved for the non-Arrhenian temperature functions; the Arrhenius function tends to overestimate the material stability⁵.

A great flaw of isoconversional methods was recognized only recently. In case of variable activation energy, the integral isoconversional methods are mathematically incorrect and the predicted dependence of conversion vs. time shows nonsensical course⁶. Hence, the integral isoconversional methods should be avoided; the incremental methods could be used instead as demonstrated in⁷.

REFERENCES

1. Šimon P.: *J. Therm. Anal. Calorim.* 82, 651 (2005).
2. Šimon P., *J. Therm. Anal. Calorim.* 76, 123 (2004).
3. Šimon P.: *J. Therm. Anal. Calorim.* 79, 703 (2005).
4. Šimon P., Dubaj T.: *J. Therm. Anal. Calorim.*, submitted.
5. Šimon P., Hynek D., Malíková M., Cibulková Z.: *J. Therm. Anal. Calorim.* 93, 817 (2008).
6. Šimon P., Thomas P., Dubaj T., Cibulková Z., Peller A., Veverka M.: *J. Therm. Anal. Calorim.* 115, 853 (2014).
7. Fukumoto T., Thomas P. S., Šimon P., Dubaj T., Stuart B. H.: *J. Therm. Anal. Calorim.* 116, 619 (2014).

6L-02**TERMICKÁ ANALÝZA ANORGANICKO-ORGANICKÝCH XEROGÉLOV****ALFONZ PLŠKO^a**, MIRIAMA TOMAGOVÁ^a, JANKA PAGÁČOVÁ^b, MAREK LIŠKA^c, VLADIMÍRA ZEMANOVÁ^a, BRANISLAV HRUŠKA^c

*^a Trenčianska univerzita A. Dubčeka, Študentská 2, 911 50 Trenčín, ^b Fakulta priemyselných technológií TnU AD, I. Krasku 1809/34, 020 01 Púchov, ^c Vitrum Laugaricio – Centrum kompetencie skla, Spoločné pracovisko ÚACh SAV, TnU AD, FChPT STU a RONA, a.s., Študentská 2, 911 50 Trenčín
alfonz.plzko@tmuni.sk*

Anorganicko-organické materiály, ktoré v sebe spájajú vlastnosti anorganických a organických materiálov, nachádzajú stále širšie uplatnenie, či už ako celooobjemové materiály alebo ako vrstvy¹⁻⁴. Pri ich príprave, ktorá sa s výhodou realizuje metódami sál-gél, je okrem štádia riadenej hydrolyzy a následnej kondenzácie, rozhodujúcim aj proces tepelného spracovania⁵⁻⁷. Vynikajúce vlastnosti týchto materiálov sa dosahujú synergickým efektom anorganickej a organickej zložky. Využitie spomínaného efektu je podmienené veľmi presným riadením procesu tepelného spracovania.

V systéme tetraetoxysilán (TEOS)–oktyltrietoxysilán (OTES)–izopropylalkohol (IPA)–H₂O–HNO₃, kde bol molárny zlomok $x(\text{SiO}_2) = 0,05$ a pomer $x(\text{H}_2\text{O})/x(\text{SiO}_2) = 4$ sme pripravili päť xerogélov, pre ktoré bol pomer $x(\text{TEOS}):x(\text{OTES})$ bol 1:0, 7:1, 3:1, 3:5 a 1:1. Soly pre prípravu xerogélov boli pripravené tak, že do predhydrolyzovaného sólu pripraveného s TEOS-u sa postupne pridali roztok OTES-u v izopropylalkohole. Jednotlivé xerogély sa pripravili sušením príslušných sólov pri 80 °C do konštantnej hmotnosti.

DTA/TG a DSC/TG analýza^{8,9} sa robila na prístroji NETZSCH STA 449 F1 Jupiter pri rýchlosti ohrevu 10 °C/min v požadovanom rozsahu teplôt. Prášková vzorka (~200 mg, frakcia 0,200–0,315 mm), pred meraním umiestnená v prostredí s relatívnou vlhkosťou 52,9 %, sa navážila do korundových téglíkov, ktoré boli zohrievané v inertnej dusíkovej atmosfére. Ako referenčný materiál sa pri meraní použil Al₂O₃. Ramanove spektrá sa namerali v rozsahu 110–900 cm⁻¹ na prístroji RENISHAW inVia Reflex Raman spectrometer s Leica DM2500 mikroskopom.

Analýzou DTA/TG záznamov pre jednotlivé xerogély sa zistili oblasti uvoľňovania vody a rozpúšťadiel z pórov xerogélov, ako aj teploty začiatku ich rozkladu. Prídavok OTES-u do študovaného systému znižuje porozitu výsledných xerogélov a tiež zvyšuje teploty začiatku rozkladu xerogélov. Štruktúrne zmeny anorganicko-organických xerogélov v oblasti teplôt 80 °C až 160 °C sme študovali pomocou DSC a Ramanovej spektrometrie. Zistili sme, že pri teplotách nad 140 °C dochádza k náhlej zmene štruktúry anorganicko-organických xerogélov.

Získané poznatky sú aplikované na vysvetlenie vlastností povrchov anorganicko-organických vrstiev, ktoré boli pripravené zo zodpovedajúcich sólov a tepelne spracované pri teplotách v intervale 100 °C až 160 °C.

Tato práce vznikla s podporou projektu CEKSiM, ITMS kód 262 201 200 56, Operačního programu Výzkum a vývoj financovaného ze zdrojů Evropského fondu regionálního rozvoje.

LITERATÚRA

1. Ma M., Hill R.M.: *Curr. Opin. Colloid Interface Sci.* 11, 1 93 (2006).
2. Hass K.-H., Rose K.: *Rev. Adv. Mater. Sci.* 5, 47 (2003).
3. Sanchez C., Julián B., Belleville P., Popall M.: *J. Mater. Chem.* 15, 3559 (2005).
4. Schmidt H.: *J. Sol-Gel Sci. Tech.* 40, 115 (2006).
5. Sakka S. (ed.): *Handbook of Sol-Gel Science and Technology: Processing, Characterization and Applications*, Kluwer, Boston 2005.
6. Brinker C. J., Scherer G. W.: *Sol-Gel Science: The Physics and Chemistry of Sol-Gel Processing*. Academic Press, Boston 1990.
7. Plško A., Exnar P.: *Silikáty 1*, 69 (1989).
8. Šesták J., Šatava V., Wendlant W. W.: *Thermochimica Acta* 7, 333 (1973).
9. Šesták J., Šimon P.: *Thermal analysis of micro, nano- and non-crystalline materials: Transformation, crystallization, kinetics and thermodynamics*. Springer, Dordrecht 2013.

6L-03

VLIV ZRNITOSTI NA KRYSTALIZACI V PODCHLAZENÉ TAVENINĚ As_2Se_3

JANA SHÁNELOVÁ*, PETR PILNÝ, JIŘÍ MÁLEK

*Katedra fyzikální chemie, Fakulta chemicko-technologická, Univerzita Pardubice, Studentská 95, 532 10 Pardubice
jana.shanelova@upce.cz*

Diferenciální skenovací kalorimetrie se často používá při studiu krystalizačního chování v podchlazených taveninách. Proces krystalizace je sledován pomocí entalpických změn ve vzorku. Během měření však není možné přímo sledovat růst krystalů ani jejich množství ve vzorku a tím zůstává řada podstatných informací nezaznamenána. V důsledku toho není možné zpětně zjistit, nakolik mohou být sledované změny v krystalizačním chování dány například odlišnou zrnitostí prášků, různou nukleační rychlostí nebo spékáním zrn a změnou tvaru vzorku vlivem snížené viskozity nad teplotou měknutí. V literatuře se objevují práce, které sledují vliv zrnitosti na krystalizační kinetiku sklotvorných tavenin^{1,2} a snahy odlišit vliv povrchové a objemové krystalizace na celkový sledovaný proces³. Avšak přímé sledování změn probíhajících ve vzorku, jak z pohledu tečení, tak nukleace a růstu krystalů nebývá předmětem studií.

Proto je tato studie zaměřena na rozdíly v krystalizačním chování sklovitého As_2Se_3 za různých experimentálních podmínek. K analýze bylo vybráno několik práškových frakcí o různých zrnitostech (20–500 μm) a objemové vzorky. Na všechny vzorky byly aplikovány standardní rychlosti ohřevu, s ohledem na charakter vzorku byly vybrány nižší rychlosti 0,5 až 5 K min^{-1} . Všechny vzorky byly po skončení měření nasnímány pomocí optického mikroskopu. Ze snímků byly

stanoveny průměrné velikosti krystalů a jejich počet ve vzorku. Na základě těchto výsledků byly vytvořeny simulované křivky závislosti stupně krystalinity na teplotě, které byly porovnány s experimentálními DSC křivkami⁴.

Výzkumem bylo zjištěno, že zrna vzorku během DSC experimentu významně mění svůj tvar a to od jednotlivých kapek v případě hrubých prášků až po kompaktní koláče vzniklé slinutím velkého množství jemných zrněk. Celkový počet vzniklých nukleí je u jemných prášků nižší než je počet původních zrn. Také mechanismus krystalizace se mění od čistě povrchové u hrubých zrn až po téměř objemovou u slinutých jemných zrn, kde se vytvářejí nukleační polohy na vnitřních povrchích slinutého vzorku. Simulovaná data jsou v dobré shodě s experimentálními daty DSC, jestliže je použito konečných rozměrů zrn a sledovaného počtu nukleí na vnějším i vnitřním povrchu.

Tato práce vznikla za podpory Grantové agentury ČR, projekt č. P106/11/1152.

LITERATURA

1. Svoboda R., Málek J.: *J. Non-Cryst. Sol.* 358, 276 (2012).
2. Pustková P., Zmrhalová Z., Málek J.: *Thermochim. Acta* 466, 13 (2007).
3. Svoboda R., Málek J.: *Thermochim. Acta* 526, 237 (2011).
4. Svoboda R., Málek J.: *Thermochim. Acta* 579, 56 (2014).

6L-04

PŮDA, VODA, ŽIVOT – CO ZMŮŽE TERMICKÁ ANALÝZA?

JIŘÍ KUČERÍK, CHRISTIAN SIEWERT

*University Koblenz-Landau, campus Landau, Fortstr. 7, 76829, Germany, University of Applied Sciences Dresden, Pillnitzer Platz 2, 01326, Dresden, Germany
kucerik@uni-landau.de, cs@csiewert.de*

Půda je tradičně spojována se zemědělstvím, méně často pak s její schopností regulovat procesy v daném ekosystému. Na mikrokrospické úrovni je regulace spojována s aktivitou půdního edafonu a abiotickými procesy spojenými s fixací organického uhlíku v půdě. V současné době však nejsme bohužel schopni tyto regulační procesy uspokojivě popsat ani predikovat.

Tvorba půdy zahrnuje celou řadu procesů vedoucích primárně k tvorbě organo-minerálních komplexů vytvářejících určitou hierarchii, tj. půdní strukturu. Ta je chemicky velmi heterogenní, anizotropní a porézní. Složení půd odráží vlivy klimatu, mateční horniny, půdního edafonu, reliéfu a času¹, po který k tvorbě půdy dochází.

V našich studiích uvažujeme jako hlavní faktor především klimatické podmínky². Naší snahou je analyzovat celé půdy, bez extrakce jednotlivých půdních komponent, protože ta může porušit jejich vzájemné interakce a znemožnit tak identifikaci jejich vzájemných závislostí. Nepředupravené půdy lze poměrně snadno analyzovat za pomoci metod termické analýzy, především termogravimetrie. Cílem tohoto

příspěvků je sumarizovat výsledky, které jsme získali v této oblasti a poukázat na další možnosti termické analýzy při studiu půdy a případně i jiných substrátů.

První práce ukázala³, že hmotnostní úbytky v určitých teplotních oblastech lineárně korelují se základními půdními vlastnostmi, jakými jsou obsah organického uhlíku a dusíku, uhličitánů a jílových minerálů. Není bez zajímavosti, že u jílu nehrálo roli složení, ale pouze jejich množství, bez ohledu na typ půdy, lokalitu jejího vzniku nebo mateční horninu. Další zajímavostí bylo, že celkové množství fixovaného organického uhlíku v půdě lze popsat jednoduchým hmotnostním úbytkem kolem 340 °C.

V dalším kroku jsme se zaměřili na aktivitu půdních mikroorganismů, která je klíčová pro půdotvorbu a je také určitým měřítkem půdní degradace. Činnost mikroorganismů je spojena s uvolňováním oxidu uhličitého, které, jak se ukázalo, koreluje s hmotnostními úbytky zaznamenanými termogravimetrií v teplotní oblasti do 100 °C a kolem 350 °C (cit.^{4,6}). První teplotní oblast odpovídá odpařování vody vázané slabě půdní organickou hmotou, zatímco druhá odpovídá degradaci labilních organických látek, především celulosy⁷. Korelace byly pozorovány u všech půd bez ohledu na jejich původ, což poukazuje na jeden ze sjednocujících principů⁸ půdotvorby. Získané korelace byly použity k vývoji a testování modelů využitelných pro predikci množství oxidu uhličitého emitovaného různými půdami⁶.

Hodnoty korelačních koeficientů mezi respirací a termickými vlastnostmi závisely na tom, jakým vlivům byla půda vystavena, přičemž nižší korelace byly zaznamenány u půd více ovlivněných lidskou činností⁵. To bylo inspirací pro další výzkum zaměřený na analýzu vztahů mezi jednotlivými půdními komponentami, která je podle našich předpokladů ovlivněna biotickými i abiotickými regulačními mechanismy. Jinými slovy, provedli jsme vzájemnou korelaci mezi hmotnostními úbytky získanými termogravimetrickou analýzou v 10 °C intervalech⁹. Ukázalo se, že v rámci několika teplotních oblastí mezi sebou hmotnostní úbytky vzájemně korelovaly. Jednalo se o vnitřní korelace v oblasti slabě vázané vody, silně vázané vody, stabilní i labilní půdní organické hmoty a v několika případech i uhličitánů. Společným znakem pro všechny půdy byla korelace mezi hmotnostními úbytky mezi 120–130 °C, odpovídající silně vázané vodě odpařené z jílových minerálů a úbytky mezi 520–530 °C, odpovídající degradaci organo-minerálních komplexů. Tímto způsobem se chovaly i půdy odebrané na Antarktidě, vyznačující se minimální biologickou aktivitou. Proto se domníváme, že jsme identifikovali abiotickou, vodou podporovanou akumulaci organického uhlíku na jílových minerálech⁹, která je dalším, pravděpodobně primárním a sjednocujícím principem půdotvorby. Tento závěr koresponduje s některými abiogenetickými teoriemi o vzniku života, které předpokládají akumulaci organických látek na minerálech jako primární krok v syntéze složitějších molekul¹⁰. Žádná z půd však neukázala korelaci mezi zmíněnou silně vázanou vodou a slabě vázanou vodou (do 100 °C) související s aktivitou půdních mikroorganismů^{4,6}. To naznačuje, že jakým způsobem a kde je voda v půdě vázaná a jak je „k dispozici“, souvisí s její další rolí ve specifických půdotvorných procesech.

V příspěvku se budeme také zamýšlet, jaké další možnosti může termická analýza poskytnout, jak jich lze prakticky využít například pro stanovení stupně poškození půdy nebo

definici kvality a kvantity organického uhlíku fixovaného v půdě a jaké jsou problémy, s nimiž se experimentátor při termické analýze půdy může setkat.

Tato práce vznikla za podpory grantu DFG Si 488/4-1.

LITERATURA

- Jenny H., v knize: *The soil resource, origin, behavior*. Springer-Verlag, New York 1980.
- Bockheim J. G., Gennadiyev A. N., Hammer R. D., Tandarich J. P.: *Geoderma* 124, 23 (2005).
- Siewert C.: *Soil Sci. Soc. Am. J.* 68, 1656 (2004).
- Siewert C., Demyan M., Kucerik J.: *J. Therm. Anal. Calorim.* 110, 413 (2012).
- Kucerik J., Ctvrtnickova A., Siewert C.: *J. Therm. Anal. Calorim.* 113, 1003 (2013).
- Kucerik J., Siewert C.: *J. Therm. Anal. Calorim.* 116, 563 (2014).
- Manning D. A. C., Lopez-Capel E., Barker S.: *Mineral. Mag.* 69, 425 (2005).
- Fierer N., Grandy A. S., Six J., Paul E. A.: *Soil Biol. Biochem.* 41, 2249 (2009).
- Siewert C. Kucerik J.: *J. Therm. Anal. Calorim.* Odesláno.
- Hansma H. G.: *J. Biomol. Struct. Dyn.* 31, 888 (2013).

6L-05

MOŽNOSTI VYUŽITÍ TERMICKÉ ANALÝZY PŘI STUDIU PYROLÝZY ORGANICKÝCH XEROGELŮ

PETRA VESELÁ, VÁCLAV SLOVÁK

*Ostravská univerzita v Ostravě, Přírodovědecká fakulta, Katedra chemie, 30. Dubna 22, 701 03 Ostrava
petra.vesela@osu.cz*

Uhlíkaté aerogely, xerogely a kryogely jsou nanostrukturní materiály, jejichž příprava se skládá ze tří kroků: polykondenzace organických prekurzorů, sušení a pyrolyzy. Cílem příspěvku je představit možnosti použití termické analýzy při studiu pyrolyzního kroku přípravy uhlíkatých xerogelů, které budou demonstrovány zejména na příkladech dusíkem dopovaných resorcinol-formaldehydových xerogelů.

TGA v propojení s MS umožňuje rozlišit jednotlivé kroky pyrolyzního procesu s ohledem na uvolňované plyny a objasnit tak mechanismus pyrolyzy. Pyrolyzní proces lze rozdělit do 3 kroků, přičemž první odpovídá vypařování rozpuštědla a nezreagovaného formaldehydu. Druhý krok lze charakterizovat vývinem těkavých látek, při posledním kroku lze detekovat uvolněné produkty karbonizačního procesu (CO₂, H₂). Na základě detekovaných *m/z* signálů lze odhadovat stupeň proregování výchozích složek i míru zabudování dusíkatého atomu do konečného materiálu.

Na základě termogravimetrických křivek měřených při různých rychlostech ohřevu lze objasnit kinetiku pyrolyzy. Pro dusíkem dopované vzorky byla promoci izokonverzní Starinkovy metody zjištěna závislost zdánlivé aktivační energie na stupni přeměny. První dva kroky pyrolyzy (definované na základě studia mechanismu pyrolyzy) lze charakterizovat nižšími hodnotami zdánlivé aktivační energie, zatímco krok

třetí hodnotami vyššími.

Získané poznatky z termoanalytických měření mohou být dány do souvislosti s výsledky z adsorpčních experimentů na uhlíkatých materiálech. Bylo zjištěno, že vyšší úbytek při pyrolýze souvisí s vyšší adsorpční schopností pro ionty těžkých kovů. Na základě MS dat lze odhadnout optimální teplotu pyrolýzy s ohledem na požadavek zabudování dusíkatého atomu, který je důležitý pro adsorpci iontů těžkých kovů.

TGA/DSC-MS analýzu lze použít i pro hodnocení uhlíkatých vzorků připravených pyrolýzou v prostředí amoniaku.

6L-06

TERMOANALYTICKÉ STUDIUM PYROLÝZY DŘEVA JAKO METODY PŘÍPRAVY UHLÍKATÝCH ADSORBENTŮ

JANA ŠTEFELOVÁ, VÁCLAV SLOVÁK

*Katedra chemie, Přírodovědecká fakulta, Ostravská univerzita v Ostravě, 30. dubna 22, 701 03 Ostrava
J.Stefelova@seznam.cz, Vaclav.Slovak@osu.cz*

Cílem této práce bylo prostudovat mechanismus pyrolýzy dřevěných pilin a zjistit vliv teploty pyrolýzy na adsorpční vlastnosti připravených materiálů.

Metodou TG/DSC-MS byly sledovány odpadní smrkové a bukové piliny. Po počátečním ohřevu na 100 °C po dobu 1 h (pro zjištění vlhkosti) byl zkoumaný vzorek zahříván v Ar do 1000 °C rychlostí 2, 5, 10 a 20 K min⁻¹. Během ohřevu byly metodou MS sledovány signály m/z odpovídající H₂, H₂O, CO₂, uhlovodíkům, levoglukanům, fenolickým látkám, derivátům furanu, benzenu a naftalenu. Závislost zdálnivě E_A na α byla vypočtena metodou dle Starinka. Na produktech pyrolýzy byly provedeny adsorpční experimenty Cu²⁺, Cd²⁺ iontů a methylenové modří z vodné fáze.

Při zahřívání dřeva je možné pozorovat dvě fáze, během první dochází k uvolnění vlhkosti ze vzorku (méně než 4 %). Vlastní pyrolýza vzorků nastává nad 200 °C, ukončena je při 450 °C. Bez ohledu na povahu vzorku nebo rychlost ohřevu bylo zjištěno, že hmotnostní úbytky se pohybují v rozmezí od 77 do 80 %. DTG píky jsou mírně deformované, což poukazuje na skutečnost, že se nejedná o jednoduchý děj. Analýza závislosti E_A na α ukázala, že se pravděpodobně jedná o dvě překrývající se reakce. E_A první reakce nabývala hodnot 157 resp. 151 kJ mol⁻¹ v případě smrkových resp. bukových pilin. E_A druhé reakce byly vyšší (172 resp. 184 kJ mol⁻¹).

Analýzou uvolněných plynů bylo zjištěno, že během pyrolýzy nedochází k uvolňování aromatických látek. Deriváty furanu se uvolňují jen při druhé pyrolýzní reakci. Všechny ostatní analyzované látky byly detekovány v průběhu celé pyrolýzy.

Z adsorpčních experimentů bylo zjištěno, že s rostoucí teplotou pyrolýzy (400–700 °C) se zvyšuje adsorpční schopnost v případě adsorpce methylenové modří. Naproti tomu, při adsorpci Cu²⁺ a Cd²⁺ iontů nebyla prokázána žádná závislost. To znamená, že aktivní místa potřebná pro adsorpci těžkých kovů jsou pravděpodobně vytvořena již při teplotě 400 °C. Aktivní místa vhodná pro methylenovou modř se nejspíše tvoří až při teplotě vyšší, i když na TA křivkách není patrný

žádný proces. Proto je nutné dále podrobně studovat mechanismus pyrolýzy těchto materiálů.

6L-07

VLIV PŘÍTOMNOSTI OXIDU GRAFITU NA TERMICKÉ VLASTNOSTI ORGANICKÝCH A UHLÍKATÝCH MATERIÁLŮ

GABRIELA HOTOVÁ, VÁCLAV SLOVÁK

*Katedra chemie, Přírodovědecká fakulta, Ostravská univerzita v Ostravě, 30. dubna 22, 701 03 Ostrava
G.Hotova@seznam.cz*

Termoanalyticky (TG/DTA) byl studován vliv přítomnosti oxidu grafitu (GO) na průběh pyrolýzy a oxidace resorcinol-formaldehydových kryogelů (RF) a akrylamidových polymerů (PAM). Studované materiály i samotný GO byly zahřívány v inertní nebo oxidační atmosféře rychlostí 10 K min⁻¹ do teploty 600 °C. Průběh pyrolýzy byl sledován na GO, RF, RF obsahující grafen (RFGO), PAM a PAM obsahující oxid grafenu (PAMGO). Pro studium oxidace byly použity RF a RFGO materiály lišící se teplotou pyrolýzy při jejich přípravě, která byla 500 °C nebo 930 °C (RF/RFGO-500; RF/RFGO-930). Základními termoanalytickými experimenty bylo zjištěno, že samotný oxid grafitu je velmi reaktivní a nad teplotu 150 °C se rychle exotermicky (potvrzeno DSC) rozkládá za uvolnění CO₂ (potvrzeno MS analýzou) a dochází ke ztrátě kyslíkatých funkčních skupin. Poměrové zastoupení uhlíku a kyslíku oxidu grafitu bylo vypočteno pomocí TG/MS. K zmíněnému rozkladu nedochází, pokud je oxid grafitu (grafenu) zabudován do struktury organického kryogelu nebo polymerní matrice. Přítomnost oxidu grafitu (grafenu) v polykondenzační směsi při přípravě kryogelů či polymerů zvyšuje obsah vlhkosti, čemuž odpovídá velké množství kyslíkatých funkčních skupin nalezených v GO. Materiály obsahující oxid grafitu (grafenu) vykazují větší termickou stabilitu oproti materiálům bez jeho přítomnosti. Přítomnost GO snižuje celkový hmotnostní úbytek o ~ 3 % v případě kryogelů a o ~ 6 % v případě akrylamidových polymerů. Dále bylo zjištěno, že RF/RFGO-930 materiály jsou relativně odolné vůči oxidaci oproti RF/RFGO-500 materiálům, jejichž pyrolýza probíhala při nižší teplotě. Teplota maxima rychlosti oxidace (teplota píky na DTG) byla vlivem přítomnosti GO v polykondenzační směsi při přípravě kryogelů posunuta k vyšším hodnotám o ~ 20 °C (z 519 °C u RF-930 na 534 °C u RFGO-930). RF/RFGO-500 materiály vykazují viditelný hmotnostní nárůst v teplotním rozmezí 150 až 300 °C způsobený parciální oxidací. Celkově výsledky ukazují, že i velmi malý obsah GO měřitelně ovlivňuje výsledné vlastnosti materiálů.

6L-08 “IDENTIFY” – A NEW APPROACH FOR USING DATABASES IN THERMAL ANALYSIS

EKKEHARD FÜGLEIN

NETZSCH-Gerätebau GmbH, Wittelsbacherstraße 42, 95100
Selb, Germany
ekkehard.fueglein@netzsch.com

For a long time, a database has been requested in order to compare data measured in thermal analysis with library data. This software procedure is well known and established in spectroscopic techniques such as fourier-transform-infrared-spectroscopy (FT-IR) and mass spectrometry (MS), for instance.

A similar procedure has so far not been available in thermal analysis. All earlier approaches have been very helpful for numerous researchers, and they still are, in order to find appropriate measurement conditions or to receive suggestions for adequate interpretation of the data observed¹⁻³.

However, they all have only been available as hardcopies and for this reason not available for a software library comparison to currently measured data.

“Identify” is a newly developed part of the NETZSCH Proteus[®] measurement and evaluation software. It allows for an online comparison of currently measured DSC data with a thermoanalytical library and delivers a relative value as a measure for similarity. The library can be edited and customized to the application field of the user and can therefore be trained to recognize customer-specific reference materials, pure samples or mixtures.

This paper demonstrates the capabilities of this online database using organic samples, polymers and mixtures.

REFERENCES

1. “Atlas of Thermoanalytical Curves” (TG-, DTG-, DTA-Curves measured simultaneously), Edited by G. Liptay, Akadémiai Kiadó, Budapest, 1976.
2. „DSC on Polymeric Materials“, E. Kaisersberger, H. Möhler, NETZSCH Annual for Science and Industry, Volume 1, ©NETZSCH-Gerätebau GmbH, D-8672 Selb, 1991.
„TA for Polymer Engineering“, E. Kaisersberger, S. Knappe, H. Möhler, NETZSCH Annual for Science and Industry, Volume 2, ©NETZSCH-Gerätebau GmbH, D-8672 Selb, 1993.
“TA for Polymer Engineering”, E. Kaisersberger, S. Knappe, H. Möhler, S. Rahner, NETZSCH Annual for Science and Industry, Volume 3, ©NETZSCH-Gerätebau GmbH, D-8672 Selb, 1994.
3. “TG-FTIR Atlas Elastomere”, R. Schönherr, Verlag W. K. Schönherr, D-Burgdorf, 1996.

6L-09 COMPARISON OF CALCULATED AND MEASURED THERMOPHYSICAL PROPERTIES OF REAL STEEL GRADES

ALEŠ KALUP^a, MONIKA ŽALUDOVÁ^{a,b},
SIMONA ZLÁ^{a,b}, MICHAELA STROUHALOVÁ^{a,b},
KAREL GRÝC^{a,b}, BEDŘICH SMETANA^{a,b}

^a VŠB-TUO, Faculty of Metallurgy and Materials Engineering (FMME), 17. listopadu 15/2171, 708 33 Ostrava - Poruba,
^b Regional Materials Science and Technology Centre (RMSTC), Laboratory for Modelling of Processes in the Liquid and Solid Phases, 17. listopadu 15/2171, 708 33 Ostrava - Poruba, Czech Republic
ales.kalup.st@vsb.cz

Properties of Fe-based systems are still object of extensive research. It is possible to find a lot of information in the literature, but some of the necessary data are still missing. Moreover the presented data mentioned in the literature differ. Due to a lack of exact experimental data in this area, and also due to necessity to use these data as an input data for many simulation programs, numerical or physical models and requirements of practice (casting, welding, solidification), an investigation of multicomponent Fe-based alloys (steels) is still highly topical theme.

Missing data, such as temperatures of solidus (T_s), temperatures of liquidus (T_l) heat capacity (C_p) and others can be obtained using thermal analysis measurements. The DSC (Differential Scanning Calorimetry) is one of the possible methods. Another common method is the DTA (Differential Thermal Analysis).

Also, missing data can be calculated using simulation programs or calculation models. As for all calculations, it is necessary to validate obtained result with exact experimental data, e.g. temperatures of solidus (T_s) and liquidus (T_l), heat capacity (C_p) and other important material data. It is also suitable to support these data by structural and phase analysis.

6L-10 KVANTITATIVNÍ VYUŽITÍ TG-MS – URČENÍ ELEMENTÁRNÍHO SLOŽENÍ OXIDU GRAFITU

VÁCLAV SLOVÁK, GABRIELA HOTOVÁ

Katedra chemie, Přírodovědecká fakulta, Ostravská univerzita v Ostravě, 30. dubna 22, 701 03 Ostrava
vaclav.slovak@osu.cz

Kombinace termické analýzy a analýzy uvolňovaných plynů pomocí hmotnostního spektrometru umožňuje získat především kvalitativní informace o složení plyných produktů termických reakcí. Tento příspěvek je zaměřen na možnost získání kvantitativních údajů, která je demonstrována na analýze termického rozkladu oxidu grafitu.

Oxid grafitu byl připraven oxidací grafitu směsí H_2SO_4 , KNO_3 a $KMnO_4$. Jeho rozklad byl studován pomocí TG/DSC-MS v Ar, zaznamenávány byly MS signály s $m/z = 18, 28, 32$ a 44.

Při zahřívání oxid grafitu nejprve ztrácí vlhkost a při teplotě 170 °C se prudce exotermicky rozkládá. Při tomto rozkladu lze detekovat píky všech sledovaných MS signálů.

Experimentálně dostupná plocha píku na MS signálu je úměrná látkovému množství příslušného iontu vzniklého ionizací mateřské sloučeniny. Pro látkové množství n_X látky X, která ionizuje na ion I s plochou píku A_I v rozsahu R (dostupné z databáze MS spekter), lze obecně psát

$$n_X = k \cdot A_I / R,$$

kde k je konstanta úměrnosti. Rovnice platí pro plochy píků na signálech způsobených pouze látkou X a neovlivněných přítomností jiných látek. Pokud takový signál pro látku neexistuje, je nutné sestavit rovnici zahrnující příspěvky všech látek podílejících se na vzniku příslušného píku.

Pokud se při rozkladu předpokládá vznik p plynných látek, které způsobí hmotnostní úbytek Δm , lze také psát

$$\Delta m = \sum (n_i \cdot M_i) \quad (i \text{ od } 1 \text{ do } p).$$

Řešením naznačené soustavy rovnic lze získat hodnotu konstanty k a následně látková množství uvolněných látek.

V případě oxidu grafitu byla konstanta k zjištěna z uvolněné vlhkosti a použita k určení obsahu (mol.%) H₂O (34 %), CO₂ (37 %), O₂ (1 %) a CO (28 %) v plynných produktech rozkladu. Tyto údaje umožňují dále určit elementární složení oxidu grafitu, které odpovídá přibližně empirickému vzorci C₄HO₂.

6L-11

OSTA A JEJÍ AKTIVITY

PETRA ŠULCOVÁ

*Katedra anorganické technologie, Fakulta chemicko-technologická, Univerzita Pardubice, Studentská 573, 532 10 Pardubice
petra.sulcova@upce.cz*

Odborná skupina termické analýzy (OSTA) při České společnosti chemické je aktivní od roku 1972. Národní skupina je od svého vzniku členem celosvětově působící odborné společnosti International Confederation for Thermal Analysis and Calorimetry, která je asociovaná s IUPAC. Odborná skupina organizuje semináře a zvané přednášky, které jsou zaměřeny jak na teoretické základy, tak i přístrojovou techniku pro termickou analýzu.

V roce 2013 odborná skupina organizovala čtvrtý ročník společné termoanalytické konference čtyř států, a to Česka, Maďarska, Polska a Slovenska. Přitom první společné setkání termoanalytiků ze „čtyř států“ uspořádala maďarská skupina v květnu 2007 (Sopron), druhý ročník byl organizován v roce 2009 v Zakopaném (Polsko) pod záštitou „Polish Society of Calorimetry and Thermal Analysis“. V roce 2011 se uskutečnil 3. ročník společné česko-maďarsko-polsko-slovenské termoanalytické konference, kdy organizátorem byla „Pracovní skupinou pro termickou analýzu a kalorimetrii na Slovensku“.

Uzavření prvního cyklu společných termoanalytických konferencí 4th Joint Czech-Hungarian-Polish-Slovak Thermoanalytical Conference bylo završeno v Pardubicích, kdy místem konání byla Fakulta chemicko-technologická Univerzity Pardubice ve dnech 24. až 27. června 2013. Pro účastníky byl

zajištěn zajímavý odborný program, ve kterém bylo předneseno celkem 29 přednášek a vystaveno 51 posterů. Konference čtyř států byla odborným přínosem pro všechny účastníky, neboť umožnila nejen vzájemnou výměnu poznatků a zkušeností z oblasti termické analýzy a kalorimetrie, ale přispěla také k prohloubení kontaktů a navázání nové spolupráce mezi účastníky a tím samozřejmě k rozvíjení zájmu o termickou analýzu. Vybrané příspěvky (v konečném počtu 27) byly po řádném recenzním řízení v Journal of Thermal Analysis and Calorimetry vydány ve speciálním čísle „Special Chapter of the Recent State-of-the-Art in Thermal Analysis and Calorimetry in the Visegradian Countries, a to v květnovém čísle 2014.

V rámci 66. sjezdu asociací českých a slovenských chemických společností je v odborném programu zařazena sekce termické analýzy. Poprvé se sekce Termické analýzy a kalorimetrie objevila v programu 62. sjezdu asociací českých a slovenských chemických společností, který se uskutečnil v Pardubicích v r. 2010. Stala se tak historicky významnou, neboť se jednalo o první společné setkání termoanalytiků z Česka a Slovenska. Druhý teplozpytná sekce se uskutečnila v rámci 64. sjezdu asociací českých a slovenských chemických společností v Olomouci v r. 2012. Letošní termoanalytická sekce je tak již třetí v pořadí.

Aktuální informace o odborné skupině a aktivitách jsou přístupné na: www.thermal-analysis.cz.

6P-01
VYUŽITÍ TERMICKÉ ANALÝZY KE STUDIU
SLOUČENINY Er₂Ce₂O₇

BLANKA HABLOVIČOVÁ, PETRA ŠULCOVÁ

Katedra anorganické technologie, Fakulta chemicko-technologická, Univerzita Pardubice, Doubravice 41, 532 10 Pardubice
 blankahablovicova@seznam.cz

Pracoviště autorů se zabývá především syntézou ekologických anorganických pigmentů. Hlavním cílem práce bylo zjistit vhodné podmínky pro syntézu sloučeniny Er₂Ce₂O₇, které by mohly ovlivnit její barevnost a velikost částic. Tyto informace jsou důležité pro posouzení možného pigmentového použití.

Keramické pigmenty jsou barevné anorganické sloučeniny, které jsou schopny udržet si své barevné vlastnosti, i když jsou vystaveny vysokým teplotám a chemicky agresivním podmínkám¹. CeO₂ dopovaný lanthanoidy přitahuje v dnešní době pozornost pro své vynikající vlastnosti a tudíž široké spektrum použití. RE₂Ce₂O₇ mají fluoritovou (krychlovou) strukturu a náhradou Ce⁴⁺ trivalentními kationty lanthanoidů dochází ke zvýšení termické stability, iontové vodivosti i zlepšení mechanických vlastností^{2,3}.

Pigment byl připraven reakcí v tuhé fázi, kdy došlo ke smísení výchozích oxidů, a následně byl vypálen v elektrické peci při teplotách 1400, 1500 a 1600 °C po dobu 3 hodin s rychlostí 10 °C min⁻¹.

Simultánní TG-DTA analýza pigmentů byla provedena pomocí přístroje STA 449C Jupiter (NETZSCH, Německo) v teplotním intervalu 30–1400 °C s rychlostí ohřevu 10 °C min⁻¹. Reakční směs Er₂Ce₂O₇ je stabilní do 800 °C, kdy začíná docházet k reakcím v pevné fázi, které jsou na DTA křivce charakterizovány několika exotermními píky. TG křivka signalizuje pokles hmotností vzorku (o 0,64 %) se vzrůstající teplotou.

Výzkum anorganických pigmentů je na pracovišti autorů podporován IGA Univerzity Pardubice (SGSFChT_2014002).

LITERATURA

1. Ianoş R., Lazău R.: *Dyes Pigments* 105, 152 (2014).
2. Hong-song Z., Jianguo L., Gang L., Zheng Z., Xinli W.: *Mater. Res. Bull.* 47, 4181 (2012).
3. Wang C., Wang Y., Zhang A., Cheng Y., Chi F., Yu Z.: *J. Mater. Sci.* 48, 8133 (2013).

6P-02
OXIDAČNÍ REAKTIVITA UHLÍKATÝCH XEROGE-
LŮ PŘIPRAVENÝCH ZRYCHLENOU KONDENZACÍ

EVA KINNERTOVÁ, VÁCLAV SLOVÁK

Ostravská Univerzita v Ostravě, Přírodovědecká fakulta, Katedra chemie, 30. dubna 22, 701 03 Ostrava
 evakinnertova@seznam.cz

Termoanalyticky (TG/DSC) byla sledována oxidační reaktivita uhlíkatých xerogelů připravených zrychlenou kondenzací resorcinolu a formaldehydu za různých podmínek (koncentrace katalyzátoru, hmotnostní poměr výchozích látek a druh katalyzátoru) a jejich následnou pyrolýzou. Oxidace vzorků byla realizována ve dvou dynamických atmosférách, s vyšším podílem kyslíku (85 % O₂ + 15 % N₂) a nižším podílem kyslíku (20 % O₂ + 80 % N₂), s rychlostí průtoku 100 ml min⁻¹. Vzorky byly nejprve udržovány po dobu 30 min na teplotě 30 °C a poté byly ohřívány rychlostí 10 °C min⁻¹ na teplotu 1000 °C.

Na TG křivkách bylo možné pozorovat hmotnostní úbytky spjaté se ztrátou zbytkové vlhkosti při teplotách 30–150 °C. Exotermická chemisorpce kyslíku zapříčinila nárůst hmotnosti při dalším zvyšování teploty dosahující 1,6–4,5 %. Teplota maxima na TG křivkách (≈ 300 °C) odpovídala ukončení chemisorpce a počátku spalování vzorků. Následný úbytek hmotnosti byl spojen se spálením xerogelů. Na křivkách v atmosféře s vyšším podílem kyslíku byl okolo teploty 400 °C pozorován zlom svědčící o vzplanutí vzorku. Oxidace xerogelů probíhala v atmosféře s nižším podílem kyslíku pomaleji a byla ukončena při teplotách až nad 500 °C. Výsledky obou měření ukázaly, že nejreaktivnějším byl vzorek s nejnižším hmotnostním poměrem výchozích látek. Naopak nejméně reaktivní se jevily vzorky katalyzované NaHCO₃ nebo Na₂CO₃ a s vysokou koncentrací katalyzátoru.

Porovnáním termoanalytických dat s povrchovými charakteristikami byla zjištěna částečná souvislost mezi měrným povrchem (BET) oxidovaných vzorků a jejich oxidační reaktivitou. S rostoucím měrným povrchem roste množství chemisorbovaného kyslíku na počátku oxidace a snižuje se teplota počátku spalování vzorků stejně jako teplota exotermického píku na DSC. Výsledky ukazují, že termoanalytickými technikami je možné alespoň částečně charakterizovat povrchové vlastnosti uhlíkatých materiálů.

6P-03
TERMICKÁ ANALÝZA MALAYAITOVÉHO
PIGMENTU DOPOVANÉHO KOBALTEM

JANA LUXOVÁ, PETRA ŠULCOVÁ, MIROSLAV
TROJAN, MARCELA ZVONKOVÁ, JAKUB TROJAN

Katedra anorganické technologie, Fakulta chemicko-technologická, Univerzita Pardubice, Studentská 573. 532 10 Pardubice
 jana.luxova@upce.cz

Malayaity jsou sloučeniny, které patří do skupiny neso-silikátů a jsou podskupinou velké rodiny křemičitanových

minerálů. Malayaitový minerál má chemické složení CaSnSiO_5 a jeho dobrá termická stabilita jej předurčuje jako vhodného kandidáta pro hostitelskou mřížku při syntéze keramických pigmentů. Mezi průmyslově vyráběné pigmenty, které se využívají zejména pro vybarvování keramické glazury patří i pigment na bázi malayaitu dopovaný Cr^1 . Sloučeniny založené na malayaitové struktuře jsou studovány i z mnoha jiných důvodů, např. se používají jako anody v Li bateriích² či vykazují fotoluminiscenční vlastnosti³.

V rámci této práce byl připraven malayaitový pigment o složení $\text{CaSn}_{0,95}\text{Co}_{0,05}\text{SiO}_{5-\delta}$. Pro přípravu pigmentu byly použity suroviny CaCO_3 , SnO_2 , Co_3O_4 a SiO_2 ve stechiometrickém množství. Před samotnou syntézou pigmentu byla provedena termická analýza reakční směsi (STA 449C Jupiter, Netzsch, SRN). Měřeno bylo v teplotním rozsahu 30 až 1400 °C a ve vzduchové atmosféře. Za stejných podmínek měření byla uskutečněna termická analýza i u všech použitých surovin.

Po zjištění potřebných kalcinačních podmínek pro následnou syntézu pigmentu byly reakční směsi kalcinovány v teplotním rozsahu 1200–1400 °C (jednostupňový výpal) a 1000 °C/1200–1400 °C (dvoustupňový výpal) s výdrží 4 h na maximální teplotě.

U všech vzorků byla studována jejich termická stabilita pomocí žárového mikroskopu (Hesse-Instr., SRN) a barevné vlastnosti po aplikaci do keramické glazury P 07410 (10 hm.%) a organické matrice (plný tón) s využitím spektrofotometr ColourQuest XE (HunterLab, USA). Barva byla hodnocena v systému CIEL*a*b* (1976).

Fázová analýza pro studované malayaitové vzorky byla realizována na difrakčním přístroji D8Advance (Bruker, VB), který využívá radiaci CuK_α a scintilačního detektoru (rozmezí 2 θ od 10 do 80).

Tato práce vznikla za podpory IGA Univerzity Pardubice v rámci projektu SGSFChT_2014002.

LITERATURA

1. Faurel X., Vanderperre A., Colombari P.: *J. Raman Spectrosc.* 34, 290 (2003).
2. Mouyane M., Womes M., Jumas J. C., Olivier-Fourcade J., Lippens P. E.: *J. Solid State Chem.* 184, 2877 (2011).
3. Abe S., Yamane H., Yoshida H.: *Mater. Res. Bull.* 45, 367 (2010).

6P-04

STUDY OF SOLIDUS AND LIQUIDUS TEMPERATURES OF Fe-BASED ALLOYS USING THERMAL ANALYSIS METHODS

BEDŘICH SMETANA^{a,b}, MONIKA ŽALUDOVÁ^{a,b}, SIMONA ZLÁ^{a,b}, PETR DOSTÁL^a, SILVIE ROSYPALOVÁ^{a,b}, ALEŠ KALUP^a, JANA DOBROVSKÁ^{a,b}, KAREL GRÝC^{a,b}, KAREL MICHALEK^{a,b}, MICHAELA STROUHALOVÁ^{a,b}, LADISLAV VÁLEK^c

^a VŠB-TUO, Faculty of Metallurgy and Materials Engineering (FMME), 17. listopadu 15/2171, CZ 708 33 Ostrava - Poruba, ^b Regional Materials Science and Technology Centre (RMSTC), Laboratory for Modelling of Processes in the Liquid and Solid Phases, ^c ArcelorMittal Ostrava a.s., Research, Ostrava, Czech Republic
bedrich.smetana@vsb.cz, ladislav.valek@arcelormittal.com

The paper deals with the study of phase transitions temperatures (temperature of solidus and liquidus) of Fe-based alloys with use of different thermal analysis methods. The key thermal analysis methods are at the present days DTA (Differential Thermal Analysis), DSC (Differential Scanning Calorimetry) and “direct” thermal analysis (TA). The study presents the basic principles of these methods, characteristics, advantages and disadvantages. There are presented results from the high temperature region (above) 1000 °C with focus on the melting and solidifying region of multicomponent alloys such as steels. The paper discusses obtained results with three mentioned methods at heating/cooling process, with different loads of samples and other factors that can influence the obtained results. The evaluation of heating/cooling curves, DTA (DSC) – curves at heating and cooling is demonstrated. The obtained solidus and liquidus temperatures are compared and discussed.

7L-01**IMOBILIZACE ENZYMŮ NA MAGNETICKÉ ČÁSTICE A JEJICH BIOTECHNOLOGICKÁ APLIKACE****MIROSLAV JOŘENEK, LUDMILA ZAJONCOVÁ
A NIKOL KRČOVÁ***Katedra biochemie, Přírodovědecká fakulta, Univerzita Palackého v Olomouci, Šlechtitelů 11, 783 71 Olomouc, Česká Republika**MiraCRXJorenek@seznam.cz*

Hlavní význam imobilizace enzymů na pevné magnetické nosiče spočívá v jejich opakovaném použití, snadné manipulaci s enzymem a v neposlední řadě se imobilizací mohou zlepšit vlastnosti enzymů, jako je zvýšení termostability, změna optimálního pH či prodloužení doby skladování. Použití imobilizovaných enzymů v biotechnologických procesech má především velký ekonomický přínos. Pro tento účel byly studovány enzymy: penicilin G acylasa, lakasa a aminotransferasa.

V průmyslu a hlavně ve farmaceutickém se penicilin G acylasa používá pro výrobu 6-aminopenicilánové kyseliny z penicilinu G. Protože jsou mikroorganismy na penicilin G již delší dobu rezistentní, je toto antibiotikum už neúčinné pro lékařské účely a 6-aminopenicilánová kyselina slouží k výrobě mnoha nových β -laktamových antibiotik. Přestože jsou chemické metody syntézy 6-APA dobře zavedené, dává se přednost enzymové hydrolyze penicilinu G pomocí penicilin G acylasy¹, vzhledem k mírným podmínkám reakce, stereospecifitě a ekonomickým nákladům. Lakasa je enzym schopný katalyzovat oxidaci širokého spektra substrátů jako mono-, di- a polyfenolů, aminofenolů, methoxyfenolů a aromatických aminů. Díky této výhodě je používána v řadě biotechnologických aplikací: v papírenském a potravinářském průmyslu nebo v analytické chemii. Použití lakasy tak umožňuje např. zvýšení produktivity, efektivity a kvality potravinářských výrobků, odbarvení průmyslových odpadních vod od textilních barviv nebo odstraňování ligninu ze dřevních i nedřevních vláken².

Aminotransferasy hrají důležitou roli v metabolismu aminokyselin. V průmyslu pak mohou být aminotransferasy použity k produkci chirálních aminů.

LITERATURA

1. Burns K. L., May S. W.: *J. Chromatogr.*, B 797, 175 (2003).
2. Jořenek M., Zajoncová L.: *Chem. Listy* 107, 921 (2013).

7L-02**THE MULTIFUNCTION RECOVERY OF HAZARDOUS LIGNOCELLULOSE WASTE****EVA RUŽIŇSKÁ, JURAJ DETVAJ, IVAN KLEMENT***Technical University in Zvolen, Masaryka 24, 960 53 Zvolen, Slovakia**eva.ruzinska@tuzvo.sk*

It is now in the EU, particularly current issues of environmental protection in the wake of an increase in the

share of renewable energy sources and efficient recovery of available and unused biomass waste^{1,2}. It is a multifunctional solution for the recovery of unused waste from various kinds of phytomass and dendromass in the form of sawmilling waste³ and waste from the secondary wood processing⁵ (from the processes of bonding, surface finishing, wood treated with biocides¹, fire retardants⁶, abrasive dust from burning hard wood³, waste contaminated by cutting fluids in machining processes and dividing of wood materials)^{1,2}.

The reason for resting of lignocellulose waste for the preparation of the new or recycled materials, as well as their energy use as organic fuel and energy and heat production is the presence of hazardous and dangerous chemical substances (aerosols and the emission of volatile organic compounds carcinogenic effects, heavy metals -Cd, Cr, As from cutting fluids based on mineral oils of petroleum substances).

The procedure of modification treatment (using the principles of adsorption) of waste biomass for editing has been drawn up for their subsequent processing into briquettes and pellets and wood composites.

The input waste of biomass and output of the modifier products have been rated by analytical methods: elemental analysis (Dumas method) with the subsequent evaluation of thermal characteristics⁵: the combustion heat and the calorific value by calorimetry method⁶. Chemical analysis of the composition of the biomass waste have been defined: the proportion of lignin, cellulose, hemicellulose, extractive substances and ash¹. The determination of the present risk and dangerous chemical substances in the input waste from biomass has been carried out by method AAS-ETA and detection by specific analysers (MicroRidgid, GasAlert).

Research was supported of Slovak Ministry of Education, KEGA, proj. 023-TUZ- 4/2012: „Hazardous substances in the environmental technology”.

REFERENCES

1. Borusewski P., Maminski M., Ružinská E. (eds.): *Raw materials and particleboards*. Monography. Publ. SGGW WULS, Warsaw 2012. ISBN 978-83-7583-389-8.
2. Ružinská E.: *Waste Forum* 4, 338 (2010).
3. Klement I., Detvaj J.: *Sawmilling and wood drying*. Textbook. Publ. Technical Unversiy Zvolen (2013).
4. Ružinská E.: *Wood Research* 48, 22 (2003).
5. Ružinská E., Danihelová A.: *Chem. Listy* 104, 529 (2010).
6. Xu O., Majlingová A., Zachar M., Jin C., Jiang Y.: *J. Therm. Anal. Calorim.* 110, 65 (2012).

7L-03

ANTROPOGENNÍ EMISE AOX A MOŽNOSTI JEJICH JEDNODUCHÉ DESTRUKCE

TOMÁŠ WEIDLICH^{*a}, BOŽENA NOVÁKOVÁ^b, ANNA KREJČOVÁ^a, JAKUB OPRŠÁL^a

^a Ústav environmentálního a chemického inženýrství, Fakulta chemicko-technologická, Studentská 573, 532 10 Univerzita Pardubice, ^b Katedra dopravního managementu, marketingu a logistiky, Dopravní fakulta Jana Pernera, Studentská 95, 532 10 Univerzita Pardubice
tomas.weidlich@upce.cz

Zdrojem antropogenních emisí AOX (adsorbovatelných organických halogenů) do vod nejsou pouze průmyslové zdroje znečišťování (chemický průmysl, výroba celulosy a papíru), ale i aplikace dezinfekčních prostředků na bázi aktivního chloru do vod obsahující běžné organické znečištění (řada prostředků tzv. bazénové chemie, přípravky Savo nebo Domestos). Působením těchto prostředků může docházet k chloraci organických látek (ligninu, huminových látek) za vzniku mimo jiné např. chlorovaných fenolů. Látky typu AOX bývají obvykle špatně biologicky odbouratelné, často procházejí beze změn biologickou čistou odpadních vod a dostávají se do vodních toků. Hlavní emitenty AOX lze nalézt v databázi Integrovaného registru znečištění¹. Postupy aplikovatelné na odstraňování AOX z vod jsou souhrnně uváděny v referenčních dokumentech tzv. nejlepších dostupných technik (dokumenty BREF)².

Mezi nejběžnější postupy odstraňování AOX z vod patří adsorpce. Většinou se předpokládá, že AOX jsou tvořeny nepolárními sloučeninami, proto se jako sorbent hojně využívá aktivní uhlí. V případě aromatických halogenderivátů s vázanými funkčními skupinami schopnými disociace však účinnost adsorpce na aktivní uhlí výrazně závisí na pH, proto k účinné sorpci např. chlorovaných fenolů na aktivní uhlí dochází pouze v mírně kyselé oblasti pH. Řešením může být použití polárnějších sorbentů, jakými jsou oxid hlinitý nebo syntetické adsorpční pryskyřice. Použitý sorbent je nutně bezpečně likvidovat, vhodným postupem je spálení ve spalovně nebezpečného odpadu, což se ovšem v České Republice nesetkává s pochopením občanů.

Jinou možností rozkladu AOX je použití hydrodehalogenace, kdy působením vhodně zvoleného redukčního činidla dochází k selektivnímu štěpení vazby C-X, přičemž produktem takového procesu aplikovaného na chlorované fenoly bývá příslušný fenol. Prokázali jsme, že s použitím vhodným mikroorganismů lze produkty dehalogenace snadno a rychle (do 24 hodin) aerobně rozložit.

LITERATURA

1. Integrovaný registr znečištění, webové stránky Ministerstva průmyslu a obchodu, dostupné na: <http://www.irz.cz>
2. Dokumenty BREF, dostupné na: www.ipcc.cz
3. Weidlich T., Prokes L., Pospíšilová D.: Cent. Eur. J. Chem. 11, 979 (2013).
4. Weidlich T., Krejčová A., Prokeš L.: Monatsh. Chem. 144, 155 (2013).

7L-04

DIRECT ELECTROCHEMICAL REDUCTION OF HEMATITE IN MELT SYSTEMS NaOH-H₂O

PAVEL RAŠKA, JURAJ LEŠKO

Department of Chemistry, Faculty of Metallurgy and Material Engineering, VŠB – Technical University of Ostrava, Tř. 17. listopadu 15, 708 33 Ostrava Poruba
pavel.raska@vsb.cz

Metallurgical process contains among others coal and limestone mining, preparation of coke, furnace reduction and selective oxidation of C, Si, P in oxygen converter, has been proven to have significant ecological impact and energy consumption. Due to these facts, a new technology of metals production based on the direct electrochemical reduction of iron oxides are being searched.

This work deals with the preparation of Fe₂O₃(s) electrode (by anodic oxidation and annealing process) and the direct electrochemical reduction of Fe₂O₃(s) in NaOH-H₂O melt systems within the temperature range of 100–400 °C. Details about the possibilities of electrolytical technologies for oxide, chloride, carbonate, and hydroxide melts for the direct electrochemical reduction are shown in paper¹.

Electrochemical reduction of hematite in NaOH-H₂O melt systems depends on its basicity. It is not possible to express this parameter exactly during all the range of compositions, because it is the combination of the Lux theory for ionic melts and Brønstedt theory for water solutions. The basicity depends on the amount of Na₂O and H₂O in a melt, therefore „in situ“ voltametric determination of amounts of these two components was performed based on anodic oxidation of Na₂O and cathodic reduction of water at temperature of 400 °C. Basicity impact was observed based on the shape of cyclic voltametric curves of Fe and Fe₂O₃ working electrodes. On the basis of this results there is a possibility to reduce iron easily in the melt with higher basicity.

Several electrolytes – e.g. pure NaOH (400 °C), which is used for industrial descaling of oxidic layers on wires, were assessed. Due to the decrease of the energy consumption and the possibility of using solar energy for heating of the bath, electrolytes with lower melting temperature, for example eutectic mixture NaOH:NaOH.H₂O (74% w/w, temperature of experiments 110 °C) there were tested. Also a process of formation of passive oxide layer on Fe and Fe₂O₃ working electrodes in this systems was tested processes. The products on the surfaces of the electrodes were identified. From cyclic voltametry the value of potential for chronocoulometry reduction of the surface of the electrode was obtained. The results were explained by Anson's equation.

REFERENCE

1. Raška P., Langová Š., Leško J.: Možnosti produkce železa a kyslíku přímou elektrochemickou redukcí oxidů v iontových taveninách, Chem. Listy 108, (2014), v tisku.

7P-01**Vliv kolagenového obalu na bobtnavost syntetického hydrogelu****STANISLAV ŠUSTEK^a, LADISLAV SVOBODA^a, MILOSLAV POUZAR^b**^a *Katedra anorganické technologie, ^b Ústav environmentálního a chemického inženýrství, FChT, Univerzita Pardubice, Studentská 95, 530 02 Pardubice stanislav.sustek@student.upce.cz*

V současnosti jsou pro malo- i velkopěstitelské aplikace nabízeny hydrogely na bázi polyakrylátů. Zároveň však probíhá vývoj nových půdních zlepšovačů na přírodní nebo kompozitní bázi, které by měly nahradit drahé a mnohdy problematické syntetické produkty používané jako regulátory půdní vláhly zejména v oblastech s nedostatkem srážek.

V prezentované práci byl studován vliv obalu na bázi směsi kolagenu a bentonitu na bobtnavost syntetického hydrogelu. Bentonit byl zvolen pro jeho schopnost bobtnání a pro jeho vysokou kationtovou výměnnou kapacitu, která zlepšuje vlastnosti sorpčního půdního komplexu a zásobování rostlin živinami. Kolagenový materiál rovněž vykazuje určitou bobtnací kapacitu a je po své mineralizaci v půdě zdrojem živin.

Bylo připraveno 30 vzorků o různém složení obalové směsi, k jejíž přípravě byla použita technická želatina nebo králičí kolagen a dále jeden ze tří testovaných bentonitů, jehož obsah se pohyboval v rozmezí 2-25%. Bentonity byly hodnoceny metodami XRD, XRF, DTA a stanovením distribuce velikosti částic¹. Bobtnavost materiálů byla testována pomocí metody „Tea bag“, kdy navážka vzorku je umístěna do nylonového sáčku, ponořena do vody a ve zvoleném časovém intervalu je kontrolována její hmotnost².

Nejvyšší hodnoty bobtnavosti kompozitního hydrogelu, v němž bylo 89 % syntetické složky nahrazeno kolagen – bentonitovou směsí (cca 40 g vody/g vysušeného hydrogelu) bylo dosaženo u vzorků obsahujících kolem 85 % kolagenu a 4% bentonitu.

Tato práce byla podporována IGA Univerzity Pardubice v rámci projektu SGSFChT 2014002.

LITERATURA

- Šustek S., Svoboda L., Šulcová P., Bělina P.: *Charakterizace bentonitů vhodných pro modifikaci hydrogelů*, (Trendy v anorg. tech.) 2014.
- Sadeghi M., Hosseinzadeh H., Synthesis and Swelling Behavior of Starch-Poly(Podium Acrylate-co-Acrylamide) Superabsorbent Hydrogel, (Turk. J. Chem.) 32, 375-388 (2008).

7P-02**EFFECT OF PRECURSOR SYNTHESIS ON CATALYTIC ACTIVITY OF Co₃O₄ IN N₂O DECOMPOSITION****ŽANETA CHROMČÁKOVÁ^a, LUCIE OBALOVÁ^a, FRANTIŠEK KOVANDA^b, KATEŘINA PACULTOVÁ^a, JANA KUKUTSCHOVÁ^a, SVATOPLUK MICHALIK^a, PIOTR KUSTROWSKI^c, KVĚTUŠE JIRÁTOVÁ^d**^a *VŠB - Technical University of Ostrava, 17. listopadu 15/2172, 708 33, Ostrava, ^b Institute of Chemical Technology, Prague, Technická 5, 166 28 Prague, Czech Republic, ^c Jagiellonian University, Ingardena 3, 30-060, Krakow, Poland, ^d Institute of Chemical Process Fundamentals of the ASCR, Rozvojová 135, 165 02 Prague, Czech Republic zaneta.chromcakova@vsb.cz*

Series of precursors was prepared by precipitation of cobalt nitrate in aqueous solutions using various precipitation agents (NH₃·H₂O, NaOH, Na₂CO₃) and reactions conditions (OH/Co molar ratio, aging time). Powder XRD showed different phase composition of the obtained precursors, in which β-Co(OH)₂, Co^{II}-Co^{III} layered double hydroxide, and basic cobalt carbonate were identified. Only Co₃O₄ spinel-like oxide was found in products after heating at 500 °C in air but different N₂O conversions were observed over the examined oxide catalysts. Especially the catalysts obtained from β-Co(OH)₂ precursors showed high catalytic activity in N₂O decomposition. The correlation between methods of preparation, phase composition of precursors, catalytic properties of the related oxide catalysts, and the role of the cobalt ions as catalytic active sites is discussed.

This work was supported by the Czech Science Foundation (project no. 14-13750S) and by Ministry of Education, Youth and Sports of the Czech Republic in the “National Feasibility Program I”, project LO1208 “Theoretical Aspects of Energetic Treatment of Waste and Environment Protection against Negative Impacts” and by project of specific research SP2014/48.

7P-03**SUPPORTED POTASSIUM-DOPED Co₃O₄ CATALYSTS FOR N₂O DECOMPOSITION****ANNA KLYUSHINA^{a*}, FRANTIŠEK KOVANDA^b, KVĚTUŠE JIRÁTOVÁ^c, LUCIE OBALOVÁ^a**^a *VŠB - Technical University of Ostrava, 17. listopadu 15/2172, Ostrava, ^b Institute of Chemical Technology, Prague, Technická 5, Prague, ^c Institute of Chemical Process Fundamentals of the ASCR, Rozvojová 135, Prague anna.klyushina@vsb.cz*

Supported Co₃O₄ catalysts were prepared by heating the cobalt hydroxide synthesized electrochemically on stainless steel sieve and by heating the commercial TiO₂ tablets impregnated with cobalt nitrate solution; the catalysts were then modified with potassium promoter. For comparison, the

grained K-doped Co_3O_4 catalyst was prepared from the precipitated precursor. The catalysts were characterized by various methods and tested in catalytic N_2O decomposition. The specific catalytic activity of the prepared catalysts was related to cobalt content in each sample. The K-doped Co_3O_4 deposited on stainless steel sieves had the highest activity. Mathematic model of ideal plug flow reactor was used for simulation of the pilot-plant reactor for low-temperature N_2O decomposition in off-gas from nitric acid production. Simulation results also showed that the highest conversion should be achieved over the catalyst deposited on stainless steel sieves. Both catalysts testing in laboratory and mathematical modeling demonstrated advantageous use of structured catalysts.

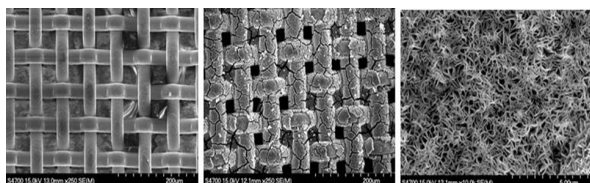


Fig. 1. SEM images of stainless steel sieve support (left), the sieve with deposited K-doped Co_3O_4 (middle), and detail of the surface of deposited oxide layer (right)

This work was supported by the Czech Science Foundation (project P106/14-13750S) and by Ministry of Education, Youth and Sports of the Czech Republic project LO1208 “Theoretical Aspects of Energetic Treatment of Waste and Environment Protection against Negative Impacts” and project SP2014/48.

7P-04

SUPPORTED Co-Mn-Al MIXED OXIDES AS CATALYSTS FOR N_2O DECOMPOSITION

**K. PACULTOVÁ^a, K. KARÁSKOVÁ^b,
J. STRAKOŠOVÁ^c, V. MATĚJKA^c, S. ŠTUDENTOVÁ^b,
K. JIRÁTOVÁ^d, L. OBALOVÁ^{a,b}**

*VŠB – Technical University of Ostrava, ^a Centre of Environmental Technology, ^b Faculty of Metallurgy and Materials Engineering, ^c Nanotechnology Centre, 17. listopadu 15, 708 33 Ostrava, ^d Institute of Chemical Process Fundamentals CAS v.v.i., Rozvojová 135, 165 02 Prague
katerina.pacultova@vsb.cz*

The Co-Mn-Al mixed oxide catalysts on different supports (TiO_2 , SBA-15, Al_2O_3 , SiO_2 , MMT, steel slag, granular blast furnace slag) were prepared by pore filling impregnation, characterized by AAS, XRD, TPR- H_2 and N_2 physisorption and tested for N_2O catalytic decomposition in kinetic regime in an inert gas and in the presence of O_2 , H_2O and NO . The catalytic properties were compared on the basis of specific activities, related to the amount of cobalt and manganese in each sample. The highest activities were observed over Co-Mn-Al mixed oxide supported on SBA-15 and TiO_2 and the lowest on slags; the same trend was maintained in the presence of H_2O , O_2 and NO . The dependence of the specific

activity on the ease of catalyst reducibility was observed, what means that tested supports affected properties of active components.

This work was financially supported by the Czech Science Foundation (project P106/14-13750S) and by Ministry of Education, Youth and Sports of the Czech Republic, project LO1208 “Theoretical Aspects of Energetic Treatment of Waste and Environment Protection against Negative Impacts”.

SEZNAM PLENÁRNÍCH PŘEDNÁŠEK

PL-01	<i>L. Jelemenský</i>	Příprava inženýra chemie vs. potřeby praxe
PL-02	<i>M. Raab</i>	Molekulární gastronomie – přívětivá tvář chemie
PL-03	<i>K. Wichterle</i>	Vývoj chemie a technologie ve XX. století; případ Otto Wichterle

SEZNAM PŘÍSPĚVKŮ PODLE SEKCI

Sekce 1 – Anorganická a materiálová chemie

Přednášky

1L-01	<i>R. Šípoš, A. B. Burdukov, M. A. Vershinin, N. V. Pervukhina, I. V. Eltsov</i>	Nucleophilic and electrophilic substitutions in dichlorine-containing iron (II) clathrochelate
1L-02	<i>J. Podhorský, Z. Moravec, J. Pinkas</i>	Nehydrolytické syntézy aluminofosfátů z organosloučenin fosforu a hliníku
1L-03	<i>N. Številová, I. Schwarzová, E. Singovszká</i>	Properties characterization of modified hemp hurds
1L-04	<i>L. Jeremias, M. Babiak, V. Kubát, Z. Trávníček, J. Novosad</i>	Successful oxidation of R ₂ P-X ligands by elemental tellurium
1L-05	<i>J. Gálíková, Z. Dvořák, Z. Trávníček</i>	<i>In vitro</i> anticancer activity of gold(i) complexes with 9-deazahypoxanthine derivatives
1L-06	<i>I. Doroshenko, M. Babiak, J. Pinkas</i>	Preparation of new coordination compounds of (1-amino-1-methyl-ethyl) phosphonic acid with some d-metals and uranyl ion
1L-07	<i>S. Belušáková, J. Bujdák</i>	Multistep resonance energy transfer in complex systems based on organic dyes and layered silicate
1L-08	<i>T. Michalowski</i>	Ag ₃ (SO ₃ F) ₄ – A rare example of a mixed-valence salt of Ag(I)/Ag(II)
1L-09	<i>M. Karlíková, J. Soukupová, O. Balzerová, K. Šafářová, L. Kvítek</i>	Kovalentní imobilizace nanočástic stříbra na textiliích
1L-10	<i>J. Leitner, D. Sedmidubský</i>	Termodynamická predikce stability GaN a InN zahrnující povrchové efekty
1L-11	<i>J. Barták, V. Podzemná, J. Málek, B. J. Kooi</i>	Růst krystalů v tenkých vrstvách (GeS ₂) _x (Sb ₂ S ₃) _{1-x}
1L-12	<i>M. Sivera, L. Kvítek, A. Panáček</i>	Nanočástice stříbra (AgNPs) – syntéza, modifikace a jejich antibakteriální aktivita
1L-13	<i>D. Pathak, T. Wagner, J.-M. Nunzi</i>	AgInSe ₂ -conjugated polymer hybrid systems for energy applications

- 1L-14 *S. Valkova, T. Wágner, M. Pavlišta, J. Přikryl, M. Vlček, L. Beneš, M. Krbal* Opticky indukovaná difúze Ag do tenkých amorfních vrstev systému Ge-Ga-S
- 1L-15 *B. Zhang, J. Kolář, J. M. Macák, T. Wágner* Stages in resistive switching of memory cells based on chalcogenides and nanoporous AAO

Sekce 1 – Anorganická a materiálová chemie

Postery

- 1P-01 *L. Hanousková, R. Křikavová, Z. Trávníček* Hypoxantin a jeho deriváty jako ligandy v komplexech platiny
- 1P-02 *K. Homzová, K. Györyová, M. Koman, Z. Vargová* Příprava a struktúra 4-aminobenzoátu zinočnatého
- 1P-03 *D. Honěk, M. Hundáková, L. Royumová, G. Simha Martynková* Studium jílových částic s kovy pro polymerní nanokompozity
- 1P-04 *J. Hutýra, R. Křikavová, J. Hošek, J. Vančo, Z. Trávníček* Zlatné komplexy obsahující deriváty hypoxantinu s *in vitro* protizánětlivou aktivitou
- 1P-05 *K. Čech Barabaszová, P. Kalivoda* Zeta-potential characterization of vermiculite nanocomposites
- 1P-06 *J. Karas, M. Mikeska, D. Plachá, G. Simha Martynková* Charakterizace nekovalentně fukcionalizovaných uhlíkatých nanotrubiček
- 1P-07 *M. Kontrík, F. Šimko, D. Galusková, D. Galusek* Korózia TiB₂ v tavenine KF-AlF₃ s prídavkom Al₂O₃
- 1P-08 *M. Kuchařová, A. Stýskalík, J. Pinkas* Sonochemická a solvotermální příprava fosforečnanů kovů
- 1P-09 *P. Luňáková, K. Vilušínská, M. Trojan, J. Trojan* Vliv přípravy na barevné vlastnosti perovskitového pigmentu
- 1P-10 *M. Paúrová, I. Čiřářová, J. Kotek, P. Hermann, I. Lukeš* Komplexy tris(aminomethyl)fosfín-oxidu jako templáty pro syntézu kryptandových systémů
- 1P-11 *V. Pavlík, M. Kontrík, F. Šimko, M. Boča* Simulácia korózneho chovania zliatiny incoloy 800H/HT vo fluoridovom prostredí
- 1P-12 *L. Pazourková, J. Zdrálková, G. Simha Martynková* Vliv anorganických nanoplňiv na bázi jílových minerálů a uhlíkatých materiálů na tepelné vlastnosti poly(*n*-vinylnkaprolaktamu)
- 1P-13 *P. Praus, P. Kovář* Zinc and cadmium sulphide nanocomposites with montmorillonite: preparation and photocatalytic activity
- 1P-14 *L. Svoboda, P. Praus* Preparation of Zn_xCd_{1-x}S nanoparticles and their photocatalytic
- 1P-15 *B. Vranovičová, R. Boča, V. Mrázová* Štúdium J-magnetoštruktúrnych korelácií
- 1P-16 *M. Zvonková, J. Luxová, J. Trojan, M. Trojan* Mechanoaktivace CaSnSiO₅

Sekce 2 – Analytická a fyzikální chemie**Přednášky**

2L-01	<i>P. Tarkowski, O. Novák, J. Kořistka, L. Halenková, P. Jaworek, T. Béres, Y.-Q. Feng, M. Strnad</i>	Moderní metody izolace a profilování rostlinných hormonů cytokininů
2L-02	<i>P. Tůma</i>	On-line prekoncentrace klinických vzorků v kapilární elektroforéze
2L-03	<i>J. Sokol</i>	Využitie analytických metód pri analýze liečiv v potravinách
2L-04	<i>A. Balzerová, A. Fargašová, Z. Marková, V. Ranc, R. Zbořil</i>	Detekce lidského imunoglobulinu G z kapky krve pomocí magnetického nanokompozitu a povrchem zesílené Ramanovy spektroskopie
2L-05	<i>A. Fargašová, R. Prucek, A. Balzerová, M. Šopůchová, A. Panáček, L. Kvítek, R. Zbořil</i>	Vliv stárnutí disperze nanočástic stříbra na jejich použití v povrchem zesílené Ramanově spektroskopii
2L-06	<i>J. Vlček, L. Lapčík, A. Panáček</i>	Studium přípravy vrstev nanočástic stříbra za využití studené plazmy pro povrchem zesílenou Ramanovu spektroskopii (SERS)
2L-07	<i>P. Filipczak, M. Kozanecki</i>	Influence of silver nanoparticles on Raman resonance effect in liquid water
2L-08	<i>E. Rábarová, E. Beinrohr</i>	Chronopotenciometrické stanovenie kyseliny askorbovej v biologických materiáloch
2L-09	<i>P. Samiec, Z. Navrátilová</i>	Voltametrické stanovení bromazepamu na meniskem modifikované stříbrné pevné amalgámové elektrodě
2L-10	<i>M. Kilianová, R. Prucek, J. Filip, J. Kolařík, L. Kvítek, A. Panáček, J. Tuček, R. Zbořil</i>	Nevšední účinnost ultrajemných superparamagnetických nanočástic oxidů železa při odstraňování arseničnanových iontů z vodného prostředí
2L-11	<i>J. Kolařík, R. Prucek, Z. Marušák, R. Zbořil</i>	Odstranění sloučenin arsenu pomocí materiálu na bázi železa
2L-12	<i>T. Zelenka</i>	Studium texturních a adsorpčních parametrů uhlíkatých adsorbentů
2L-13	<i>M. Mucha, J. Kalina</i>	Křídlatka – alternativa pro čištění vod?
2L-14	<i>J. Jůza, I. Fortelný</i>	Effect of polydispersity on flow-induced coalescence in molten polymer blends
2L-15	<i>M. Mazúr, L. Husáriková, M. Valko</i>	Copper complexes with biologically active nitrogen ligands – an EPR study in frozen water/methanol solutions
2L-16	<i>V. Mrázová, M. Maliarová</i>	Optimization of phenolic compounds extraction from <i>Triticum spelta</i> L.

Sekce 2 – Analytická a fyzikální chemie**Cena Shimadzu**

2S-01	<i>A. Hájková</i>	Voltametrické stanovení organických polutantů na netradičních elektrodách a výzkum jejich interakce s DNA
2S-02	<i>M. Hrabalíková</i>	Stanovení senzory významných látek destilátů plynovou chromatografií s hmotnostní detekcí
2S-03	<i>M. Rybínová, V. Červený, P. Rychlovský</i>	Stanovení selenu kombinovanou technikou UV-fotochemického generování těkavých sloučenin a atomové absorpční spektrometrie s křemenným atomizátorem

2S-04	<i>M. Šťastný</i>	Studium kinetiky a mechanismu rozkladu organofosforečných pesticidů na reaktivních sorbentech pomocí moderních analytických instrumentálních metod
2S-05	<i>M. Tatarkovič, V. Setnička</i>	Nový přístup v klinické diagnostice karcinomu pankreatu a kolorekta: chiroptická spektroskopie krevní plasmy
2S-06	<i>I. Tomalová, P. Foltynová, V. Kanický, J. Preisler</i>	Vývoj off-line spojení kapilární elektroforézy s molekulovou a prvkovou hmotnostní spektrometrií
2S-07	<i>T. Tůmová, L. Monincová, V. Čeřovský, V. Kašička</i>	Study of antimicrobial peptides by capillary electromigration methods
2S-08	<i>M. Urbánková</i>	Využití pyrolyzní plynové chromatografie s hmotnostní detekcí při kvantitativní analýze polymerních přísad
2S-09	<i>P. Veselá, V. Slovák</i>	Možnosti využití termické analýzy při studiu pyrolýzy organických xerogelů
2S-10	<i>L. Vrzal, H. Dvořáková</i>	Využití orientujících medií ve strukturní analýze calix[4]arenů

Sekce 2 – Analytická a fyzikální chemie

Postery

2P-01	<i>L. Bláhová, V. Malá</i>	Studium sorpce kovů na struskách
2P-02	<i>L. Kuboňová, L. Obalová, D. Fridrichová, P. Cool</i>	Surface activation of mesoporous ordered silica materials by aluminum and rhodium, their characterization and catalytic activity for N ₂ O decomposition
2P-03	<i>B. Erdelyi, R. Oriňáková, A. Oriňák, D. Velič</i>	Katalyzátory na báze CNTs pre pyrolyznu konverziu metánu na vodík
2P-04	<i>M. Procházka, D. Velič</i>	Odbúravanje cholesterolu na povrchu TiO ₂ : SIMS - štúdia
2P-05	<i>J. Macko, R. Oriňáková, A. Oriňák, A. Valenčáková, D. Harvanová, J. Radoňák</i>	Vplyv polarity nanopovrchu na adhéziu živých bunkových línií
2P-06	<i>J. Koktan, H. Ryšavá, P. Řezanka</i>	Cirkulární dichroismus chirálních nanočástic stříbra
2P-07	<i>B. Hrvolová, J. Kalina</i>	Degradace luteinu v čase
2P-08	<i>R. Poláček, P. Májek, J. Sádecká</i>	PLS modely viacrozmernej kalibrácie pri stanovení obsahu kumarínu a jeho metabolitov v zmesi fluorescenčnou spektroskopiou
2P-09	<i>M. Jakubek, V. Parchaňský, J. Sedláček, B. Dolenský</i>	Kvantově chemické výpočty a multivariační vyhodnocení spektrometrických dat pro analýzu interakce supramolekulárního receptoru s rozpouštědlem
2P-10	<i>J. Szewieczková, F. Mravec, M. Pekař</i>	Fluorescence study of DPTAP and hyaluronic acid mixtures
2P-11	<i>P. Michalíková, T. Borůvková, F. Mravec, J. Čáslavský, M. Pekař</i>	The use of gas chromatography for determination of residual <i>tert</i> -butanol in dried systems of hyaluronan and fluorescence probes
2P-12	<i>R. Čmelík, D. Flodrová</i>	Kvalitativní a kvantitativní analýza sacharidů v hroznech a vínu pomocí HPLC s MS a ELS detekcí
2P-13	<i>J. Stachniuk, K. Borowczyk, R. Glowacki</i>	Determination of cysteinylglycine and cysteine in plasma by HPLC with UV detection
2P-14	<i>L. Rábara</i>	Voltampérometrické štúdium triazínových derivátov

2P-15	<i>J. Svítková, L. Švorc, J. Labuda</i>	Štúdium interakcie pesticídu alachlór s guanozínom využitím elektrochemických a spektrálnych metód
2P-16	<i>M. Šídlo, P. Lubal, M. Pernica</i>	Senzorová pole pro stanovení aniontů
2P-17	<i>J. Kořistka, L. Halenková, P. Jaworek, Y.-Q. Feng, P. Tarkowski</i>	Purifikace vybraných cytokininů pomocí mikroextrakce polymerním monolitem
2P-18	<i>K. Musil, P. Buček, V. Dohnal</i>	Stanovení disociačních konstant nově syntetizovaných pyridiniových oximů
2P-19	<i>S. Procházková, R. Halko, L. Okenicová</i>	A green method using a micellar system for determination of copper in biological samples
2P-20	<i>R. Pilný, R. Michalicová, P. Lubal, L. I. Elding</i>	Termodynamické a kinetické studium reakce Pd(II) iontů s oxalátovými ionty
2P-21	<i>S. Halászová, M. Jerigová, D. Velič</i>	Identifikácia štruktúr na báze cyklodextrín-železo pomocou SIMS analýzy
2P-22	<i>M. Gregová Trenčanová, D. Velič</i>	Fluorescenčná spektroskopia supramolekulových komplexov cyklodextrínov a kumarínu c153
2P-23	<i>L. Novotný</i>	Široce dostupná potenciometrie se speciálním modulem, známými i novými (amalgamovými, špičkovými) čidly

Sekce 3 – Organická chemie a polymery

Přednášky

3L-01	<i>K. Ulbrich</i>	Možnosti syntetických polymerů při cílené terapii a diagnostice
3L-02	<i>E. Ružinská</i>	The application of bicomponent polymeric fibres for collection of hazardous chemical substances
3L-03	<i>P. Sysel, E. Minko, J. Vyšohlíd</i>	Membrány na bázi vysoce větvených polyimidů obsahujících aditiva
3L-04	<i>M. Putala, J. Filo, L. Kerner, A. Kicková, R. Mišicák</i>	Binaftylové chiroptické prepínače
3L-05	<i>R. Rybakiewicz, K. Kotwica, L. Skorka, M. Zagorska</i>	New semiconductors containing dithieno[3,2-b:2',3'-d]pyrrole (DTP) units for organic electronic devices
3L-06	<i>K. Kotwica, M. Materna, D. Wamil, R. Rybakiewicz, Ł. Skorka, P. Gunka, P. Bujak, B. Golec, J. Herbich, T. Jaroch, R. Nowakowski, B. Łuszczynska, M. Zagórska, A. Proń</i>	An easily accessible indanthrone – based organic semiconductor for organic electronics
3L-07	<i>K. Proisl, A. Sřholcová, M. Kučera, D. Urankar, J. Košmrlj, S. Kafka</i>	Reaktivní heterocyklické sloučeniny dostupné z <i>N</i> -(α -ketoacyl) anthranilových kyselin
3L-08	<i>P. Hradil</i>	Kam kráčí farmaceutický průmysl
3L-09	<i>L. Cvak</i>	Chromatography in the industrial isolation of natural products

Sekce 3 – Organická chemie a polymery

Postery

3P-01	<i>T. Aysha, S. Luňák Jr, R. Hrdina</i>	High performance colorants based on pyrrolinone ester
3P-02	<i>A. Sřholcová, M. Kučera, K. Proisl, J. Košmrlj, D. Urankar, S. Kafka</i>	Benzo[1,4]oxazepin-2,5-diony v organické syntéze

- 3P-03 *F. Gregář, M. Melicherčík, J. Slovák, A. Boháč* Cross-coupling reakce substituovaného 1,3-oxazolu
- 3P-04 *R. Kimmel, M. Molnárová, T. Dostálová, I. Kapavíková, J. Košmrlj, S. Kafka* Syntézy triazolových derivátů chinolin-2,4(1*H*,3*H*)-dionu
- 3P-05 *F. Křemen, A. Srhlcová, K. Proisl, J. Košmrlj, D. Urankar, S. Kafka* Basicky indukovaný přesmyk 3-aminochinolin-2,4-dionů vedoucí k benzo[e][1,4]diazepin-2,5-dionům
- 3P-06 *J. Hirsch, M. Baráth, M. Kooš, P. Biely* Synthesis of *p*-nitrophenyl β -D-glycosides of di- and tri saccharide of xylan type – the substrates for enzyme assays
- 3P-07 *M. Klobucki, C. Wawrzeńczyk* Phospholipids – compounds for special tasks
- 3P-08 *M. Krátký, J. Vinšová, M. Komlóová, J. Stolaříková* Syntéza 2-aryloylhydrazinkarbox-amidů, 1,2-diacylhydrazinů a 1,3,4-oxadiazolů jako potenciálních antimikrobiálních molekul
- 3P-09 *J. Podešva, M. Hrubý, J. Kovářová, J. Spěváček* Autostabilizované elastomerní polyurethany
- 3P-10 *L. Hřčková, J. Kollár, Š. Chmela, E. Macová, A. Šišková, D. Berek* Příprava blokových kopolymérov nitroxidmi říadenou kontrolovanou radikálovou polymerizací
- 3P-11 *Z. Nógellová, I. Krupa, Z. Špitalský, K. Csomorová, I. Janigová, M. Malíková, O. Žigo, M. A. A. Almaadeed* Termické a mechanické vlastnosti zmesí vysokohustotného polyetylénu a enkapsulovaného parafinového vosku
- 3P-12 *I. Novák, M. Valentín, J. Prachár, M. Mičušík, I. Chodák, M. Omastová* Increase of adhesion in adhesive joint PVC-polyurethane adhesive – middle density fiberboard
- 3P-13 *I. Novák, A. Popelka, M. Omastová, M. Valentín, M. Mičušík, J. Prachár* Investigation of beech wood modified by radio-frequency plasma
- 3P-14 *K. Piechocki, M.N. Olejniczak, M. Kozanecki* Impact of density of cross-linking and ionic strength on volume phase transition of thermosensitive polymer hydrogels

Sekce 4 – Životní prostředí, potravinářství a toxikologie

Přednášky

- 4L-01 *J. Vacek* Cyclopentenediones: toxicological aspects and practical applications
- 4L-02 *J. Fišnar, Z. Réblová* Vztah mezi úbytkem tokoferolů a vznikem polymerních triacylglycerolů během zahřívání rostlinných olejů
- 4L-03 *Š. Hradilová, A. Panáček, L. Kvítek, R. Zbořil* Stresová odezva buněk vyvolaná kontaktem s nanočásticemi
- 4L-04 *M. Bancířová, J. Hrbáč, J. Vrba, J. Vacek, N. Cibiček, V. Halouzka, L. Roubalová, J. Ulrichová* Nitric oxide detection
- 4L-05 *M. Reli, N. Ambrožová, M. Šihor, L. Matějová, Z. Lacný, A. Kotarba, L. Obalová, K. Kočí* Vliv dopování TiO₂ cerem na výtěžky fotokatalytické redukce CO₂
- 4L-06 *L. Vysloužil* Havarijní služba v řešení ekologických havárií a technologických poruch

Sekce 4 – Životní prostředí, potravinářství a toxikologie

Postery

- | | | |
|-------|---|--|
| 4P-01 | <i>J. Hurtová, T. Vyskočilová, M. Vrtná, A. Lichnová, I. Márová</i> | Enkapsulace probiotických bakterií |
| 4P-02 | <i>M. Pala, S. Obruca, V. Slavickova, P. Benesova, V. Hlavacek, I. Marova</i> | Enzymatická hydrolyza kávové sedliny |
| 4P-03 | <i>M. Bartusková, E. Schlesingerová</i> | Dlouhodobé sledování aktivit ⁹⁰ Sr v některých potravních komoditách |
| 4P-04 | <i>L. Bandžuchová, R. Šelešovská, J. Chýlková</i> | Voltametrická analýza triazinového herbicidu metamitronu na pevných elektrodách |
| 4P-05 | <i>L. Novotný, P. Langášek, R. Petráňková, A. Kabutey</i> | Vybraná potenciometrická měření za a bez přístupu vzduchu |
| 4P-06 | <i>M. Šihor, K. Vágnerová, Z. Lacný, L. Matějová, M. Cešlarová, P. Praus, L. Obalová, K. Kočí</i> | Snížení znečištění ovzduší a vod fotoindukovanými jevy na tenkých vrstvách na bázi TiO ₂ |
| 4P-07 | <i>H. Hybská, V. Velková, E. Ružinská</i> | Hazardous substances and oil |
| 4P-08 | <i>M. Palacková, S. Krupčíková</i> | Kovy a ich účínok na ľudský organizmus |
| 4P-09 | <i>H. Porschová, H. Parschová</i> | Odstraňování uranu pomocí anežů z vodných roztoků |
| 4P-10 | <i>M. Němeček, H. Parschová</i> | Zkoumání sorpce a desorpce chromanů na selektivním sorbentu s aminomethylglucitolovou funkční skupinou |
| 4P-11 | <i>E. Sarčáková, L. Jochymová, D. Surovka</i> | Monitoring vybraných PAH _s na haldě EMA pomocí HPLC analýzy |

Sekce 5 – Výuka a historie chemie

Přednášky

- | | | |
|-------|---|--|
| 5L-01 | <i>J. Reguli</i> | Neprekonaná popularizátorka vedy |
| 5L-02 | <i>I. Mašek, Z. Šafařík, D. Vičar</i> | Bezpečnost a ochrana společnosti |
| 5L-03 | <i>Z. Šafařík, I. Mašek, D. Vičar</i> | Využití zkušeností ze závažných havárií ke vzdělávání obyvatelstva a výuce studentů v oblasti chemie |
| 5L-04 | <i>B. Hrvolová, J. Kalina, T. Zelenka</i> | Metody fyzikální chemie – inovace laboratorního cvičení |
| 5L-05 | <i>M. Palacková, Š. Stanko</i> | Chémia očami stredoškolača – výučba, podujatia, význam |

Sekce 5 – Výuka a historie chemie

Postery

- | | | |
|-------|---|---|
| 5P-01 | <i>M. Bílek</i> | Badatelsky orientované vyučování chemii jako výzva pro počítačem podporovaný školní chemický experiment |
| 5P-02 | <i>M. Novotný, E. Eisenhammerová, R. Radvan, M. Herrmannová</i> | Tvorba demonstrativních videí určených pro výuku (bio)organické chemie |
| 5P-03 | <i>J. John</i> | CINCH-II: další krok v koordinaci vzdělávání v oblasti jaderné chemie v Evropě |

- 5P-04 *M. Šmidl* Analýza prekonceptů strukturálních vzorců sacharidů u žáků středních škol
- 5P-05 *K. Musil, L. Neuwirthová, J. Bartoš* Soutěž o nejpálivější chilli papričku, určování pálivosti skrze měření obsahu kapsaicinoidů ve vzorcích metodou HPLC

Sekce 6 – Termická analýza

Přednášky

- 6L-01 *P. Šimon, T. Dubaj* Advantages and flaws of isoconversional methods
- 6L-02 *A. Plško, M. Tomagová, J. Pagáčová, M. Liška, V. Zemanová, B. Hruška* Termická analýza anorganicko-organických xerogelů
- 6L-03 *J. Shánělová, P. Pilný, J. Málek* Vliv zrnitosti na krystalizaci v podchlazené tavenině As_2Se_3
- 6L-04 *J. Kučerík, C. Siewert* Půda, voda, život – co zmůže termická analýza?
- 6L-05 *P. Veselá, V. Slovák* Možnosti využití termické analýzy při studiu pyrolýzy organických xerogelů
- 6L-06 *J. Štefelová, V. Slovák* Termoanalytické studium pyrolýzy dřeva jako metody přípravy uhlíkatých adsorbentů
- 6L-07 *G. Hotová, V. Slovák* Vliv přítomnosti oxidu grafitu na termické vlastnosti organických a uhlíkatých materiálů
- 6L-08 *E. Füglein* “Identify” – a new approach for using databases in thermal analysis
- 6L-09 *A. Kalup, M. Žaludová, S. Zlá, M. Strouhalová, K. Gryc, B. Smetana* Comparison of calculated and measured thermophysical properties of real steel grades
- 6L-10 *V. Slovák, G. Hotová* Kvantitativní využití TG-MS – určení elementárního složení oxidu grafitu
- 6L-11 *P. Šulcová* OSTA a její aktivity

Sekce 6 – Termická analýza

Postery

- 6P-01 *B. Hablovičová, P. Šulcová* Využití termické analýzy ke studiu sloučeniny $Er_2Ce_2O_7$
- 6P-02 *E. Kinnertová, V. Slovák* Oxidační reaktivita uhlíkatých xerogelů připravených zrychlenou kondenzací
- 6P-03 *J. Luxová, P. Šulcová, M. Trojan, M. Zvonková, J. Trojan* Termická analýza malayaitového pigmentu dopovaného kobaltem
- 6P-04 *B. Smetana, M. Žaludová, S. Zlá, P. Dostál, S. Rosypalová, A. Kalup, J. Dobrovská, K. Gryc, K. Michalek, M. Strouhalová, L. Válek* Study of solidus and liquidus temperatures of Fe-based alloys using thermal analysis methods

Sekce 7 – Průmyslová chemie a inženýrství

Přednášky

- 7L-01 *M. Jořenek, L. Zajoncová, N. Krčová* Imobilizace enzymů na magnetické částice a jejich biotechnologická aplikace
- 7L-02 *E. Ružinská, J. Detvaj, I. Klement* The multifunction recovery of hazardous lignocellulose waste

- 7L-03 *T. Weidlich, B. Nováková,
A. Krejčová, J. Opršál* Antropogenní emise AOX a možnosti jejich jednoduché destrukce
- 7L-04 *P. Raška, J. Leško* Direct electrochemical reduction of hematite in melt systems NaOH-H₂O

Sekce 7 – Průmyslová chemie a inženýrství

Postery

- 7P-01 *S. Šustek, L. Svoboda,
M. Pouzar* Vliv kolagenového obalu na bobtnavost syntetického hydrogelu
- 7P-02 *Ž. Chromčáková, L. Obalová,
F. Kovanda, K. Pacultová,
J. Kukutschová, S. Michalik,
P. Kustrowski, K. Jirátová* Effect of precursor synthesis on catalytic activity of Co₃O₄ in N₂O decomposition
- 7P-03 *A. Klyushina, F. Kovanda,
K. Jirátová, L. Obalová* Supported potassium-doped Co₃O₄ catalysts for N₂O decomposition
- 7P-04 *K. Pacultová, K. Karásková,
J. Strakošová, V. Matějka,
S. Študentová, K. Jirátová,
L. Obalová* Supported Co-Mn-Al mixed oxides as catalysts for N₂O decomposition

AUTORSKÝ REJSTŘÍK

- Almaadeed M. A. A. 3P-11
 Ambrožová N. 4L-05
 Aysha T. 3P-01
- Babiak M. 1L-04, 1L-06
 Balzerová A. 2L-04, 2L-05
 Balzerová O. 1L-09
 Banciřová M. 4L-04
 Bandžuchová L. 4P-04
 Barabaszová K. Čech 1P-05
 Baráth M. 3P-06
 Barták J. 1L-11
 Bartoš J. 5P-05
 Bartusková M. 4P-03
 Beinrohr E. 2L-08
 Belušáková S. 1L-07
 Beneš L. 1L-14
 Benesova P. 4P-02
 Berek D. 3P-10
 Béres T. 2L-01
 Biely P. 3P-06
 Bílek M. 5P-01
 Bláhová L. 2P-01
 Boča M. 1P-11
 Boča R. 1P-15
 Boháč A. 3P-03
 Borowczyk K. 2P-13
 Borůvková T. 2P-11
 Buček P. 2P-18
 Bujak P. 3L-06
 Bujdák J. 1L-07
 Burdukov A. B. 1L-01
- Cešlarová M. 4P-06
 Cibíček N. 4L-04
 Císařová I. 1P-10
 Cool P. 2P-02
 Csomorová K. 3P-11
 Cvak L. 3L-09
- Čáslavský J. 2P-11
 Červený V. 2S-03
 Čeřovský V. 2S-07
 Čmelík R. 2P-12
- Detvaj J. 7L-02
 Dobrovská J. 6P-04
 Dohnal V. 2P-18
 Dolenský B. 2P-09
 Doroshenko I. 1L-06
 Dostál P. 6P-04
 Dostálová T. 3P-04
 Dubaj T. 6L-01
 Dvořák Z. 1L-05
 Dvořáková H. 2S-10
- Eisenhammerová E. 5P-02
 Elding L. I. 2P-20
 Eltsov I. V. 1L-01
 Erdelyi B. 2P-03
- Fargašová A. 2L-04, 2L-05
 Feng Y.-Q. 2L-01, 2P-17
 Filip J. 2L-10
 Filipczak P. 2L-07
 Filo J. 3L-04
 Fišnar J. 4L-02
 Flodrová D. 2P-12
 Foltynová P. 2S-06
 Fortelný I. 2L-14
 Fridrichová D. 2P-02
 Füglein E. 6L-08
- Gáliková J. 1L-05
 Galusek D. 1P-07
 Galusková D. 1P-07
 Głowacki R. 2P-13
 Golec B. 3L-06
 Gregaň F. 3P-03
 Gregová Trenčanová M. 2P-22
 Gryc K. 6L-09, 6P-04
 Gunka P. 3L-06
 Györyová K. 1P-02
- Hablovičová B. 6P-01
 Hájková A. 2S-01
 Halászová S. 2P-21
 Halenková L. 2L-01, 2P-17
 Halko R. 2P-19
 Halouzka V. 4L-04
 Hanousková L. 1P-01
 Harvanová D. 2P-05
 Herbich J. 3L-06
 Hermann P. 1P-10
 Herrmannová M. 5P-02
 Hirsch J. 3P-06
 Hlavacek V. 4P-02
 Homzová K. 1P-02
 Honěk D. 1P-03
 Hošek J. 1P-04
 Hotová G. 6L-07, 6L-10
 Hrabalíková M. 2S-02
 Hradil P. 3L-08
 Hradilová Š. 4L-03
 Hrbáč J. 4L-04
 Hřčková L. 3P-10
 Hrdina R. 3P-01
 Hrubý M. 3P-09
 Hruška B. 6L-02
 Hrvolová B. 5L-04, 2P-07
 Hundáková M. 1P-03
 Hurtová J. 4P-01
- Husáriková L. 2L-15
 Hutýra J. 1P-04
 Hybská H. 4P-07
- Chmela Š. 3P-10
 Chodák I. 3P-12
 Chromčáková Ž. 7P-02
 Chýlková J. 4P-04
- Jakubek M. 2P-09
 Janigová I. 3P-11
 Jaroš T. 3L-06
 Jaworek P. 2L-01, 2P-17
 Jelemenský L. PL-01
 Jeremias L. 1L-04
 Jerigová M. 2P-21
 Jirátová K. 7P-02, 7P-03, 7P-04
 Jochymová L. 4P-11
 John J. 5P-03
 Jořenek M. 7L-01
 Jůza J. 2L-14
- Kabutey A. 4P-05
 Kafka S. 3L-07, 3P-02, 3P-04, 3P-05
 Kalina J. 2L-13, 2P-07, 5L-04
 Kalivoda P. 1P-05
 Kalup A. 6L-09, 6P-04
 Kanický V. 2S-06
 Kapavíková I. 3P-04
 Karas J. 1P-06
 Karásková K. 7P-04
 Karlíková M. 1L-09
 Karolová L. 1P-15
 Kašička V. 2S-07
 Kerner L. 3L-04
 Kicková A. 3L-04
 Kilianová M. 2L-10
 Kimmel R. 3P-04
 Kinnertová E. 6P-02
 Klement I. 7L-02
 Klobucki M. 3P-07
 Klyushina A. 7P-03
 Kočí K. 4L-05, 4P-06
 Koktan J. 2P-06
 Kolář J. 1L-15
 Kolařík J. 2L-10, 2L-11
 Kollár J. 3P-10
 Koman M. 1P-02
 Komlóová M. 3P-08
 Kontrík M. 1P-07, 1P-11
 Kooi B. J. 1L-11
 Kooš M. 3P-06
 Kořistka J. 2L-01, 2P-17
 Košmrlj J. 3L-07, 3P-02, 3P-04, 3P-05
 Kotarba A. 4L-05
 Kotek J. 1P-10

- Kotwica K. 3L-05, 3L-06
 Kovanda F. 7P-02, 7P-03
 Kovář P. 1P-13
 Kovářová J. 3P-09
 Kozanecki M. 2L-07, 3P-14
 Krátký M. 3P-08
 Krbal M. 1L-14
 Krčová N. 7L-01
 Krejčová A. 7L-03
 Křemen F. 3P-05
 Křikavová R. 1P-01, 1P-04
 Krupa I. 3P-11
 Krupčíková S. 4P-08
 Kubát V. 1L-04
 Kuboňová L. 2P-02
 Kučera M. 3L-07, 3P-02
 Kučerík J. 6L-04
 Kuchařová M. 1P-08
 Kukutschová J. 7P-02
 Kustrowski P. 7P-02
 Kvíték L. 1L-09, 1L-12, 2L-05, 2L-10, 4L-03

 Labuda J. 2P-15
 Lacný Z. 4L-05, 4P-06
 Langášek P. 4P-05
 Lapčík L. 2L-06
 Leitner J. 1L-10
 Leško J. 7L-04
 Lichnová A. 4P-01
 Liška M. 6L-02
 Lubal P. 2P-16, 2P-20
 Lukeš I. 1P-10
 Luňák Jr S. 3P-01
 Luňáková P. 1P-09, 1P-15
 Łuszczynska B. 3L-06
 Luxová J. 1P-15, 1P-16, 6P-03

 Macák J. M. 1L-15
 Macko J. 2P-05
 Macová E. 3P-10
 Májek P. 2P-08
 Malá V. 2P-01
 Málek J. 1L-11, 6L-03
 Maliarová M. 2L-16
 Malíková M. 3P-11
 Marková Z. 2L-04
 Márová I. 4P-01, 4P-02
 Martynková G. Simha 1P-03, 1P-06, 1P-12
 Marušák Z. 2L-11
 Mašek I. 5L-02, 5L-03
 Matějka V. 7P-04
 Matějová L. 4L-05, 4P-06
 Materna M. 3L-06
 Mazúr M. 2L-15
 Melicherčík M. 3P-03
 Michalek K. 6P-04
 Michalicová P. 2P-11
 Michalicová R. 2P-20
 Michalík S. 7P-02

 Michałowski T. 1L-08
 Mičušík M. 3P-12, 3P-13
 Mikeska M. 1P-06
 Minko E. 3L-03
 Mišicák R. 3L-04
 Molnářová M. 3P-04
 Monincová L. 2S-07
 Moravec Z. 1L-02
 Mravec F. 2P-10, 2P-11
 Mrázová V. 1P-15, 2L-16
 Mucha M. 2L-13
 Musil K. 2P-18, 5P-05

 Navrátilová Z. 2L-09
 Němeček M. 4P-10
 Neuwirthová L. 5P-05
 Nógellová Z. 3P-11
 Novák I. 3P-12, 3P-13
 Novák O. 2L-01
 Nováková B. 7L-03
 Novosad J. 1L-04
 Novotný L. 2P-23, 4P-05
 Novotný M. 5P-02
 Nowakowski R. 3L-06
 Nunzi J.-M. 1L-13

 Obalová L. 2P-02, 4L-05, 4P-06, 7P-02, 7P-03, 7P-04
 Obruca S. 4P-02
 Okenicová L. 2P-19
 Olejniczak M. N. 3P-14
 Omastová M. 3P-12, 3P-13
 Opršál J. 7L-03
 Oriňák A. 2P-03, 2P-05
 Oriňáková R. 2P-03, 2P-05

 Pacultová K. 7P-02, 7P-04
 Pagáčová J. 6L-02
 Pala M. 4P-02
 Palacková M. 4P-08, 5L-05
 Panáček A. 1L-12, 2L-05, 2L-06, 2L-10, 4L-03
 Parchaňský V. 2P-09
 Parschová H. 4P-09, 4P-10
 Pathak D. 1L-13
 Paúrová M. 1P-10
 Pavlík V. 1P-11
 Pavlišta M. 1L-14
 Pazourková L. 1P-12
 Pekař M. 2P-10, 2P-11
 Pernica M. 2P-16
 Pervukhina N. V. 1L-01
 Petráňková R. 4P-05
 Piechocki K. 3P-14
 Pilný P. 6L-03
 Pilný R. 2P-20
 Pinkas J. 1L-02, 1L-06, 1P-08
 Plachá D. 1P-06
 Pliško A. 6L-02
 Podešva J. 3P-09
 Podhorský J. 1L-02

 Podzemná V. 1L-11
 Poláček R. 2P-08
 Popelka A. 3P-13
 Porschová H. 4P-09
 Pouzar M. 7P-01
 Prachár J. 3P-12, 3P-13
 Praus P. 1P-13, 1P-14, 4P-06
 Preisler J. 2S-06
 Příkryl J. 1L-14
 Procházka M. 2P-04
 Procházková S. 2P-19
 Proisl K. 3L-07, 3P-02, 3P-05
 Proň A. 3L-06
 Prucek R. 2L-05, 2L-10, 2L-11
 Putala M. 3L-04

 Raab M. PL-02
 Rábara L. 2P-14
 Rábarová E. 2L-08
 Radoňák J. 2P-05
 Radvan R. 5P-02
 Ranc V. 2L-04
 Raška P. 7L-04
 Réblová Z. 4L-02
 Reguli J. 5L-01
 Reli M. 4L-05
 Rosypalová S. 6P-04
 Roubalová L. 4L-04
 Royumová L. 1P-03
 Ružinská E. 3L-02, 4P-07, 7L-02
 Rybakiewicz R. 3L-05, 3L-06
 Rybínová M. 2S-03
 Rychlovský P. 2S-03
 Ryšavá H. 2P-06

 Řezanka P. 2P-06

 Sádecká J. 2P-08
 Samiec P. 2L-09
 Sarčáková E. 4P-11
 Schlesingerová E. 4P-03
 Schwarzová I. 1L-03
 Sedláček J. 2P-09
 Sedmidubský D. 1L-10
 Setnička V. 2S-05
 Shánělová J. 6L-03
 Siewert C. 6L-04
 Singovszká E. 1L-03
 Sivera M. 1L-12
 Skorka L. 3L-05, 3L-06
 Slavickova V. 4P-02
 Slovák V. 2S-09, 6L-05, 6L-06, 6L-07, 6L-10, 6P-02
 Slovák V. 2S-09, 6L-05, 6L-06, 6L-07, 6L-10, 6P-02
 Slovík J. 3P-03
 Smetana B. 6L-09, 6P-04
 Sokol J. 2L-03
 Sopúchová M. 2L-05
 Soukupová J. 1L-09
 Spěváček J. 3P-09
 Sřholcová A. 3L-07, 3P-02, 3P-05
 Stachniuk J. 2P-13

- Stanko Š. 5L-05
Stolaříková J. 3P-08
Strakošová J. 7P-04
Strnad M. 2L-01
Strouhalová M. 6L-09, 6P-04
Stýskalík A. 1P-08
Surovka D. 4P-11
Svítková J. 2P-15
Svoboda L. 1P-14, 7P-01
Sysel P. 3L-03
Szewieczková J. 2P-10
- Šafařík Z. 5L-02, 5L-03
Šafařová K. 1L-09
Šelešovská R. 4P-04
Šídlo M. 2P-16
Šihor M. 4L-05, 4P-06
Šimko F. 1P-07, 1P-11
Šimon P. 6L-01
Šípoš R. 1L-01
Šišková A. 3P-10
Šmídl M. 5P-04
Špitalský Z. 3P-11
Šťastný M. 2S-04
Štefelová J. 6L-06
Številová N. 1L-03
Šudentová S. 7P-04
Šulcová P. 6L-11, 6P-01, 6P-03
Šustek S. 7P-01
Švorc E. 2P-15
- Tarkowski P. 2L-01, 2P-17
Tatarkovič M. 2S-05
Tomagová M. 6L-02
Tomalová I. 2S-06
Trávníček Z. 1L-04, 1L-05, 1P-01, 1P-04
Trojan J. 1P-09, 1P-15, 1P-16, 6P-03
Trojan M. 1P-16, 1P-09, 1P-15, 6P-03
Tuček J. 2L-10
Tůma P. 2L-02
Tůmová T. 2S-07
- Ulbrich K. 3L-01
Ulrichová J. 4L-04
Urankar D. 3L-07, 3P-02, 3P-05
Urbánková M. 2S-08
- Vacek J. 4L-01, 4L-04
Vágnerová K. 4P-06
Válek L. 6P-04
Valenčáková A. 2P-05
Valentín M. 3P-12, 3P-13
Valko M. 2L-15
Valkova S. 1L-14
Vančo J. 1P-04
Vargová Z. 1P-02
Velič D. 2P-03, 2P-04, 2P-21, 2P-22
Veřková V. 4P-07
Vershinin M. A. 1L-01
Veselá P. 2S-09, 6L-05
Vičar D. 5L-02, 5L-03
- Vilušínská K. 1P-09
Vinšová J. 3P-08
Vlček J. 2L-06
Vlček M. 1L-14
Vranovičová B. 1P-15
Vrba J. 4L-04
Vrtná M. 4P-01
Vrzal L. 2S-10
Vyskočilová T. 4P-01
Vysloužil L. 4L-06
Vyšohlíd J. 3L-03
- Wagner T. 1L-13, 1L-14, 1L-15
Wamil D. 3L-06
Wawrzeńczyk C. 3P-07
Weidlich T. 7L-03
Wichterle K. PL-03
- Zagorska M. 3L-05, 3L-06
Zajoncova L. 7L-01
Zbořil R. 2L-04, 2L-05, 2L-10, 2L-11, 4L-03
Zdrálková J. 1P-12
Zelenka T. 2L-12, 5L-04
Zemanová V. 6L-02
Zhang B. 1L-15
Zlá S. 6L-09, 6P-04
Zvonková M. 1P-16, 6P-03
- Žaludová M. 6L-09, 6P-04
Žigo O. 3P-11